

Cuprins

1	Noțiuni fundamentale	1
2	Geometria vizualizării obiectelor tridimensionale	8
2.1	Transformări bidimensionale	8
2.2	Ferestre și zone de lucru	13
2.3	Transformări tridimensionale	15
2.4	Proiecții	18
2.4.1	Clasificare	19
2.4.2	Proiecția perspectivă	20
2.4.3	Proiecția paralelă	22
2.4.4	Transformări proiective	27
2.4.5	Descrierea sistemului de vizualizare	29
2.5	Volumul de vedere	32
3	Trasarea primitivelor grafice	42
3.1	Primitive grafice	42
3.2	Trasarea incrementală	42
3.3	Segmente de linii	43
3.3.1	Algoritmul incremental de bază	43
3.3.2	Algoritmul punctului de mijloc	45
3.4	Cercuri	48
3.5	Elipse	52
3.6	Curbe de grad doi	56
3.7	Curbe plane	58
3.7.1	Descrierea curbelor plane	58
3.7.2	Trasarea curbelor plane	58
3.8	Curbe spațiale	60
3.8.1	Descrierea curbelor spațiale	60
3.8.2	Curbe parametrice cubice	60
3.8.3	Trasarea curbelor parametrice cubice	69
3.9	Suprafețe curbe	73
3.9.1	Descrierea suprafețelor curbe	73
3.9.2	Suprafețe parametrice bicubice	74
3.9.3	Trasarea suprafețelor parametrice bicubice	76
3.10	Decupare	79
3.10.1	Decuparea unui punct	80
3.10.2	Decuparea segmentelor de linii	80
3.10.3	Decuparea poligoanelor	89
3.10.4	Decuparea curbelor plane	93
3.10.5	Decuparea 3D	94

4	Modelarea corpurilor tridimensionale	97
4.1	Scheme de reprezentare ale solidelor rigide	97
4.2	Metode de construcție a reprezentărilor	99
4.3	Operații booleene	100
4.4	Reprezentarea corpurilor prin frontiere	101
4.4.1	Reprezentarea prin puncte sau secțiuni transversale	101
4.4.2	Reprezentarea prin cadru de sârmă	102
4.4.3	Reprezentarea prin rețea de poligoane	103
4.4.4	Reprezentarea poliedrală	106
4.4.5	Reprezentarea prin laturi mobile (laturi înaripate)	106
4.5	Instanțarea primitivelor	107
4.6	Reprezentarea prin mișcare (măturare)	109
4.7	Reprezentarea prin partiționare spațială	109
4.7.1	Descompunerea celulară	109
4.7.2	Enumerarea ocupării spațiale	110
4.7.3	Arbori octali	110
4.7.4	Arbori binari pentru partiționare spațială (arbori BSP)	112
4.8	Geometria constructivă a solidelor (CSG)	112
4.9	Compararea reprezentărilor	113
5	Realism vizual	115
5.1	Prelucrarea reprezentărilor simple ale imaginii	115
5.2	Determinarea liniilor și suprafețelor vizibile	118
5.2.1	Simplificarea calculelor	119
5.2.2	Algoritmi spațiu-obiect pentru determinarea liniilor vizibile	124
5.2.3	Algoritmi spațiu-imagine	127
5.2.4	Algoritmi hibridi: algoritmi cu listă de prioritate	139
5.2.5	Algoritmul drumului optic (ray-tracing)	144
5.2.6	Comparații între algoritmii de vizibilitate	153
5.3	Iluminare și umbre	153
5.3.1	Surse de lumină	154
5.3.2	Modele de iluminare	154
5.3.3	Iluminarea reprezentărilor poliedrale	158
5.3.4	Umbre	161
5.3.5	Implementarea transparenței	162
5.3.6	Metoda recursivă a drumului optic	163
5.4	Atributele primitivelor	166
5.5	Atenuarea efectelor datorate discretizării imaginii	169
5.6	Umplerea poligoanelor	175
5.6.1	Primitiva poligon plin	175
5.6.2	Umplerea regiunilor din rastru	180
5.7	Texturi	182
5.7.1	Clasificare	182
5.7.2	Aplicarea texturilor pe suprafețe	183
5.7.3	Generarea texturilor tip fractal	185

5.8	Culoare	189
5.8.1	Lumina acromatică	189
5.8.2	Simularea intensității pe monitoarele monocrome	190
5.8.3	Lumina cromatică	191
5.8.4	Modele de culoare	192
5.8.5	Metoda tabelului de culori	194
5.9	Animatie	196
6	Interfețe utilizator	203
6.1	Elemente de bază ale interfețelor utilizator	203
6.2	Dispozitive de intrare	203
6.2.1	Locatorul	204
6.2.2	Tastatura	205
6.2.3	Valuatorul	205
6.2.4	Selectorul	205
6.3	Sarcini de interacțiune	205
6.3.1	Sarcini de interacțiune de bază	206
6.3.2	Sarcini de interacțiune compuse	211
6.4	Principii în proiectarea interfețelor utilizator	213
6.4.1	Consistența	213
6.4.2	Asigurarea feedbackului	214
6.4.3	Minimizarea posibilităților de eroare	214
6.4.4	Asigurarea posibilității de revenire din eroare	214
6.4.5	Posibilitatea operării pe mai multe nivele	215
6.4.6	Minimizarea memorizării	215
6.5	Software pentru interfețe utilizator	215
6.5.1	Sisteme de gestiune a ferestrelor	217
6.5.2	Tratarea ieșirilor în sistemele de ferestre	218
6.5.3	Tratarea intrărilor în sistemele de ferestre	221
6.6	Utilitare pentru tehnici de interacțiune	221
6.6.1	Sisteme de gestiune a interfețelor utilizator	222

1. Noțiuni fundamentale

Grafica pe calculator se ocupă de sinteza picturală a unor obiecte imaginare sau reale pe baza unor modele construite cu ajutorul calculatorului. Pentru rezolvarea problemelor specifice se utilizează adesea tehnici binecunoscute din geometrie (pentru descrierea spațiilor bi- și tri-dimensional, a obiectelor și a operațiilor cu acestea), algebră (pentru definirea și evaluarea expresiilor și ecuațiilor matematice), analiză matematică (eșantionare, filtre), analiză numerică (rezolvare aproximativă a ecuațiilor), optică (în construirea de modele pentru descrierea comportării luminii), electronică (generarea semnalelor, tehnologii a dispozitivelor), sau psihologie umană (oferă modele pentru percepția culorii și pentru realitatea virtuală).

Sistem grafic

Un *sistem grafic* este un ansamblu format din echipamente și programe specializate în tratarea și reprezentarea grafică a informației.

Sisteme grafice pot fi clasificate după prelucrările pe care le efectuează în:

1. sisteme de sinteză a imaginilor;
2. sisteme de prelucrare și de analiză a imaginilor.

Programele din componența unui sistem grafic de sinteză sunt structurate în două nivele:

- (a) nivelul dependent de echipamente, format prin programele **driver**;
- (b) nivelul independent de echipamente, biblioteca grafică de subprograme apelabile din aplicație.

Relația grafică – prelucrarea imaginilor

Domeniul alăturat al *prelucrării de imagini* (numit și *procesare picturală*) tratează procesul invers: analiza scenei sau reconstituirea modelelor unor obiecte bi- sau tri-dimensionale pornind de la imaginea lor. Analiza picturală este importantă în numeroase domenii precum: astronautică, medicină, meteorologie etc. Procesarea de imagini are o serie de subdomenii precum îmbunătățirea imaginilor, detectarea și recunoașterea șabloanelor (recunoașterea formelor), precum și analiza scenei. Îmbunătățirea scenei se ocupă, de exemplu, de eliminarea zgomotelor sau de îmbunătățirea contrastului. Un exemplu practic pentru detectarea și recunoașterea șabloanelor este tehnologia OCR – recunoașterea optică a caracterelor. Analiza scenei permite oamenilor de știință să recunoască și reconstituie un model al unei scene din mai multe imagini bidimensionale (cu aplicații, de exemplu, în robotică). Grafica pe calculator și procesarea de imagini sunt considerate două discipline separate, însă suprapunerea între cele două este în continuă creștere. Astfel imagini fotografice preluate cu ajutorul unui scanner pot fi combinate cu imagini produse sintetic, sau pot ajuta la crearea unei imagini a unui model.

Subdomenii ale graficii

Conform standardului (ACM - Association for Computing Machinery), subdomeniile graficii sunt: (a) probleme generale; (b) arhitectura hardware (dispozitive I/O, procesoare grafice); (c) sisteme grafice (sisteme dependente/independente de gazdă, sisteme distribuite); (d) *generarea desenelor și imaginilor* (*primitive*, simboluri, instanțe, *reprezentări grafice*, *transformări geometrice și geometrie computațională*, *algoritmi de vizualizare*); (e) programe de/cu grafică pe calculator (aplicații care utilizează grafica, pachete de grafică, drivere, limbaje de descriere a imaginilor, suport **software**); (f) *modelarea obiectelor* (*curbe și suprafețe*, *ierarhie în modele*, pachete de modelare); (g) *metode, tehnici și procedee în grafica pe calculator* (independența de dispozitiv, *eficiența în execuție*, tehnici de interacțiune); (h) *grafica 3D și sinteza imaginilor realiste* (*eliminarea liniilor și suprafețelor ascunse*, *texturi*, *umbre și culori*, *animație*, algoritmi avansați); (i) diverse (sisteme de comunicare vizuală, componente de sinteză în aplicații multimedia, realitate virtuală). Subiectele ce vor fi abordate în acest material sunt marcate prin înclinare.

Aplicații ale graficii

Grafica pe calculator, până în anii 1980, a fost un domeniu îngust datorită tehnicii și programelor extrem de scumpe. Calculatoarele personale au popularizat însă utilizarea graficii rastru (în special în interacțiunea utilizator-calculator). Sistemele grafice au devenit după anii 1980, obiect de lucru al inginerilor, oamenilor de știință, artiștilor plastici și arhitecților. S-au construit o serie de aplicații grafice precum biblioteci de subrutine grafice și interfețe cu utilizatorul ușor de manipulat, cu facilități de acces la diverse resurse prin intermediul rețelelor. Astfel, *domeniile actuale de aplicație* ale graficii pe calculator sunt foarte variate: educație și învățământ, cercetare științifică, inginerie (cu ajutorul pachetelor de programe CAD – **Computer Aided Design**, proiectare asistată, CAM – **Computer Aided Machinning**, fabricație asistată, CAE – **Computer Aided Engineering**, inginerie asistată), economie, conducere, simulare, cartografie, meteorologie, prospectarea resurselor, artă, comerț, reclamă, comanda și urmărirea proceselor, recreere Scopurile aplicațiilor grafice în domeniile mai sus menționate sunt de asemenea diverse: afișarea informațiilor, proiectare, simulare, sau doar interfață cu utilizatorul.

Interactivitate

Grafica se întâlnește sub formele: secvențială (generarea automată a imaginilor fără posibilitate de intervenție din partea observatorului), interactivă sau distribuită (cu aplicație în sistemele de realitate virtuală).

Un sistem grafic care permite interacțiunea cu utilizatorul prin echipamente specializate (**mouse**, **joystick**, tabletă grafică) se numește sistem *grafic interactiv*.

Interactivitatea este caracteristica principală de astăzi a graficii: utilizatorul controlează conținutul, structura și apariția obiectelor utilizând dispozitive de intrare. Datorită relației strânse între dispozitivele de intrare și ecran, studiul unor asemenea dispozitive este considerat subdomeniu al graficii pe calculator.

Sinteza imaginilor

Crearea unei imagini pe dispozitivul de ieșire a unui sistem grafic presupune două procese. Primul este *procesul de formare al imaginii*. În această etapă, sunt procesate comenzile utilizatorului. Imaginea este formată din elemente (puncte, linii, texte) care sunt disponibile în sistem cu anumite atribute (culoare, font). Procesorul fizic utilizat în această etapă este de obicei procesorul calculatorului gazdă. Al doilea proces este *afișarea imaginii*. În sistemele grafice performante se utilizează, pentru executarea acestei operații, *procesorul de terminal*, hardware specializat pentru a asista convertirea primitivelor grafice într-o "hartă" de biți (de exemplu, un **bitmap**, o reprezentare prin 0 și 1 a unei matrice rectangulare de puncte a ecranului) și pentru a executa operații de mutare, copiere și modificare a biților. Un procesor de terminal (controlor grafic, coprocesor de **display**, **display processor**, procesorul de imagine rastru, **RIP**) are un set limitat de instrucțiuni. În sistemele grafice simple, precum calculatoarele personale, sarcina controlorului grafic este preluată de o componentă **software** a bibliotecii grafice.

Grafica rastru (bitmap graphics, raster graphics)

Există două modalități principale de memorare a imaginii: (a) punct cu punct — în grafica rastru (în sistemele precum cel din figura 1.1 cu **raster image display**); (b) ca o mulțime de segmente de dreaptă pentru care se memo-

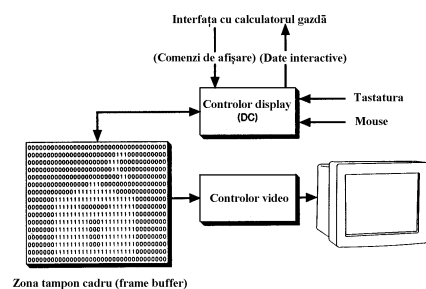


Figura 1.1: Arhitectura unui sistem cu display rastru

rează coordonatele capetelor segmentelor (figura 1.2.b) în sistemul propriu al dispozitivului (vector, calligraphic display sau **plotter**). Display-urile tip rastru se caracterizează printr-un spațiu de afișare alcătuit dintr-o ma-

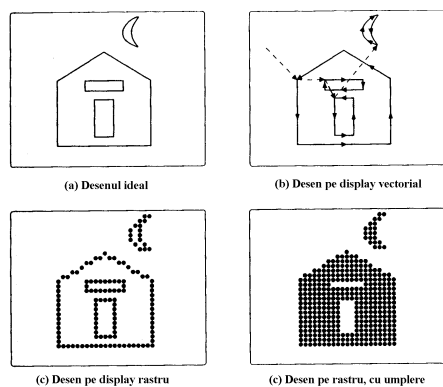


Figura 1.2: Rasterizare și baleiere vectorială

trice rectangulară de elemente grafice indivizibile. Pentru reprezentarea unei imagini pe ecran, calculatorul sau procesorul dispozitivului de afișare trebuie să genereze o aproximare discretă cât mai fidelă pentru imaginea ideală și să selecteze în rastru punctele corespunzătoare imaginii discretizate. Definirea unei imagini se realizează printr-un set de valori de intensitate pentru fiecare punct-ecran și aceste valori sunt vizualizate pe ecran câte o linie la un moment dat.

Pixel

Elementul cel mai fin vizibil pe ecran este *spotul* (punct, **pixel**, **picture--element**). Dimensiunea spotului este diametrul punctului luminos pe care îl creează pe ecran fasciculul focalizat al tunului tubului de electroni. Ca ordin de mărime, spotul are în jur de $0.02 \text{ inch} = 0.508 \text{ mm}$ ($1 \text{ inch} = 2.54 \text{ cm}$). Distanța dintre două puncte adiacente trebuie să fie mai mică decât diametrul unui punct pentru a asigura trasarea unei imagini continue.

Rezoluție

Un parametru foarte important al unui `display` este rezoluția. Ea se definește prin dimensiuni relative la cel mai mic detaliu ce poate fi distins pe ecran, respectiv *rezoluția* unui ecran este indicată prin produsul dintre numărul de pixeli pe orizontală și pe verticală. Rezoluția poate fi definită și prin numărul maxim de puncte care pot fi afișate fără suprapunere sau numărul de linii distincte care pot fi create pe ecran într-un `inch` (dacă 40 de linii negre intercalate cu 40 de linii albe pot fi distinse într-un `inch`, rezoluția este de 80 linii/`inch`).

Imagine digitizată

O imagine digitizată este reprezentată printr-o matrice în care fiecare element este o colecție de numere ce descriu atributele unui pixel al imaginii (sau o funcție de variabilă discretă: unei perechi de numere naturale i se asociază o valoare). Adesea aceste numere sunt reprezentări discrete ale unui interval de numere reale. De exemplu, întregii de la 0 la 255 pot fi utilizați pentru a reprezenta o diviziune echidistantă a intervalului $[0,1]$ (numerele reprezentând intensități ale punctelor imaginii în scara de gri sau intensități ale unor componente ale culorilor respectivelor puncte). Pentru o imagine colorată, valoarea asociată unui pixel este un ansamblu de trei numere reprezentând intensitățile componentelor de roșu, verde și albastru ale culorii pixelului sau trei numere reprezentând indexi în tabele de intensități de roșu, verde și albastru sau un singur număr care este un index într-o tabelă de triplete de culoare. Dimensiunile matricii sunt numite *lățime*, respectiv *înălțime* a imaginii, iar numărul de biți asociați cu fiecare pixel al matricei este *adâncimea* imaginii.

Rastru

Rastrul este matricea de pixeli ce reprezintă întreaga arie a ecranului. Fiecare linie de pixeli este referită ca linie de *baleiere* sau *scanare*.

Zona tampon cadru (frame-buffer).

Pixelii unei imagini sunt stocați într-o zonă de memorie specială, numită *zona tampon cadru*. Motivul introducerii acestei memorii speciale este următorul: dacă memoria video poate fi citită din program, atunci imaginea poate fi construită chiar în această memorie; din păcate, nu toate terminalele oferă posibilitatea de citire prin program a stării bitului asociat cu un punct de pe ecran. Astfel, pentru a oferi posibilitatea prelucrării ulterioare a reprezentărilor simple ale imaginii, se poate crea un "ecran virtual" în care se construiește imaginea, o zonă de memorie care este identică ca mărime cu memoria video. După definirea, imaginea se transpune de aici în memoria video, deci pe ecran. Zona tampon cadru se întâlnește și sub denumirile de zonă (*buffer*) de împropătare, *frame buffer*, *refresh buffer* sau *bitmap/pixmap* (*bitmap* pentru sisteme cu 1 bit pentru reprezentarea unui pixel, *pixmap* sau *pixel-map* pentru sisteme cu mai mulți biți pentru un pixel), fiind folosită și din considerente de creștere a vitezei atunci când există mai multe plane de memorie video. În calculatoarele personale, *frame-buffer*-ul face parte din memoria calculatorului, iar

memoria video este conținută în spațiul propriu zis de adresare al procesorului standard. Imaginea este formată în memoria video direct, fără a mai fi nevoie de o transmisie, obținându-se astfel o mare viteză de execuție.

Rasterizare

Primitivele grafice, precum segmentele de linii sau textele, sunt afișate prin excluderea sau includerea unor pixeli în zona tampon cadru. Acest proces este numit *conversie de scanare*, *conversie de baleiere* sau *rasterizare*.

Reîmprospătare

Zona tampon cadru este scanată (baleiată) secvențial de *adaptorul grafic* (o linie de rastru la un moment dat) cu o rată de 50 la 70 de ori pe secundă și imaginea este împrospătată linie cu linie, în modul în care se produc imaginile de televiziune (figura 1.3).

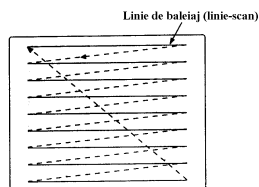


Figura 1.3: Baleierea ecranului de tip rastru

Cuplor grafic

Pentru afișarea propriu-zisă a imaginilor memoria video este citită secvențial de un bloc logic, independent de procesor, care realizează semnalele pentru monitor, conform standardului acestuia. Această funcție este realizată de *adaptorul grafic*, numit și *cuplor grafic* sau *cuplor video* (*controlor video* în figura 1.1). Performanțele unui cuplor grafic sunt măsurate prin viteza de execuție, rezoluția (dimensiunea în pixeli, puncte) și numărul de culori simultane. Standardele pentru cuploare grafice sunt: HGC (Hercules Graphics Card), CGA (Color Graphics Adapter), EGA (Enhanced Graphics Adapter), VGA (Video Graphics Array), SVGA (Super Virtual Graphics Adapter), AGA (Advanced Graphics Adapter).

Clasificarea aplicațiilor grafice

O aplicație grafică poate fi inclusă într-una din următoarele categorii:

1. editor grafic (de exemplu AutoCAD, Windows Paint),
2. bibliotecă grafică (asociate cu limbaje de programare precum C),
3. program specializat cu facilități grafice (de exemplu, produsele CAS - Computer Algebra System, precum Maple sau Mathematica),
4. produs de birotică (de exemplu Word, Excel).

Sisteme carteziene de referință

În aplicațiile grafice se disting următoarele trei sisteme carteziene de referință:

- (1) sistemul de coordonate ale lumii reale sau înconjurătoare (sistemul de coordonate logice / universale / utilizator) în care observatorul este centrul acestuia (WCS – World Coordinate System);
- (2) sistemul de coordonate ale unui dispozitiv (DCS – Device Coordinate System, sistemul de coordonate fizice / dispozitiv);
- (3) sistemul de coordonate normalizate ale unui dispozitiv (NDCS – Normalized Device Coordinate System).

Transformarea coordonatelor din sistemul (1) în sistemul (2) cade în sarcina sistemelor grafice (figura 1.4). În general, un sistem grafic are o varietate de intrări și ieșiri, astfel încât pachetul grafic ar trebui să gestioneze mai multe sisteme (2). În majoritatea aplicațiilor se utilizează un sistem de coordonate intermediar, desemnat prin (3). Se consideră astfel un dispozitiv virtual în termenii căruia se scrie **soft**-ul necesar. Dispozitivul virtual uzual este pătratul unitate din sistemul (3), care are colțul din stânga jos în originea sistemului. Valorile exprimate în unități de pe dispozitivul virtual sunt transformate în valori în sistemul (2) ca ultimă etapă de procesare. Această transformare este realizată de *driver-urile de dispozitiv* (componente **software** ale sistemelor grafice). Se permite astfel adăugarea unui nou dispozitiv în sistemul grafic, dacă este însoțit de un anumit **driver**, fără a fi necesară alterarea pachetelor grafice.

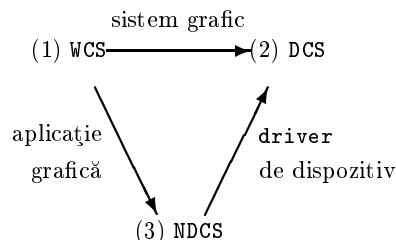


Figura 1.4: Transformarea unei imagini din lumea reală în imagine pe dispozitivul de ieșire al unui sistem grafic

2. Geometria vizualizării obiectelor tridimensionale

2.1 Transformări bidimensionale

Se consideră un reper cartezian, un obiect bidimensional descris în respectivul sistem și $P(x, y)$ un punct oarecare al obiectului.

Translație

Operația este definită relativ la cele două axe de coordonate carteziene prin deplasamentele specifice pe fiecare axă (figura 2.1).

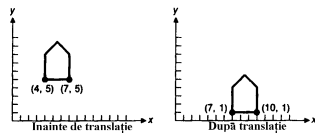


Figura 2.1: Translatarea unei case

Punctul $P(x, y)$ este translatat în punctul $P(x', y')$ dacă

$$\begin{cases} x' = x + d_x, \\ y' = y + d_y. \end{cases}$$

unde d_x, d_y sunt *deplasamentele specifice*. Vectorial, operația poate fi scrisă

$$P' = P + T$$

unde

$$P = \begin{pmatrix} x \\ y \end{pmatrix}, \quad P' = \begin{pmatrix} x' \\ y' \end{pmatrix}, \quad T = \begin{pmatrix} d_x \\ d_y \end{pmatrix}.$$

Scalare

Scalarea poate fi descrisă prin ecuațiile

$$\begin{cases} x' = s_x x, \\ y' = s_y y, \end{cases}$$

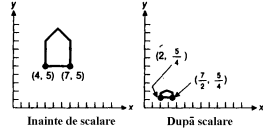


Figura 2.2: Scalarea unei case

unde s_x și s_y sunt *constantele de scalare*, $P(x, y)$, punctul inițial, iar $P'(x', y')$ punctul transformat (figura 2.2). Un factor de scalare negativ produce ca efect secundar reflecția față de axa corespunzătoare. Ecuația vectorială este

$$P' = SP$$

unde

$$S = \begin{pmatrix} s_x & 0 \\ 0 & s_y \end{pmatrix}.$$

rotație

Prin rotația cu un unghi θ față de origine, punctele unui obiect rămân la aceeași distanță față de originea sistemului (figura 2.3). Un unghi pozitiv respectă

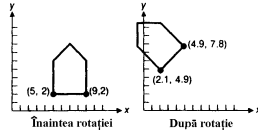


Figura 2.3: Rotirea unei case în jurul originii sistemului

sensul de rotație trigonometric (contrar fusului orar). Utilizând transformarea din coordonate carteziane în coordonate polare

$$\begin{cases} x = r \cos \phi, \\ y = r \sin \phi, \end{cases}$$

după rotație (figura 2.4)

$$\begin{cases} x' = r \cos(\phi + \theta), \\ y' = r \sin(\phi + \theta), \end{cases}$$

Prin dezvoltarea funcțiilor \cos și \sin din expresia anterioară se obțin ecuațiile

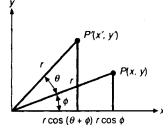


Figura 2.4: Derivarea ecuațiilor rotației

transformării în coordonate carteziane:

$$\begin{cases} x' = x \cos \theta - y \sin \theta, \\ y' = x \sin \theta + y \cos \theta. \end{cases}$$

Vectorial, operația poate fi exprimată prin

$$P' = RP,$$

unde

$$R = \begin{pmatrix} \cos \theta & -\sin \theta \\ \sin \theta & \cos \theta \end{pmatrix}.$$

Coordonate omogene

Pentru transformările bidimensionale amintite mai sus, ecuațiile vectoriale sunt următoarele:

$$P' = T + P, \quad P' = SP, \quad P' = RP.$$

Se observă că translația este tratată în mod distinct, printr-o adunare.

Reprezentarea punctelor în coordonate omogene permite tratarea tuturor transformărilor prin multiplicări matriceale. Pe lângă cele două coordonate carteziane standard apare o a treia: un punct (x, y) în coordonate carteziane este reprezentat prin tripletul (x, y, w) în coordonate omogene. Reprezentarea unui punct nu este unică. De exemplu, $(2, 4, 8)$ și $(1, 2, 4)$ reprezintă același punct din plan. Dacă $w \neq 0$, atunci (x, y, w) reprezintă același punct ca și $(x/w, y/w, 1)$, iar coordonatele $(x/w, y/w)$ sunt coordonatele carteziane asociate punctului omogen. Punctele cu $w = 0$ se numesc *puncte la infinit*.

Un triplet reprezintă de obicei coordonatele unui punct din spațiu tridimensional. Dacă considerăm toate tripletele ce reprezintă același punct în coordonate carteziane, adică toate tripletele de forma (tx, ty, tw) , cu $t \neq 0$ obținem o linie în spațiul tridimensional (figura 2.5). Astfel fiecare punct în coordonate omogene reprezintă o linie în spațiul tridimensional. Astfel punctele omogenizate formează un plan definit de ecuația $w = 1$ în spațiul (x, y, w) .

Matricile transformărilor mai sus amintite, se rescriu în coordonate omogene astfel:

$$T(d_x, d_y) = \begin{pmatrix} 1 & 0 & d_x \\ 0 & 1 & d_y \\ 0 & 0 & 1 \end{pmatrix}, \quad S(s_x, s_y) = \begin{pmatrix} s_x & 0 & 0 \\ 0 & s_y & 0 \\ 0 & 0 & 1 \end{pmatrix},$$

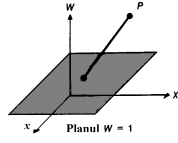


Figura 2.5: Spațiul coordonatelor omogene, cu planul $w = 1$ și un punct $P(x, y, w)$ proiectat în planul $w = 1$

$$R(\theta) = \begin{pmatrix} \cos \theta & -\sin \theta & 0 \\ \sin \theta & \cos \theta & 0 \\ 0 & 0 & 1 \end{pmatrix},$$

iar noile relații vectoriale sunt:

$$P' = T(d_x, d_y)P, \text{ sau } P' = S(s_x, s_y)P, \text{ sau } P' = R(\theta)P.$$

2.1.1 Transformări afine

Dacă un punct este traslatat cu $T(d_x^1, d_y^1)$ în P_1 și apoi cu $T(d_x^2, d_y^2)$ în P_2 , atunci

$$P_2 = T(d_x^2, d_y^2)P_1 = T(d_x^2, d_y^2)T(d_x^1, d_y^1)P = T(d_x^1 + d_x^2, d_y^1 + d_y^2)P.$$

Produsul matriceal este adesea referit drept *compunere* sau *concatenare*. În mod similar, pentru scalare $S(s_x^1, s_y^1) \cdot S(s_x^2, s_y^2) = S(s_x^1 s_x^2, s_y^1 s_y^2)$, iar pentru rotație $R(\theta_1) \cdot R(\theta_2) = R(\theta_1 + \theta_2)$. Se observă că matricea rotației este o matrice ortogonală (fiecare vector-linie a matricii este unitar și perpendicular pe celelalte). În plus cele două direcții definite de primii doi vectori-linie a unei matrice de rotație sunt direcțiile în care vor fi reorientați vectorii aflați pe axele x respectiv y (figura 2.6). Această proprietate poate conduce la construcția cu

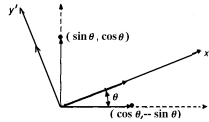


Figura 2.6: Cordonatele versorii axelor sistemului xOy , față de sistemul $x'Oy'$ obținut prin rotație rotit, corespund cu liniile din matricea de rotație

ușurință a matricei de rotație dacă efectul rotației este cunoscut.

Majoritatea transformărilor efectuate în lumea reală păstrează liniile drepte. Asemenea transformări includ rotația, reflecția, scalarea și translația. O matrice de forma

$$\begin{pmatrix} r_{11} & r_{12} & t_x \\ r_{21} & r_{22} & t_y \\ 0 & 0 & 1 \end{pmatrix}$$

unde submatricea 2×2 superioară este ortogonală, păstrează unghiurile și lungimile. O transformare asociată unei asemenea matrice este numită *transformare de corp rigid* deoarece orice obiect transformat nu este distorsionat. O secvență arbitrară de matrice de rotații și translații este reprezentabilă printr-o matrice de forma de mai sus.

Produsul unui secvențe arbitrare de matrice de rotații, translații și scalări (transformări elementare sau simple) păstrează paralelismul liniilor, dar nu și lungimile și unghiurile (figura 2.7). Transformarea corespunzătoare unui

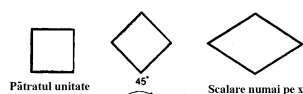


Figura 2.7: Un pătrat unitate este rotit și scalat neuniform; transformarea fiind afină, paralelismul liniilor se menține, dar nu și unghiurile și lungimile

asemenea produs se numește *transformare afină*.

O secvență de transformări afine poate fi reprezentată printr-o matrice unică. De exemplu, rotația în jurul unui punct $P_1(x_1, y_1)$ poate fi descrisă

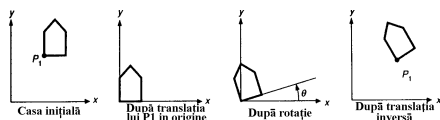


Figura 2.8: Rotirea unei case în jurul unui punct P_1

prin produsul matriceal CBA , unde

$$A = T(-x_1, -y_1), \quad B = R(\theta), \quad C = T(x_1, y_1).$$

O clasă importantă de operații o constituie transformările inverse. Dacă transformarea A produce $P' = AP$, transformarea inversă produce $P = A^{-1}P'$.

Un exemplu concludent pentru faptul că transformările afine păstrează paralelismul dintre linii dar nu și lungimile și unghiurile, este *înclinarea* sau *forfecarea* față de o anumită axă (figura 2.9). Corespunzător axei x și unghiului de



Figura 2.9: Aplicarea operației de înclinare față de axe la pătratul unitate – laturile oblice obținute au lungimea mai mare decât unitatea

înclinare ϕ , ecuațiile transformării sunt

$$\begin{cases} x' = x + y \operatorname{ctg} \phi, \\ y' = y, \end{cases}$$

ecuații care conduc la matricea de transformare

$$H_x = \begin{pmatrix} 1 & \operatorname{ctg} \phi \\ 0 & 1 \end{pmatrix}.$$

Operația poate fi obținută prin concatenarea a trei transformări elementare. În cazul general, forfecarea este descrisă prin ecuațiile $x' = x + F_x y$, $y' = y + F_y x$ (forfecarea pe axa x : $F_y = 0$).

2.2 Ferestre și zone de lucru

Anumite aplicații grafice permit specificarea primitivelor grafice în sistemul de coordonate ale lumii reale (WCS) utilizând unități de lungime. Pachetul de subrutine grafice trebuie să efectueze transformarea din coordonatele lumii reale în coordonatele ecranului (DCS).

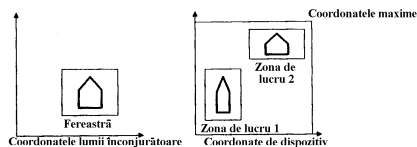


Figura 2.10: Efectul trasării primitivelor în două zone de lucru

Termenul de *fereastră* (window) a fost introdus spre a desemna o zonă dreptunghiulară a unui plan situat în spațiul de coordonate ale utilizatorului (WCS), pe care se proiectează informația dorită la un moment dat (figura 2.10). Unei

asemenea ferestre i se asociază o regiune dreptunghiulară în coordonatele normalizate de terminal (NDCS), numită *zonă de lucru* (**viewport**, *poartă de afișare* sau *poartă*), în care imaginea din fereastră este transformată (digitizată).

Fie fereastra specificată prin (x_{min}, y_{min}) , (x_{max}, y_{max}) , coordonatele a două vârfuri extreme ale zonei dreptunghiulare din WCS, iar zona de lucru, prin (u_{min}, v_{min}) , (u_{max}, v_{max}) , unde $0 \leq u_{min} < u_{max} \leq 1$, $0 \leq v_{min} < v_{max} \leq 1$, coordonatele vârfurilor corespunzătoare ale zonei dreptunghiulare din NDCS. Matricea transformării fereastră – zonă de lucru poate fi construită prin concatenarea celor trei transformări sugerate în figura 2.11:

$$P' = MP,$$

unde

$$M = T(u_{min}, v_{min})S\left(\frac{u_{max} - u_{min}}{x_{max} - x_{min}}, \frac{v_{max} - v_{min}}{y_{max} - y_{min}}\right)T(-x_{min}, -y_{min}).$$

Astfel, ecuațiile de transformare a unei ferestre într-o zonă de lucru sunt următoarele:

$$\begin{cases} u = u_{min} + \frac{u_{max} - u_{min}}{x_{max} - x_{min}}(x - x_{min}), \\ v = v_{min} + \frac{v_{max} - v_{min}}{y_{max} - y_{min}}(y - y_{min}). \end{cases}$$

Un triplet similar de transformări se aplică pentru trecerea de la NDCS la DCS.

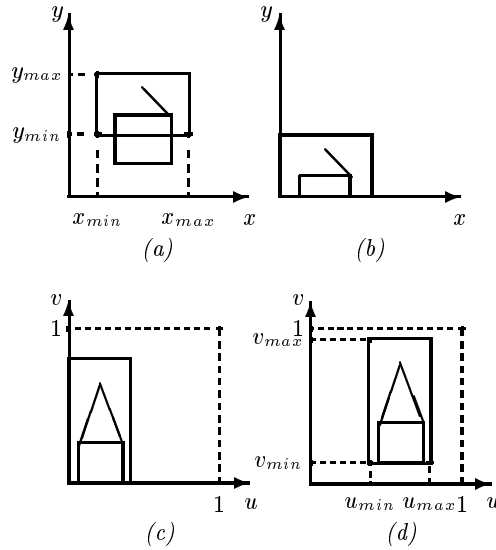


Figura 2.11: Transformarea unei ferestre într-o zonă de lucru (a) Fereastra în coordonatele lumii reale (b) Fereastra translatată în originea sistemului (c) Fereastra scalată la dimensiunea zonei de lucru (d) Translatarea imaginii în zona de lucru

În cazul construirii unei imagini sub limitele spațiului vizibil, pot apărea o serie de primitive care vor intersecta frontiera ferestrei (figura 2.11.a). Este necesară eliminarea din aceste primitive a porțiunilor care ies din zona observabilă (din fereastră). Această operație este cunoscută sub numele de **clipping** (*decupare, retezare, tăiere*).

2.3 Transformări tridimensionale

Așa cum unei transformări bidimensionale exprimate în coordonate omogene îi corespunde o matrice 3×3 , o transformare tridimensională este reprezentată printr-o matrice 4×4 .

Precum în cazul bidimensional, se asociază unui punct (x, y, z) în coordonate carteziene, un punct (x, y, z, w) în coordonate omogene, cu proprietatea că două cvadruple reprezintă același punct dacă coordonatele lor sunt proporționale. Reprezentarea standard a unui punct omogen (x, y, z, w) cu $w \neq 0$ este $(x/w, y/w, z/w, 1)$.

Translația tridimensională este o simplă extensie a celei bidimensionale. Matricea transformării este

$$T(d_x, d_y, d_z) = \begin{pmatrix} 1 & 0 & 0 & d_x \\ 0 & 1 & 0 & d_y \\ 0 & 0 & 1 & d_z \\ 0 & 0 & 0 & 1 \end{pmatrix}.$$

Rotăția oarecare a unui sistem de puncte se descompune în cel mult trei rotații, maxim câte una după fiecare axă a unui reper triortogonal. Pentru rotațiile în jurul axelor de coordonate s-au convenit anumite direcții ale rotațiilor pozitive (figura 2.12).

Ținând seama că *rotațiile în jurul axelor* pot fi exprimate prin rotații în spațiul bidimensional al planelor perpendiculare pe axe, ele pot fi reprezentate prin matricele de transformare următoare:

$$R_z(\theta) = \begin{pmatrix} \cos \theta & -\sin \theta & 0 & 0 \\ \sin \theta & \cos \theta & 0 & 0 \\ 0 & 0 & 1 & 0 \\ 0 & 0 & 0 & 1 \end{pmatrix}, \quad R_y(\theta) = \begin{pmatrix} \cos \theta & 0 & \sin \theta & 0 \\ 0 & 1 & 0 & 0 \\ -\sin \theta & 0 & \cos \theta & 0 \\ 0 & 0 & 0 & 1 \end{pmatrix},$$

$$R_x(\theta) = \begin{pmatrix} 1 & 0 & 0 & 0 \\ 0 & \cos \theta & -\sin \theta & 0 \\ 0 & \sin \theta & \cos \theta & 0 \\ 0 & 0 & 0 & 1 \end{pmatrix}.$$

Rotăția unui obiect în jurul unei drepte arbitrare, dar paralelă cu o anumită axă de coordonate presupune:

1. translatarea obiectului astfel încât axa de rotație să coincidă cu axa paralelă de coordonate;
2. efectuarea rotației;
3. translatarea obiectului astfel încât axa de rotație să fie mutată în poziția originală.

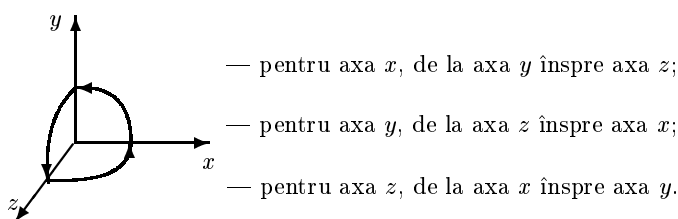


Figura 2.12: Sensul rotațiilor de unghi pozitiv

Dacă axa de rotație nu este paralelă cu nici una din axele de coordonate este necesară rotația în prealabil a acestei axe astfel încât să fie paralelă cu una din axele de coordonate. În final se aplică transformarea inversă pentru a aduce axa de rotație la orientarea inițială.

Spre deosebire de rotație și translație, înmulțirea cu factori de scală afectează distanțele dintre puncte. Sistemul de puncte poate fi modificat diferit după fiecare din cele trei axe ale sistemului de referință, caz în care se definesc factorii de scară direcționali s_x , s_y , s_z . Astfel **scalarea** tridimensională este descrisă prin matricea

$$S(s_x, s_y, s_z) = \begin{pmatrix} s_x & 0 & 0 & 0 \\ 0 & s_y & 0 & 0 \\ 0 & 0 & s_z & 0 \\ 0 & 0 & 0 & 1 \end{pmatrix}.$$

Cea mai simplă transformare de acest gen este *asemănarea*, care folosește un factor de scală global, s , cu care se înmulțesc coordonatele corpului. Alte cazuri particulare de scalări sunt *simetriile* pentru care s_x , s_y , s_z sunt -1 sau 1 . Astfel, de exemplu, pentru

- (a) simetria față de planul xOy : $s_x = s_y = 1$, $s_z = -1$;
- (b) simetria față de axa y : $s_x = s_z = -1$, $s_y = 1$;
- (c) simetria față de origine: $s_x = s_y = s_z = -1$.

Simetria față de un plan oarecare se poate rezolva aplicând sistemului de referință o translație și o rotație astfel încât un plan de coordonate să se suprapună peste planul dat și apoi se efectuează simetria față de acel plan de coordonate. După aceasta se face rototranslația inversă. Analog se procedează în cazul unei drepte oarecare. În cazul unui punct este suficientă o translație aplicată sistemului de coordonate astfel încât originea să ajungă în punctul dat, apoi se aplică relațiile de simetrie față de origine; după calcularea coordonatelor punctului simetric, se aplică translația inversă. Simetriile se pot exprima ca produs de simetrii față de planele de coordonate. *Simetria față de o axă* se obține prin concatenarea simetriilor față de cele două plane a căror intersecție este axa, iar simetria față de origine rezultă prin aplicarea succesivă a celor trei simetrii față de planele de coordonate. La rândul lor, aceste simetrii față de planele de coordonate se pot obține folosind simetria față de un singur plan de coordonate și rotațiile care suprapun planele de coordonate unul peste celălalt.

Inclinarea sau forfecarea față de planul xOy este descrisă prin matricea

$$H_{xy}(h_x, h_y) = \begin{pmatrix} 1 & 0 & h_x & 0 \\ 0 & 1 & h_y & 0 \\ 0 & 0 & 1 & 0 \\ 0 & 0 & 0 & 1 \end{pmatrix}.$$

În cazul general, forfecarea poate fi descrisă printr-o matrice cu elementele de pe diagonală egale cu 1.

Compunerea transformărilor tridimensionale fundamentale (rotația, translația și scalarea) este utilizată pentru derivarea unor transformări mai complexe. Fie transformarea din figura 2.13. Această transformare poate fi realizată în 4 pași:

1. translatarea lui P_1 în origine;
2. rotirea în jurul axei y astfel încât P_1P_2 să fie așezat în planul (y, z) ;
3. rotirea în jurul axei x astfel încât P_1P_2 să fie așezat pe axa z ;
4. rotire în jurul axei z astfel încât P_1P_3 să fie așezat în planul (y, z) .

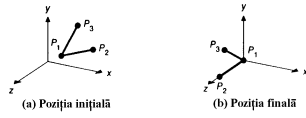


Figura 2.13: Vectorii P_1P_2 și P_1P_3 sunt transformați din poziția inițială (a) în poziția finală (b)

Calculul referitoare la rotire nu sunt simple. Pentru a le evita putem folosi proprietatea, menționată anterior, a matricelor de rotație: vectorii unitari descriși de liniile matricei corespund direcțiilor obținute prin rotirea versorilor axelor. Fie compunerea rotațiilor de la pașii 2-4 reprezentată prin matricea

$$R = \begin{pmatrix} r_{1x} & r_{2x} & r_{3x} & 0 \\ r_{1y} & r_{2y} & r_{3y} & 0 \\ r_{1z} & r_{2z} & r_{3z} & 0 \\ 0 & 0 & 0 & 1 \end{pmatrix}.$$

În cazul considerat, R_z corespunde vectorului unitate de-a lungul lui P_1P_2 care va fi rotit pentru a se sprijini pe axa z ; astfel

$$R_z = (r_{1z}, r_{2z}, r_{3z})^T = \frac{P_1P_2}{\|P_1P_2\|}.$$

Vectorul unitate perpendicular pe planul definit de P_1 , P_2 și P_3 , este rotit pentru a se sprijini pe axa x , deci

$$R_x = (r_{1x}, r_{2x}, r_{3x})^T = \frac{P_1P_3 \times P_1P_2}{\|P_1P_3 \times P_1P_2\|}.$$

Vectorul R_y ,

$$R_y = (r_{1y}, r_{2y}, r_{3y})^T = R_z \times R_x$$

este rotit pentru a se sprijini pe axa y . Matricea finală a transformării este $R \cdot T(-x_1, -y_1, -z_1)$.

Considerăm un alt exemplu. Avionul din figura 2.14.(a) definit în sistemul de coordonate x_P, y_P, z_P și centrat în origine trebuie transformat astfel încât să fie orientat în direcția D (direcția de zbor) din figura 2.14.(b), neînclinat și centrat într-un punct P . Transformarea constă într-o rotație pentru a orienta avionul în direcția dorită, urmată de o translație a originii în P . Presupunem că

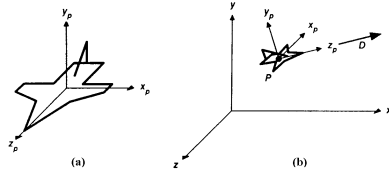


Figura 2.14: Avionul în sistemul de coordonate (x_P, y_P, z_P)

vectorii direcționali x_p, y_p, z_p, D sunt normalizați. Precum în exemplul anterior construim matricea de rotație cunoscând transformarea axelor: z_p trebuie transformat în D , x_p trebuie transformat într-un vector orizontal perpendicular pe D , adică în direcția $y \times D$, y_p este dat de $z_p \times x_p$. Notând cu $|\cdot|$ vectorii normalizați, matricea de rotație are forma

$$R = \begin{pmatrix} |y \times D| & |D \times (y \times D)| & |D| & 0 \\ 0 & 0 & 0 & 1 \end{pmatrix}^T.$$

2.4 Proiecții

Complexitatea vizualizării obiectelor tridimensionale este cauzată de a treia dimensiune și de faptul că terminalele prezintă imagini bidimensionale. Soluția este utilizarea proiecțiilor care transformă obiectele tridimensionale în proiecții plane bidimensionale.

În general, proiecțiile transformă puncte dintr-un sistem de coordonate de dimensiune n în puncte din sistemul de coordonate de dimensiune mai mică

decât n . În grafica pe calculator, obiecte n -dimensionale sunt proiectate în spațiu bidimensional pentru vizualizare.

2.4.1 Clasificare

Proiecția unui obiect tridimensional este definită astfel: *dreptele (razele) de proiecție*, numite și *proiectori*, trec printr-un punct dat al spațiului, numit *centru de proiecție (punct de vedere)*, și prin fiecare punct al corpului, intersectând *planul de proiecție* pentru a forma *proiecția*.

Deoarece suprafața ecranului este plană, ne rezumăm la proiecțiile geometrice plane. Acestea pot fi împărțite în două clase:

1. *proiecții paralele*,
2. *proiecții perspective*.

Distincția se face funcție de distanța dintre centrul de proiecție și planul de proiecție. Dacă această distanță este finită, proiecția este perspectivă; dacă distanța este infinită, proiecția este paralelă (figura 2.15).

În proiecția perspectivă se precizează poziția centrului de proiecție și planul de proiecție.

În cazul proiecției paralele, centrul de proiecție se află la infinit, ceea ce face ca dreptele de proiecție să fie paralele (în figura 2.15.b proiectorii AA' și BB' sunt paraleli). Pentru a defini o proiecție paralelă se precizează direcția de proiecție (un vector paralel cu proiectorii).

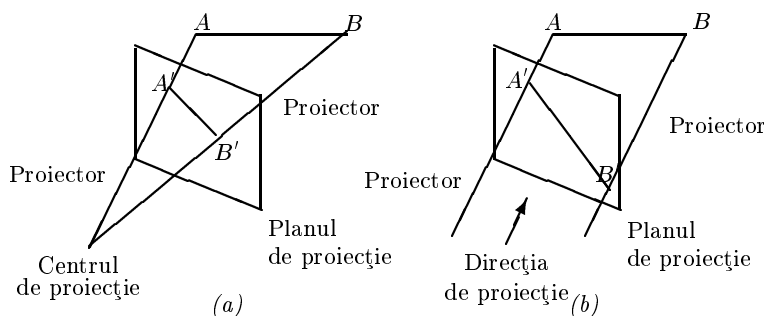


Figura 2.15: Proiecțiile unui segment de dreaptă (a) $A'B'$ este proiecția perspectivă a lui AB (b) $A'B'$ este proiecția paralelă a lui AB .

Observații:

- (a) Proiecția paralelă păstrează paralelismul liniilor, dar nu păstrează unghiurile (mai puțin cele aflate în planuri paralele cu planul de proiecție).
- (b) Efectul vizual al proiecției perspective este asemănător cu cel realizat de tehnica fotografică și de sistemul vizual uman. Principala caracteristică este aceea că dimensiunea proiecției perspective a unui obiect variază invers proporțional cu distanța de la obiect la centrul de proiecție (figura 2.16). Distanțele nu sunt cele reale, unghiurile se păstrează numai dacă aparțin unor fețe ale obiectului paralele cu planul de proiecție, iar liniile

paralele nu sunt proiectate, în general, în linii paralele. Lungimile unor segmente egale în spațiu pot apărea în imagine diferite, depinzând de apropierea de centrul de proiecție.

- (c) Direcția de proiecție este un vector a cărui componente pot fi calculate printr-o diferență de tipul $(x, y, z, 1) - (x', y', z', 1) = (a, b, c, 0)$. Astfel există o corespondență biunivocă între direcții și puncte la infinit. O proiecție perspectivă a cărui centru este un punct la infinit devine o proiecție paralelă.

Există o serie de cazuri particulare atât pentru proiecțiile paralele cât și pentru cele perspective:

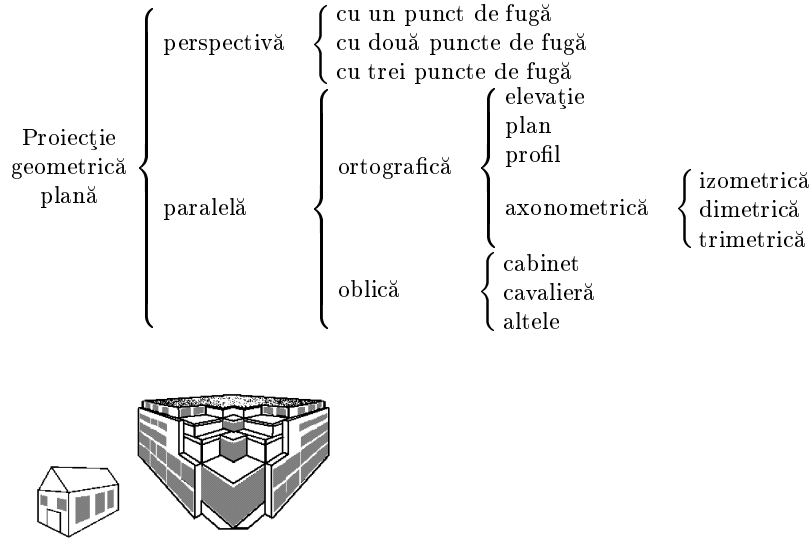


Figura 2.16: Variația dimensiunii obiectelor cu distanța de la observator

2.4.2 Proiecția perspectivă

În proiecția perspectivă, liniile paralele între ele și neperalele cu planul de proiecție converg spre un anumit punct numit **punct de fugă** (*punct de convergență*). Dacă liniile sunt paralele cu una dintre axele principale, punctul de fugă este numit *punct de fugă axial* (al axei). Există cel mult trei asemenea puncte într-o imagine, câte unul pentru fiecare axă. De exemplu, dacă planul de proiecție taie doar axa z , numai axa z are punct de fugă deoarece liniile paralele cu axele y și x sunt paralele și în planul de proiecție și nu au puncte de fugă (nu se intersectează în proiecție). În figura 2.17 se prezintă două proiecții

perspective, cu un punct de fugă, ale unui cub. Deoarece în 3D liniile paralele se întâlnesc la infinit, fiecare punct de fugă poate fi considerat proiecția unui punct la infinit.

Proiecțiile perspective sunt clasificate funcție de numărul punctelor de fugă axiale.

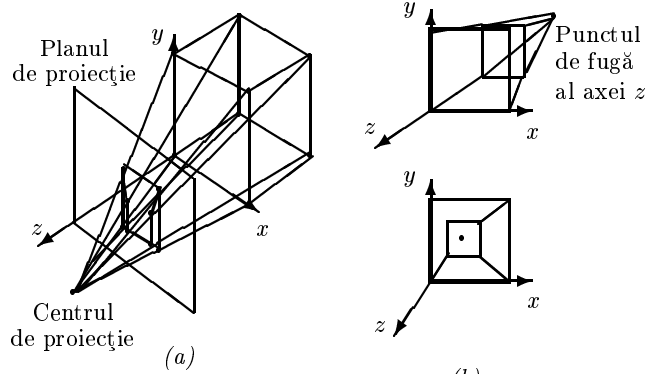


Figura 2.17: Proiecția perspectivă a unui cub pe un plan care taie numai axa z (a) Construcția proiecției (b) Două perspective cu un punct de fugă

Proiecțiile perspective cu două puncte de fugă sunt utilizate des în arhitectură și design industrial (figura 2.18). În figura 2.19 se prezintă modul de construcție al proiecției perspective a unui cub cu două, respectiv trei, puncte de fugă.

Presupunem că $P(x, y, z)$ se proiectează în $P'(x', y')$. Ecuațiile proiecției perspective pe planul $z = 0$, cu un punct de fugă și centrul de proiecție C_p se obțin din paralelismul liniilor $C_p P$ și $C_p P'$ și apartenența lui P' la planul $z = 0$:

$$x' = \frac{xz_p - zx_p}{z_p - z}, \quad y' = \frac{yz_p - zy_p}{y_p - z}.$$

Proiecția perspectivă cu două puncte de fugă se poate obține printr-o rotație în jurul unei axe urmată de o proiecție perspectivă cu un singur punct de fugă. Transformarea perspectivă cu trei puncte de fugă se obține prin rotații în jurul a două sau mai multe axe principale urmate de transformarea perspectivă cu un singur punct de fugă.

În general, pentru a găsi coordonatele într-o proiecție perspectivă oarecare a unui punct material se rezolvă sistemul format din ecuația planului de proiecție și ecuația razei vizuale. Reprezentarea perspectivei pe planul de proiecție prin această modalitate este greoaie. De aceea, se determină, în primul rând, transformarea tridimensională care transpune reperul cartezian al lumii reale (în care este descris obiectul) în reperul cartezian asociat planului de proiecție și normalei la acesta, dusă prin centrul de proiecție. Se aplică această transformare obiectului, apoi se proiectează.

Funcție de înclinarea planului de proiecție față de centrul de proiecție și obiect se deosebesc:

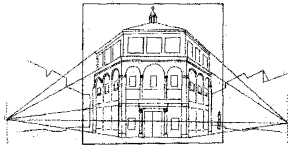


Figura 2.18: Imaginea în perspectivă a unui clădiri

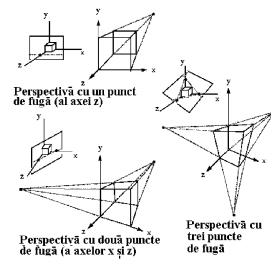


Figura 2.19: Proiecții perspective ale cubului

1. *perspectiva ascendentă* (cu punctul de fugă al verticalelor situat deasupra obiectului)
2. *perspectiva descendentă* (cu punctul de fugă al verticalelor situat sub obiect).

Perspectiva ascendentă a unui obiect apare în situația în care observatorul privește obiectul de jos și destul de aproape. Perspectiva descendentă a unui obiect apare în situația în care observatorul privește obiectul de sus și de aproape.

2.4.3 Proiecția paralelă

Funcție de unghiul dintre direcția de proiecție și normala la planul de proiecție, proiecția paralelă poate fi:

1. *proiecție ortografică (ortogonală)*, în cazul în care direcția de proiecție coincide cu normala la planul de proiecție, adică direcția de proiecție este perpendiculară pe planul de proiecție;
2. *proiecție oblică*, în cazul în care direcția de proiecție diferă de normala la planul de proiecție.

Proiecția ortografică

Cele mai comune proiecții ortogonale sunt proiecțiile care utilizează, ca plane de proiecție, anumite plane perpendiculare pe axele de coordonate. Denumirea dată în desenul tehnic unor asemenea proiecții ale obiectelor sunt *plan (vedere de sus)*, *profil (vedere laterală)* și *elevație (vedere frontală)*.

În figura 2.20 se prezintă cele trei asemenea proiecții ale unei case (originea sistemului de coordonate se află la intersecția celor trei plane de proiecție). Aceste proiecții au proprietatea de a păstra distanțele și unghiurile, astfel încât sunt des utilizate în inginerie și construcții. Natura tridimensională a obiectului este însă greu de înțeles, chiar dacă se studiază simultan cele trei proiecții ale respectivului obiect.

Fie punctul de coordonate omogene $(x, y, z, 1)$. Vederea frontală (proiecția pe planul xOy) are matricea caracteristică

$$\begin{pmatrix} 1 & 0 & 0 & 0 \\ 0 & 1 & 0 & 0 \\ 0 & 0 & 0 & 0 \\ 0 & 0 & 0 & 1 \end{pmatrix},$$

astfel încât ecuațiile transformării sunt $x' = x$, $y' = y$, $z' = 0$. Pentru vederea de sus (proiecția pe planul xOz) se efectuează rotația de unghi -90° în jurul axei x și proiecția pe planul xOy :

$$\begin{pmatrix} 1 & 0 & 0 & 0 \\ 0 & 1 & 0 & 0 \\ 0 & 0 & 0 & 0 \\ 0 & 0 & 0 & 1 \end{pmatrix} \begin{pmatrix} 1 & 0 & 0 & 0 \\ 0 & 0 & 1 & 0 \\ 0 & -1 & 0 & 0 \\ 0 & 0 & 0 & 1 \end{pmatrix},$$

astfel încât $x' = x$, $y' = z$, $z' = 0$. Pentru vederea laterală (proiecția pe planul yOz) se efectuează rotația de unghi 90° în jurul axei y și proiecția pe planul xOy :

$$\begin{pmatrix} 1 & 0 & 0 & 0 \\ 0 & 1 & 0 & 0 \\ 0 & 0 & 0 & 0 \\ 0 & 0 & 0 & 1 \end{pmatrix} \begin{pmatrix} 0 & 0 & 1 & 0 \\ 0 & 1 & 0 & 0 \\ -1 & 0 & 0 & 0 \\ 0 & 0 & 0 & 1 \end{pmatrix},$$

astfel încât $x' = z$, $y' = y$, $z' = 0$.

Pentru a oferi cât mai multe informații despre obiectele reprezentate în proiecție, cele trei proiecții ortografice menționate mai sus sunt adesea detaliate astfel:

1. vedere din față: în planul $z = 0$, cu centrul de proiecție la infinit pe semiaxa $+z$;
2. vedere din spate: în planul $z = 0$, cu centrul de proiecție la infinit pe semiaxa $-z$;

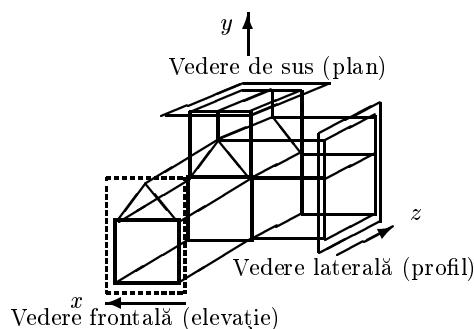


Figura 2.20: Planul, profilul și elevația unei case

3. vedere din stânga: în planul $x = 0$, cu centrul de proiecție la infinit pe semi-axa $+x$;
4. vedere din dreapta: în planul $x = 0$, cu centrul de proiecție la infinit pe semi-axa $-x$;
5. vedere de sus: în planul $y = 0$, cu centrul de proiecție la infinit pe semi-axa $+y$;
6. vedere de jos: în planul $y = 0$, cu centrul de proiecție la infinit pe semi-axa $-y$.

Proiecțiile *axonometrice* sunt de asemenea cazuri particulare de proiecții ortogonale, pentru care planul de proiecție nu mai este perpendicular pe nici o axă a sistemului de referință. Acest tip de proiecții păstrează paralelismul liniilor, dar nu și unghiurile. Distanțele se măsoară de-a lungul fiecărei axe de coordonate, în general, cu factori de scală diferiți.

Cea mai utilizată proiecție ortografică axonometrică este *proiecția izometrică*, pentru care direcția de proiecție (care coincide cu normala la planul de proiecție) face unghiuri egale cu cele trei axe ale sistemului de referință. În cazul acestei proiecții cei trei factori de scară pentru măsurarea lungimilor sunt egali (*iso* semnifică egal, iar *metric* indică o măsură), iar axele principale se proiectează pe plan în trei drepte care fac unghiuri egale (figura 2.21.b). Există doar opt direcții de proiecție care permit proiecții izometrice. În figura 2.21.a este prezentată o astfel de proiecție a unui cub.

Într-o proiecție *dimetrică* (figura 2.22), vectorul normal la planul de proiecție (direcția de proiecție) face unghiuri egale cu două axe dintre axele sistemului de coordonate, spre deosebire de o proiecție izometrică pentru care toate cele trei unghiurile sunt egale. Într-o proiecție *trimetrică* unghiurile dintre vectorul normal și cele trei axe sunt diferite. Astfel proiecția izometrică este un caz particular de proiecție dimetrică, iar proiecția dimetrică este un caz particular al proiecției trimetrică.

O proiecție axonometrică se poate obține prin transformarea obiectelor folosind rotații și translații urmată de o proiecție ortografică. Astfel, o proiecție trimetrică se obține prin una sau mai multe rotații, într-o ordine arbitrară, în jurul axelor sistemului de coordonate, urmate de o proiecție în planul z . Dacă se consideră rotația de unghi φ în jurul axei y , rotația de unghi θ în jurul axei x și apoi proiecția ortografică în planul z , proiecțiile izometrice se obțin pentru

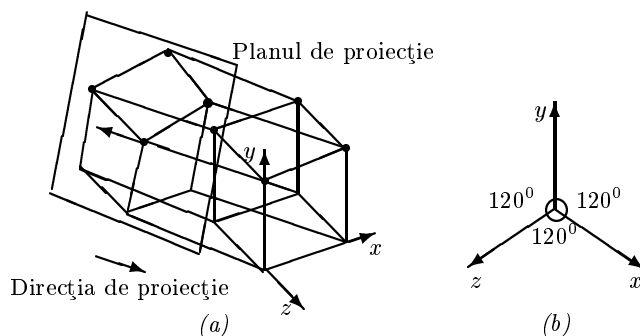


Figura 2.21: Proiecții izometrice (a) Construirea proiecției unui cub în direcția $(1, -1, -1)$ (b) Proiecția izometrică a versorilor în direcția $(1, 1, 1)$

$$\varphi = \arcsin(1/\sqrt{3}) = \pm 35.26^\circ, \theta = \arcsin(1/2) = \pm 45^\circ.$$

Proiecția oblică

Este obținută prin proiectarea unui obiect de-a lungul unor linii paralele care nu sunt perpendiculare pe planul de proiecție. Proiecția unei fețe a obiectului, paralelă cu planul de proiecție, permite măsurarea corectă a unghiurilor și distanțelor, celelalte proiecții ale fețelor permitând doar măsurarea distanțelor.

O proiecție oblică pe planul xOy este caracterizată prin punctul în care este proiectat $M(0,0,1)$, distanța r de la origine a noului punct și unghiul α dintre raza r și Ox (figura 2.23.a). Funcție de aceste valori se pot exprima noile coordonate (x', y', z') ale proiecției oblice pe planul xOy a unui punct oarecare (x, y, z) (vezi figura 2.23.b):

$$\begin{cases} x' = x + zr \cos \alpha, \\ y' = y + zr \sin \alpha, \\ z' = 0, \end{cases}$$

adică în coordonate omogene,

$$\begin{pmatrix} x' \\ y' \\ z' \\ 1 \end{pmatrix} = \begin{pmatrix} 1 & 0 & r \cos \alpha & 0 \\ 0 & 1 & r \sin \alpha & 0 \\ 0 & 0 & 0 & 0 \\ 0 & 0 & 0 & 1 \end{pmatrix} \begin{pmatrix} x \\ y \\ z \\ 1 \end{pmatrix}.$$

Proiecția ortogonală pe xOy se obține când $r = 0$.

Cele mai frecvente proiecții oblice sunt:

- (a) proiecția cavalieră, pentru care $r = 1$;
- (b) proiecția cabinet, pentru care $r = 1/2$.

În *proiecția cavalieră* direcția de proiecție face un unghi de 45° cu planul de proiecție, astfel încât proiecția unui segment de dreaptă perpendicular pe planul de proiecție are aceeași lungime ca și segmentul însuși (figura 2.24.a).

În *proiecția cabinet* direcția de proiecție face un unghi de $\arctg(2) \approx 63.4^\circ$ cu planul de proiecție, astfel încât segmentele perpendiculare pe planul de proiecție se proiectează la $1/2$ din lungimea lor reală (figura 2.24.b).

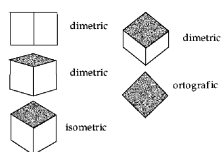


Figura 2.22: Proiecții dimetrice ale unui cub

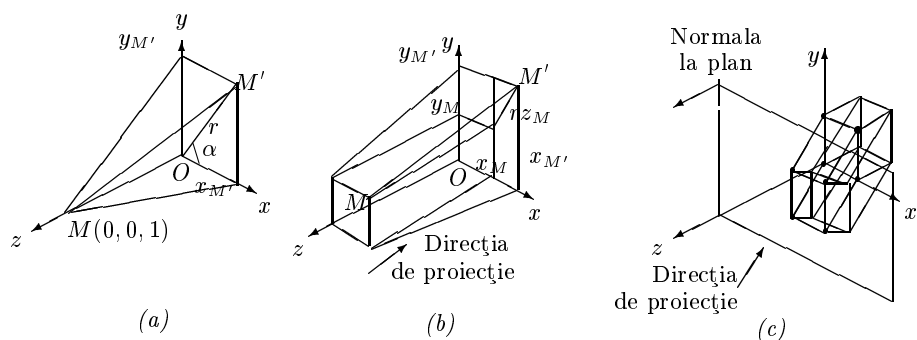


Figura 2.23: Proiecția oblică (a) Construirea proiecției punctului $M(0, 0, 1)$ pe planul xOy (b) Proiecția unui punct oarecare pe planul xOy (c) Proiecția unui cub pe un plan paralel cu axa y

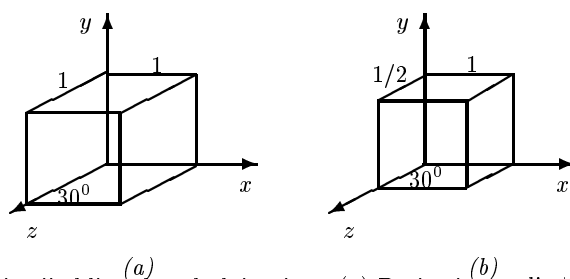


Figura 2.24: Proiecții oblice ale cubului unitate (a) Proiecția cavalieră cu direcția de proiecție $(\sqrt{3}/2, 1/2, -1)$ (b) Proiecția cabinet cu direcția de proiecție $(\sqrt{3}/4, 1/4, -1)$



Figura 2.25: Plan oblic a unui oraș

Dintre proiecțiile oblice, proiecția cabinet oferă imaginile cele mai realiste (figura 2.25).

2.4.4 Transformări proiective

Se determină în cele ce urmează matricea 4×4 caracteristică unei transformări proiective oarecare. Presupunem că în proiecția perspectivă planul de proiecție este perpendicular pe axa z , iar în proiecția paralelă, planul de proiecție este $z = 0$ (planul xOy). Fie $P(x, y, z)$ un punct oarecare al spațiului și $P'(x', y', z')$ proiecția acestuia.

Se consideră următoarele trei cazuri:

1. *Centrul de proiecție perspectivă se află în originea sistemului, iar planul de proiecție este $z = d$.*

Din asemănarea triunghiurilor din figura 2.26 (b) și (c) rezultă

$$\frac{x'}{d} = \frac{x}{z}, \quad \frac{y'}{d} = \frac{y}{z},$$

adică $x' = xd/z$, $y' = yd/z$, $z' = d$. Astfel, divizarea cu z a coordonatelor în proiecția perspectivă explică faptul că obiectele mai îndepărtate apar mai mici decât obiectele mai apropiate de centrul de proiecție. Matricea transformării este

$$M_{pers} = \begin{pmatrix} 1 & 0 & 0 & 0 \\ 0 & 1 & 0 & 0 \\ 0 & 0 & 1 & 0 \\ 0 & 0 & 1/d & 0 \end{pmatrix}.$$

Multiplicând $(x, y, z, 1)^T$ cu M_{pers} se obține punctul omogen $(X, Y, Z, W)^T = (x, y, z, z/d)^T$. Coordonatele carteziene asociate punctului omogen se obțin prin diviziune cu W , adică $(x', y', z') = (X/W, Y/W, Z/W) = (xd/z, yd/z, d)$.

2. *Centrul de proiecție se află la $z = -d$, iar planul de proiecție este $z = 0$.* Din asemănarea triunghiurilor din figura 2.27 se obține

$$\frac{x'}{d} = \frac{x}{z+d}, \quad \frac{y'}{d} = \frac{y}{z+d},$$

adică $x' = x/(z/d + 1)$, $y' = y/(z/d + 1)$, $z' = 0$. Matricea transformării este

$$M'_{pers} = \begin{pmatrix} 1 & 0 & 0 & 0 \\ 0 & 1 & 0 & 0 \\ 0 & 0 & 0 & 0 \\ 0 & 0 & 1/d & 1 \end{pmatrix}.$$

Spre deosebire de cazul anterior, această formulare permite includerea proiecțiilor paralele: dacă $1/d \rightarrow 0$, se obține proiecția ortografică pe planul $z = 0$, de ecuații $x' = x$, $y' = y$, $z' = 0$.

3. *Planul de proiecție este $z = z_p$, iar centrul de proiecție se află la distanța Q de punctul $(0, 0, z_p)$ în direcția vectorului normalizat (dx, dy, dz) (figura 2.28).* Dreapta care unește centrul de proiecție C_p și punctul P

poate fi descrisă parametric: $C_p + t(P - C_p)$, $t \in \mathbb{R}$. Punctul P' se află pe această dreaptă. Cum $C_p = (0, 0, z_p) + Q(dx, dy, dz)$,

$$\begin{cases} x' = Qdx + t(x - Qdx), \\ y' = Qdy + t(y - Qdy), \\ z' = (z_p + Qdz) + t[z - (z_p + Qdz)]. \end{cases}$$

Cum P' se află în planul $z' = z_p$, se obține t :

$$t = \frac{z_p - (z_p + Qdz)}{z - (z_p + Qdz)} = \frac{1}{\frac{z_p - z}{Qdz} + 1}.$$

Astfel

$$x' = Qdx + \frac{x - Qdx}{\frac{z_p - z}{Qdz} + 1} = \frac{x - z \frac{dx}{dz} + z_p \frac{dx}{dz}}{\frac{z_p - z}{Qdz} + 1},$$

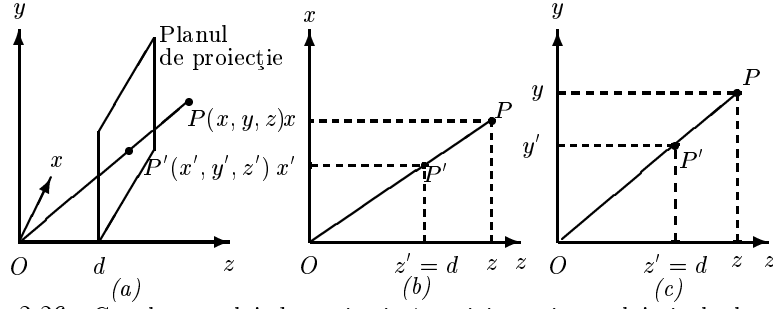


Figura 2.26: Cazul centrului de proiecție în originea sistemului și al planului de proiecție $z = d$ (a) Construcția proiecției (b) Proiecție pe planul xOz (c) Proiecție pe planul yOz

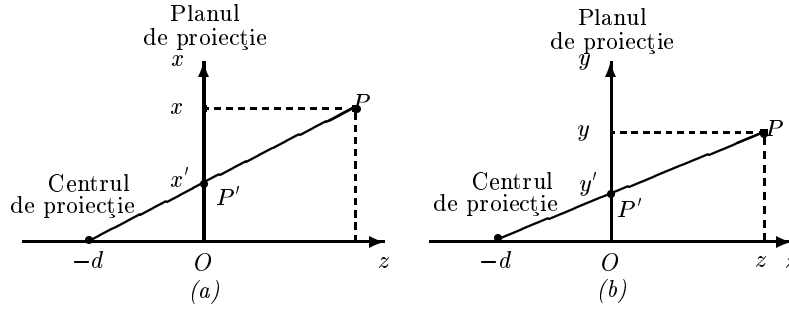


Figura 2.27: Cazul centrului de proiecție la $z = -d$ și al planului de proiecție $z = 0$ (a) Proiecție pe planul xOz (b) Proiecție pe planul yOz

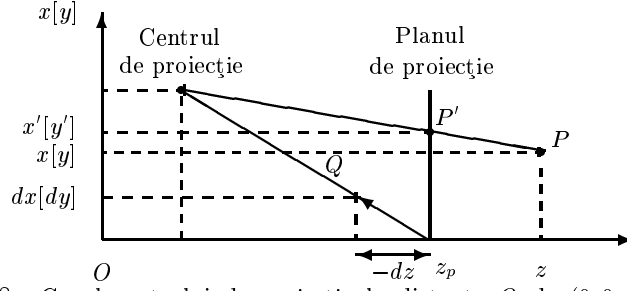


Figura 2.28: Cazul centrului de proiecție la distanța Q de $(0, 0, z_p)$ în direcția (dx, dy, dz) și planul de proiecție $z = z_p$

$$y' = \frac{y - z \frac{dy}{dz} + z_p \frac{dy}{dz}}{\frac{z_p - z}{Q dz} + 1}, \quad z' = z_p = z_p \frac{\frac{z_p - z}{Q dz} + 1}{\frac{z_p - z}{Q dz} + 1} = \frac{-z \frac{z_p}{Q dz} + \frac{z_p^2 + z_p Q dz}{Q dz}}{\frac{z_p - z}{Q dz} + 1}.$$

Matricea transformării este constituită astfel încât ultima linie înmulțită cu $(x, y, z, 1)^T$ să producă coordonata omogenă w egală cu numitorul comun al fracțiilor de mai sus:

$$M_{general} = \begin{pmatrix} 1 & 0 & -\frac{dx}{dz} & z_p \frac{dx}{dz} \\ 0 & 1 & -\frac{dy}{dz} & z_p \frac{dy}{dz} \\ 0 & 0 & -\frac{z_p}{Q dz} & \frac{z_p^2}{Q dz} + z_p \\ 0 & 0 & -\frac{1}{Q dz} & \frac{z_p}{Q dz} + 1 \end{pmatrix}.$$

Matricele cazurilor anterioare se pot regăsi în această reprezentare. Astfel,

- pentru M_{pers} , $z_p = d$, $Q = d$, $(dx, dy, dz) = (0, 0, -1)$;
- pentru M'_{pers} , $z_p = 0$, $Q = d$, $(dx, dy, dz) = (0, 0, -1)$;
- pentru proiecția ortogonală pe $z = 0$, $z_p = 0$, $Q = \infty$, $(dx, dy, dz) = (0, 0, -1)$;
- pentru proiecția cavalieră pe $z = 0$, $z_p = 0$, $Q = \infty$, $(dx, dy, dz) = (\cos \alpha, \sin \alpha, -1)$;
- pentru proiecția cabinet pe $z = 0$, $z_p = 0$, $Q = \infty$, $(dx, dy, dz) = (1/2 \cos \alpha, 1/2 \sin \alpha, -1)$.

Când $Q \neq \infty$, $M_{general}$ definește o proiecție perspectivă cu un punct de fugă. Punctul de fugă se obține multiplicând punctul de la infinit de pe axa z , reprezentat în coordonate omogene prin $(0, 0, 1, 0)^T$, cu $M_{general}$. Se obține $x' = Q dx$, $y = Q dy$, $z' = z_p$.

2.4.5 Descrierea sistemului de vizualizare

Pentru definirea unei proiecții s-au convenit o serie de notații, specificate în cele ce urmează.

Planul de proiecție este definit printr-un punct de referință al planului P_r și normala la plan, vectorul n .

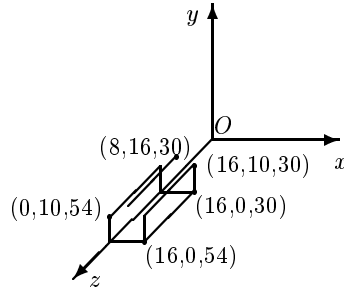


Figura 2.29: Coordonatele definitorii ale unui schelet de casă ce urmează a fi proiectat

Se construiește sistemul de vedere de referință (asociat planului de proiecție și normalei la acesta) astfel:

- originea sistemului este P_r ;
- una din axe este n ;
- o altă axă este vectorul v , care este proiecția pe planul de proiecție a verticalei imaginii (de obicei, proiecția axei y din sistemul lumii reale);
- a treia axă, u , este determinată astfel încât $u \times v = n$.

Planul de proiecție este astfel uP_rv .

Fereastra dreptunghiulară din planul de proiecție este definită relativ la axele de coordonate u și v , nu neapărat simetric față de P_r . Se notează centrul ferestrei cu C_f .

Centrul de proiecție C_p și direcția de proiecție D_p sunt definite printr-un punct de referință al proiecției P_d și un indicator al tipului de proiecție. Dacă proiecția este perspectivă, $C_p = P_d$. Dacă proiecția este paralelă, D_p este definită de vectorul cu originea în P_d și capătul în C_f .

Specificările *clasice* ale proiecțiilor în notațiile de mai sus sunt următoarele:

- P_r = originea sistemului de coordonate ale lumii reale, xyz ;
- n = axa z ;
- v = axa y ;
- fereastra: $[0, 1] \times [0, 1]$ în planul uP_rv ;
- $P_d = (0.5, 0.5, 1)$ în sistemul uvn .

De exemplu, parametrii proiecției paralele pe xOy sunt

$$P_r = (0, 0, 0) \ (xyz), \quad n = (0, 0, 1) \ (xyz), \quad v = (0, 1, 0) \ (xyz),$$

$$P_d = (0.5, 0.5, 1) \ (uvn), \text{ Fereastra} = (0, 1, 0, 1) \ (uvn), \text{ Proiecție: paralelă}$$

Se consideră exemplul casei din figura 2.29. O proiecție perspectivă pe un plan ce taie axa z este prezentată în figura 2.30. Proiecția paralelă pe planul $z = 0$ produce imaginea din figura 2.31. În figura 2.32 sunt trasate alte trei proiecții ale casei.

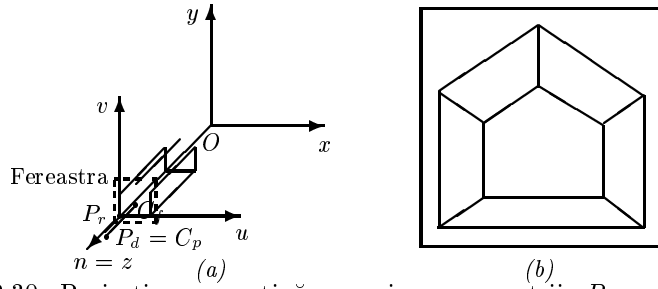


Figura 2.30: Proiecția perspectivă a casei cu parametrii: $P_r = (0, 0, 54)$, $n = (0, 0, 1)$, $v = (0, 1, 0)$, $P_d = (8, 6, 30)$, Fereastra= $(-1, 17, -1, 17)$, Proiecție: perspectivă (a) Elementele caracteristice proiecției (b) Imaginea rezultată

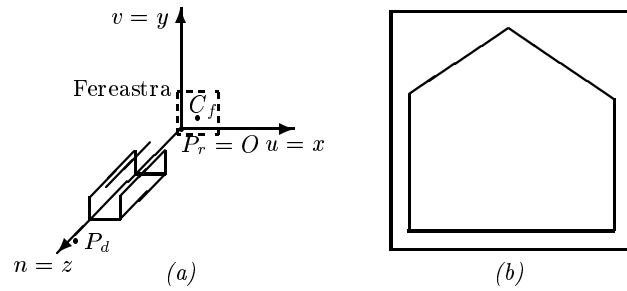


Figura 2.31: Proiecția paralelă a casei cu parametrii: $P_r = (0, 0, 0)$, $n = (0, 0, 1)$, $v = (0, 1, 0)$, $P_d = (8, 8, 100)$, Fereastra= $(-1, 17, -1, 17)$, Proiecție: paralelă (a) Elementele caracteristice proiecției (b) Imaginea rezultată

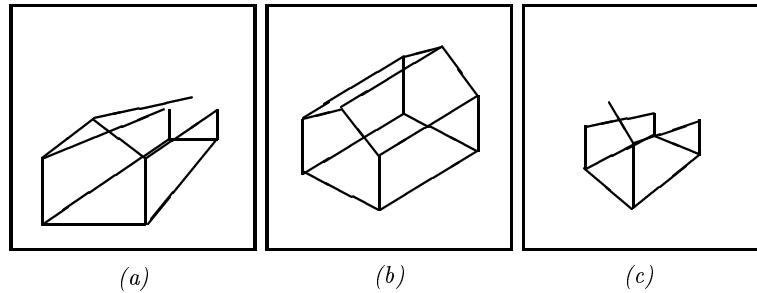


Figura 2.32: Proiecții cu parametrii (a) $P_r = (16, 0, 54)$, $n = (0, 0, 1)$, $v = (0, 1, 0)$, $P_d = (20, 25, 20)$, Fereastra= $(-20, 20, -5, 35)$, Proiecție: perspectivă (cu un punct de fugă) (b) $P_r = (8, 8, 42)$, $n = (1, 1, 1)$, $v = (0, 1, 0)$, $P_d = (0, 0, 10)$, Fereastra= $(-20, 20, -20, 20)$, Proiecție: paralelă (izometrică) (c) $P_r = (16, 0, 54)$, $n = (1, 0, 1)$, $v = (0, 1, 0)$, $P_d = (0, 25, 20\sqrt{2})$, Fereastra= $(-20, 20, -5, 35)$, Proiecție: perspectivă (cu două puncte de fugă)

2.5 Volumul de vedere

Ochiul uman poate observa toate obiectele situate în interiorul unui con de vedere. Directoarea acestui con situată într-un plan normal pe direcția de observare este eliptică. În aplicațiile grafice se înlocuiește conul de vedere cu o piramidă de vedere (figura 2.33).

Astfel, se poate imagina că observatorul privește lumea printr-o fereastră dreptunghiulară decupată într-un plan opac, situată la o anumită distanță de observator.

În vizualizarea 3D trebuie specificate un *volum de vedere*, o *proiecție* pe un *plan*, o *fereastră* în acel plan și o *zonă de lucru* pe suprafața de vizualizare. Conținutul volumului de vedere este proiectat în fereastra din planul de proiecție și apoi este transferat în zona de lucru. Figura 2.34 schițează acest model conceptual de vizualizare 3D.

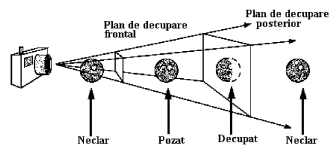


Figura 2.33: Volumul de vizualizare în cazul unui aparat de fotografiat

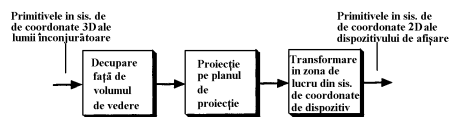


Figura 2.34: Modelul conceptual al procesului de vizualizare tridimensională

Volumul de vedere (sau *volum de vizualizare*) mărginește acea porțiune din spațiul lumii reale care va fi proiectat pe planul de proiecție. Este definit astfel:

1. în proiecția perspectivă, ca o piramidă semi-infinită cu vârful în centrul de proiecție și cu laturile trecând prin colțurile ferestrei din planul de proiecție;
2. în proiecția paralelă, ca un paralelipiped infinit cu laturile paralele cu direcția de proiecție.

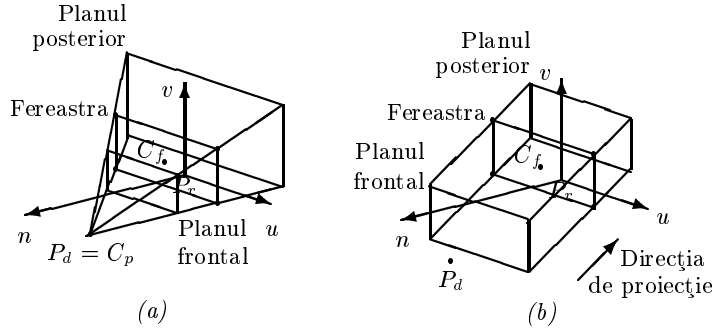


Figura 2.35: Volumul de vedere (a) Cazul proiecției perspective (b) Cazul proiecției paralele

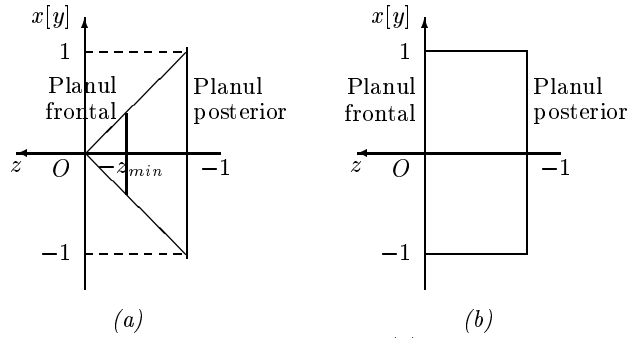


Figura 2.36: Secțiuni ale volumului de vedere canonic (a) Cazul proiecției perspective (b) Cazul proiecției paralele

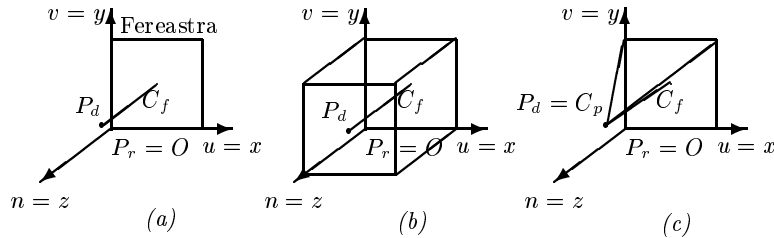


Figura 2.37: (a) Elementele caracteristice ale proiecției în specificarea clasică (b) Volumul de vedere în proiecția paralelă (c) Volumul de vedere în proiecția perspectivă

Pentru a limita numărul de primitive grafice proiectate în planul de proiecție, aceste volume sunt transformate în corpuri „finite” prin introducerea a două plane de limitare, paralele cu planul de proiecție, în fața și în spatele acestuia, aflate la distanțe bine definite de-a lungul normalei la planul de proiecție (figura 2.35).

Se obține un trunchi de piramidă, respectiv un paralelipiped.

În urma transformării de *normalizare* a volumului de vedere, planele ce definesc frontiera noului volum, numit *volum de vedere canonic*, sunt:

1. pentru proiecția paralelă, $x = -1, x = 1, y = -1, y = 1, z = 0, z = -1$ (figura 2.36.a);
2. pentru proiecția perspectivă, $x = z, x = -z, y = z, y = -z, z = -z_{min}, z = -1$ (figura 2.36.b).

Volumele de vedere asociate specificării clasice sunt prezentate în figura 2.37.

Transformarea unui volum de vedere al unei în proiecții paralele în volum de vedere canonic

Seria de transformări este următoarea (figura 2.38):

1. translatarea punctului de referință P_r în origine;
2. rotirea sistemului de referință astfel încât axa n devine axa z , u devine x și axa v devine y ;
3. înclinare astfel încât direcția de proiecție să devină paralelă cu axa z ;
4. translație și scalare pentru obținerea volumului canonic.

Pasul 1 corespunde unei translații $T = T(-P_r)$. Pentru pasul 2 se utilizează proprietatea matricelor ortogonale discutate în secțiunile anterioare. Fie R matricea de rotație. Cum n este rotit pe z ,

$$R_z = \frac{n}{\|n\|}.$$

Vectorul v este proiecția pe planul de proiecție a verticalei imaginii, notată V (de obicei axa y). Axa u este perpendiculară pe V și n și deci poate fi obținută din $V \times R_z$; fiind rotită pe axa x ,

$$R_x = \frac{V \times R_z}{\|V \times R_z\|}.$$

Axa v este perpendiculară pe R_z și R_x și este rotită pe y , astfel încât

$$R_y = R_z \times R_x.$$

Matricea de rotație din pasul 2 este astfel

$$R = \begin{pmatrix} R_x^T & 0 \\ R_y^T & 0 \\ R_z^T & 0 \\ 0_3 & 1 \end{pmatrix}, \quad 0_3 = (0, 0, 0).$$

Al treilea pas presupune înclinarea volumului de vedere de-a lungul axei z astfel încât planele sale să fie normale la una din axele sistemului de coordonate. Direcția de proiecție D_p , în urma acestei transformări, trebuie să coincidă cu axa z . D_p este definită de vectorul de la P_d la centrul ferestrei C_f , iar P_d (transformat) este specificat în coordonatele sistemului $u v n$. Cum primele două transformări au pus în corespondență sistemul $u v n$ cu sistemul de coordonate

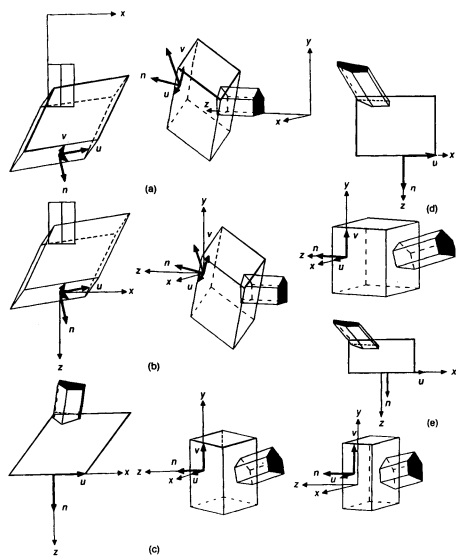


Figura 2.38: Rezultate ale etapelor transformării în volum canonic al proiecției paralele (a) Sistemul de vizualizare inițial (b) P_r translatat în origine (c) Rotirea sistemului de referință $u v n$ (d) Inclinarea volumului de vedere (e) Translație și scalare

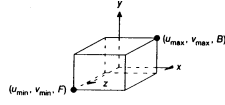


Figura 2.39: Volumul de vedere după transformările de la pașii 1, 2 și 3

a lumii înconjurătoare xyz , P_d este de asemenea în sistemul de coordonate a lumii înconjurătoare. Atunci $D_p = C_f - P_d$. Fie $D_p = (d_x, d_y, d_z, 0)$, $C_f = ((u_{max} + u_{min})/2, (v_{max} + v_{min})/2, 0, 1)$, $P_d = (p_u, p_v, p_n, 1)$. Se caută în pasul 3 matricea transformării de înclinare

$$H = \begin{pmatrix} 1 & 0 & h_x & 0 \\ 0 & 1 & h_y & 0 \\ 0 & 0 & 1 & 0 \\ 0 & 0 & 0 & 1 \end{pmatrix}$$

pentru care noua direcție de proiecție coincide cu axa z , adică $(0, 0, d_z, 0)^T = H \cdot D_p$. Ținând seama de forma matricei H , obținem

$$h_x = -\frac{d_x}{d_z}, \quad h_y = -\frac{d_y}{d_z}.$$

Dacă proiecția este ortografică, atunci $d_x = d_y = 0$ astfel încât și $h_x = h_y$, iar H este matricea identitate. Volumul de vedere după aceste trei transformări este delimitat de

$$u_{min} \leq x \leq u_{max}, \quad v_{min} \leq y \leq v_{max}, \quad B \leq z \leq F$$

unde F și B sunt distanțe de la P_r de-a lungul lui n la planele de decupare frontal și posterior (figura 2.39). Ultimul pas constă în transformarea acestui volum în volum canonic. Acest pas presupune translatarea centrului planului frontal al volumului de vedere în origine și scalarea la dimensiunile $2 \times 2 \times 1$ a volumului canonic:

$$T_{par} = T \left(-\frac{u_{max} + u_{min}}{2}, -\frac{v_{max} + v_{min}}{2}, -F \right)$$

$$S_{par} = S \left(\frac{2}{u_{max} - u_{min}}, \frac{2}{v_{max} - v_{min}}, \frac{1}{F - B} \right)$$

Transformarea căutată este deci

$$N_{par} = S_{par} \cdot T_{par} \cdot H \cdot R \cdot T.$$

N_{par} transformă un volum arbitrar de vedere al unei proiecții paralele, în volum de vedere canonic, permițând astfel decuparea primitivelor față de volumul canonic.

Transformarea unui volum de vedere al unei proiecții perspective în volum de vedere canonic

Seria de transformări este următoarea (figura 2.40):

1. translatarea punctului de referință P_r în origine;
2. rotirea sistemului de referință uvn astfel încât axa n să devină axa z , axa u să devină x , iar v să devină y ;
3. translatarea centrului de proiecție $C_p = P_d$ în origine;
4. înclinarea conform căreia linia centrală a volumului de vedere devine axa z ;
5. scalare astfel încât volumul de vedere devine volum canonic.

Pașii 1 și 2 sunt identici cu cei din cazul proiecției paralele: $R \cdot T$. Pasul 3 presupune o translatare $T_{per} = T(-P_d)$. Linia centrală a volumului de vedere, care trece prin origine și centrul ferestrei nu coincide cu axa z . Scopul pasului 4 este transformarea acestei linii în axa z (figura 2.41). Linia centrală trece de la P_d la C_f , direcția fiind aceeași ca în proiecția paralelă. Astfel matricea de înclinare este aceeași ca în cazul proiecției paralele. După ce înclinarea este aplicată, fereastra (și deci și volumul de vedere) este centrată pe axa z . Marginile ferestrei sunt definite de

$$-\frac{u_{max} - u_{min}}{2} \leq x \leq \frac{u_{max} - u_{min}}{2}, \quad -\frac{v_{max} - v_{min}}{2} \leq y \leq \frac{v_{max} - v_{min}}{2}.$$

P_r care înainte de pasul 3 a fost în origine, este translatat prin pasul 3 și înclinat prin pasul 4, astfel încât după transformare se află la $H \cdot T(-P_d) \cdot (0, 0, 0, 1)^T$, componenta z a acestuia fiind $-p_n$, a 3-a coordonată a lui $-P_d$, deoarece înclinarea nu afectează coordonatele z . Pasul final constă în scalarea de-a lungul celor trei axe pentru a crea volumul canonic (figura 2.42). Primul subpas presupune scalarea pe x și y , diferențiat, pentru a obține pantele corespunzătoare volumului de vedere canonic; în plus se dorește ca volumul rezultat să aibă semi-înălțimea și semi-lățimea egale cu p_n . Factorii de scală sunt $2p_n/(u_{max} - u_{min})$ și $2p_n/(v_{max} - v_{min})$. În al doilea subpas, se aplică o scalare uniformă de-a lungul celor trei axe (pentru menținerea pantelor) astfel încât planul $z = -p_n + B$ să devină planul $z = -1$. Factorul de scală este $-1/(-p_n + B)$. Astfel

$$S_{per} = S \left(\frac{-2p_n}{(u_{max} - u_{min})(-p_n + B)}, \frac{-2p_n}{(v_{max} - v_{min})(-p_n + B)}, \frac{-1}{-p_n + B} \right).$$

Transformarea căutată este

$$N_{per} = S_{per} \cdot H \cdot T_{per} \cdot R \cdot T.$$

Observație: N_{per} și N_{par} nu afectează coordonata omogenă w a punctelor transformate, astfel încât împărțirea cu w nu este în mod normal necesară. Astfel coordonatele omogene obținute prin trecerea la volumul de vedere canonic pot fi ușor transformate din nou în spațiul tridimensional, după care se poate aplica decuparea față de volumul de vedere canonic și în final matricea de proiecție $M_{general}$.

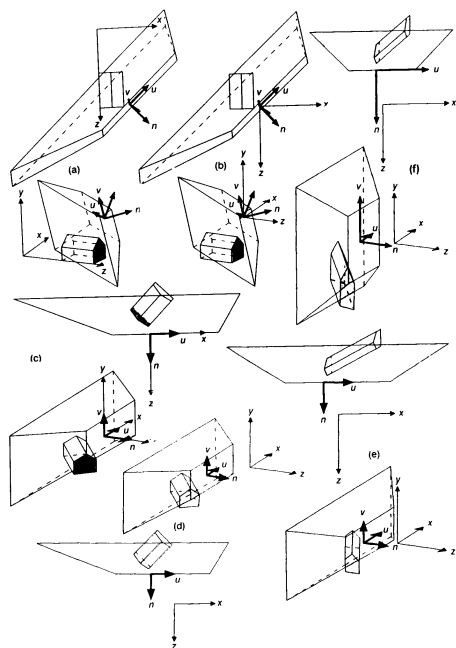


Figura 2.40: Transformarea în volum canonic al proiecției perspective: (a) sist. vizualizare inițial (b) P_r translatat în origine (c) u, v, n este aliniat la xyz (d) C_p translatat în origine (e) înclinare volum (f) scalare volum

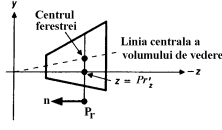


Figura 2.41: Secțiune prin volumul de vedere după transformările pașilor 1, 2 și 3

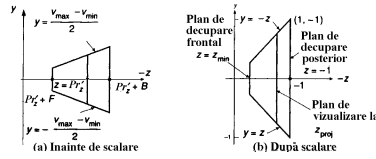


Figura 2.42: Secțiune a volumului de vedere înainte și după scalare

Transformarea volumului canonic al proiecției perspective în volumul canonic al proiecției paralele

Volumul de vedere canonic din proiecția perspectivă poate fi transformat în volumul de vedere canonic din proiecția paralelă astfel: unui punct (x, y, z) din interiorul trunchiului de piramidă îi corespunde un punct (x', y', z') din interiorul paralelipipedului prin relațiile

$$x' = -\frac{x}{z}, \quad y' = -\frac{y}{z}, \quad z' = \frac{z_{min} - z}{z_{min} + 1}.$$

Matricea corespunzătoare

$$M = \begin{pmatrix} 1 & 0 & 0 & 0 \\ 0 & 1 & 0 & 0 \\ 0 & 0 & \frac{1}{1+z_{min}} & \frac{-z_{min}}{1+z_{min}} \\ 0 & 0 & -1 & 0 \end{pmatrix}, \quad z_{min} = -1,$$

indică o transformare perspectivă. Astfel, pentru construirea imaginii prin proiecție perspectivă a unui corp 3D se poate proceda în două moduri:

- se proiectează fiecare punct component, noile componente fiind stocate separat;
- se aplică corpului transformarea perspectivă care îl deformează astfel încât proiecția paralelă a corpului obținut să coincidă cu proiecția perspectivă a obiectului inițial. În acest fel imaginea va fi stocată în memorie

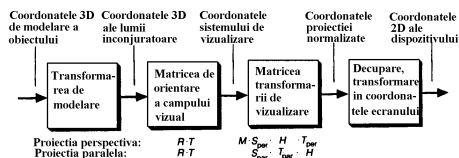


Figura 2.43: Sistemele de coordonate utilizate la vizualizare și relațiile între ele

prin chiar coordonatele x și y ale punctelor implicate. Se proiectează ortogonal corpul obținut.

Vizualizare 3D

Setul de transformări, în cazul general, care se aplică obiectelor pentru vizualizare este următorul:

1. extinderea coordonatelor 3D la coordonate omogene;
2. aplicarea transformării de normalizare N_{par} sau N_{per} ;
3. revenire la coordonate carteziane în 3D;
4. decupare în 3D față de volumul de vedere canonic;
5. extinderea coordonatelor 3D la coordonate omogene;
6. aplicarea proiecției paralele (în urma transformărilor aplicate mai sus este vorba de o proiecție ortografică pe planul xOy) sau aplicarea proiecției perspective (cazul 1 în care centrul de proiecție este în originea sistemului, iar planul de proiecție este $z = 1$);
7. translatarea și scalarea pentru trecerea la coordonatele dispozitivului;
8. trecerea la coordonate carteziane în 2D.

Obiectele sunt definite în *sistemul de coordonate ale obiectului* (numit și *sistemul de coordonate de modelare*, sau *sistemul de coordonate locale*). Obiectele sunt transformate în *sistemul de coordonate a lumii înconjurătoare* (sau *sistemul de coordonate a problemei*, sau *sistemul de coordonate a aplicației*), sistemul în care o scenă cu mai multe obiecte este reprezentată pe calculator, prin *transformarea de modelare*. Sistemul de referință a coordonatelor de vizualizare, sistemul *uvn*, este utilizat pentru definirea unui *volum de vedere*. Când originea acestui sistem este plasată în centrul de proiecție și planul de proiecție este normal pe axa z , sistemul se mai numește și *sistem de coordonate a ochiului* sau *sistem de coordonate ale camerei* (cu subînțeles de cameră foto sau de filmare). Primii trei pași din transformarea de normalizare a volumului de vedere realizează conversia dintre sistemul de coordonate ale lumii înconjurătoare în sistemul de coordonate ale camerei (figura 2.43). Din sistemul de coordonate ale camerei se trece la sistemul normalizat de coordonate a proiecției (sistemul de coordonate ecran 3D, sau sistemul de coordonate 3D a unui dispozitiv logic), adică *sistemul de coordonate a volumului de vedere*

canonic. Termenul de normalizat se referă la faptul că toate valorile coordonatelor sunt în intervalul $[0,1]$ sau $[-1,1]$, pe când termenul logic se referă la valori de coordonate într-un interval mai larg, de exemplu $[0,1023]$ (în acest caz sistemul nu este normalizat). Prin aplicarea proiecției de la 3D la 2D se crează *sistemul normalizat de coordonate 2D ale dispozitivului* (sau sistemul de coordonate a imaginii, sistem de coordonate rastru, sistemul de coordonate ecran, *sistem de coordonate ale dispozitivului fizic* – în contrast cu termenul de logic utilizat anterior).

3. Trasarea primitivelor grafice

3.1 Primitive grafice

Se numesc primitive grafice acele elemente de bază pe care programatorul le poate folosi pentru a realiza desenele necesare unei anumite aplicații. Primitiv-vele grafice ale unei aplicații grafice pot fi extrem de variate: puncte, segmente de dreaptă, caractere, dreptunghiuri, linii poligonale, poligoane, conice, curbe cubice, cuadrice, suprafețe bicubice, cub, paralelipiped, etc.

Se consideră un dispozitiv de afișare grafică cu tub catodic cu rastru dreptunghiular, cu originea $(0,0)$ în punctul din stânga jos al ecranului, cu valorile absciselor crescând la dreapta și valorile ordonatelor crescând în sus. Unitățile axelor u , v sunt egale cu distanțele dintre doi pixeli alăturați pe orizontală, respectiv verticală. Se presupune de asemenea că fiecare pixel de pe ecran are două stări posibile: aprins sau stins (imagine monocromă). Se neglijează, în acest capitol, celelalte atribute posibile pentru reprezentarea unei imagini pe ecran, cum sunt culoarea, nuanța, intensitatea, etc.

3.2 Trasarea incrementală

O atenție deosebită s-a acordat optimizării algoritmilor de trasare a primitivelor în ceea ce privește eficiența de execuție (viteza de generare a unei primitive). În acest scop se urmărește *reducerea numărului de operații în virgulă mobilă, în favoarea celor cu numere întregi și minimizarea numărului de înmulțiri și împărțiri* (microprocesoarele actuale nu conțin instrucțiuni pentru aritmetică în virgulă mobilă, astfel încât instrucțiunile de înmulțire și împărțire sunt mai lente decât operațiile de adunare și scădere).

Metodele de trasare incrementală se bazează pe *scheme cu diferențe* între mărimi asociate punctelor succesive, care conduc la relații liniare de transformare iterativă a unor variabile. Aceste relații liniare pot fi implementate în general prin operații simple de adunare și scădere de numere întregi. Metodele incrementale își dovedesc eficiența în special la trasarea curbelor de grad unu (linii drepte) și doi (cercuri, elipse, hiperbole, parabole).

Algoritmii de trasare incrementală a curbelor de grad cel mult doi pornesc de la anumiți parametri care caracterizează analitic curba și construiesc cea mai bună reprezentare discretizată a curbei respective. Se efectuează *deplasări elementare* între două puncte vecine pe orizontală, verticală sau diagonală, care se traduc prin operații simple de incrementare sau decrementare a *variabilelor de adresare fizică*. Algoritmul de trasare incrementală păstrează în permanență informații cu privire la starea curentă a procesului iterativ, prin intermediul uneia sau mai multor *variabile de stare*. Acestea permit realizarea cât mai simplă a funcțiilor algoritmului și sunt ușor actualizabile în vederea trecerii la următorul pas iterativ.

Ținând seama de faptul că modelul reprezentării este o curbă continuă

pentru care tangenta variază continuu, pe când spațiul de afișare este discret, în dezvoltarea algoritmilor s-au adoptat următoarele convenții metodologice de reprezentare:

1. pentru fiecare punct generat la un capăt al curbei, sau la o margine a ferestrei de vizualizare, există exact un punct vecin pe orizontală, verticală sau diagonală, generat pe curbă.
2. orice alt punct generat pe curbă are exact două puncte vecine pe orizontală, verticală sau diagonală, generate pe curbă, cu care formează un unghi de 180^0 sau 135^0 (se evită unghiurile ascuțite în reprezentările discrete ale curbelor) pentru un raport aspectual unitar.

Aceste reguli sunt referite sub numele de *reguli de conexiune discretă*.

3.3 Segmente de linii

Pentru a trasa un segment de dreaptă trebuie cunoscute coordonatele capetelor acestuia. Deoarece un segment se trasează în timp, cele două puncte pot fi denumite extremitatea de început și extremitatea de sfârșit a segmentului.

Pentru trasarea segmentului pe ecran, numită *conversie prin baleiaj* (baleiere, scanare) sau *conversie scan*, se determină care sunt pixelii rastrului cei mai apropiați de imaginea ideală a segmentului (care vor fi aprinși). Segmentul obținut va arăta ca o scăriță (figura 3.1). Un pixel este reprezentat printr-un disc centrat în punctul de coordonate întregi (u, v) (în sistemele actuale diametrul unui pixel circular este mai mare decât spațiul interpixeli, deci reprezentarea din figură este exagerată). Segmentul de linie trasat are "lățimea" de un pixel.

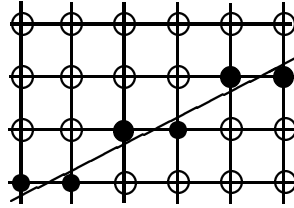


Figura 3.1: Un segment de dreaptă convertit prin baleiaj, pentru care pixelii aprinși sunt reprezentați prin cercuri negre

3.3.1 Algoritmul incremental de bază

Algoritmul incremental de bază sau algoritmul DDA (Digital Differential Analyzer) determină poziția pixelilor cei mai apropiați de un segment de linie, parcurgând pași unitari pe o axă de coordonate și calculând valorile corespunzătoare pe cealaltă axă. Fie xOy sistemul de coordonate ale dispozitivului de afișare.

În planul ecranului, ecuația dreptei care trece prin A și B este

$$y = y_A + m(x - x_A), \quad m = \frac{y_B - y_A}{x_B - x_A},$$

unde m reprezintă panta dreptei. Se presupune că, coordonatele punctelor extreme, $x_i, y_i, i = A, B$, sunt numere întregi. Altfel, se rotunjesc la cel mai apropiat întreg.

Dacă $x_B > x_A$, cea mai simplă strategie de discretizare a liniilor este calcularea pantei m , incrementarea lui x cu 1 pornind de la punctul A din partea stângă, calcularea lui $y_i = mx_i + y_A - mx_A$ pentru fiecare x_i și aprinderea pixelului $(x_i, \text{Round}(y_i))$, unde $\text{Round}(y_i) = \lfloor y_i + 0.5 \rfloor$; se selectează astfel cel mai apropiat pixel de linia ideală, anume pixelul a cărui distanță până la linia ideală este cea mai mică (figura 3.2.a). Se trece la următoarea valoare a lui x , până când x depășește pe x_B . Această strategie este inefficientă deoarece la fiecare iterație este necesară o multiplicare în virgulă mobilă, o adunare și invocarea unei funcții de tip `Floor` pentru partea întreagă. Putem elimina multiplicarea dacă incrementăm și pe y_i nu numai pe x_i .

Dacă la un moment dat intersecția cu o verticală a grilei este (x_i, y_i) și se aprinde pixelul $(x_i, \text{Round}(y_i))$, atunci la pasul următor intersecția cu următoarea verticală va fi (x_{i+1}, y_{i+1}) , unde $x_{i+1} = x_i + 1$, iar

$$y_{i+1} = \text{Round}(y_A + m(x_{i+1} - x_A)) = \text{Round}(y_A + m(x_i + 1 - x_A)) = \text{Round}(y_i + m).$$

Se va aprinde pixelul (x_{i+1}, y_{i+1}) .

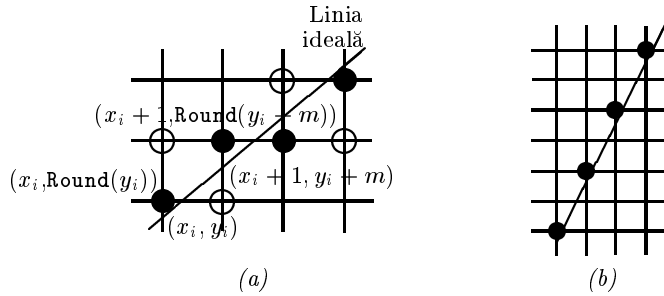


Figura 3.2: Algoritmul DDA (a) Calculul incremental pentru o pantă subunitară (b) Cazul incrementării unitare pe axa x cu $|m| > 1$

În următoarea secvență de cod, `WritePixel` este o procedură de nivel scăzut oferită de software-ul de dispozitiv.

```

Procedure Line(      {Presupune că  $-1 \leq m \leq 1, x_0 < x_1$ }
  x0, y0,            {Punct stânga}
  x1, y1,            {Punct dreapta}
  value : integer)   {Valoarea dată pixelilor liniei}
var
  x : integer;        {x variază între x0 și x1}
  dy, dx, x, m : real;
begin
  dy := y1 - y0;
  dx := x1 - x0;
  y := y0;
  for x := x0 to x1 do
    begin

```

```

        {Setează val.pixel}
        WritePixel( $x$ , Round( $y$ ),  $value$ );
         $y := y + m$ 
    end
end; {Line}

```

Pentru a proceda uniform indiferent de relația de ordine dintre x_A și x_B , se calculează $s = \text{sgn}(x_B - x_A)$ și formula de calcul a lui y rămâne neschimbată, doar că x se incrementează cu s în loc de 1.

Folosind acest raționament, segmentele mai apropiate de verticală decât de orizontală, ar apărea punctate (figura 3.2.b), deoarece panta $|m| > 1$, iar segmentele verticale nu ar putea fi reprezentate deoarece $x_B - x_A = 0$. Astfel se face distincție în algoritm între segmentele apropiate de orizontală și cele apropiate de verticală, pentru acestea din urmă calculându-se x în funcție de y și realizând incrementarea după y cu $s = \text{sgn}(y_B - y_A)$ între y_A și y_B .

3.3.2 Algoritmul punctului de mijloc

În algoritmul DDA ponderea cea mai mare o ocupă în timp calculele în virgulă flotantă (funcția Round). Din punct de vedere al timpului, mai eficienți sunt algoritmi care elimină operațiile în virgulă mobilă. Un exemplu tipic de algoritm în aritmetica numerelor întregi pentru trasarea segmentelor de dreaptă este algoritmul **Bresenham**.

Pentru exemplificare, se consideră cazul unui segment al cărui înclinare este cuprinsă între 0^0 și 45^0 (panta $m \in (0, 1)$). Conform regulilor de conexiune discretă, cunoscând poziția curentă a unui punct oarecare de pe segment, există două puncte posibile pentru următoarea poziție (figura 3.3).

Se consideră că la pasul i s-a determinat pixelul care trebuie aprins ca fiind $P(x_i, y_i)$. La pasul $i+1$ este necesară alegerea unui punct dintre $E(x_i+1, y_i+1)$ și $F(x_i+1, y_i)$. Criteriul de decizie pentru algoritm este apropierea punctului față de segmentul real. Practic se compară distanțele e și f din figura 3.3. Dacă $f < e$, se alege F , altfel se alege E .

Pentru stabilirea criteriului decizional se parcurg următoarele etape:

Pas 0: Se compară x_A cu x_B și eventual se face o schimbare între capetele segmentului astfel încât $x_A < x_B$. Se realizează o translație cu deplasamentul $(-x_A, -y_A)$ astfel încât ecuația dreptei modificate să fie $y = (dy/dx)x$, unde $dx := x_B - x_A$, $dy := y_B - y_A$. Se consideră $x_0 = 0$, $y_0 = 0$.

Pasul i : Punctul M de intersecție al dreptei $x = x_i + 1$ cu dreapta ideală are coordonatele $x_M = x_i + 1$, $y_M = (dy/dx)x_M$. Se determină distanțele la punctele din rastru cele mai apropiate pe verticala $x = x_i + 1$: $f = y_M - y_i$, $e = y_i + 1 - y_M$. Se determină cantitatea $dx(f - e)$:

$$\begin{aligned}
 dx(f - e) &= dx(2y_M - 2y_i - 1) = \\
 &= dx \left[2 \frac{dy}{dx} (x_i + 1) - 2y_i - 1 \right] = 2dy(x_i + 1) - 2y_i dx - dx.
 \end{aligned}$$

Deoarece $dx > 0$ (din pasul 0) cantitatea $f - e$ are același semn ca $dx(f - e)$. Se notează $d_{i+1} = dx(f - e)$ și se caută o relație recursivă pentru

acest factor de decizie. Cum

$$d_{i+1} = 2(x_i dy - y_i dx) + 2dy - dx, \quad d_i = 2(x_{i-1} dy - y_{i-1} dx) + 2dy - dx,$$

rezultă

$$d_{i+1} - d_i = 2[dy(x_i - x_{i-1}) - dx(y_i - y_{i-1})]$$

și fiindcă $x_i - x_{i-1} = 1$ se obține relația recursivă

$$d_{i+1} = d_i + 2dy - 2dx(y_i - y_{i-1}),$$

cu valoarea de start

$$d_1 = 2(x_0 dy - y_0 dx) + 2dy - dx = 2dy - dx.$$

În concluzie, variabilele de stare sunt (x_i, y_i, d_i) , iar criteriul decizional este următorul:

dacă $d_{i+1} \geq 0$ se alege $E(x_i + 1, y_i + 1)$ și $d_{i+2} = d_{i+1} + 2(dy - dx)$

dacă $d_{i+1} < 0$, atunci se alege $F(x_i + 1, y_i)$ și $d_{i+2} = d_{i+1} + 2dy$.

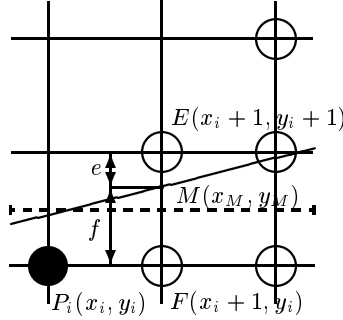


Figura 3.3: Selecția pixelilor în algoritmul Bresenham

Algoritmul general presupune mai multe cazuri, funcție de înclinarea dreptei care trebuie trasată. O procedură ce modelează cazul analizat este următoare:

```

Procedure MidpointLine ( $x_0, y_0, x_1, y_1, value$ : integer)
var
     $dx, dy, incrE, incrF, d, x, y$ : integer;
begin
     $dx := x_1 - x_0$ ;
     $dy := y_1 - y_0$ ;
     $d := 2 * dy - dx$ ;           {Val. inițială variabilă decizie}
     $incrE := 2 * (dy - dx)$ ;    {Increment pentru mutarea la E}
     $incrF := 2 * dy$ ;          {Increment pentru mutarea la F}
     $x := x_0$ ;
     $y := y_0$ ;
    WritePixel( $x, y, value$ ); {Pixel de start}

```

```

while  $x < x_1$  do
  begin
    if  $d < 0$  then
      begin
        {Alege F}
         $d := d + incrF$ ;
         $x := x + 1$ 
      end
    else
      begin
        {Alege E}
         $d := d + incrE$ ;
         $x := x + 1$ ;
         $y := y + 1$ ;
      end;
    WritePixel ( $x, y, value$ ) {Cel mai apropiat pixel}
  end {while}
end; {MidpointLine}

```

La fiecare pas, prin algoritmul se alege un pixel din 2 posibili, alegerea bazându-se pe semnul unei variabile de decizie calculate în iterația anterioară, apoi se actualizează variabila de decizie adăugând o valoare care depinde de alegerea pixelului. La fiecare pas se efectuează o adunare pentru modificarea variabilei de decizie (fără vreo multiplicare consumatoare de timp).

Tehnica **Bresenham** poate fi aplicată și pentru trasarea cercurilor dar nu poate fi generalizată pentru orice conică. O formulare diferită datorată lui **Pitteway** și **Van Aken** (algoritmul punctului de mijloc pentru trasarea unei curbe plane) se reduce în cazul liniilor și cercurilor la formularea **Bresenham**.

Variabila decizională din algoritmul **Bresenham** poate fi exprimată liniar funcție de ecuația dreptei evaluată în punctul de mijloc al segmentului EF . Fie $D(x, y) = ax + by + c$, $a > 0$ ecuația dreptei. Variabila de decizie în algoritmul punctului de mijloc este $d_{i+1} = 2D(x_i + 1, y_i + \frac{1}{2})$. Cum $D(x, y)$ este negativ pentru un punct de deasupra liniei și pozitiv pentru un punct sub linie, se alege E dacă $d_{i+1} \geq 0$ și F dacă $d_{i+1} < 0$. Dacă este ales F , atunci

$$\begin{aligned}
 d_{i+2} &= 2D(x_i + 2, y_i + 1/2) = 2[a(x_i + 2) + b(y_i + 1/2) + c] = d_{i+1} + 2a = \\
 &= d_{i+1} + 2dy,
 \end{aligned}$$

iar dacă se alege E , atunci

$$d_{i+2} = 2D(x_i + 2, y_i + 3/2) = d_{i+1} + 2(a + b) = d_{i+1} + 2(dy - dx).$$

Valoarea de start este

$$d_1 = 2D(x_A + 1, y_A + 1/2) = 2D(x_A, y_A) + 2a + b = 2a + b = 2dy - dx,$$

deoarece se presupune că (x_A, y_A) se află pe dreaptă.

3.4 Cercuri

Se consideră un cerc centrat în origine, de ecuație

$$x^2 + y^2 = R^2,$$

unde raza R este un număr întreg de unități de rastru. Cercurile care nu sunt centrate în origine se translatează înspre origine, iar la convertirea scan se ține seama de deplasament.

Există o serie de variante pentru conversia scan a cercurilor. Rezolvând ecuația implicită se obține $y = \pm\sqrt{R^2 - x^2}$. Pentru a trasa un sfert de cerc (celelalte trasându-se prin simetrie, vezi figura 3.4.a) se poate incrementa x de la 0 la R cu pași unitari, rezolvând ecuația $y = \sqrt{R^2 - x^2}$ pentru fiecare pas. Viteza de conversie a cercului în acest caz este extrem de scăzută datorită numeroaselor operații de multiplicare și extragere a rădăcinii pătrate. În plus cercul va avea „găuri” pentru valori ale lui x apropiate de R (figura 3.5).

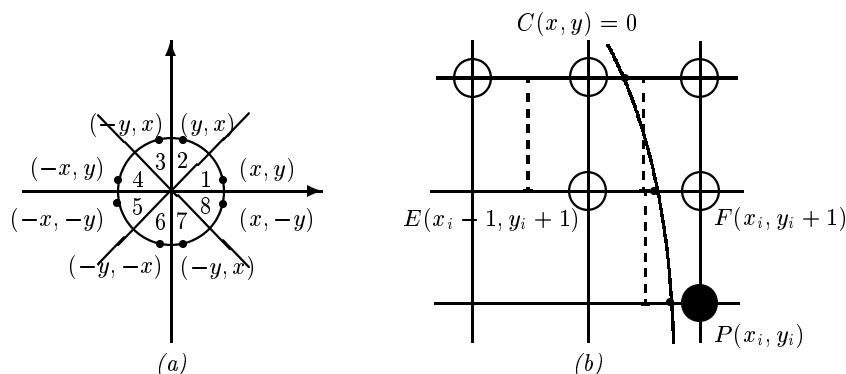


Figura 3.4: (a) Construirea arcelor de cerc prin simetrie (b) Algoritmul incremental în octantul unu

O altă variantă este afișarea punctelor apropiate de $(R \cos \theta, R \sin \theta)$, cu θ parcurgând pas cu pas intervalul $[0^\circ, 45^\circ]$ (calculările sunt de asemenea numeroase).

Ca și în algoritmul de generare a liniilor în rastru, determinarea pozițiilor de coordonate întregi ce formează o imagine circulară pot fi obținute printr-un algoritm incremental ce determină, la fiecare pas, pixelul cel mai apropiat de cerc.

Algoritmul de generare incrementală se bazează în mod esențial pe ipoteza de echidistanță orizontală și verticală a punctelor rastrului. Dacă această condiție nu este îndeplinită, algoritmul următor va trasa elipse în loc de cercuri.

Se consideră sensul trigonometric de parcurs al cercului. Problema este examinată separat pentru fiecare octant. În interiorul unui octant sunt posibile numai două deplasări elementare între două puncte generate consecutiv: o deplasare perpendiculară pe axa mai apropiată, sau o deplasare diagonală. De exemplu, în octantul 1, deplasările elementare sunt în sus sau spre stânga-sus, iar în octantul 2, la stânga sau spre stânga-sus.

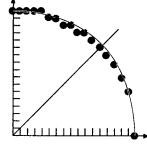


Figura 3.5: Rezultatul trasării incrementale pe baza ecuației cercului

Se consideră, de exemplu, cazul primului octant și a unui cerc de ecuație $C(x, y) = 0$ cu $C(x, y) = x^2 + y^2 - R^2$. Se consideră generate la un moment dat (la un pas anterior) coordonatele (x_i, y_i) relative la centrul cercului. Se pot alege două posibilități la pasul următor: $(x_i, y_i + 1)$ sau $(x_i - 1, y_i + 1)$ (figura 3.4.b). Va fi generat punctul care este cel mai apropiat de cercul ideal. Primul se află în exteriorul cercului, deci $C(x_i, y_i + 1) > 0$, iar celălalt în interior, deci $C(x_i - 1, y_i + 1) < 0$. Punctul corespunzător valorii celei mai mici în modul este cel selectat. În formularea **Bresenham** a algoritmului se consideră *factorul de decizie*

$$\Delta_i = C(x_i, y_i + 1) + C(x_i - 1, y_i + 1) = x_i^2 + (x_i - 1)^2 + 2(y_i + 1)^2 - 2R^2.$$

Dacă $\Delta_i < 0$, adică $|C(x_i, y_i + 1)| < |C(x_i - 1, y_i + 1)|$, atunci se aprinde primul punct, altfel cel de-al doilea. Pentru evitarea multiplelor operații de adunare, scădere și înmulțire, factorul de decizie se poate obține printr-o formulă recursivă. Astfel, dacă $\Delta_i < 0$, atunci

$$\Delta_{i+1} = \Delta_i + 4y_{i+1} + 2,$$

altfel

$$\Delta_{i+1} = \Delta_i - 4x_{i+1} + 4y_{i+1} + 2.$$

Cele trei puncte (x_i, y_i, Δ_i) definesc *starea* curentă a algoritmului pentru fiecare punct generat. Valorile inițiale pentru cele trei *variabile de stare* sunt

$$x_0 = R, \quad y_0 = 0, \quad \Delta_0 = 3 - 2R.$$

În concluzie, la fiecare iterație se fac doi pași: (1) se alege pixelul pe baza semnului variabilei decizionale calculate în iterația anterioară și (2) se actualizează variabila decizională cu o valoare ce corespunde alegerii pixelului. Singura diferență față de algoritmul pentru linii este aceea că, în actualizarea variabilei decizionale, se evaluează o funcție liniară în coordonatele pixelului.

Odată rezolvată problema generării cercului în primul octant, pentru trasarea în ceilalți octanți se poate proceda prin simetrie. Există însă situații când ordinea generării punctelor cercului are importanță, de exemplu, dacă trasarea trebuie să se efectueze nu cu linie continuă, ci cu linie întreruptă. Atunci se continuă generarea incrementală și în ceilalți octanți.

În octantul 2, după generarea punctului (x_i, y_i) , următorul punct generat trebuie ales între $(x_i - 1, y_i + 1)$ și $(x_i - 1, y_i)$. Factorul de decizie este

$$\Delta_i = y_i^2 + (y_i + 1)^2 + 2(x_i - 1)^2 - 2R^2,$$

cu relația recursivă

$$\Delta_{i+1} = \begin{cases} \Delta_i - 4x_{i+1} + 2, & \Delta_i < 0 \\ \Delta_i - 4x_{i+1} - 4y_{i+1} + 2, & \text{altfel} \end{cases}.$$

Prin calcule simple se pot stabili formulele de trecere de la octantul 1 la octantul 2 pentru factorul decizional, funcție de ultimele valori alese și ultima direcție de deplasare, respectând regulile de conexiune discretă.

Algoritmul punctului mijlociu pentru trasarea dreptelor poate fi extins la cazul trasării cercurilor. Pentru exemplificare se consideră octantul de la $x = 0$ la $x = y = R/\sqrt{2}$ și sensul de parcurs al curbei conform acelor ceasornicului. Precum în algoritmul punctului de mijloc pentru linii, strategia constă în a selecta un pixel dintre doi posibili, respectiv cel care este mai apropiat de cercul ideal, prin evaluarea unei funcții în punctul de mijlocul dintre cei doi pixeli (în cazul octantului secund, între E și F din figura 3.6).

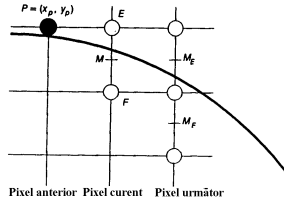


Figura 3.6: Grila cu pixeli în cazul octantului secund

Funcția C este 0 pe cerc, pozitivă în afara cercului, negativă în interiorul cercului. Dacă punctul de mijloc dintre E și F este în afara cercului, F este mai apropiat de cerc, iar dacă este în interior, E este mai apropiat de cerc. Se consideră $\Delta_{i+1} = C(x_i + 1, y_i - \frac{1}{2})$. Dacă $\Delta_{i+1} < 0$ se alege E și numai x va fi incrementat, astfel încât $\Delta_{i+2} = C(x_i + 2, y_i - \frac{1}{2}) = \delta_{i+1} + \Delta_{i+1}^E$, $\delta_{i+1}^E = 2x_i + 3$; în caz contrar, se alege F și $\Delta_{i+2} = C(x_i + 2, y_i - \frac{3}{2}) = \Delta_{i+1} + \delta_{i+1}^F$, $\Delta_{i+1}^F = 2x_i - 2y_i + 5$. Considerăm punctul inițial de start a procedurii iterative ca fiind $(0, R)$. Următorul punct de mijloc este $(1, R - \frac{1}{2})$, iar $C(1, R - \frac{1}{2}) = \frac{5}{4} - R$. Datorită fracției inițiale în expresia lui d este necesară aplicarea aritmeticii în numere reale. Astfel, se definește variabila decizională $\Delta_i = d_i - \frac{1}{4}$, pentru ca inițializarea să fie $\Delta = 1 - R$, iar comparația $d < 0$ devine $\Delta < -1/4$. Deoarece

Δ pornește de la o valoare întreagă și este incrementat cu valori întregi această ultimă comparație poate fi înlocuită cu $\Delta < 0$.

Performanțele acestui algoritm pot fi îmbunătățite dacă tehnica incrementală este utilizată și la evaluarea funcțiilor liniare ce constituie incrementele variabilei decizionale (orice polinom poate fi calculat incremental). Strategia utilizată constă în evaluarea funcțiilor direct în două puncte adiacente, calcularea diferenței și aplicarea diferenței la fiecare iterație. Dacă se alege $E(x_i + 1, y_i)$ în iterația curentă, atunci $\Delta_{i+2}^E = 2(x_i + 1) + 3 = \Delta_{i+1}^E + 2$, iar $\Delta_{i+2}^F = 2(x_i + 1) - 2y_i + 5 = \delta_{i+1}^F + 2$. Dacă se alege $F(x_i + 1, y_i - 1)$ în iterația curentă, atunci $\Delta_{i+2}^E = 2(x_i + 1) + 3 = \Delta_{i+1}^E + 2$, iar $\Delta_{i+2}^F = 2(x_i + 1) - 2(y_i - 1) + 5 = \Delta_{i+1}^F + 4$. Astfel, algoritmul revizuit constă în următorii pași:

1. calculul pixelului bazat pe semnul variabilei Δ determinată în iterația anterioară;
2. actualizarea variabilei de decizie utilizând valorile Δ^E și Δ^F calculate în iterația anterioară;
3. actualizarea variabilelor Δ^E și Δ^F ținând cont de poziția noului pixel și utilizând diferențele constante calculate anterior.

```

Procedure MidpointCircle(radius, value: integer);
{Trasează semicercul de la (0, R) la (R√2, R√2)}
{Se presupune că cercul este centrat în origine}
var
    x, y, d, deltaE, deltaF: integer;
begin
    x := 0;
    y := radius;
    d := 1 - radius;
    deltaE := 3;
    deltaF := -2 * radius + 5;
    WritePixel(x, y, value);
    while y > x do
        begin
            if d < 0 then {Selectează E}
                begin
                    d := d + deltaE;
                    deltaE := deltaE + 2;
                    deltaF := deltaF + 2;
                    x := x + 1;
                end
            else
                begin
                    d := d + deltaF;
                    deltaE := deltaE + 2;
                    deltaF := deltaF + 4;
                    x := x + 1;
                    y := y - 1;
                end
            end;
        end;
    end;

```

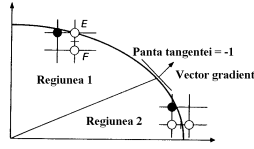


Figura 3.7: (a) Primul cuadrant în trasarea incrementală a elipsei centrate în origine și cu semiaxele paralele cu axele de coordonate

```

        WritePixel(x, y, value);
    end {while}
end; {MidpointCircle}

```

3.5 Elipse

Algoritmul punctului mijlociu a fost extins și la cazul conversiei **s can** a elipselor drepte (algoritmul **Da Silva**). Pentru simplificarea calculelor se trasează arcul de elipsă care se află în primul cuadrant, iar celelalte trei, prin simetrie.

Se divide primul cuadrant în două regiuni (figura 3.7), în urma determinării punctului în care tangenta la elipsă are panta -1 (punctul satisface ecuația elipsei $E(x, y) = b^2x^2 + a^2y^2 - a^2b^2 = 0$ și componentele vectorului gradient trebuie să fie egale, $2b^2x = 2a^2y$). Ca și în algoritmul punctului mijlociu pentru drepte, se evaluează funcția E în punctul de mijloc dintre cei doi pixeli în discuție în regiunea curentă pentru a determina poziția punctului de mijloc față de elipsă și, deci, cel mai apropiat pixel. Variabila de decizie este aleasă proporțional cu această valoare, multiplicată cu un factor ce elimină împărțirile prin constante, și care poate fi evaluată prin diferențe.

Se consideră sensul de parcurs al elipsei conform sensului orar. În regiunea 1, dacă pixelul curent are coordonatele (x_i, y_i) , atunci variabila de decizie este $d_{i+1} = 4E(x_i + 1, y_i - \frac{1}{2})$. Dacă următoarea mutare se face la E , atunci $d_{i+2} = E(x_i + 2, y_i - \frac{1}{2}) = d_{i+1} + 4b^2(2x_i + 3)$. Pentru o mutare la F , $d_{i+2} = E(x_i + 2, y_i - \frac{3}{2}) = d_{i+1} + 4a^2(-2x_i + 2)$. Presupunem că punctul de start este $(0, b)$; atunci $d_1 = 4E(1, b - \frac{1}{2}) = 4b^2 + a^2(-4b + 1)$. Vectorul gradient este definit prin $\text{grad } E(x, y) = \frac{\partial E}{\partial x}\mathbf{i} + \frac{\partial E}{\partial y}\mathbf{j} = 2b^2x\mathbf{i} + 2a^2y\mathbf{j}$. Frontiera dintre cele două regiuni este dat de punctul în care panta curbei este -1 , adică când vectorul gradient are panta 1 . Dacă $a^2(y_i - \frac{1}{2}) \leq b^2(x_i + 1)$ se trece din regiunea 1 în regiunea 2 (se va proceda în mod similar cu cazul cercului).

Algoritmul descris mai sus poate fi extins pentru cazul unei elipse oarecare descrisă prin ecuația $G(x, y) := ax^2 + bxy + cy^2 + dx + ey + f = 0$ (se include astfel și cazul cercului). Planul se divide în opt octanți, funcție de direcțiile de trasare incrementală (figura 3.8 și tabelul 3.1). Astfel, în octantul 1 se poate alege

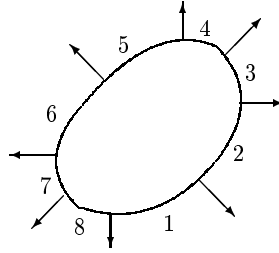


Figura 3.8: Octanții în cazul unei elipse oarecare

între mutarea la dreapta sau pe diagonală sus-dreapta. Se consideră aprins pixelul (x_i, y_i) din octantul 1. Variabila de decizie este $d_i = G(x_i + 1, y_i + \frac{1}{2})$. Următoarea valoare poate fi $d_{i+1} = G(x_i + 2, y_i + \frac{1}{2})$ sau $d_{i+1} = G(x_i + 2, y_i + \frac{3}{2})$. În primul caz, $d_{i+1} = d_i + u_{i+1}$, iar în al doilea, $d_{i+1} = d_i + v_{i+1}$, unde

$$u_i = a(2x_i + 1) + b(y_i + 1/2) + d + 2a,$$

$$v_i = (2a + b)x_i + (b + 2c)y_i + a + b/2 + d + e + 2(a + b + c).$$

Pentru u_i și v_i se pot stabili relații recursive ce depind de direcția de mișcare. Pentru mișcarea orizontală,

$$u_{i+1} = u_i + 2a, \quad v_{i+1} = v_i + 2a + b,$$

iar pentru mișcarea diagonală,

$$u_{i+1} = u_i + 2a + b, \quad v_{i+1} = v_i + 2a + 2b + 2c.$$

Trecerea din octantul 1 în octantul 2 se realizează când expresia următoare își schimbă semnul:

$$\left(\frac{\partial G}{\partial x} + \frac{\partial G}{\partial y} \right) (x_i, y_i) = (2ax_i + by_i + d) + (bx_i + 3cy_i + e) = v_i - \left(a + \frac{b}{2} \right)$$

iar trecerea din octantul 2 în octantul 3, când expresia următoare își schimbă semnul:

$$\frac{\partial G}{\partial x} (x_i, y_i) = 2ax_i + by_i + d = u_i - \left(a + \frac{b}{2} \right).$$

Dacă se notează cu $k_1 = 2a$, $k_2 = 2a + b$, $k_3 = 2a + 2b + 2c$, atunci valorile de actualizare sunt:

1. mișcarea pe orizontală sau verticală: $u_{i+1} = u_i + k_1$, $v_{i+1} = v_i + k_2$;
2. mișcarea pe diagonală: $u_{i+1} = u_i + k_2$, $v_{i+1} = v_i + k_3$.

Componentele vectorului gradient se pot exprima astfel:

$$\frac{\partial G}{\partial x} = u_i - \frac{k_2}{2}, \quad \frac{\partial G}{\partial x} + \frac{\partial G}{\partial y} = v_i - \frac{k_2}{2}.$$

Algoritmul constă din mai mulți pași (un pas pentru un pixel), la un pas efectuându-se următoarele etape:

Octant	1	2	3	4	5	6	7	8
Δx	1	0,1	0,-1	-1	-1	0,-1	0,1	1
Δy	0,1	1	1	0,1	0,-1	-1	-1	0,-1

Tabelul 3.1: Mutări în octanți

1. trasare pixel;
2. alegere pixel nou pe baza valorii d_i ;
3. calculare u_{i+1} și v_{i+1} funcție de alegerea efectuată în etapa anterioară;
4. calculare d_{i+1} prin adăugare u_{i+1} sau v_{i+1} funcție de alegerea efectuată în etapa a doua;
5. verificarea schimbării octantului.

```

function GetOctant( $D, E$ :integer): integer;
begin
  if  $D > 0$  and  $E < 0$  then
    if  $D < -E$  then GetOctant:=1
    else GetOctant:=2;
  if ... {celelalte șase cazuri}
end;
procedure Conic( $xs, ys, xe, ye$ , {Punctele de start și stop}
 $A, B, C, D, E, F$ : integer); {Coeficeinții}
var
   $x, y, octant$ ,           {Punctul și octantul curent}
   $d xp, d yp, d xd, d yd$ , {Schimbări în ( $x, y$ )}
   $d, u, v, k1, k2, k3$ ,    {Var. decizie și incrementare}
   $dSdx, dSdy$ ,            {Componentele gradientului}
   $octantContor$ ,          {Numărul de octanți de trasat}
   $tmp$ : integer;
begin
   $octant := GetOctant(D, E)$ ;
  case  $octant$  of
    1: begin
       $d := round(A + B/2 + C/4 + D + E/2 + F)$ ;
       $u := round(A + B/2 + D)$ ;  $v := round(A + B/2 + D + E)$ ;
       $k1 := 2 * A$ ;  $k2 := 2 * A + B$ ;  $k3 := k2 + B + 2 * C$ ;
       $d xp := 1$ ;  $d yp := 0$ ;  $d xd := 1$ ;  $d yd := 1$ 
    end;
    2: begin
       $d := round(A/4 + B/2 + C + D/2 + E + F)$ ;
       $u := round(B/2 + C + E)$ ;  $v := round(B/2 + C + D + E)$ ;
       $k1 := 2 * C$ ;  $k2 := B + 2 * C$ ;  $k3 := k2 + B + 2 * A$ ;
       $d xp := 0$ ;  $d yp := 1$ ;  $d xd := 1$ ;  $d yd := 1$ 
    end;
    {... celelalte 6 cazuri}
  end;
  {Translatează ( $xs, ys$ ) în origine}
   $x := xe - xs$ ;  $y := ye - ys$ ;

```

```

dSdx := 2 * A * x + B * y + D; dSdy := 2 * C * y + B * x + E;
octantContor := GetOctant(dSdx, dSdy) - octant;
{determină octantul terminal}
if octantContor <= 0 then
    octantContor := octantContor + 8;
x := xs; y := ys;
while octantContor > 0 do
    begin
        if odd(octant) then
            begin
                while v <= k2/2 do
                    begin
                        DrawPixel(x, y);
                        if d < 0
                            then begin x := x + dxd; y := y + dyd;
                                 u := u + k1; v := v + k2; d := d + u end
                            else begin x := x + dxd; y := y + dyd;
                                 u := u + k2; v := v + k3; d := d + v end
                        end;
                        {schimbă octantul}
                        d := round(d - u - v/2 - k2/2 + 3 * k3/8);
                        u := round(-u + v - k2/2 + k3/2);
                        v := round(v - k2 + k3/2);
                        k1 := k1 - 2 * k2 + k3; k2 := k3 - k2;
                        tmp := dxd; dxd := -dyd; dyd := tmp
                    end
                else
                    begin
                        while u <= k2/2 do
                            begin
                                DrawPixel(x, y);
                                if d < 0
                                    then begin x := x + dxd; y := y + dyd;
                                         u := u + k2; v := v + k3; d := d + v end
                                    else begin x := x + dxd; y := y + dyd;
                                         u := u + k1; v := v + k2; d := d + u end
                                end;
                                {schimbă octantul}
                                d := d + u - v + k1 - k2; v := 2 * u - v + k1 - k2;
                                u := u + k1 - k2;
                                k3 := 4 * (k1 - k2) + k3; k2 := 2 * k1 - k2;
                                tmp := dxd; dxd := -dyd; dyd := tmp
                            end
                        end;
                        octant := octant + 1;
                        if octant > 8 then octant := octant - 8;
                        octantContor := octantContor - 1
                    end
                end;
            end
        end;
    end;
end;

```

3.6 Curbe de grad doi

Fie o curbă de grad doi în forma generală

$$f(x, y) = a_1x^2 + a_2xy + a_3y^2 + a_4x + a_5y + a_6 = 0,$$

unde coeficienții a_1, a_2, \dots, a_6 sunt în general numere reale, cu $a_1 > 0$. Curba reprezentată de această ecuație este o conică. Se consideră cantitățile

$$\delta = a_2^2 - 4a_1a_3, \quad \Delta = a_1a_5^2 + a_3a_4^2 - a_2a_4a_5 + (a_2^2 - 4a_1a_3)a_6$$

(dacă determinăm pe x funcție de y din ecuația $f(x, y) = 0$, discriminantul ecuației de grad doi, $\Delta_1(y)$, polinom de grad doi în y , are la rândul său ca discriminant pe $4a_1\Delta$).

Ecuația conice reprezintă o curbă degenerată dacă funcția de grad doi $f(x, y)$ se poate scrie sub forma

$$f(x, y) = (b_1x + b_2y + b_3)(c_1x + c_2y + c_3),$$

unde coeficienții b_i, c_i sunt în general numere complexe. Dacă aceștia sunt numere reale, conica degenerează în două drepte. Condiția de degenerare este $\Delta = 0$.

Dacă curba este nedegenerată, ecuația conice reprezintă o curbă propriu-zisă, reală sau imaginară. Tipul conice depinde de semnul discriminantului δ :

$$\delta \begin{cases} < 0 : & \text{elipsă (sau cerc),} \\ = 0 : & \text{parabolă,} \\ > 0 : & \text{hiperbolă.} \end{cases}$$

Dacă curba este reală, atunci funcția $f(x, y)$ ia valori negative în interiorul concavităților curbei $f(x, y) = 0$ și valori pozitive în exteriorul acestora.

Se presupune că a_i sunt numere întregi fără divizori comuni. Se utilizează ipoteza de echidistanță orizontală și verticală a punctelor rastrului. Dacă dimensiunile celulei elementare de rastru sunt în raportul $p/q \neq 1$, cu p, q întregi, pentru o trasare corectă se poate proceda în modul următor: se înlocuiește ecuația curbei $f(x, y) = 0$ cu

$$g(x, y) = p^2 f\left(x, \frac{q}{p}y\right) = 0,$$

care are toți coeficienții întregi și permite redarea corectă a proporțiilor.

Rezolvarea exactă a problemei plasării punctelor în toate cazurile implică, în general, rezolvarea unor ecuații de grad doi pentru fiecare punct generat. Aceste operații sunt prea complicate pentru un algoritm eficient. De aceea se caută o procedură incrementală de trasare a curbei, care să funcționeze prin deplasări elementare pe orizontală, verticală sau în diagonală între punctele succesiv generate (8 direcții de deplasare).

Se numerează de la 0 la 7 direcțiile posibile de deplasare de la un punct la cele 8 puncte vecine din rastru, numerotarea făcându-se în sens trigonometric direct. Punctele vecine lui P se notează cu P_i , $i = 0, \dots, 7$ (figura 3.9.a).

Observații:

- (a) pentru două puncte (x_1, y_1) și (x_2, y_2) relativ apropiate de curba ideală, se poate decide care dintre ele este cel mai apropiat prin compararea cantităților $|f(x_1, y_1)|$ și $|f(x_2, y_2)|$. Punctul cel mai apropiat de curbă este acela în care funcția $f(x, y)$ este minimă în valoare absolută.
- (b) dacă algoritmul de generare a efectuat o deplasare în direcția i între două puncte succesive, atunci pentru următorul punct generat trebuie să se efectueze o deplasare elementară în una din direcțiile $i - 1$, i sau $i + 1$ (considerate modulo 8). Această regulă este o altă exprimare pentru regula de conexiune discretă (figura 3.9.b). Cercurile minime care îndeplinesc această condiție au diametrul de cel puțin 3 unități de rastru.

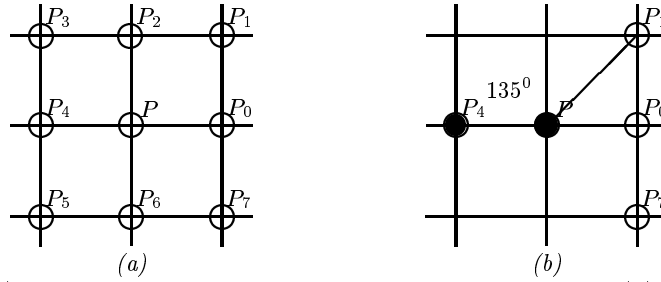


Figura 3.9: (a) Direcțiile posibile de deplasare în algoritmul incremental (b) Aplicarea regulii conexiunii discrete

Ideea algoritmului este următoarea. Se alege sensul de parcurs al curbei astfel încât $f(x, y) < 0$ (> 0) la stânga (respectiv dreapta) direcției de înaintare. Dacă punctul P a fost generat în urma deplasării elementare în direcția i , atunci punctele candidat sunt P_{i-1} , P_i , P_{i+1} (considerate modulo 8). Conform presupunerii anterioare P_{i+1} se află în interior ($f(P_{i+1}) < 0$), iar P_{i-1} în exterior ($f(P_{i-1}) > 0$). Despre punctul P_i nu se poate afirma dacă este în exterior sau interior. Pentru alegerea unuia dintre cele trei puncte sunt necesare următoarele comparații:

$$\begin{cases} f(P_{i-1}) + f(P_i) < 0 : & \text{se alege punctul } P_{i-1} \\ f(P_{i-1}) + f(P_i) \geq 0 \text{ și } f(P_i) + f(P_{i+1}) \leq 0 : & \text{se alege punctul } P_i \\ f(P_i) + f(P_{i+1}) > 0 : & \text{se alege punctul } P_{i+1} \end{cases}$$

Observație. Aplicând acest criteriu decizional pentru ecuația unei drepte, se obțin relațiile ce stau la baza algoritmului **Bresenham**. De asemenea, acest criteriu general este particularizat de relațiile care guvernează trasarea incrementală a cercurilor.

Dacă se exprimă toate valorile funcției f în punctele din imediata apropiere a lui P , de coordonate (x, y) , rezultă:

$$\begin{aligned} f(P_0) &= f(x+1, y) = f(P) + (2a_1x + a_2y + a_4) + a_1; \\ f(P_1) &= f(P) + (2a_1x + a_2y + a_4) + (a_2x + 2a_3y + a_5) + a_1 + a_2 + a_3; \\ &\dots \end{aligned}$$

și se poate dezvolta algoritmul de trasare incrementală pe baza criteriului de decizie și a acestor relații de recurență. Sunt efectuate doar operații de

adunare, scădere și înmulțire între numere întregi pentru fiecare punct generat. Operațiile de înmulțire pot fi evitate în cazul unei alegeri adecvate a variabilelor de stare. Relațiile de recurență pot fi exprimate simplu în funcție de derivatele parțiale f'_x și f'_y ale lui f în punctul P , notate cu fx și fy :

$$fx(x, y) = f'_x(x, y) = 2a_1x + a_2y + a_4,$$

$$fy(x, y) = f'_y(x, y) = a_2x + 2a_3y + a_5.$$

Funcțiile fx, fy fiind liniare, actualizările lor incrementale se exprimă numai prin operații de adunare și scădere. În cazul unei deplasări elementare între două puncte vecine:

$$fx(P_0) = fx(P) + 2a_1, \quad fy(P_0) = fy(P) + a_2,$$

$$fx(P_1) = fx(P) + 2a_1 + a_2, \quad fy(P_1) = fy(P) + a_2 + 2a_3,$$

...

Variabilele de stare sunt valorile funcțiilor f, fx, fy în punctul curent generat.

3.7 Curbe plane

3.7.1 Descrierea curbelor plane

În raport cu un reper cartezian ortogonal, curbele plane pot fi descrise prin:

1. *ecuații explicite*: un punct oarecare (x, y) de pe curbă este descris în forma explicită $y = f(x)$;
2. *ecuații polare*: un punct oarecare (x, y) de pe curbă este descris în coordonate polare prin cuplul (r, t) , unde t parcurge un interval $[a, b]$ și $r = f(t)$, corespondența dintre cele două sisteme de coordonate, carteziene și polare, presupunând ecuații de tipul $x = r \cos t$, $y = r \sin t$.
3. *ecuații parametrice*: un punct oarecare (x, y) de pe curbă este descris prin $x = f(t)$, $y = g(t)$, unde t parcurge un interval $[a, b]$ din \mathbb{R} , adică $F(t) = (f(t), g(t))$ reprezintă un drum în planul $\mathbb{R} \times \mathbb{R}$;
4. *ecuații implicite*: un punct oarecare (x, y) de pe curbă este descris de ecuația $F(x, y) = 0$. În anumite condiții impuse lui F , folosind teorema funcțiilor implicite din calculul diferențial, se poate ajunge la studiul unei curbe descrise prin ecuații explicite. În secțiunea anterioară a fost descris un algoritm incremental pentru cazul în care $F(x, y)$ este funcție polinomială de grad maxim doi în x și y .

3.7.2 Trasarea curbelor plane

Pentru trasarea curbelor definite *explicit* trebuie să se țină seama de dispozitivul de afișare grafică de care se dispune. Este necesară scrierea unui proceduri care operează cu coordonate (în mod grafic) ce reprezintă numere întregi și care ține seama de scara la care se execută desenul. Scalarea care trebuie efectuată se obține în urma analizei valorilor extreme ale funcției pe domeniul pe care se reprezintă.

Pentru reprezentarea grafică a unei curbe descrisă prin ecuații *polare* este necesară o transformare în coordonate carteziene. Această transformare este $x = f(t) \cos t$, $y = f(t) \sin t$ (curbă plană descrisă prin ecuații parametrice).

Se abordează aici doar problema trasării curbei cu reprezentarea *parametrică*

$$x = x(t), \quad y = y(t), \quad t \in [0, 1],$$

unde $x(\cdot)$ și $y(\cdot)$ sunt funcții continue.

O primă idee pentru dezvoltarea unui algoritm de trasare constă în alegerea unei *rate constante* Δ de creștere a variabilei independente t și selectarea, în mediul de afișare, a punctelor care corespund cel mai bine adreșelor calculate $(x(k\Delta), y(k\Delta))$, unde $k = 0, 1, \dots, [1/\Delta]$. Principala dificultate constă în alegerea parametrului Δ , deoarece nu se știe de la început câte puncte vor fi efectiv generate. Pe de altă parte, însăși reprezentarea parametrică dată, care nu este unică, poate fi defavorabilă, astfel încât orice alegere a unui constante de creștere Δ este total nepotrivită: pe unele porțiuni ale curbei, parametrul Δ poate fi prea mic, ceea ce are ca rezultat selectarea de mai multe ori a aceluiași punct; pe alte porțiuni ale curbei, același parametru Δ poate fi prea mare, generând puncte consecutive neadiacente în mediu de afișare, care, dacă sunt unite prin linii drepte, nu mai aproximează suficient de exact curba dată. Astfel, orice metodă bazată pe creșterea constantă a variabilei independente nu poate produce algoritmi eficienți în toate cazurile. Este necesar să se găsească o metodă bazată pe variația neconstantă a variabilei t , care să urmărească pe cât posibil variația curbei.

Principiul metodei trasării prin *înjumătățirea intervalului* este următorul: se calculează mai întâi adresele punctelor de la capetele curbei, corespunzând extremităților intervalului de variație a parametrului t . Dacă aceste două puncte sunt suficient de apropiate în raport cu rezoluția mediului de afișare, problema este rezolvată prin aprinderea acestor puncte. În caz contrar, intervalul curent de variație a lui t se împarte în două subintervale de lungimi egale, subintervalul din dreapta se memorează într-o structură de date de tip stivă pentru necesități ulterioare și se reia problema cu subintervalul din stânga. Înjumătățirea intervalului continuă până când lungimea acestuia este suficient de mică pentru ca punctele de pe curbă corespunzătoare extremităților intervalului să fie adiacente în mediu de afișare. În acest caz se descarcă stiva și se reia procedura cu cel mai recent subinterval memorat în stivă. Trasarea curbei se termină când stiva se golește complet.

Metoda de trasare prin înjumătățirea intervalului poate fi concretizată și într-o formă mai concisă cu ajutorul unei proceduri recursive, care să nu facă apel în mod explicit la o structură de date de tip stivă.

Corectitudinea procedurii de principiu se bazează implicit pe faptul că funcțiile de parametrizare sunt continue. În caz contrar, nu este neapărat necesar ca, între două puncte corespunzătoare valorilor $t_1 < t_2$ ale parametrului, toate punctele intermediare (în sensul valorilor absciselor și ordonatelor) să corespundă la valori ale lui t din intervalul $[t_1, t_2]$.

Există situații când ordinea generării punctelor curbei are importanță. De exemplu, dacă trasarea curbei trebuie să se efectueze nu cu linie continuă, ci cu linie întreruptă corespunzând unui anumit șablon (configurație liniară de biți, *pattern*) predefinit, atunci algoritmul de trasare trebuie să permită calcularea punctelor succesive ale curbei în paralel cu parcurgerea configurației binare a

șablonului, care se repetă în mod circular. Punctul curent de pe curbă este efectiv selectat în mediu de afișare numai dacă bitul corespunzător din șablon este 1. Trasarea cu șablon nu este pe deplin reușită dacă algoritmul de trasare generează de două ori același punct pe curbă. Este necesară inhibarea generării efective a unui punct dacă coordonatele acestuia coincid cu cele ale unui punct generat anterior.

3.8 Curbe spațiale

3.8.1 Descrierea curbelor spațiale

Curbele spațiale pot fi descrise:

1. explicit prin ecuații de tipul $y = f(x)$, $z = g(x)$;
2. implicit printr-o ecuație de tipul $F(x, y, z) = 0$;
3. parametric prin ecuații de tipul $x = x(t)$, $y = y(t)$, $z = z(t)$.

Prima descriere nu este valabilă pentru toate curbele. De exemplu, un cerc într-un plan cu z constant are două valori pentru un x . A doua descriere oferă mai multe soluții, dar, de exemplu, semicercul $x^2 + y^2 = 1$, $x \geq 0$ nu poate fi descris printr-o ecuație de tipul cerut. De aceea, reprezentarea parametrică este des utilizată.

Curbele polinomiale parametrice sunt curbe 3D definite prin trei polinoame într-un parametru t , câte una pentru coordonatele x , y , z . *Curbele cubice* folosesc polinoame cubice în t . Curbele polinomiale de grad mai mare ca patru sunt rar utilizate deoarece prezintă o multitudine de ondulații.

3.8.2 Curbe parametrice cubice

Cubica parametrică spațială poate fi exprimată parametric prin trei funcții cubice și este definită prin 12 coeficienți:

$$\begin{cases} x(t) = a_x t^3 + b_x t^2 + c_x t + d_x \\ y(t) = a_y t^3 + b_y t^2 + c_y t + d_y, \\ z(t) = a_z t^3 + b_z t^2 + c_z t + d_z, \end{cases}$$

unde $t \in [0, 1]$. Dacă se notează

$$Q(t) = (x(t), y(t), z(t)), \quad T = (t^3, t^2, t, 1), \quad C = \begin{pmatrix} a_x & a_y & a_z \\ b_x & b_y & b_z \\ c_x & c_y & c_z \\ d_x & d_y & d_z \end{pmatrix}$$

atunci $Q(t) = TC$. Vectorul tangent la curbă în punctul corespunzător unui anumit t este

$$Q'(t) = (3t^2, 2t, 1, 0)C$$

Fiecare polinom cubic are 4 coeficienți și deci sunt necesare 12 condiții pentru determinarea necunoscutelor.

Un segment de curbă este definit prin constrângeri privind:

- (a) punctele de capăt;
- (b) vectorii tangenți;
- (c) continuitatea între mai multe segmente de curbă.

În cazul general, matricea C este rescrisă sub forma $C = MG$, unde M este o matrice 4×4 , numită *matrice de bază* (ce definește tipul constrângerilor), iar G o matrice 4×3 , numită *vectorul geometric* (care definește constrângerile geometrice). Se notează G_x prima coloană a lui G . Atunci $x(t) = TMG_x$, adică

$$x(t) = b_1(t)g_{1x} + b_2(t)g_{2x} + b_3(t)g_{3x} + b_4(t)g_{4x},$$

unde polinoamele **blending** (amestec, combinare) b_i sunt polinoamele cubice obținute din ecuația matriceală $B = TM$ (de exemplu, $b_1(t) = t^3m_{11} + t^2m_{21} + tm_{31} + m_{41}$). Se poate observa o similitudine cu modalitatea în care poate fi descrisă parametric o linie în 3D care are punctele de capăt G_1 și G_2 :

$$x(t) = (1-t)g_{1x} + tg_{2x}, \quad y(t) = (1-t)g_{1y} + tg_{2y}, \quad z(t) = (1-t)g_{1z} + tg_{2z}.$$

Dacă două curbe au un capăt comun spunem că ele sunt continue de clasă G^0 (*continuitate geometrică*). Dacă direcțiile (nu neapărat dimensiunile) celor doi vectori tangenți la două curbe cu un punct comun coincid, se consideră continuitate geometrică de clasă G^1 . Dacă vectorii tangenți sunt egali (în direcție și dimensiune) în punctul comun a două curbe, este vorba de *continuitate parametrică* sau continuitate C^1 (figura 3.10). Dacă direcțiile și mărimile derivatelor de ordin n , $d^n/dt^n[Q(t)]$, sunt egale în punctul comun curba rezultată este numită continuă de clasă C^n . Continuitatea C^1 implică G^1 , exceptând cazul când vectorii tangenți sunt nuli în punctul comun, dar reciproca nu este adevărată.

Închiderea convexă în cazul curbelor bidimensionale este poligonul convex format de punctele de control ce definesc constrângerile. Pentru curbe 3D, închiderea convexă este poliedrul convex format de punctele de control. Proprietatea de închidere convexă este utilă în cazul decupării segmentelor de curbă: înainte de a aplica decuparea fiecărui segment de curbă se poate aplica algoritmul de decupare a închiderii convexe – numai dacă închiderea convexă se intersectează cu regiunea de decupare, segmentul de curbă în cauză trebuie examinat.

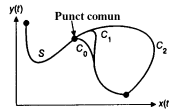


Figura 3.10: Segmentul de curbă S are un punct comun cu segmentele de curbă C_0 , C_1 și C_2 cu gradele 0, 1 și 2 de continuitate parametrică

Curbe Hermite (curbe Coons)

Curbele **Hermite** sunt descrise prin funcțiile parametrice cubice ce au gradul minim necesar pentru a îndeplini patru condiții: (figurile 3.11 și 3.12):

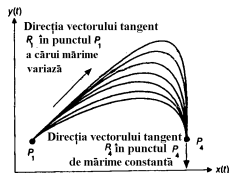


Figura 3.11: Familie de curbe **Hermite** pentru care vectorul tangent R_1 în P_1 variază pentru fiecare curbă, crescând în mărime pentru curbele mai înalte

- (a) să treacă prin două puncte date (P_1 , P_4);
- (b) să aibă tangente date în aceste puncte (R_1 , R_4).

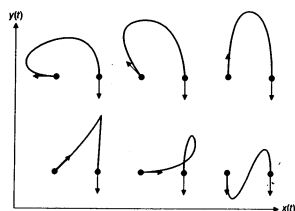


Figura 3.12: Familie de curbe **Hermite** pentru care direcția vectorului tangent R_1 în P_1 variază, dar mărimea vectorului rămâne aceeași

Se definește vectorul de geometrie

$$G_H = \begin{pmatrix} P_1 \\ P_4 \\ R_1 \\ R_4 \end{pmatrix}$$

unde cele trei elemente ale unei linii reprezintă coordonatele punctelor, respectiv lungimile tangentelor descompuse pe axele de coordonate. Fie G_{Hx} prima

coloană a acestei matrici și M_H matricea de bază. Atunci $x(t) = TM_H G_{Hx}$. Pentru determinarea matricii de bază M_H se utilizează condițiile din ipoteză. Se știe că

$$\begin{aligned} x(0) &= x_{P_1} = (0, 0, 0, 1)M_H G_{Hx}, \\ x(1) &= x_{P_4} = (1, 1, 1, 1)M_H G_{Hx}, \\ x'(0) &= x_{R_1} = (0, 0, 1, 0)M_H G_{Hx}, \\ x'(1) &= x_{R_4} = (3, 2, 1, 0)M_H G_{Hx} \end{aligned}$$

adică

$$G_{Hx} = \begin{pmatrix} 0 & 0 & 0 & 1 \\ 1 & 1 & 1 & 1 \\ 0 & 0 & 1 & 0 \\ 3 & 2 & 1 & 0 \end{pmatrix} M_H G_{Hx}.$$

Astfel

$$M_H = \begin{pmatrix} 0 & 0 & 0 & 1 \\ 1 & 1 & 1 & 1 \\ 0 & 0 & 1 & 0 \\ 3 & 2 & 1 & 0 \end{pmatrix}^{-1} = \begin{pmatrix} 2 & -2 & 1 & 1 \\ -3 & 3 & -2 & -1 \\ 0 & 0 & 1 & 0 \\ 1 & 0 & 0 & 0 \end{pmatrix}$$

Aceeași matrice se obține utilizând condițiile în coordonata y sau z . Generic,

$$Q(t) = TM_H G_H.$$

Polinoamele **Hermite** B_H (figura 3.13) se obțin din $B_H = TM_H$. Funcție de

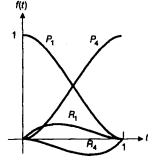


Figura 3.13: Funcțiile **Hermite** de amestecare (**blending**)

acestea, curba **Hermite** este descrisă astfel:

$$Q(t) = B_H G_H = (2t^3 - 3t^2 + 1)P_1 + (-2t^3 + 3t^2)P_4 + (t^3 - 2t^2 + t)R_1 + (t^3 - t^2)R_4.$$

Pentru continuitatea geometrică G^1 a două segmente de curbă **Hermite** este necesar ca vectorii de geometrie să fie de tipul $(P_1, P_4, R_1, R_4)^T$ și $(P_4, P_7, kR_4, R_7)^T$, unde $k \geq 0$. Pentru continuitatea de clasă C^1 a segmentului rezultat este necesar ca $k = 1$ (figura 3.14).

Observație. Curbele **Hermite** pot fi ușor transformate modificând doar vectorul de geometrie (matricea de bază este invariantă la rotații, scalări sau translații).

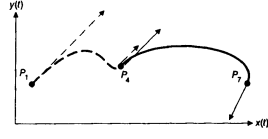


Figura 3.14: Două curbe Hermite au un punct comun P_4 , vectorii tangent în P_4 au aceeași direcție, dar nu și aceeași mărime (continuitate G^1 , dar nu și continuitate C^1)

Curbe Bézier

Se obțin cu ajutorul a patru puncte de control. Primul și ultimul servesc la precizarea capetelor intervalului (în figura 3.15, P_1 și P_4), iar punctele supli-

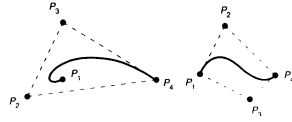


Figura 3.15: Două curbe Bézier și punctele lor de control

mentare determină, împreună cu capetele, direcția tangentelor (P_1P_2 , P_3P_4). Dacă R_1 și R_4 sunt tangentele în punctele P_1 , respectiv P_4 , atunci

$$R_1 = Q'(0) = m(P_2 - P_1), \quad R_4 = Q'(1) = m(P_4 - P_3).$$

Parametrul m se numește factor de formă. Din considerentul includerii curbei în închiderea convexă a punctelor P_1 , P_2 , P_3 , P_4 se consideră $m = 3$. Vectorul de geometrie Bézier este

$$G_B = \begin{pmatrix} P_1 \\ P_2 \\ P_3 \\ P_4 \end{pmatrix}.$$

Atunci

$$G_H = \begin{pmatrix} P_1 \\ P_4 \\ R_1 \\ R_4 \end{pmatrix} = \begin{pmatrix} 1 & 0 & 0 & 0 \\ 0 & 0 & 0 & 1 \\ -m & m & 0 & 0 \\ 0 & 0 & -m & m \end{pmatrix} \begin{pmatrix} P_1 \\ P_2 \\ P_3 \\ P_4 \end{pmatrix} = M_{HB} G_B.$$

Cum $Q(t) = TM_H G_H = TM_B G_B$ se obține matricea de bază **Bézier** pentru $m = 3$

$$M_B = M_H M_{HB} = \begin{pmatrix} -1 & 3 & -3 & 1 \\ 3 & -6 & 3 & 0 \\ -3 & 3 & 0 & 0 \\ 1 & 0 & 0 & 0 \end{pmatrix}.$$

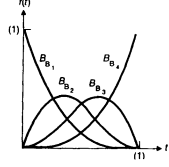


Figura 3.16: Polinoamele **Bernstein**

Polinoamele $B_B = TM_B$ sunt polinoamele **Bernstein** (figura 3.16). Funcție de acestea curba **Bézier** este descrisă prin

$$Q(t) = (1-t)^3 P_1 + 3t(1-t)^2 P_2 + 3t^2(1-t) P_3 + t^3 P_4.$$

Pentru continuitatea geometrică G^1 a două segmente de curbă **Bézier** este necesar ca vectorii de geometrie să fie de tipul $(P_1, P_2, P_3, P_4)^T$ și (P_4, P_5, P_6, P_7) , cu $P_3 - P_4 = k(P_4 - P_5)$ unde $k \geq 0$ (figura 3.17). Pentru continuitatea de clasă C^1 a segmentului rezultat este necesar ca $k = 1$

Observație. Deoarece suma ponderilor polinoamelor **Bernstein** este unu, segmentul de curbă se află în interiorul închiderii convexe a celor patru puncte de control.

Curbe spline

Sunt constituite din mai multe segmente ce prezintă continuitate de clasă C^1 sau C^2 în punctele de cuplare. Există mai multe tipuri de curbe de acest tip,

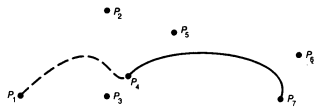


Figura 3.17: Două curbe **Bézier** cu un punct comun P_4 ; punctele P_3 , P_4 și P_5 sunt coliniare

cele mai utilizate fiind curbele **B-spline** uniforme sau neuniforme și curbele β -**spline**. **Spline** desemnează un instrument folosit în desenul tehnic pentru trasarea curbelor netede (o bandă elastică care este fixată, cu ajutorul unor greutateți, în punctele prin care trebuie să treacă curba).

În cazul concatenării unor segmente de curbe de tip **Hermite** sau **Bézier**, schimbarea unui punct de control afectează întreaga curbă. Curbele **B-spline** (figura 3.18) consistă din mai multe segmente de curbă a căror coeficienți polinomiali depind de un număr mic de puncte de control (control local), astfel încât modificarea unui punct afectează numai o mică parte a curbei (figura 3.19).

O curbă cubică **B-spline** presupune precizarea a $m + 1$ puncte de control notate P_0, P_1, \dots, P_m , unde $m \geq 3$, și constă din $m - 2$ segmente de curbă cubică, notate Q_3, Q_4, \dots, Q_m . Fiecare segment de curbă este definit doar pe propriul interval $0 \leq t < 1$. Parametrul t este ajustat astfel încât Q_i să fie definit de $t_i \leq t \leq t_{i+1}$, pentru $3 \leq i \leq m$. Dacă $m = 3$, există un singur segment de curbă, Q_3 , definit pe intervalul $t_3 \leq t < t_4$ prin punctele de control P_0, \dots, P_3 . Pentru $m \geq i \geq 4$, există un punct comun (nod) între segmentele Q_{i-1} și Q_i .

O curbă **B-spline** uniformă presupune ca nodurile să fie spațiate la intervale egale ale parametrului t . Se presupune astfel că $t_3 = 0$, $t_{i+1} - t_i = 1$, $i \geq 3$. Termenul "B" provine de la "bază", deoarece acest tip de curbe pot fi reprezentate ca sume ponderate ale unor funcții polinomiale de bază (funcții **blending**).

Segmentul de curbă Q_i este definit de punctele $P_{i-3}, P_{i-2}, P_{i-1}, P_i$ astfel încât vectorul de geometrie **B-spline** pentru segmentul Q_i este $G_{B_{s_i}} = (P_{i-3}, P_{i-2}, P_{i-1}, P_i)^T$, $3 \leq i \leq m$. Fiecare punct de control influențează patru segmente de curbă. Dacă $T_i = ((t - t_i)^3, (t - t_i)^2, (t - t_i), 1)$, atunci $Q_i(t) = T_i M_{B_s} G_{B_{s_i}}$, $t_i \leq t < t_{i+1}$, $3 \leq i \leq m$. Pentru determinarea matricei de bază se exprimă segmentele de curbă funcție de polinoamele **blending**:

$$Q_i(t - t_i) = b_1(t)P_{i-3} + b_2(t)P_{i-2} + b_3(t)P_{i-1} + b_4(t)P_i, \quad 0 \leq t < 1.$$

Dacă se impune condiția de continuitate de clasă C^2 a segmentelor de dreaptă (Q_i și Q_{i+1} să se cupleze în t_{i+1} prin continuitate de clasă C^2 , pentru oricare puncte de control), și condiția ca ponderile polinomiale să aibă suma 1 (curba se află în închiderea convexă a mulțimii punctelor de control,

$$\begin{cases} Q_i(t_{i+1} - t_i) = Q_{i+1}(t_{i+1} - t_{i+1}), & i = 3, \dots, m \\ Q'_i(t_{i+1} - t_i) = Q'_{i+1}(t_{i+1} - t_{i+1}), & i = 3, \dots, m \\ Q''_i(t_{i+1} - t_i) = Q''_{i+1}(t_{i+1} - t_{i+1}), & i = 3, \dots, m \\ b_1(t) + b_2(t) + b_3(t) + b_4(t) = 1, & \forall t \in [0, 1], \end{cases}$$

se obțin polinoamele **blending** astfel încât

$$Q_i(t - t_i) = \frac{(1-t)^3}{6}P_{i-3} + \frac{3t^3 - 6t^2 + 4}{6}P_{i-2} + \frac{-3t^3 + 3t^2 + 3t + 1}{6}P_{i-1} + \frac{t^3}{6}P_i,$$

iar matricea de bază **B-spline** este

$$M_{B_s} = \frac{1}{6} \begin{pmatrix} -1 & 3 & -3 & 1 \\ 3 & -6 & 3 & 0 \\ -3 & 0 & 3 & 0 \\ 1 & 4 & 1 & 0 \end{pmatrix}.$$

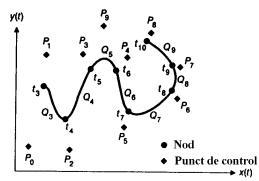


Figura 3.18: O curbă B-spline constituită din segmentele de la Q_1 la Q_9

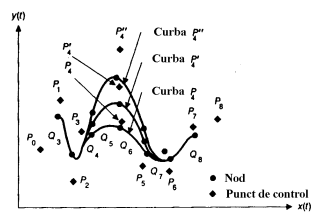


Figura 3.19: Curbele B-spline cu punct de control P_4 variabil

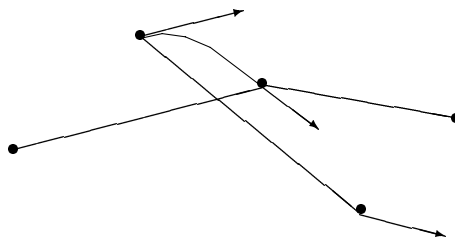


Figura 3.20: Curba spline Catmull-Rom

Curbele **B-spline neuniforme** diferă de cele uniforme prin faptul că intervalele parametrice dintre noduri succesive nu sunt uniforme (astfel încât funcțiile **blending** diferă de la un segment de curbă la altul). Continuitatea de clasă C^2 este redusă la C^1 sau C^0 (în ultimul caz fiind posibilă interpolarea unui punct de control. Funcțiile blending sunt definite recursiv în termenii unor funcții de ordin mai mic decât 3.

Curbele cubice raționale sunt definite prin raport de polinoame:

$$x(t) = \frac{X(t)}{W(t)}, \quad y(t) = \frac{Y(t)}{W(t)}, \quad z(t) = \frac{Z(t)}{W(t)},$$

unde $X(t)$, $Y(t)$, $Z(t)$ și $W(t)$ sunt polinoame cubice a căror puncte de control sunt definite în coordonate omogene. Orice curbă nerațională poate fi transformată într-o curbă rațională adăugând $W(t) = 1$. Polinoamele pot fi de tip **Hermite**, **Bézier** etc. Dacă polinoamele sunt de tip **B-spline**, curbele raționale sunt numite curbe **B-spline raționale neuniforme (NURBS)**. Curbele raționale se utilizează din două motive. În primul rând sunt invariante la rotații, scalări, translații și transformări perspective a punctelor de control (curbele neraționale sunt invariante numai la rotație, scalare și translație). Ca urmare transformarea perspectivă trebuie aplicată numai punctelor de control care pot fi apoi utilizate pentru generarea transformării perspective a curbei inițiale (în cazul curbelor neraționale se generează mai întâi punctele curbbei și apoi se aplică transformarea perspectivă la fiecare punct generat). Al doilea avantaj este posibilitatea de definire precisă a secțiunilor conice (proprietate utilă în aplicații în care este posibilă trasarea unor curbe și suprafețe generală, dar și a conicelor).

În cazul în care se dorește interpolarea unor puncte 3D se pot utiliza curbele **Catmull-Rom** (sau **Overhauser-spline**). Un membru al acestei familii de curbe **spline** (figura 3.20) este capabil să interpoleze punctele de la P_1 la P_{m-1} dacă se furnizează o secvență de puncte de la P_0 la P_m . În plus, vectorul tangent la punctul P_i este paralel cu linia ce unește punctele P_{i-1} și P_{i+1} . Aceste curbe spline nu posedă însă proprietatea închiderii convexe. Reprezentarea curbelor **Catmull-Rom** este realizată prin

$$Q^i(t) = T \cdot M_{CR} \cdot G_{B_i} = \frac{1}{2} T \begin{pmatrix} -1 & 3 & -3 & 1 \\ 2 & -5 & 4 & -1 \\ -1 & 0 & 1 & 0 \\ 0 & 2 & 0 & 0 \end{pmatrix} \begin{pmatrix} P_{i-3} \\ P_{i-2} \\ P_{i-1} \\ P_i \end{pmatrix}.$$

Caracteristici ale curbelor cubice

Caracteristicile curbelor prezentate în secțiunile anterioare sunt sumarizate în tabelul 3.2. Numărul de parametrizări de control se referă la constrângerile geometrice plus alți parametri precum spațiul dintre noduri la **spline**-urile neuniforme. Continuitatea care poate fi atinsă se referă la constrângeri precum condiția ca punctele de control să fie coliniare pentru a permite continuitate G^1 .

Proprietate	Hermite	Bézier	B-spline uniforme	B-spline neuniforme	Catmull- Rom
În închiderea convexă a punctelor de control	Nu	Da	Da	Da	Nu
Interpolează anumite puncte de control	Da	Da	Nu	Nu	Da
Interpolează toate punctele de control	Da	Nu	Nu	Nu	Da
Ușurința divizării	Bună	Cea mai bună	Medie	Complicată	Medie
Continuitate inerentă a reprezentării	C^0 G^0	C^0 G^0	C^2 G^2	C^2 G^2	C^1 G^1
Continuitate care poate fi atinsă	C^1 G^1	C^1 G^1	C^2 G^2	C^2 G^2	C^1 G^1
Numărul parametrilor care controlează curba	4	4	4	5	4

Tabelul 3.2: Proprietățile curbelor cubice

3.8.3 Trasarea curbelor parametrice cubice

Există două metode principale de trasare a curbelor parametrice:

- evaluarea polinoamelor $x(t)$, $y(t)$, $z(t)$ pentru o diviziune a intervalului $[0,1]$ parcurs de t , în variantele:
 - (a) evaluare directă (eventual utilizând schema **Horner** pentru determinarea valorilor polinoamelor);
 - (b) evaluare iterativă;
- subdivizarea recursivă.

Metoda evaluării directe presupune următoarele etape:

1. se citesc coordonatele punctelor de control;
2. pentru fiecare pereche de puncte de control succesive:
 - se parcurge intervalul $[0,1]$ cu un pas constant $\delta = 1/n$, $n > 1$;
 - pentru fiecare $t_i = i\delta$, $i = 1, \dots, n$ se calculează
 - (a) coordonatele punctului de pe curbă $x(t_i)$, $y(t_i)$, $z(t_i)$;
 - (b) coordonatele proiecției acestui punct intermediar;
3. se trasează pe ecran o linie poligonală care trece prin proiecțiile punctelor intermediare.

Se observă că pentru evaluarea polinoamelor cubice sunt necesare cel puțin 11 multiplicări și 10 adunări pentru un punct (vezi procedura ce urmează).

```

type CoefficientArray=array[1..4] of real;
Procedure DrawCurve(
  cx : CoefficientArray, {coeficienți pt.x(t) :  $C_x M \cdot G_x$ }
  cy : CoefficientArray, {coeficienți pt.y(t) :  $C_y M \cdot G_y$ }
  cz : CoefficientArray, {coeficienți pt.z(t) :  $C_z M \cdot G_z$ }
  n :integer)           {număr de pași}
var
  t,t2,t3 : real;
begin
  MoveTo(cx[4],cy[4],cz[4]); {t=0}

```



```

d := 1/n; t := 0;
for i := 1 to n do
  begin
    t := t + d; t2 := t * t; t3 := t2 * t;
    x := cx[1] * t3 + cx[2] * t2 + cx[3] * t + cx[4];
    y := cy[1] * t3 + cy[2] * t2 + cy[3] * t + cy[4];
    z := cz[1] * t3 + cz[2] * t2 + cz[3] * t + cz[4];
    LineTo(x, y, z)
  end
end;

```

Utilizând schema **Horner** pentru evaluarea polinoamelor sunt necesare doar 9 multiplicări și 10 adunări.

Multiplicările pot fi evitate prin *evaluarea iterativă*. Fie $f(t) := at^3 + bt^2 + ct + d$, $t_n := n\delta$, $f_n := f(t_n)$, $\Delta f(t) := f(t + \delta) - f(t)$, $\Delta^2 f(t) := \Delta(\Delta f(t))$ (diferențe finite). Se observă că

$$\begin{aligned}
\Delta f(t) &= f(t + \delta) - f(t) = 3at^2\delta + t(3a\delta^2 + 2b\delta) + a\delta^3 + b\delta^2 + c\delta, \\
\Delta^2 f(t) &= \Delta f(t + \delta) - \Delta f(t) = 6a\delta^2t + 6a\delta^3 + 2b\delta^2, \\
\Delta^3 f(t) &= \Delta^2 f(t + \delta) - \Delta^2 f(t) = 6a\delta^3
\end{aligned}$$

și

$$f_{n+1} = f_n + \Delta f_n, \quad \Delta f_n = \Delta f_{n-1} + \Delta^2 f_{n-1}, \quad \Delta^2 f_{n-1} = \Delta^2 f_{n-2} + \Delta^3 f_{n-2}.$$

Astfel, pornind de la valorile de start

$$f_0 = d, \quad \Delta f_0 = a\delta^3 + b\delta^2 + c\delta, \quad \Delta^2 f_0 = 6a\delta^3 + 2b\delta^2, \quad \Delta^3 f_0 = 6a\delta^3,$$

se pot calcula recursiv valorile f_n . Se definește vectorul diferențelor inițiale, D , ca fiind

$$D = \begin{pmatrix} f_0 \\ \Delta f_0 \\ \Delta^2 f_0 \\ \Delta^3 f_0 \end{pmatrix} = \begin{pmatrix} 0 & 0 & 0 & 1 \\ \delta^3 & \delta^2 & \delta & 0 \\ 6\delta^3 & 2\delta^2 & 0 & 0 \\ 6\delta^3 & 0 & 0 & 0 \end{pmatrix} \begin{pmatrix} a \\ b \\ c \\ d \end{pmatrix} = E(\delta)C.$$

În această variantă, algoritmul pentru trasarea unei curbe parametrice cubice presupune efectuarea unor multiplicări doar în faza de inițializare a valorilor recursive. La pasul n al algoritmului se efectuează următoarele calcule:

$$\begin{cases} x_{n+1} = x_n + \Delta x_n, & \Delta x_{n+1} = \Delta x_n + \Delta^2 x_n, & \Delta^2 x_{n+1} = \Delta^2 x_n + \Delta^3 x_n; \\ y_{n+1} = y_n + \Delta y_n, & \Delta y_{n+1} = \Delta y_n + \Delta^2 y_n, & \Delta^2 y_{n+1} = \Delta^2 y_n + \Delta^3 y_n; \\ z_{n+1} = z_n + \Delta z_n, & \Delta z_{n+1} = \Delta z_n + \Delta^2 z_n, & \Delta^2 z_{n+1} = \Delta^2 z_n + \Delta^3 z_n; \end{cases}$$

precum și trasarea dreptei ce unește proiecția punctului (x_n, y_n, z_n) cu proiecția punctului $(x_{n+1}, y_{n+1}, z_{n+1})$. Algoritmul presupune 9 adunări per pas și nici o multiplicare.

```

Procedure DrawCurbeFwdDif(
  n, x, dx, d2x, d3x, y, dy, d2y, d3y, z, dz, d2z, d3z)
{ n este numărul de pași de trasare a curbei,

```

```

pasul  $\delta$  fiind  $1/n$ ,  $x, dx, d2x, d3x$  sunt
valorile inițiale pentru  $x(t)$  la  $t = 0$ , calculate
prin  $C_x = E(\delta)C_x\}$ 
begin
  MoveTo( $x, y, z$ );
  for  $i := 1$  to  $n$  do
    begin
       $x := x + dx$ ;  $dx := dx + d2x$ ;  $d2x := d2x + d3x$ ;
       $y := y + dy$ ;  $dy := dy + d2y$ ;  $d2y := d2y + d3y$ ;
       $z := z + dz$ ;  $dz := dz + d2z$ ;  $d2z := d2z + d3z$ 
      LineTo( $x, y, z$ )
    end
  end {DrawCurveFwdDif}

```

Dezavantajul utilizării acestui algoritm constă în faptul că pentru valori mari ale numărului de pași n rezultatele pot fi afectate de cumulara erorilor de trunchiere.

Trasarea unei curbe 3D cu pas constant nu conduce întotdeauna la imaginile dorite (vezi trasarea curbelor plane). Există două modalități de eliminare a acestui efect nedorit:

1. creșterea gradului funcțiilor parametrice (se produc o serie de inflexiuni adiționale);
2. creșterea numărului punctelor de control cu divizarea segmentelor de curbă în mai multe segmente.

Se consideră exemplul unui segment de curbă **Bézier** determinat prin patru puncte de control. Acesta poate fi subdivizat în două segmente având în total șapte puncte de control (cele două segmente noi au un punct comun și se suprapun pe segmentul original). Dată curba $Q(t)$ definită de punctele P_1, P_2, P_3, P_4 , se caută punctele L_1, L_2, L_3, L_4 care definesc un segment de curbă ce coincide cu $Q(t)$ pentru $0 \leq t \leq 1/2$ (analog R_1, R_2, R_3, R_4 pentru $1/2 \leq t \leq 1$). Punctul de pe curba **Bézier** care corespunde unui parametru t se poate obține astfel (figura 3.21.a): se determină punctele $L_2 \in P_1P_2$, $H \in P_2P_3$, $R_3 \in P_3P_4$ care împart segmentele P_1P_2 , P_2P_3 și P_3P_4 în raportul $t/(1-t)$; analog se determină $L_3 \in L_2H$ și $R_2 \in HR_3$ care împart segmentele menționate în același raport și $L_4 \in L_3R_2$ tot în același raport. Punctul L_4 este punctul căutat. În cazul $t = 1/2$ noile puncte de control pot fi ușor calculate: $L_2 = (P_1 + P_2)/2$, $H = (P_2 + P_3)/2$, $L_3 = (L_2 + H)/2$, $R_3 = (P_3 + P_4)/2$, $R_2 = (H + R_3)/2$, $L_4 = R_1 = (L_3 + R_2)/2$. Noile puncte pot fi rescrise astfel:

$$G_B^L = \frac{1}{8} \begin{pmatrix} 8 & 0 & 0 & 0 \\ 4 & 4 & 0 & 0 \\ 2 & 4 & 2 & 0 \\ 1 & 3 & 3 & 1 \end{pmatrix} \begin{pmatrix} P_1 \\ P_2 \\ P_3 \\ P_4 \end{pmatrix}, \quad G_B^R = \frac{1}{8} \begin{pmatrix} 1 & 3 & 3 & 1 \\ 0 & 2 & 4 & 2 \\ 0 & 0 & 4 & 4 \\ 0 & 0 & 0 & 8 \end{pmatrix} \begin{pmatrix} P_1 \\ P_2 \\ P_3 \\ P_4 \end{pmatrix}.$$

Se observă că noile puncte de control se află în închiderea convexă a setului original de puncte de control. De aceea, în general, aceste puncte sunt mai apropiate de curbă decât punctele de control inițiale. Această proprietate este valabilă și pentru curbele **spline** care respectă proprietatea închiderii convexe. În cazul curbelor **B-spline**, se pot construi puncte de control în mod similar,

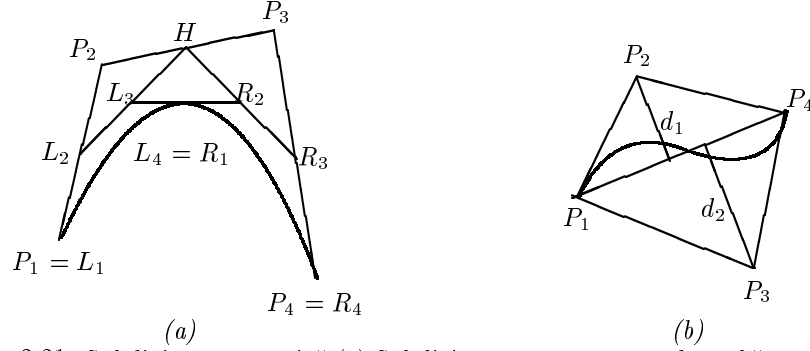


Figura 3.21: Subdivizarea recursivă (a) Subdivizarea unui segment de curbă Bézier (b) Testul de liniaritate a segmentului de curbă Bézier

rezultând următorii vectori geometrici:

$$G_{Bs}^L = \frac{1}{8} \begin{pmatrix} 4 & 4 & 0 & 0 \\ 1 & 6 & 1 & 0 \\ 0 & 4 & 4 & 0 \\ 0 & 1 & 6 & 1 \end{pmatrix} \begin{pmatrix} P_{i-3} \\ P_{i-2} \\ P_{i-1} \\ P_i \end{pmatrix}, \quad G_{Bs}^R = \frac{1}{8} \begin{pmatrix} 1 & 6 & 1 & 0 \\ 0 & 4 & 4 & 0 \\ 0 & 1 & 6 & 1 \\ 0 & 0 & 4 & 4 \end{pmatrix} \begin{pmatrix} P_{i-3} \\ P_{i-2} \\ P_{i-1} \\ P_i \end{pmatrix}.$$

Cele patru puncte de control sunt înlocuite cu un total de cinci puncte. Noile segmente de curbă depind parțial de vechile puncte de control. Astfel, dacă modificarea unui punct de control din cele patru inițiale are loc după ce divizarea a fost realizată, este posibil obținerea unor noi segmente de curbă neconectate (această problemă poate fi evitată utilizând curbe B-spline neuniforme).

Algoritmul bazat pe *subdivizarea recursivă* este indicat, în special, în cazul curbelor Bézier, deoarece subdivizarea este ușor de realizat și testul de oprire a recursivității este simplu: dacă P_1 și P_4 sunt punctele prin care trece segmentul de curbă, iar P_2 , P_3 punctele de control pentru determinarea derivatei, iar distanța de la P_2 la P_1P_4 și distanța de la P_3 la P_1P_4 sunt sub un anumit nivel ε (figura 3.21b), atunci segmentul de curbă P_1P_4 este suficient de plat (din proprietatea de incluziune în închiderea convexă a mulțimii punctelor de control) pentru a fi aproximat cu o dreaptă (altfel se continuă subdivizarea).

Dacă se utilizează alt tip de curbe decât Bézier, testul de liniaritate a segmentului de curbă este mult mai complicat. Astfel trecerea la forma Bézier este recomandată pentru subdivizarea recursivă.

Dată fiind o curbă reprezentată prin vectorul geometric G_1 și matricea de bază M_1 , căutăm vectorul geometric G_2 pentru matricea de bază M_2 astfel încât curbele să fie identice: $T \cdot M_2 \cdot G_2 = T \cdot M_1 \cdot G_1$. Astfel $G_2 = M_2^{-1} \cdot M_1 \cdot G_1$. De exemplu, matricea de trecere de la B-spline la forma Bézier este

$$M_{BsB} = M_B^{-1} \cdot M_{Bs} = \frac{1}{6} \begin{pmatrix} 1 & 4 & 1 & 0 \\ 0 & 4 & 2 & 0 \\ 0 & 2 & 4 & 0 \\ 0 & 1 & 4 & 1 \end{pmatrix}$$

3.9 Suprafețe curbe

3.9.1 Descrierea suprafețelor curbe

Suprafețele curbe pot fi descrise:

1. *explicit*, prin ecuații de tipul $z = f(x, y)$;
2. *implicit*, printr-o ecuație de tipul $F(x, y, z) = 0$;
3. *parametric*, prin ecuații de tipul $x = x(s, t)$, $y = y(s, t)$, $z = z(s, t)$.

Suprafețele de rotație sunt acele suprafețe care se obțin prin rotația unui obiect plan în jurul unei drepte. Dacă obiectul generator are ecuația parametrică $(x(t), y(t), z(t))$, $t \in [0, 1]$, se află în planul $z = 0$, iar rotația se face în jurul axei y , atunci suprafața de rotație poate fi descrisă parametric prin $(x(t) \cos \theta, y(t), -x(t) \sin \theta)$. Suprafețele de rotație sunt cazuri particulare de suprafețe obținute prin baleiere spațială (translatarea unui obiect de-a lungul unei traiectorii).

În grafica pe calculator sunt des utilizate suprafețele determinate polinomial prin funcția de două variabile x și y :

$$z = \sum_{j=0}^n \sum_{i=0}^m a_{ij} x^i y^j.$$

Suprafața se notează $P_{m,n}$. Matricea A poartă numele de *amprentă* a suprafeței. Se disting următoarele cazuri speciale:

- (a) $P_{0,0}$, $P_{0,1}$, $P_{1,0}$ sunt plane;
- (b) $P_{1,1}$ este un paraboloid hiperbolic;
- (c) $P_{0,n}$, $P_{m,0}$ pentru $m, n \geq 2$ sunt suprafețe cilindrice cu generatoarele paralele cu axa Ox respectiv Oy , iar curbele directoare ale suprafețelor cilindrice sunt conținute în planele yOz , respectiv xOz ;
- (d) $P_{1,n}$, $P_{m,1}$ pentru $m, n \geq 1$ sunt suprafețele riglate, ale căror generatoare sunt conținute în planele $y = \text{const}$, respectiv $x = \text{const}$.
- (e) $P_{2,2}$ sunt suprafețe cuadrice;
- (f) $P_{3,3}$ sunt suprafețe bicubice.

Un exemplu concludent de suprafețe determinate prin polinoame sunt suprafețele de interpolare, definite prin puncte și prin curbe marginale. Suprafața de interpolare definită de patru puncte de colț este un patrulater strâmb, o *cuadrică riglată*. Modelarea suprafețelor de interpolare (sau de aproximare) se bazează pe noțiunea de petic (colecție de puncte mărginită de patru curbe). Un petic bicubic este descris parametric prin polinoame de grad 3.

Suprafețele *cuadrice* (hiperbolidul, paraboloidul, sfera, elipsoidul, cilindrul, conul) sunt definite implicit printr-o ecuație $F(x, y, z) = 0$ cu F polinom cuadric în x , y și z :

$$F(x, y, z) = a_{11}x^2 + a_{22}y^2 + a_{33}z^2 + \\ + 2a_{21}xy + 2a_{23}yz + 2a_{13}xz + 2a_{14}x + 2a_{24}y + 2a_{34}z + a_{44}.$$

Suprafețele *parametrice polinomiale bivariate* definesc coordonatele unui punct de pe o suprafață utilizând trei polinoame bivariate, câte unul pentru fiecare dimensiune.

O problemă importantă este *cuplarea suprafețelor*. Aceasta poate fi:

- (a) de tip alipire, când se cere identitatea anumitor curbe marginale;
- (b) cuplare netedă, ce impune suplimentar identitatea tangentelor (derivate parțiale de ordinul întâi) și a curburilor (derivate mixte) de-a lungul curbilor marginale.

3.9.2 Suprafețe parametrice bicubice

Folosind două familii de curbe cubice 3D se poate defini o suprafață curbă în spațiu. O familie de curbe cubice 3D se poate obține introducând, în ecuațiile parametrice ale unei curbe 3D, a unui parametru nou ce variază de asemenea în intervalul $[0, 1]$. Fie curba $Q(s) = SMG$. Dacă G variază funcție de un parametru t se obține o familie de curbe cubice:

$$Q(s, t) = SMG(t) = SM \begin{pmatrix} G_1(t) \\ G_2(t) \\ G_3(t) \\ G_4(t) \end{pmatrix}.$$

Dacă $G_i(t)$ sunt polinoame cubice de același tip ca și cele în s , atunci $G_i(t) = TMG_i$, unde G_i este vectorul de geometrie caracteristic, $G_i = (g_{i1}, g_{i2}, g_{i3}, g_{i4})^T$. Notând G_x, G_y, G_z matricile 4×4 ce conțin coordonatele carteziene ale elementelor de geometrie g_{ij} , se obțin expresiile parametrice

$$\begin{cases} x(s, t) = SMG_x M^T T^T, \\ y(s, t) = SMG_y M^T T^T, \\ z(s, t) = SMG_z M^T T^T. \end{cases}$$

Astfel, ecuația matriceală este

$$Q(s, t) = SM \begin{pmatrix} g_{11} & g_{12} & g_{13} & g_{14} \\ g_{21} & g_{22} & g_{23} & g_{24} \\ g_{31} & g_{32} & g_{33} & g_{34} \\ g_{41} & g_{42} & g_{43} & g_{44} \end{pmatrix} M^T T^T = SMGM^T T^T, \quad 0 \leq s, t \leq 1$$

unde M este *matricea de bază*, iar G este *matricea geometrică*.

Vectorul tangent la suprafață în direcția s este

$$\begin{aligned} \frac{\partial}{\partial s} Q(s, t) &= \frac{\partial}{\partial s} (S \cdot M \cdot G \cdot M^T \cdot T^T) = \\ &= \frac{\partial}{\partial s} (S) \cdot M \cdot G \cdot M^T \cdot T^T = (3s^2, 2s, 1, 0) \cdot M \cdot G \cdot M^T \cdot T^T, \end{aligned}$$

și vectorul tangent în direcția t este

$$\frac{\partial}{\partial t} Q(s, t) = S \cdot M \cdot G \cdot M^T \cdot (3t^2, 2t, 1, 0)^T.$$

Notăm cu (x_s, y_s, z_s) respectiv (x_t, y_t, z_t) componentele acestor vectori. Atunci normala este

$$\frac{\partial}{\partial s} Q(s, t) \times \frac{\partial}{\partial t} Q(s, t) = (y_s z_t - y_t z_s, z_s x_t - z_t x_s, x_s y_t - x_t y_s).$$

Suprafețe Hermite

O suprafață bicubică **Hermite** se definește pe baza a patru puncte în spațiu corespunzătoare valorilor extreme 0 și 1 pentru s și t , precum și prin câte trei tangente la suprafață în fiecare dintre aceste puncte. Fiecare vector tangent are componentele determinate de derivatele de ordin 1 și 2 ale funcțiilor $x(t, s)$, $y(s, t)$, $z(t, s)$.

În cazul special când $Q(0, t)$, $Q(1, t)$, $Q(s, 0)$ și $Q(s, 1)$ sunt linii drepte, rezultatul este o suprafață riglată. Dacă aceste linii sunt coplanare, atunci suprafața **Hermite** se reduce la un poligon planar.

Matricea de geometrie poate fi construită pornind de la familia de curbe **Hermite**:

$$x(s, t) = SM_H G_{Hx}(t) = SM_H \begin{pmatrix} P_1(t) \\ P_4(t) \\ R_1(t) \\ R_4(t) \end{pmatrix}_x$$

În figura 3.22.a sunt trasate cubicele în s definite la $t = 0, 0.2, 0.4, 0.6, 0.8, 1$.

Fiecare element al vectorului de geometrie poate fi reprezentat drept o curbă **Hermite**:

$$(P_1(t), P_4(t), R_1(t), R_4(t)) = TM_H \begin{pmatrix} g_{11} & g_{21} & g_{31} & g_{41} \\ g_{12} & g_{22} & g_{32} & g_{42} \\ g_{13} & g_{23} & g_{33} & g_{43} \\ g_{14} & g_{24} & g_{34} & g_{44} \end{pmatrix},$$

unde g_{ij} rezultă din forma **Hermite** pentru curbe. De exemplu, $g_{33_x} = (\partial^2 x)/(\partial s \partial t)(0, 0)$, deoarece este vectorul tangent la curba $R_{1x}(t)$ în $t = 0$, care este la rândul său vectorul tangent la curba $x(s, 0)$ în $s = 0$. Astfel

$$G_{Hx} = \begin{pmatrix} x(0, 0) & x(0, 1) & \frac{\partial}{\partial t}x(0, 0) & \frac{\partial}{\partial t}x(0, 1) \\ x(1, 0) & x(1, 1) & \frac{\partial}{\partial t}x(1, 0) & \frac{\partial}{\partial t}x(1, 1) \\ \frac{\partial}{\partial s}x(0, 0) & \frac{\partial}{\partial s}x(0, 1) & \frac{\partial^2}{\partial s \partial t}x(0, 0) & \frac{\partial^2}{\partial s \partial t}x(0, 1) \\ \frac{\partial}{\partial s}x(1, 0) & \frac{\partial}{\partial s}x(1, 1) & \frac{\partial^2}{\partial s \partial t}x(1, 0) & \frac{\partial^2}{\partial s \partial t}x(1, 1) \end{pmatrix}$$

Elementele matricei geometrice sunt reprezentate în figura 3.22.b.

Condițiile de joncțiune a două suprafețe **Hermite** se pun relativ simplu: capetele curbei de margine trebuie să coincidă, iar tangentele la suprafețe în aceste capete trebuie să fie proporționale. Astfel matricele de geometrie ale suprafețelor trebuie să concorde: linia a doua a primei matrice să coincidă cu prima linie a celei de a doua, iar linia a patra a primei matrice să fie proporțională, cu un factor unitar pozitiv, față de linia a treia a celei de a doua matrice.

Suprafețe Bézier

Pentru a defini o suprafață **Bézier** se folosesc cele 4 puncte de control corespunzătoare valorilor $(0, 0)$, $(0, 1)$, $(1, 0)$, $(1, 1)$ ale parametrilor s și t și în plus alte 12 puncte de control prin intermediul cărora se precizează tangentele la suprafață. Astfel geometria unei suprafețe **Bézier** este caracterizată prin

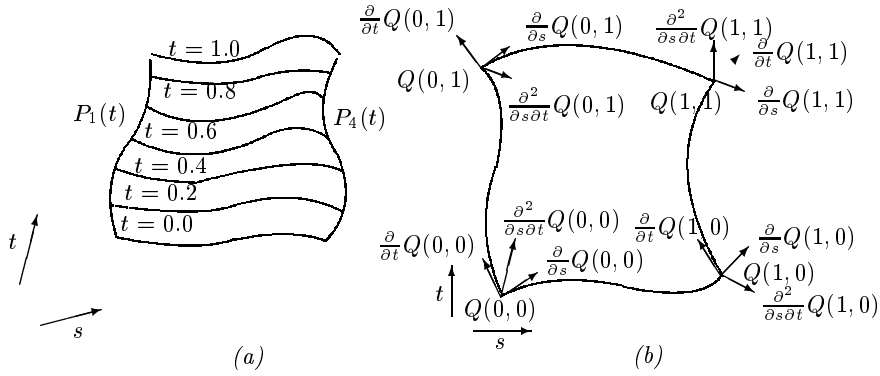


Figura 3.22: Suprafețe Hermite (a) Interpolarea cubică între $P_1(t)$ și $P_4(t)$ (b) Tangentele la suprafață

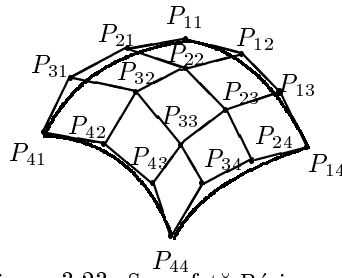


Figura 3.23: Suprafață Bézier

coordonatele a 16 puncte de control (figura 3.23). Ecuația parametrică a suprafețelor Bézier este:

$$Q(s, t) = \begin{pmatrix} (1-s)^3 \\ 3s(1-s)^2 \\ 3s^2(1-s) \\ s^3 \end{pmatrix}^T \begin{pmatrix} P_{11} & P_{12} & P_{13} & P_{14} \\ P_{21} & P_{22} & P_{23} & P_{24} \\ P_{31} & P_{32} & P_{33} & P_{34} \\ P_{41} & P_{42} & P_{43} & P_{44} \end{pmatrix} \begin{pmatrix} (1-t)^3 \\ 3t(1-t)^2 \\ 3t^2(1-t) \\ t^3 \end{pmatrix}.$$

Proprietățile cele mai importante ale acestei suprafețe sunt includerea în închiderea convexă a punctelor de control și posibilitatea simplă de subdivizare (se divizează suprafața de-a lungul unui parametru, apoi cele două noi suprafețe de-a lungul celuilalt parametru). În figura 3.24 sunt prezentate două suprafețe Bézier ce au o latură comună.

3.9.3 Trasarea suprafețelor parametrice bicubice

Pentru generarea imaginii unei suprafețe bicubice parametrice prin *evaluare directă*, se procedează în modul următor:

1. se parcurg valorile s între 0 și 1 cu anumit pas $\delta_s = 1/m$;
2. pentru fiecare valoare $s_i = i\delta_s$, $i = 1, \dots, m$
 - se parcurg valorile lui t între 0 și 1 cu anumit pas $\delta_t = 1/n$;

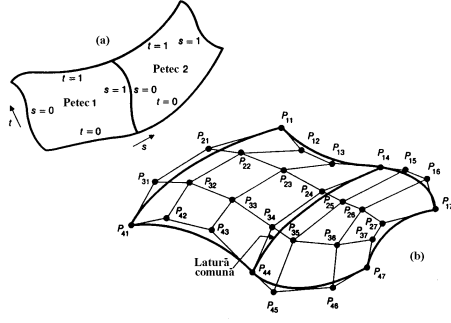


Figura 3.24: (a) Două petece oarecare de suprafață cu o latură comună (b) Două suprafețe Bézier cu patru punct de control identice

- pentru fiecare valoare $t_j = j\delta_t$, $j = 1, \dots, n$ se calculează
 - (a) coordonatele punctului $x(s_i, t_j)$, $y(s_i, t_j)$, $z(s_i, t_j)$;
 - (b) proiecția punctului calculat anterior;
- 3. se trasează curbele din cele două familii (pentru fiecare s , respectiv pentru fiecare t) prin punctele calculate, ca linii poligonale.

Acuratețea redării suprafeței depinde de alegerea pașilor incrementali (figura 3.25).

Evaluarea directă pentru suprafețe este mult mai costisitoare decât în cazul curbelor deoarece ecuațiile suprafeței trebuie evaluate de $2/\delta^2$ ori. Pentru $\delta = 0.1$ această valoare este 200, acceptabil, dar pentru $\delta = 0.01$ este 20000. Astfel este de preferat să fie utilizată evaluarea iterativă.

Valorile funcțiilor polinomiale se pot calcula *iterativ*, folosind diferențe finite și urmărind algoritmul propus la trasarea curbelor spațiale. Dacă în cazul curbelor s-a considerat matricea de start $D = E(\delta) \cdot C$, în cazul suprafețelor se consideră

$$DD_x = E(\delta_s) \cdot C_x \cdot E(\delta_t)^T$$

unde δ_s este mărimea pasului pe s , δ_t este mărimea pasului pe t , iar C_x este matricea 4×4 a coeficienților lui $x(s, t)$. Matricea DD_x are în prima linie valorile $x(0, 0)$, $\Delta_t x(0, 0)$, $\Delta_t^2 x(0, 0)$, $\Delta_t^3 x(0, 0)$. Astfel, această linie poate fi folosită pentru trasarea curbei cu proiecția $x(0, t)$ pe axa x , cu increment δ_t . Cum celelalte linii ale lui DD_x corespund diferențelor de ordin 1, 2 și 3 în s a

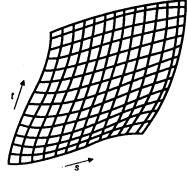


Figura 3.25: Petec de suprafață trasat prin curbe cu s sau t constant

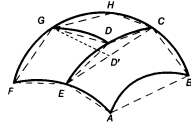


Figura 3.26: Probleme în subdivizarea recursivă: urmărind algoritmul vor fi afișate patruleterele $ABCE$, $EFGD$ și $GDCH$; corectă este afișarea patruleterelor $ABCE$, $EFGD'$ și $GD'CH$

primei linii, aplicând următoarea transformare liniilor lui DD_x :

$$\text{linia1} := \text{linia1} + \text{linia2}, \text{linia2} := \text{linia2} + \text{linia3}, \text{linia3} := \text{linia3} + \text{linia4},$$

în prima linie a lui DD_x se va obține $x(\delta_s, 0)$, $\Delta_t x(\delta_s, 0)$, $\Delta_t^2 x(\delta_s, 0)$ și $\Delta_t^3 x(\delta_s, 0)$. Aceste valori pot fi utilizate pentru trasarea curbei cu proiecția $x(\delta_s, t)$ pe x . Pasul este repetat pentru a obține pe prima linie a lui DD_x valoarea $x(2\delta_s, t)$ etc. Trasarea curbelor cu t constant se face în mod similar. Pentru a calcula $x(s, 0)$ se transpune matricea DD_x și se aplică procedeul de mai sus.

Pentru algoritmul *subdivizării recursive* testul de suprafață plată pentru o suprafață Bézier este realizat prin determinarea planurilor, care trec prin câte trei puncte de control ce aparțin suprafeței, și determinarea distanțelor de la celelalte 13 puncte de control la aceste plane: distanța maximă trebuie să fie sub anumit nivel ε pentru ca subdivizarea în patru noi suprafețe să nu fie necesară. O suprafață aproape plată, specificată, de exemplu, prin colțurile A , B , C , D , poate fi trasată fie prin muchiile quadrilaterului $ABCD$, fie prin cele patru triunghiuri determinate de muchii și punctul interior P , definit ca medie a punctelor de colț (figura 3.26).

3.10 Decupare

În cazul construirii unei imagini ce depășește limitele zonei de lucru de pe ecran sau al spațiului vizibil, vor apărea o serie de primitive care vor intersecta frontiera (ecranului sau spațiului vizibil). Este necesară eliminarea din aceste primitive a porțiunilor care ies din zona observabilă. Această operație este cunoscută sub numele de *decupare* (**clipping**, retezare, tăiere).

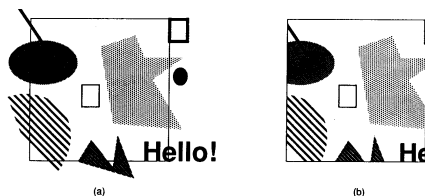


Figura 3.27: Decupare 2D (a) Primitivile și dreptunghiul de decupare (b) Rezultatul decupării

Procesul de decupare 2D decide care parte, dacă există, a unei primitive se află în interiorul unei ferestre sau a unei zone de lucru (figura 3.27).

Decuparea poate fi realizată:

1. analitic;
2. în timpul conversiei de scanare (combinarea primelor două tehnici fiind numită *forfecare*) ;
3. prin copierea pixelilor unui poligon dintr-o regiune de memorie ce stochează primitivele nedecupate într-o altă regiune de memorie.

În cazul tehnicii de forfecare fiecare pixel generat pentru o primitivă este testat față de regiunea de decupare. Complicații apar dacă regiunea de decupare nu este dreptunghiulară. Deoarece decuparea analitică este ușor de realizat în cazul liniilor și poligoanelor, decuparea acestora este realizată de obicei înaintea convertirii prin scanare, pe când alte primitive sunt decupate în timpul conversiei.

Sarcina procesului clasic este eliminarea acelor părți ale primitivelor care sunt în afara ferestrei din WCS (sistemul coordonatelor lumii reale) și nu din NDCS (sistemul coordonatelor terminalului normalizate). Se evită, în acest caz, costul transformării de normalizare pentru orice primitivă care nu apare pe ecran. Primitivele care se află într-o fereastră sunt transformate și transferate într-o zonă de lucru, iar celor care sunt parțial sau complet în afara ferestrei li se aplică un algoritm de decupare.

Algoritmii de decupare sunt aplicați și în cazul selectării unor părți a primitivelor dintr-o zonă de lucru în vederea copierii, mutării sau ștergerii.

Dificultatea procesului depinde de tipul primitivei căreia i se aplică

(deoarece o curbă generală satisface o ecuație neliniară, calcularea punctelor de intersecție cu marginea ferestrei necesită utilizarea unor metode numerice).

Decuparea 3D este efectuată asupra corpurilor 3D pentru încadrarea în volumul de vedere. Se elimină prin acest procedeu proiectarea unor primitive care nu se încadrează în fereastră (și ulterior în zona de lucru).

Se consideră în cele ce urmează problema decupării bidimensionale a unei primitive plane față de o fereastră convexă.

3.10.1 Decuparea unui punct

Se presupune că fereastra este dreptunghiulară și are limitele: superioară $y = y_{max}$, inferioară $y = y_{min}$, laterală stângă $x = x_{min}$, laterală dreaptă $x = x_{max}$. Pentru ca un punct $P(x, y)$ să fie vizibil în fereastră trebuie satisfăcute relațiile

$$x_{min} \leq x \leq x_{max}, \quad y_{min} \leq y \leq y_{max}.$$

3.10.2 Decuparea segmentelor de linii

În cazul segmentelor, problema se complică. O soluție pentru cazul când desenăm pe întreg ecranul o reprezintă folosirea unei instrucțiuni de eroare imediat după apelarea instrucțiunii de trasare a segmentului în afara spațiului vizibil. Această soluție nu rezolvă problema în cazul desenării într-o fereastră mai mică decât ecranul.

O altă variantă este utilizarea unei subrutine de trasare a segmentelor de dreaptă care testează înainte de aprinderea unui pixel, vizibilitatea acestuia față de fereastră.

Un segment de dreaptă se află față de o fereastră într-una din următoarele patru situații (figura 3.28.a):

1. complet în interior (segmentul AB),
2. complet în exterior (segmentele EF și IJ),
3. un capăt în interior, celălalt în exterior (segmentul CD),
4. ambele capete în exterior și o parte a segmentului, în interior (segmentul GH).

Un algoritmul simplu este următorul:

- dacă capetele segmentului sunt în interior, trasează segmentul;
- dacă numai un capăt este în interior, determină punctul de intersecție cu marginea ferestrei și trasează subsegmentul de interior;
- altfel, calculează intersecțiile cu liniile ce definesc marginea ferestrei și dacă punctele de intersecție sunt pe segmentele de dreaptă ale marginii ferestrei, trasează subsegmentul dintre acestea.

Teste de acceptare/respingere

Se consideră cazul unei ferestre dreptunghiulare. Algoritmul de mai sus poate fi perfecționat prin efectuarea unor teste simple asupra capetelor segmentului. Segmentul care are ambele capete vizibile, este vizibil în întregime (fereastra este o mulțime convexă). Testul care verifică dacă ambele capete ale segmentului sunt în fereastră, poartă numele de *test de acceptare*. Orice segment

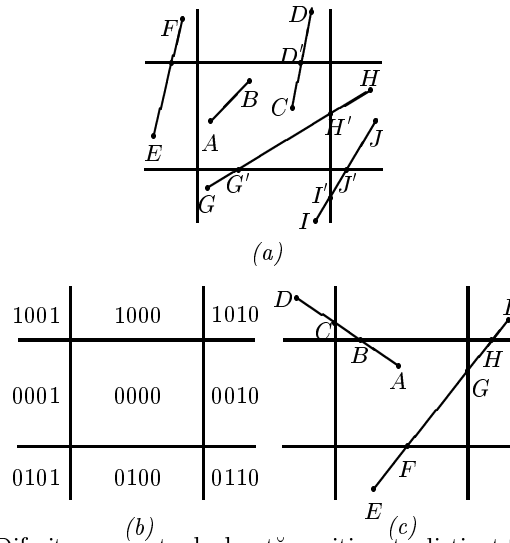


Figura 3.28: (a) Diferite segmente de dreaptă poziționate distinct față de fereastră (b) Cele nouă regiuni din algoritmul Cohen-Sutherland (c) Exemplu pentru algoritmul Cohen-Sutherland

care are ambele capete de aceeași parte a ferestrei (sus, jos, stânga, dreapta) este complet invizibil. Testul care verifică această condiție se numește *test de respingere*. Prin adăugarea testelor de acceptare și respingere la algoritmul de trasare a unui segment de dreaptă se obține un algoritm a cărui eficiență se manifestă cu precădere în 2 situații:

- (a) dacă majoritatea segmentelor de reprezentat se află în interiorul ferestrei;
- (b) dacă majoritatea segmentelor de reprezentat se află în afara ferestrei.

Algoritmul Cohen-Sutherland

Dacă o linie nu este nici respinsă, nici acceptată, atunci se calculează într-o ordine prestabilită intersecțiile cu dreptele: $y = y_{max}$, $x = x_{max}$, $y = y_{min}$, $x = x_{min}$ îndepărtând porțiunile de segment care se situează în afara ferestrei (dreptunghiulare). Rezultă astfel un nou segment, iar procedura se buclează asupra ei însăși până când un segment rezultat este acceptat sau respins.

Se divide WCS în nouă regiuni determinate de marginile ferestrei (figura 3.28.b). În prezentarea clasică, algoritmul Cohen-Sutherland asociază fiecărui capăt al unui segment un cod de 4 cifre:

- (a) prima cifră este 1 dacă punctul este deasupra ferestrei, 0 altfel;
- (b) a doua cifră este 1 dacă punctul este sub fereastră, 0 altfel;
- (c) a treia cifră este 1 dacă punctul este în dreapta ferestrei, 0 altfel;
- (d) a patra cifră este 1 dacă punctul este în stânga ferestrei, 0 altfel.

Puterea algoritmului constă în faptul că odată determinate codurile asociate capetelor segmentului, testele de acceptare sau respingere se realizează prin

operații logice rapide (de exemplu, în limbajul C: testul de acceptare are succes dacă $cod_1 | cod_2$ este zero, iar testul de respingere, dacă $cod_1 \& cod_2$ nu este zero). Astfel, segmentul AB din figura 3.28 (a) este acceptat, iar EF respins. Rămân de analizat cazurile în care capetele segmentului sunt în regiuni diferite.

Se consideră că primul capăt al segmentului (x_1, y_1) este în afara ferestrei (eventual printr-o inversare). Atunci codul asociat este nenul. Se determină primul bit nenul, aflând astfel de care parte a ferestrei se află primul capăt. Presupunem că primul bit este nenul, deci $y_1 > y_{max}$. Se elimină porțiunea din segment ce se află deasupra liniei $y = y_{max}$. Fie (x_1', y_1') punctul de intersecție cu $y = y_{max}$. Se determină codul punctului nou, necesar următorului pas. Analog se procedează pentru partea de jos, stânga și dreapta ferestrei.

Se consideră cele două segmente din figura 3.28 (c). Punctul A are codul 0000, iar punctul D , 1001. Segmentul nu poate fi acceptat sau respins. Codul lui D indică faptul că segmentul trece peste latura de sus și peste latura stângă a ferestrei. Urmărind ordinea biților din codul lui D se determină, prima dată, intersecția segmentului cu latura de sus. Codul punctului B de intersecție este 0000, astfel încât segmentul AB este acceptat. Segmentul EI necesită iterații multiple. Cum E are codul 0100 < 1010, codul lui I , se consideră primul punct exterior. Testând codul lui E , se determină intersecția F a lui EI cu dreapta suport a laturii de jos. Deoarece codul lui F este 0000, iar al lui I este 1010, testul de acceptare/respingere nu are succes. Punctul exterior este I . Testând codul lui I de la stânga la dreapta se determină laturile ferestrei pe care FI le poate intersecta. Prima este latura de sus. Se determină H , punctul de intersecție. Codul lui H este 0010. Se face o diviziune a segmentului obținând FG care este acceptat.

Algoritmul complet este descris în procedura următoare.

```

Procedure CohenSutherlandLineClipAndDraw(
  x0, y0, x1, y1, xmin, xmax, ymin, ymax: real; value: integer);
{Algoritmul CS pentru decuparea segmentul de linie de
 la P0 = (x0, y0) la P1 = (x1, y1) față de dreptunghiul cu
 diagonala de la (xmin, ymin) la (xmax, ymax)}
type
  edge = (Left, Right, Bottom, Top);
  outcode = set of edge;
var
  accept, done : boolean;
  outcode0, outcode1, outcodeOut : outcode;
{Coduri pentru P0, P1 și punctul de intersecție
 cu latura ferestrei}
  x, y : real;
Procedure CompOutCode(x, y: real; var code : outcode)
{Calculează codul pentru punctul (x, y)}
begin
  code := [];
  if y > ymax then code := [Top]
  else if y < ymin then code := [Bottom];
  if x > xmax then code := code + [Right]
  else if x < xmin then code := code + [Left]

```

```

end;
begin
  accept:=false; done:=false;
  CompOutCode(x0,y0,outcode0);
  CompOutCode(x1,y1,outcode1);
  repeat
    if (outcode0=[]) and (outcode1=[]) then {Accept.triv.}
      begin accept:=true; done:=true end
    else if (outcode0*outcode1)<>[] then
      done:=true {Resp.triv.}
    else
      {Calcul de intersecții}
      begin
        {Determină capătul exterior}
        if outcode0<>[]
          then outcodeOut:=outcode0
          else outcodeOut:=outcode1;
        {Determină intersecția}
        if Top in outcodeOut then
          begin{Intersecție cu latura de sus}
             $x := x0 + (x1 - x0) * (ymax - y0) / (y1 - y0);$ 
             $y := ymax$ 
          end
        else if Bottom in outcodeOut then
          begin {Intersecție cu latura de jos}
             $x := x0 + (x1 - x0) * (ymin - y0) / (y1 - y0);$ 
             $y := ymin$ 
          end
        else if Right in outcodeOut then
          begin {Intersecție cu latura din dreapta}
             $y := y0 + (y1 - y0) * (xmax - x0) / (x1 - x0);$ 
             $x := xmax$ 
          end
        else if Left in outcodeOut then
          begin {Intersecție cu latura din stânga}
             $y := y0 + (y1 - y0) * (xmax - x0) / (x1 - x0);$ 
             $x := xmax$ 
          end;
        if (outcodeOut=outcode0) then
          begin
             $x0 := x; y0 := y;$  CompOutCode(x0,y0,outcode0)
          end
        else
          begin
             $x1 := x; y1 := y;$  CompOutCode(x1,y1,outcode1)
          end
        end
      end
    until done;
    if accept then Trasare(x0,y0,x1,y1,value)

```

```
end; {CohenSutherlandLineClipAndDraw}
```

Algoritmul, în această variantă comună, nu este eficient: deoarece testele și decuparea se efectuează într-o anumită ordine, se fac adesea operații suplimentare (de exemplu, determinarea punctului H de pe EI). Algoritmul Nicholl-Lee-Nicholl ocolește calculul intersecțiilor externe ferestrei.

Algoritmul biseției

Algoritmul elimină calculele necesare pentru determinarea intersecțiilor. La început se folosesc testele de respingere și acceptare triviale. Dacă un segment nu verifică nici unul din aceste teste, el este împărțit în două jumătăți egale. Cele două jumătăți sunt analizate din nou și procesul continuă până la acceptare sau respingere. De obicei, la fiecare iterație se poate accepta sau respinge jumătate din segmentul analizat. Acest algoritm ajunge la un rezultat după maximum $\log_2 N$ pași, unde N este dimensiunea maximă a segmentului (pe orizontală sau verticală), măsurată în pixeli.

Algoritmul de decupare a liniilor parametrice (algoritmul Cyrus-Beck)

Metoda este utilizată pentru a tăia o linie bidimensională printr-un dreptunghi sau un poligon convex, sau o linie tridimensională printr-un poliedru. Algoritmul Cohen-Sutherland determină intersecțiile segmentului de linie cu liniile suport ale laturilor poligonului-ferastră substituind valorile coordonatelor astfel obținute în ecuația segmentului de dreaptă. Algoritmul liniei parametrice determină valoarea parametrului t din reprezentarea parametrică a segmentului de linie pentru punctele în care segmentul intersectează liniile infinite pe care se află laturile ferestrei. Dacă poligonul este un dreptunghi, se calculează patru valori ale parametrului t , care apoi sunt comparate pentru a determina acelea care reprezintă puncte interioare segmentului. Se reduce timpul față de algoritmul Cohen-Sutherland deoarece se evită saltul repetitiv necesar pentru a tăia segmentul prin laturile multiple ale dreptunghiului.

Se consideră că parcurgerea laturilor poligonului se efectuează în sens trigonometric. Semiplanul interior asociat unei laturi este semiplanul determinat de aceasta și care conține fereastra. Normala la o latură se consideră, în acest caz, orientată spre exteriorul ferestrei.

În figura 3.29 (a) s-au notat cu P_0 , P_1 capetele segmentului și E_i o latură a ferestrei. Linia suport a segmentului este reprezentată parametric

$$P(t) = P_0 + (P_1 - P_0)t.$$

Se presupune că $x_0 < x_1$. Se consideră P_{E_i} un punct de pe latura E_i , iar N_i vectorul normal la latură. Datorită orientării normalei înspre exterior și datorită sensului trigonometric de parcurgere a laturilor, produsul scalar $N_i \cdot [P(t) - P_{E_i}]$ este negativ pentru un punct din interiorul ferestrei, pozitiv pentru un punct din exteriorul ferestrei și zero pentru un punct de pe latura ferestrei. Atunci punctul de intersecție corespunde unui t_i ce satisface

$$N_i \cdot [P(t_i) - P_{E_i}] = 0$$

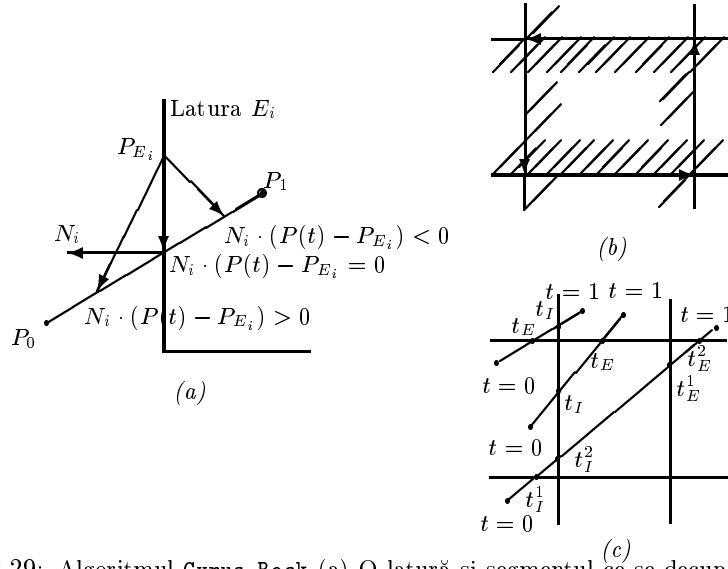


Figura 3.29: Algoritmul Cyrus-Beck (a) O latură și segmentul ce se decupează (b) Semiplanele interioare definite de laturi (c) Exemplu

unde \cdot reprezintă produsul scalar. Deoarece

$$N_i \cdot [P_0 + (P_1 - P_0)t_i - P_{E_i}] = N_i \cdot (P_0 - P_{E_i}) + N_i \cdot (P_1 - P_0)t_i = 0,$$

rezultă

$$t_i = \frac{N_i \cdot (P_0 - P_{E_i})}{-N_i \cdot (P_1 - P_0)}.$$

Pentru fiecare segment se determină cele patru valori t_i corespunzătoare liniilor suport ale laturilor ferestrei, E_i . Pasul următor constă în determinarea valorilor ce corespund intersecțiilor cu laturile. Se adaugă la listă $t = 0$ și $t = 1$. Valorile $t \notin [0, 1]$ sunt eliminate deoarece nu conduc la puncte din interiorul segmentului P_0P_1 . Valorile t rămase sunt sortate (maxim șase puncte). Se determină punctele, t_I , în care segmentul "intră" în interiorul unui semiplan, prin $N_i \cdot (P_1 - P_0) < 0$ (unghi mai mare decât $\pi/2$) și punctele t_E unde segmentul iese în exterior, prin $N_i \cdot (P_1 - P_0) > 0$ (unghi mai mic decât $\pi/2$). Se consideră $t = 0$ cel mai mic t_I , iar $t = 1$ cel mai mare t_E . Segmentul interior ferestrei este definit de cel mai mare t_I și cel mai mic t_E . În cazul primei linii din figura 3.29 (c), cel mai mic t_I este mai mare decât cel mai mare t_E , astfel încât nici o porțiune din segment nu se află în interiorul dreptunghiului.

În calcule P_{E_i} poate fi considerat unul dintre capetele laturii. Tabelul 3.3 indică pentru fiecare latură valorile lui N_i , coordonatele unui punct arbitrar a laturii, P_{E_i} , vectorul $P_0 - P_{E_i}$ și parametrul t . Se observă că alegerea lui P_{E_i} pe latură nu influențează valoarea lui t . Produsul $N_i \cdot (P_1 - P_0)$, care determină dacă intersecția este o intrare sau ieșire din semiplan, se reduce la $\pm(x_1 - x_0)$ sau $\pm(y_1 - y_0)$; astfel, dacă $dx = (x_1 - x_0)$ este pozitiv, linia trasată de la

Latura de decupare	N_i	P_{E_i}	$P_0 - P_{E_i}$	$t = \frac{N_i \cdot (P_0 - P_{E_i})}{-N_i \cdot (P_1 - P_0)}$
stânga: $x = x_{min}$	(-1,0)	(x_{min}, y)	$(x_0 - x_{min}, y_0 - y)$	$\frac{-(x_0 - x_{min})}{(x_1 - x_0)}$
dreapta: $x = x_{max}$	(1,0)	(x_{max}, y)	$(x_0 - x_{max}, y_0 - y)$	$\frac{-(x_0 - x_{max})}{(x_1 - x_0)}$
jos: $y = y_{min}$	(0,-1)	(x, y_{min})	$(x_0 - x, y_0 - y_{min})$	$\frac{-(y_0 - y_{min})}{(y_1 - y_0)}$
sus: $y = y_{max}$	(0,1)	(x, y_{max})	$(x_0 - x, y_0 - y_{max})$	$\frac{-(y_0 - y_{max})}{(y_1 - y_0)}$

Tabelul 3.3: Calculele pentru algoritmul de decupare a liniilor parametrice

stânga la dreapta are o intersecție de tip I cu latura stângă și de tip E cu latura dreaptă a ferestrei.

Algoritmul este descris în procedura ce urmează.

```

Procedure Clip2D(var x0,y0,x1,y1:real; var visible:boolean);
{ Decupează segmentul de linie cu capetele (x0,y0) și (x1,y1)
  față de dreptunghiul cu colțurile (xmin,ymin) și (xmax,ymax);
  visible va fi adevărat dacă segmentul decupat va fi returnat
  prin parametrii declarați cu var; dacă linia este respinsă,
  coordonatele vârfurilor nu se schimbă, iar visible este
  setat pe fals}
var
  tI,tE,dx,dy: real;
  function Clipt(denom,num:real; var tI,tE:real):boolean;
  var
    t: real;
    accept: boolean;
  begin
    accept:=true;
    if denom > 0 then {Intersecție tip I}
      begin
        t:=num/denom; {Valoarea lui t al intersecției}
        if t > tE then
          accept:=false {Segmentul va fi respins}
        else if t > tI then
          tI:=t {A fost găsit un nou tI}
        end
      end
    else if denom < 0 then
      begin
        t:=num/denom; {Valoarea lui t al intersecției}
        if t < tI then accept:=false
        else if t < tE then {A fost găsit un nou tE}
          tE:=t
        end
      end
    else

```

```

        if num > 0 then {Linia în afara laturii}
            accept := false;
        Clipt := accept
    end; {Clipt}
begin
    dx := x1 - x0; dy := y1 - y0;
    visible := false;
    if (dx = 0) and (dy = 0) and
        ClipPoint(x0, y0) {Adevărat dacă (x0, y0) interior}
    then
        visible := true
    else
        begin
            tI := 0; tE := 1;
            if Clipt(dx, xmin - x0, tI, tE) then
                if Clipt(-dx, x0 - xmax, tI, tE) then
                    if Clipt(dy, ymin - y0, tI, tE) then
                        if Clipt(-dy, y0 - ymax, tI, tE) then
                            begin
                                visible := true;
                                if tE < 1 then
                                    begin {Calculează intersecția de tip E}
                                        x1 := x0 + tE * dx;
                                        y1 := y0 + tE * dy;
                                    end;
                                if tI > 0 then
                                    begin {Calculează intersecția de tip I}
                                        x0 := x0 + tI * dx;
                                        y0 := y0 + tI * dy;
                                    end
                                end
                            end
                        end
                    end
                end
            end
        end
    end
end; {Clip2D}

```

Algoritmul Cohen-Sutherland este eficient când testarea codurilor capetelor de linii poate fi efectuat ușor (de exemplu prin operații pe bit) și testele de acceptare sau respingere sunt aplicabile la majoritatea segmentelor. Decuparea liniilor parametrice este mai rapidă când numărul segmentelor de decupat este mare.

Algoritmul Nicholl-Lee-Nicholl

Se dă un segment de dreaptă PQ și un dreptunghi de decupare, ca în figura 3.30. Determinând poziția relativă a lui Q față de liniile ce trec prin P și colțurile ferestrei, se află care laturi ale ferestrei intersectează PQ .

Se studiază poziția lui P , determinând sectorul (din cele nouă posibile) în care se află. Funcție de această poziție se efectuează diferite teste asupra lui Q . Presupunem că P se află în regiunea de stânga-jos (figura 3.30). Dacă Q se

află sub y_{min} sau la stânga lui x_{min} , atunci PQ nu poate intersecta fereastra. Același lucru se poate afirma și dacă Q se află la stânga liniei de la P la colțul de stânga sus sau dacă Q se află la dreapta liniei de la P la colțul din dreapta jos. Se verifică de asemenea poziția lui Q relativ la vectorul de la P la colțul din stânga-jos. Fie cazul în care Q este deasupra. Dacă Q se află sub y_{max} , Q este în interiorul dreptunghiului sau la stânga: PQ intersectează latura $x = x_{min}$ sau/și latura $x = x_{max}$. Dacă Q se află peste y_{max} , Q este în regiunea de sus sau stânga-sus. Dacă Q este deasupra liniei dintre P și colțul dreapta-sus, PQ intersectează $x = x_{min}$ și $y = y_{max}$, altfel $x = x_{min}$ și $x = x_{max}$.

De exemplu, pentru a testa dacă Q este în stânga segmentului de la P la colțul de dreapta-sus, (x_{max}, y_{max}) , se verifică dacă

$$(y_Q - y_P)(x_{max} - x_P) > (y_{max} - y_P)(x_Q - x_P).$$

Dacă rezultatul este pozitiv, se calculează intersecția cu latura de sus a ferestrei. În caz contrar, se determină intersecția cu latura din dreapta: ordonata y a intersecției este

$$y_P + (y_Q - y_P) \frac{x_{max} - x_P}{x_Q - x_P}$$

Calcule similare se efectuează pentru celelalte colțuri. Valorile $y_Q - y_P$, $x_Q - x_P$ se repetă și pot fi calculate o singură dată.

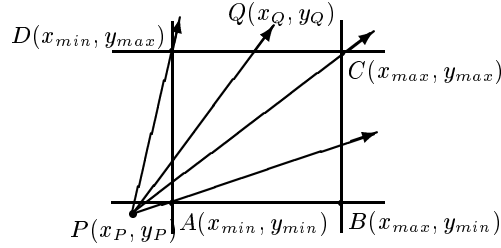


Figura 3.30: Algoritmul Nicholl-Lee-Nicholl

```

Procedure PartialNLNclip(var P, Q : point);
{ funcționează în cazul în care P este în regiunea de
  jos-stânga; celelalte cazuri sunt similare }
var
  vizibil : boolean; { adevărat dacă segmentul decupat este nenul }
begin
  if Q.y < yMin then vizibil := false
  else if Q.x < xMin then vizibil := false
  else if LeftSide(Q, raza de la P la colțul jos-stânga) then
    begin
      if Q.y <= yMax then
        begin
          vizibil := true;
          P := Intersection(PQ, latura stânga);
          if Q.x > xMax then

```

```

        Q := Intersection(PQ, latura dreapta);
    end
else
    begin
        if LeftSide(Q, raza de la P la colțul sus-stânga)
        then vizibil := false;
        else if Q.x < xMax then
            begin
                vizibil := true;
                P := Intersection(PQ, latura stânga);
                Q := Intersection(PQ, latura sus);
            end
        else if LeftSide(Q, raza P - colț sus-dreapta) then
            begin
                vizibil := true;
                P := Intersection(PQ, latura stânga);
                Q := Intersection(PQ, latura sus);
            end
        else
            begin
                vizibil := true;
                P := Intersection(PQ, latura stânga);
                Q := Intersection(PQ, latura dreapta);
            end
        end
    end
end
end
else {caz Q în dreapta liniei P - colț jos-stânga}
...
end;

```

Algoritmul presupune mai puține împărțiri și doar o treime din numărul de comparații necesare algoritmului Cohen-Sutherland.

3.10.3 Decuparea poligoanelor

Rezultatul decupării față de o fereastră poligonală convexă este: niciunul, unul (cazul poligon decupat convex) sau mai multe poligoane (cazul poligon decupat concav).

Teste de acceptare/respingere

Considerăm o linie poligonală cu un număr mare de segmente. Abordarea clasică a clippingului presupune aplicarea algoritmului la fiecare segment de dreaptă în parte. Efortul de calcul este mare, mai ales dacă linia poligonală se află în exteriorul ferestrei. *Metoda ariei mărginite* (**bounding boxes**) determină în prealabil cel mai mic dreptunghi care încadrează linia poligonală – se determină colțurile acestuia ca valori minime și maxime ale vârfurilor liniei

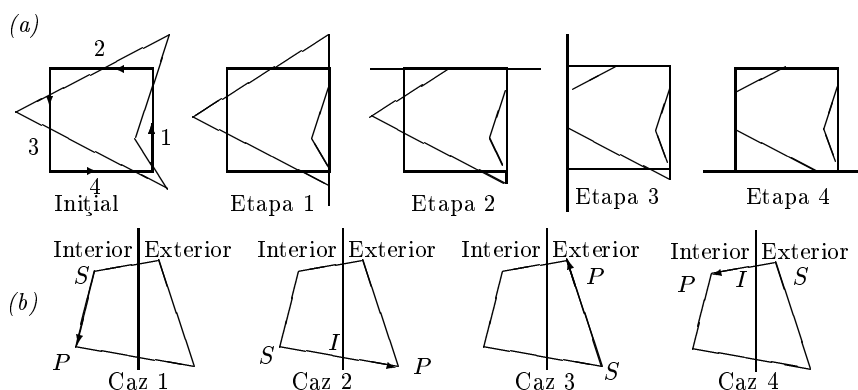


Figura 3.31: Algoritmul Sutherland-Hodgman (a) Etapele algoritmului (b) Modificarea listei vârfurilor

poligonale. Dacă dreptunghiul este în afara ferestrei, linia poligonală nu este trasată. Dacă este complet în interior, linia poligonală este trasată în întregime. Dacă dreptunghiul și fereastra au doar o porțiune comună se trece la decupare pe fiecare segment de dreaptă în parte.

Algoritmul Sutherland-Hodgman

Algoritmul utilizează o strategie *divide - et - impera* (*divide - and - conquer*) pentru a decupa un poligon convex sau concav relativ la un poligon convex care definește fereastra. Intrarea în algoritm este o listă a vârfurilor, iar ieșirea are o structură similară. Algoritmul comportă un număr de etape egal cu numărul laturilor poligonului-fereastră (patru în cazul unui dreptunghi). Într-o etapă, poligonului curent i se aplică tehnica de tăiere relativă la una din laturile poligonului-fereastră, rezultând o listă modificată de vârfuri (figura 3.31.a). La fiecare etapă se parcurg un număr de pași egali cu numărul laturilor poligonului care se taie. În fiecare pas se adaugă la lista de vârfuri 0, 1 sau 2 vârfuri noi ce aparțin laturii curente a poligonului-fereastră.

Se consideră latura poligonului de decupat ce pornește de la vârful S la vârful P (figura 3.31.b). În primul caz, când latura poligonului este complet în interiorul ferestrei, se adaugă P la lista de ieșire. În al doilea caz, punctul de intersecție I este introdus ca nou vârf. În cazul al treilea, ambele vârfuri sunt în afara ferestrei, astfel încât nu se produc modificări în lista de ieșire. În cazul al patrulea, atât punctul de intersecție I , cât și P sunt adăugate la lista de ieșire.

Algoritmul Liang-Barsky

Algoritmul presupune decuparea față de o fereastră dreptunghiulară. Se consideră poligonul care va fi tăiat reprezentat prin secvența vârfurilor P_1, P_2, \dots, P_n , parcurse într-un anumit sens (trigonometric sau conform fusului orar). Fiecare latură este considerată ca un vector (pornind, de exemplu,

de la un P_i la P_{i+1}). Planul este divizat în nouă regiuni determinate de laturile ferestrei. Fiecare latură a ferestrei împarte planul în două semiplane. Semiplanul care conține fereastra este *semiplan de interior*. Cele nouă regiuni se identifică funcție de numărul de semiplane interioare care sunt incluse în interiorul lor (figura 3.32.a). Regiunile notate "interior 2" se numesc *regiuni de colț*, iar cele notate "interior 3", *regiuni de latură*.

Dacă ultima latură ce intersectează fereastra generează un vârf la marginea de sus a ferestrei și următoarea latură ce intersectează fereastra va crea un vârf la dreapta ferestrei, poligonul de ieșire va trebuie să conțină colțul din dreapta sus a ferestrei (figura 3.32.b). În general, o latură care intră într-o regiune de colț adaugă un colț de fereastră ca vârf de ieșire. Un asemenea vârf este numit *vârf turnant*.

Se determină valorile parametrului t ale intersecțiilor liniei ce conține $P_i P_{i+1}$ cu laturile ferestrei. Două intersecții sunt potențial de intrare, t_{in_1} , t_{in_2} , două de ieșire t_{out_1} , t_{out_2} . Valoarea t_{in_1} este cea mai mică, iar t_{out_2} este cea mai mare deoarece orice linie neorizentală și neverticală pornește dintr-o regiune de colț și sfârșește într-o altă regiune de colț. Celelalte valori se află între ele și pot fi în orice ordine. Dacă $t_{in_2} < t_{out_1}$, linia intersectează fereastra, altfel linia trece printr-o regiune de colț (figura 3.32.c).

Relațiile dintre valorile $t = 0$, $t = 1$ și t_{in_1} , t_{in_2} , t_{out_1} , t_{out_2} caracterizează contribuțiile laturii la poligonul de ieșire. Dacă $0 \leq t_{in_2} < t_{out_1} \leq 1$, segmentul de dreaptă determinat de valorile t_{in_2} și t_{out_1} este latură a poligonului decupat. În caz contrar, linia nu intersectează fereastra, ci pornește dintr-o regiune de colț, trece prin alta și se termină în a treia. Intrarea segmentului în regiunea de colț intermediară (ce necesită adăugarea unui colț al ferestrei în lista vârfurilor poligonului decupat) este caracterizată prin $0 \leq t_{out_1} < t_{in_2} \leq 1$.

Algoritmul este schițat în următoarea procedură.

```

Procedure Assign(var x,y:real; a,b:real);
begin x := a; y := b; end;
Procedure LiangBarskyPolygonClip(
  n: integer;
  x,y: tablou;                                {vârf.poligonului de intrare}
  var u,v: tablou;                             {vârf.poligonului de ieșire}
  xMax,xMin,yMax,yMin:real;                   {laturile ferestrei}
  var outContor: integer);                    {contor a lat.ieșire}
var
  xIn,xOut,yIn,yOut: real; {Punct.de intrare și ieșire}
  tOut1,tIn2,tOut2,tInX,tOutX,tInY,tOutY: real;
  deltaX,deltaY: real;      {Direcția laturii}
  i:integer;
begin
  x[n+1] := x[1]; y[n+1] := y[1]; {închide poligonul}
  for i:= 1 to n do
    begin
      deltaX := x[i+1] - x[i]; deltaY := y[i+1] - y[i];
      {determină primele laturi ale ferestrei intersectate}
      if (deltaX > 0) or (deltaX = 0) and (x[i] > xMax)
        then Assign(xIn,xOut,xMin,xMax)
    end
  end

```

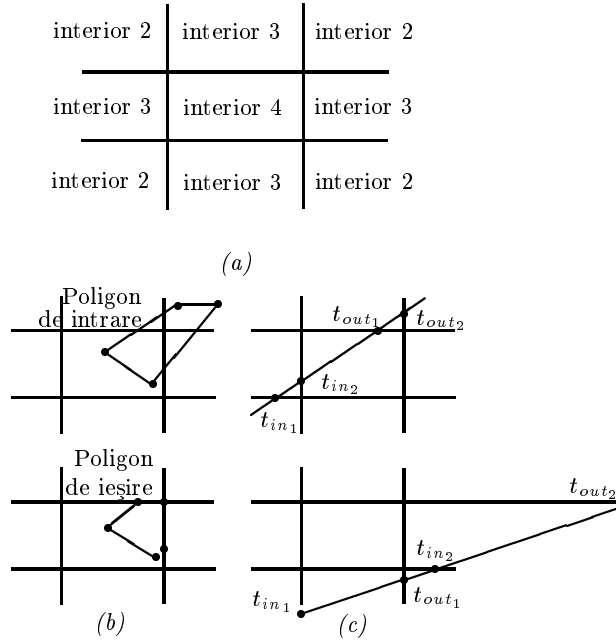


Figura 3.32: Algoritmul Liang-Barsky (a) Definirea regiunilor (b) Vârf turnant (c) Intersecțiile cu laturile ferestrei

```

else Assign(xIn, xOut, xMax, xMin);
if (deltaY > 0) or (deltaY = 0) and (y[i] > yMax)
then Assign(yIn, yOut, yMin, yMax)
else Assign(yIn, yOut, yMax, yMin);
{determină valorile t pentru punctele de ieșire}
if deltaX <> 0 then tOutX := (xOut - x[i])/deltaX
else if (x[i] <= xMax) and (xMin <= x[i])
then tOutX := ∞ else tOutX := -∞;
if deltaY <> 0 then tOutY := (yOut - y[i])/deltaY
else if (y[i] <= yMax) and (yMin <= y[i])
then tOutY := ∞ else tOutY := -∞;
{ordonează punctele de ieșire}
if tOutX < tOutY
then Assign(tOut1, tOut2, tOutX, tOutY)
then Assign(tOut1, tOut2, tOutY, tOutX);
if (tOut2 > 0) then {poate exista o ieșire}
begin
if deltaX <> 0 then tInX := (xIn - x[i])/deltaX
else tInX := -∞;
if deltaY <> 0 then tInY := (yIn - y[i])/deltaY
else tInY := -∞;
if tInX < tInY then tIn2 := tInY

```

```

else  $tIn2 := tInX$ ;
if ( $tOut1 < tIn2$ ) then {segmentul invizibil}
begin
  if ( $0 < tOut1$ ) and ( $tOut1 \leq 1$ ) then
    {linia trece printr-o regiune de colț}
    if  $tInX < tInY$ 
    then OutputVert( $u, v, outContor, xOut, yIn$ )
    else OutputVert( $u, v, outContor, xIn, yOut$ )
  end
else {Linie trece prin fereastră}
if ( $0 < tOut$ ) and ( $tIn2 \leq 1$ ) then
begin
  if  $0 < tIn2$  then {segment vizibil}
  if  $tInX > tInY$ 
  then OutputVert( $u, v, outContor,$ 
     $xIn, y[i] + tInX * deltaY$ )
  else OutputVert( $u, v, outContor,$ 
     $x[i] + tInY * deltaX, yIn$ );
  if  $1 > tOut$  then
  if  $tIOuX < tOutY$ 
  then OutputVert( $u, v, outContor,$ 
     $xOut, y[i] + tOutX * deltaY$ )
  else OutputVert( $u, v, outContor,$ 
     $x[i] + tOutY * deltaX, yOut$ );
  else
    OutputVert( $u, v, outContor, x[i + 1], y[i + 1]$ );
  end;
if ( $0 < tOut2$ ) and ( $tOut2 \leq 1$ ) then
  OutputVert( $u, v, outContor, xOut, yOut$ );
end
end
end;

```

3.10.4 Decuparea curbelor plane

Cercurile și elipsele pot fi approximate cu secvențe de linii scurte, astfel încât pot fi tratate ca linii poligonale cu număr mare de segmente.

Conicele, în general, sunt construite prin metode incrementale care permit includerea testelor de vizibilitate în fereastră.

În cazul cercurilor sau elipselor se poate efectua un test preliminar de acceptare/respingere asupra dreptunghiului minim ce încadrează respectiva conică.

Structura algoritmului incremental de trasare a curbei generale de grad doi $f(x, y) = 0$ cuprinde trei faze:

1. se calculează δ , Δ și se separă cazul trasării conicelor degenerate;
2. se calculează toate intersecțiile curbei cu laturile ferestrei de vizualizare. În total pot exista maximum 8 puncte de intersecție. Pentru fiecare punct de intersecție se cercetează semnul funcției f la dreapta arcului de curbă care pornește din acest punct și este orientat spre interiorul ferestrei.

Dacă $f < 0$ la dreapta curbei, atunci punctul de intersecție este neglijat, deoarece arcul de curbă trebuie trasat începând de la celălalt capăt, care corespunde altui punct de intersecție (algoritmul incremental pornește de la presupunerea că $f < 0$ la stânga direcției de înaintare). În caz contrar se trasează arcul. Pentru calculul intersecției cu laturile ferestrei, de exemplu cu $y = y_{min}$, se recomandă modificarea ecuației $f(x, y_{min}) = 0$. Se observă că $f(x, y_{min}) + f(x, y_{min} - 1) < 0$ (respectiv > 0) pentru toate punctele (x, y_{min}) mai apropiate (respectiv mai depărtate) de curbă decât $(x, y_{min} - 1)$. În cazul limită, de egalitate cu 0, punctele menționate sunt egal depărtate de curba ideală. Astfel pentru determinarea intersecției cu $y = y_{min}$ se recomandă rezolvarea ecuației (analog factorului de decizie de la trasarea cercurilor)

$$f(x, y) + f(x, y - 1) = 0,$$

cu $y = y_{min}$.

3. se trasează curbele care nu intersectează marginile ferestrei de vizualizare (cercuri sau elipse complet incluse în fereastră): se calculează centrul curbei (x_c, y_c) și se apelează procedura de trasare incrementală începând cu punctul din dreapta de intersecție cu orizontala $y = y_c$.

3.10.5 Decuparea 3D

Pentru corpurile descrise prin mai multe puncte, dintre care doar o parte se află în volumul de observare, se preferă retezarea segmentelor în spațiu, păstrând numai porțiunile interioare volumului observabil, și abia după aceea proiecția în 2D. Procesul este cunoscut sub denumirea de decupare 3D (3D clipping).

Pot fi generalizați atât algoritmul Cohen-Sutherland cât și cel al biseției.

În algoritmul Cohen-Sutherland 3D, spațiul este împărțit în 27 de zone, pentru care se alcătuieste câte un cod de 6 cifre (tabelul 3.4). Primele patru sunt aceleași ca și în plan; a 5-a valoare este 1 dacă punctul se află în fața volumului de observare și 0 altfel, a 6-a valoare este 1 dacă punctul se află în spatele volumului de observare (figura 3.33).

Pentru calculul intersecțiilor cu planele limitatoare, în cazul algoritmului Cohen-Sutherland 3D, este comod să se transforme mai întâi volumul de observare în volum de observare canonic. În acest caz calculele și comparațiile se simplifică deoarece planele limitatoare înclinate au panta 1 sau -1.

Coordonatele intersecției se pot calcula folosind forma parametrică a ecuației unei drepte ce trece prin două puncte. Fie segmentul P_1P_2 cu extremitățile $P_1(x_1, y_1, z_1)$, $P_2(x_2, y_2, z_2)$. Se calculează intersecția cu planul $y = z$. Forma parametrică a dreptei este

$$\begin{cases} x = (x_2 - x_1)t + x_1, \\ y = (y_2 - y_1)t + y_1, \\ z = (z_2 - z_1)t + z_1, \end{cases} \quad 0 \leq t \leq 1.$$

Deoarece $y = z$, are loc $(y_2 - y_1)t + y_1 = (z_2 - z_1)t + z_1$, de unde se obține t corespunzător punctului de intersecție:

$$t_{plan(y=z)} = \frac{z_1 - y_1}{(y_2 - y_1) - (z_2 - z_1)}.$$

Bit setat	Volum canonic al proiecției paralele	Volum canonic al al proiecției perspective
bit 1	$y > 1$	$y > -z$
bit 2	$y < -1$	$y < z$
bit 3	$x > 1$	$x > -z$
bit 4	$x < -1$	$x < z$
bit 5	$z > 0$	$z > z_{min}$
bit 6	$z < -1$	$z < -1$

Tabelul 3.4: Constituirea codului în algoritmul Cohen-Sutherland 3D

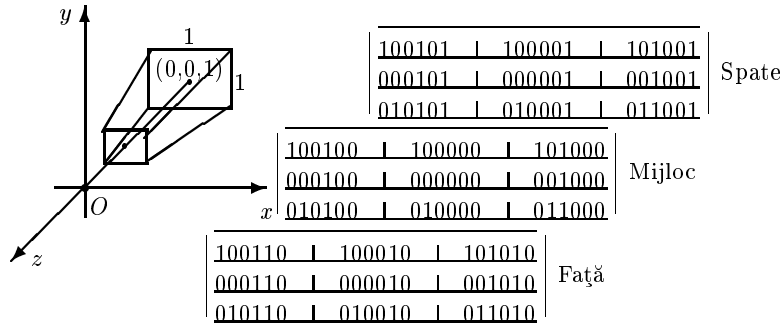


Figura 3.33: Algoritmul Cohen-Sutherland pentru decupare 3D

Segmentul P_1P_2 intersectează planul $y = z$, dacă $0 \leq t_{plan(y=z)} \leq 1$.

Algoritmul Cyrus-Beck poate fi reformulat pentru decupare relativ la un poliedru. Dacă în 2D cel mult 4 valori t trebuiau calculate pentru fiecare latură a ferestrei, în 3D, sunt necesare 6 valori. Valorile noi pentru N_i , P_{E_i} , $P_0 - P_{E_i}$, în cazul decupării față de un trunchi de piramidă, sunt prezentate în tabelul 3.5, unde $dx = x_1 - x_0$, $dy = y_1 - y_0$, $dz = z_1 - z_0$. Semnul lui $-N_i \cdot (P_1 - P_0)$ determină tipul intersecției: de ieșire sau de intrare (în tabel, numitorul fracțiilor).

Algoritmul Cyrus-Beck 3D este schițat în următoarea procedură. Procedura adițională Clipt determină dacă intersecția este de tip intrare sau ieșire.

```

Procedure Clip3D(var x0,y0,z0,x1,y1,z1,zmin : real;
var accept : boolean);
vartmin,tmax : real; dx,dy,dz : real;
begin
    accept := false;
    tmin := 0; tmax := 1;
    dx := x1 - x0; dy := y1 - y0; dz := z1 - z0;
    if Clipt(-dx - dz, x0 + z0, tmin, tmax) then {Parte dreaptă}
        if Clipt(dx - dz, -x0 + z0, tmin, tmax) then {Parte stângă}
            begin
                dy := y1 - y0;
                if Clipt(dy - dz, -y0 + z0, tmin, tmax) then {jos}

```

Latura de decupare	Normala N_i	P_{E_i}	$t = \frac{N_i \cdot (P_0 - P_{E_i})}{-N_i \cdot (P_1 - P_0)}$
dreapta: $x = -z$	(1,0,1)	$(x, y, -x)$	$\frac{x_0 + z_0}{-dx - dz}$
stânga: $x = z$	(-1,0,1)	(x, y, x)	$\frac{-x_0 + z_0}{dx - dz}$
jos: $y = z$	(0,-1,1)	(x, y, y)	$\frac{-y_0 + z_0}{dy - dz}$
sus: $y = -z$	(0,1,1)	$(x, y, -y)$	$\frac{y_0 + z_0}{-dy - dz}$
față: $z = z_{min}$	(0,0,1)	(x, y, z_{min})	$\frac{z_0 - z_{min}}{-dz}$
spate: $z = -1$	(0,0,-1)	$(x, y, -1)$	$\frac{-z_0 - 1}{dz}$

Tabelul 3.5: Calculele ce intervin în algoritmul Cyrus-Beck 3D

```

if Clip(-dy - dz, y0 + z0, tmin, tmax) then {sus}
  if Clip(-dz, z0 - zmin, tmin, tmax) then {față}
    if Clip(dz, -z0 - 1, tmin, tmax) then {spate}
      begin
        accept := true; {Parte linie vizibilă}
        if tmax < 1 then
          begin
            x1 := x0 + tmax * dx;
            y1 := y0 + tmax * dy;
            z1 := z0 + tmax * dz
          end;
        if tmin > 0 then
          begin
            x0 := x0 + tmin * dx;
            y0 := y0 + tmin * dy;
            z0 := z0 + tmin * dz
          end
        end
      end
    end
  end
end; {Clip3D}

```

4. Modelarea corpurilor tridimensionale

4.1 Scheme de reprezentare ale solidelor rigide

Atunci când dorim reprezentarea pe un ecran a unui solid din spațiul 3D apar o serie de probleme a căror soluție trebuie găsită:

- (a) cum modelăm corpul în spațiul 3D;
- (b) cum construim o reprezentare a modelului;
- (c) cum transpunem reprezentarea 3D în 2D.

Reprezentările simple care permit recunoașterea unor suprafețe și efectuarea de calcule relative la aceste suprafețe se obțin printr-unul din următoarele procedee de modelare a corpurilor:

- *modelarea suprafețelor*;
- *modelarea solidului*.

În primul caz, un corp este modelat prin precizarea frontierei sale, descrisă ca suprafață strâmbă în spațiu sau compusă din porțiuni de suprafețe curbe. În cazul modelării solidului, corpul este construit prin alăturarea unor volume elementare, cuburi, piramide, tetraedre, sfere, cilindri care să aproximeze cât mai bine forma dorită. Ambele procedee se încadrează în clasa mai generală a modelării geometrice (numită și *modelare a formelor*).

Reprezentarea obiectelor prin colecții de linii drepte, curbe, poligoane este adesea insuficientă pentru reconstituirea obiectului reprezentat. De exemplu, despre obiectul din figura 4.1.a (reprezentarea prin cadru de sârmă, numai din

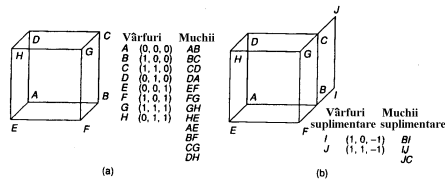


Figura 4.1: (a) Reprezentare prin cadru de sârmă a unui cub; (b) Față suplimentară

informații despre vârfuri și muchii) nu se poate spune că este un cub (spunem că reprezentarea este ambiguă) până când nu includem informația conform căreia fiecare poligon definește o față poligonală ce mărginește un volum – în aceeași modalitate stocăm informația referitoare la obiect și dacă una din fețele

cubului lipsește (precum o cutie deschisă). În cazul în care mai adăugăm un poligon (figura 4.1.b) obiectul construit nu mărginește un volum.

Astfel în reprezentarea solidelor trebuie respectate o serie de proprietăți precum următoarele:

- (a) *domeniul* reprezentării trebuie să fie suficient de larg pentru a permite reprezentarea unor clase largi de obiecte fizice;
- (b) reprezentarea trebuie să fie *neambiguă* (să nu existe dubii referitoare la obiectul reprezentat): o reprezentare trebuie să corespundă unui și numai unui solid; în aceste condiții testul de egalitate a două obiecte este simplu;
- (c) reprezentarea să fie făcută cu *acuratețe* (reprezentarea obiectului fără aproximare);
- (d) o schemă de reprezentare trebuie să facă *imposibilă crearea unei reprezentări invalide* (a unei reprezentări care nu corespunde unui solid, precum cea din figura 4.1.b);
- (e) schema de reprezentare trebuie să permită *crearea cu ușurință a unei reprezentări valide* (în mod tipic, cu ajutorul unui sistem interactiv de modelare a solidelor);
- (f) *închiderea la transformările afine* (aplicarea acestor operații asupra unor solide valide trebuie să conducă tot la solide valide);
- (g) o reprezentare trebuie să fie *compactă* (din punct de vedere al spațiului de memorare);
- (h) o reprezentare trebuie să permită utilizarea unor *algoritmi eficienți* pentru calculul proprietăților fizice și pentru crearea imaginilor.

Construcția unei scheme de reprezentare care respectă aceste proprietăți este dificilă și adesea sunt necesare o serie de compromisuri.

În literatura de specialitate sunt considerate următoarele scheme de reprezentare a solidelor rigide:

1. *Reprezentarea prin frontiere*. În timp ce toate metodele ce urmează reprezintă solidele direct, reprezentările prin frontiere sunt indirecte prin aceea că ele reprezintă direct (explicit) frontierele topologice ale solidului și nu solidul însuși. Această metodă înlocuiește problema reprezentării unei anumite mulțimi prin reprezentarea unei mulțimi de dimensionalitate redusă.
2. *Instanțierea primitivelor pure*. Se definesc familii de entități, numite *primitive generice* sau *pure*, ai căror membrii se numesc *istanțe* (exemplare) ale primitivelor. O primitivă generică poate fi privită ca un prototip parametrizat al unei piese mecanice. Schema se pretează la tehnologiile de grup când se modelează familii de obiecte, în care membrii au aceeași structură, dar diferă prin parametrii, un set dat de parametrii identificând în mod unic un membru al familiei. Schema promovează standardizarea prototipurilor și este cel mai des utilizată în industrie. Dezavantajul este imposibilitatea de combinare a primitivelor generice pentru a crea o nouă primitivă mai complexă.
3. *Măturare*. Un solid sau o suprafață mărginită care se deplasează de-a lungul unei traiectorii "mătură" un volum. În această schemă un solid poate fi reprezentat printr-un cuplu: (corp în mișcare, traiectorie). Metoda folosește noțiunile matematice de produs de mulțimi sau operații cu mulțimi asupra unui număr infinit de mulțimi.

4. *Enumerarea ocupării spațiale.* Spațiul este împărțit într-o rețea fină de celule tridimensionale, de obicei cuburi, numite *voxel* (**v**olume **e**lement). Un solid este reprezentat prin lista celulelor pe care le ocupă, adică a celulelor care conțin material.
5. *Descompunerea în celule.* Un solid este descompus în celule solide elementare, fără găuri, ale căror interioare sunt două câte două disjuncte. Un solid este rezultatul lipirii celulelor componente care satisfac anumite condiții de potrivire a frontierelor. Schema constituie o generalizare a celei de a doua scheme, eliminând restricțiile referitoare la amplasarea celulelor în poziții fixe și la dimensiune și forme fixe pentru celule. Se bazează pe teoria triangulației.
6. *Geometrie solidă constructivă.* O schemă CSG (**C**onstructive **S**olid **G**eometry) definește un solid ca o combinație de blocuri constructive solide, combinație realizată prin intermediul operațiilor de tip adunare sau scădere volumetrică. Este o generalizare a celei de a treia scheme, înlocuind operatorul de lipire cu operatori care nu necesită satisfacerea unor condiții de frontieră.

4.2 Metode de construcție a reprezentărilor

Există trei metode de a construi modele geometrice ale solidelor rigide:

- (a) *Descrierea procedurală.* Această metodă constă în reprezentarea unui obiect printr-un program a cărui execuție produce un exemplar din respectivul obiect. O procedură obiect poate avea parametrii, devenind un obiect generic. Descrierea procedurală este convertită într-un model prin compilarea și executarea procedurilor obiect în contextul în care aceste proceduri sunt activate. Practic, limbajele de descriere oferă facilități de apelare ale unor proceduri standard de descriere: pentru linie, cerc, curbe spline, cilindri. Procedurile se pot apela unele pe altele, permițând descrierea unor obiecte complexe. Metoda este anevoioasă deoarece utilizatorii trebuie să aibă cunoștințe de programare. Se pretează în cazul instanțierii primitivelor pure.
- (b) *Conversia bazei de date.* Constă în construirea modelului unui obiect prin vârfuri și muchii – tip cadru de sârmă (**w**ire **f**rame) – pornind de la mai multe proiecții în 2D ale obiectului. Proiecțiile obiectului în 2D se obțin fie prin metoda descrierii procedurale, fie prin grafică interactivă.
- (c) *Grafică interactivă.* Se bazează pe organizarea tuturor comenzilor necesare realizării și manipulării desenelor în grupuri relaționate logic, numite *liste de meniu*. Utilizatorul transmite comanda dorită sistemului prin selectarea acesteia din lista de meniu cu ajutorul unui dispozitiv de interacțiune. Această modalitate de a dirija un sistem grafic se numește *tehnica meniului*. Listele de meniuri sunt organizate ierarhic într-o structură de arbore. Componenta listelor de meniuri și structura ierarhică se obțin în urma unui proces de generare.

4.3 Operații booleene

O metodă intuitivă și populară pentru combinarea obiectelor este utilizarea operațiilor booleene pe mulțimi (figura 4.2).

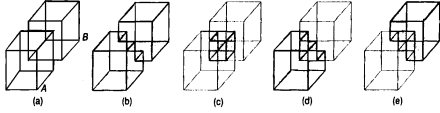


Figura 4.2: Operații booleene (a) Obiectele A și B (b) $A \cup B$ (c) $A \cap B$ (d) $A - B$ (e) $B - A$

Din păcate aplicarea unei operații booleene asupra a două obiecte solide nu conduce întotdeauna la un obiect solid (de exemplu, intersecția a două cuburi poate conduce la un solid, un plan, o linie, un punct sau la mulțimea vidă – figura 4.3). Se pot însă utiliza *operatori booleeni regularizați*, notați \cup^* , \cap^* și

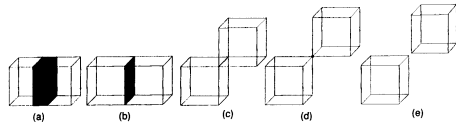


Figura 4.3: Intersecția booleană a două cuburi poate fi (a) un solid (b) un plan (c) o linie (d) un punct sau (e) mulțimea vidă

$-^*$, definiți astfel încât aplicarea lor la solide conduce întotdeauna la solide (de exemplu, intersecția celor două cuburi din figura 4.3 poate fi numai de tip (a) sau (e) sau mulțimea vidă în cazurile (b), (c), (d)). Matematic acest deziderat este realizat prin

$$A \text{ op}^* B = \overline{\text{Int}(A \text{ op} B)},$$

unde op este \cup , \cap sau $-$. Un operator boolean regularizat aplicat la două mulțimi închise (în acest context numite regularizate) este tot o mulțime închisă.

Operatorii booleeni regularizați sunt utilizați ca tehnică de interfață cu utilizatorul la construirea unor obiecte complexe din obiecte simple și sunt incluși în majoritatea schemelor de reprezentare a solidelor (explicit în cazul geometriei solide constructive).

4.4 Reprezentarea corpurilor prin frontiere

Este numită și **b-rep** de la **boundary representation**. Obiectul este descris prin vârfuri, laturi și fețe. Fețele curbe sunt approximate de obicei prin poligoane; se pot însă construi sisteme de modelare bazate pe porțiuni mici de suprafețe standard.

Variantele cele mai des utilizate sunt: *reprezentarea prin rețea de poligoane* și *reprezentarea poliedrală*.

Frontiera unui obiect tridimensional poate fi reprezentată și prin procedee de reducere și mai drastică a dimensionalității obiectului: numai prin puncte sau numai prin linii. Astfel, dacă este necesară doar o reprezentare schematizată a obiectului, se pot utiliza: *reprezentarea prin puncte*, *reprezentarea prin secțiuni transversale*, *reprezentarea tip cadru-de-sârmă* (**wire-frame**).

4.4.1 Reprezentarea prin puncte sau secțiuni transversale

Pentru mulțimea punctelor care modelează un corp (în general suprafața acestuia) se pot pune două tipuri de condiții:

- i) suprafața corpului să treacă efectiv prin punctele date;
- ii) distanța dintre suprafața reală și punctele care definesc modelul să fie mică.

Reprezentarea prin puncte se utilizează în domeniul medicinei și chimiei. În medicină, corpul se reprezintă printr-o rețea de puncte dispuse după secțiuni transversale (figura 4.4). În chimie, atomii sunt modelați prin sfere, reprezen-



Figura 4.4: Reprezentare prin puncte a corpului uman

tate prin puncte situate în nodurile unui rețele geodezice.

Elementul de bază al structurilor de date folosite pentru modelare este lista de puncte. O listă completă de puncte conține coordonatele tuturor punctelor care descriu corpul. O listă de puncte trunchiată conține numai informațiile referitoare la o submulțime de puncte, precum și alte informații necesare pentru determinarea coordonatelor celorlalte puncte folosind simetrii, rotații, translații și scalări. Formele trunchiate sunt folosite pentru depozitarea informației necesare regenerării periodice a corpului.

Reprezentările prin *secțiuni transversale* decurg direct din reprezentările prin puncte situate în secțiuni transversale paralele între ele. Punctele situate

în aceeași secțiune se unesc între ele astfel încât să pară reprezentat conturul secțiunii respective. Uneori, pentru o mai bună precizare a formei obiectului modelat se folosesc două curbe sau linii poligonale denumite *ecuador* și *meridian*. Adăugând curbe longitudinale unei reprezentări prin secțiuni transversale se obțin reprezentările de tip **wire-frame**.

4.4.2 Reprezentarea prin cadru de sârmă

Intr-o asemenea schemă, un corp este reprezentat ca o mulțime de segmente de dreaptă sau porțiuni de curbe (figura 4.5).



Figura 4.5: Reprezentare **wire-frame** a unei mâini

Datele de intrare pot fi organizate astfel:

- (a) *segmente explicite*: pentru fiecare segment se precizează un indice (opțional) și coordonatele extremităților segmentului. Nu se utilizează lista de vârfuri.
- (b) *segmente implicite*: fiecare segment este precizat printr-o pereche de indici care identifică capetele acestuia într-o listă de vârfuri (necesarul de memorie față de forma precedentă scade);
- (c) *linii date prin indici*: atunci când o linie poligonală poate fi descrisă prin concatenarea unui șir de segmente, este mult mai indicată utilizarea informațiilor: indice linie, număr de puncte pe linie, indici care reprezintă capetele segmentelor ce compun linia în lista de vârfuri;
- (d) *secțiuni transversale și linii longitudinale*: se procedează precum în cazul liniilor date prin indici, dar curbele transversale sunt în marea lor majoritate chiar reprezentările secțiunilor transversale.

Reprezentarea **wire-frame** a unui obiect nu permite definirea unor suprafețe și, deci, calcularea ariilor, volumelor, maselor, centrelor de greutate sau afișarea pe ecran a porțiunii vizibile a obiectului analizat.

Deși reprezentarea **wire-frame** este simplistă și nu furnizează informații complete asupra geometriei corpului, datorită ușurinței de utilizare și a rapidității de afișare a reprezentării pe terminal, este mult utilizată. Folosind această tehnică se pot obține viteze mari de lucru și chiar efecte interesante de animație.

4.4.3 Reprezentarea prin rețea de poligoane

O *rețea de poligoane* este o colecție de laturi, vârfuri și poligoane conectate astfel încât fiecare latură este partajată de cel mult două poligoane (o latură conectează exact două vârfuri, iar un poligon este o secvență închisă de laturi). O latură poate fi comună pentru două poligoane, iar un vârf, la cel puțin două laturi.

Dacă obiectul real are suprafețe curbe, modelul poligonal este aproximativ (figura 4.6). Aproximarea poate fi îmbunătățită prin mărirea numărului de

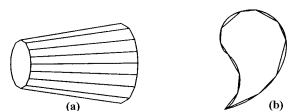


Figura 4.6: (a) Obiect tridimensional reprezentat prin rețea de poligoane (b) O secțiune printr-un obiect curbat și reprezentarea sa poligonală

fațete poligonale plane care modelează o suprafață curbă. Dezavantajul constă în necesarul sporit de memorie, dar este de reținut faptul că algoritmi care procesează suprafețele poligonale plane sunt mult mai simpli decât cei pentru suprafețe curbe.

Stocarea informației

Elementul de bază pentru modelarea prin rețea de poligoane este *lista de vârfuri*. Punctele ale căror coordonate sunt înscrise în listă sunt vârfurile poligoanelor. Acestea împreună cu laturile poligoanelor și cu fațetele poligonale constituie elementele definitorii ale rețelei poligonale.

Stocarea informațiilor necesare reprezentării vârfurilor, muchiilor și fațetelor poligonale se face sub diferite forme. Criteriile de alegere a formei de stocare privesc două caracteristici ale programului: memoria necesară și viteza de lucru.

Reprezentarea rețelelor poligonale se face astfel:

- (a) În reprezentarea explicită, fiecare poligon este reprezentat ca listă de coordonate a vârfurilor:

$$P = \{(x_1, y_1, z_1), (x_2, y_2, z_2), \dots, (x_n, y_n, z_n)\}.$$

Vârfurile sunt stocate în ordinea în care sunt întâlnite în parcurgerea poligonului. Laturile se construiesc prin unirea vârfurilor succesive din listă. Pentru un singur poligon, această reprezentare este eficientă din punct de vedere al spațiului; pentru o rețea poligonală însă o cantitate considerabilă de spațiu de memorare se pierde prin duplicarea coordonatelor vârfurilor comune. În plus, nu există o reprezentare explicită a

vârfurilor și laturilor comune. Pentru trasarea unui vârf împreună cu laturile incidente în acesta, trebuie găsite toate poligoanele care conțin vârful – triplete de coordonate trebuie comparate pentru fiecare vârf (eventual toate coordonatele vor fi sortate). La trasarea rețelei, fiecare latură va fi trasată de două ori (în cazul ecranelor tip rastru, dacă laturile sunt trasate în direcții opuse, e posibil ca anumiți extra-pixeli să fie aprinși).

- (b) Dacă poligoanele sunt definite ca *pointeri la o listă de vârfuri*

$$V = \{(x_1, y_1, z_1), (x_2, y_2, z_2), \dots, (x_n, y_n, z_n)\},$$

fiecare vârf este stocat o singură dată (figura 4.7). În plus coordonatele

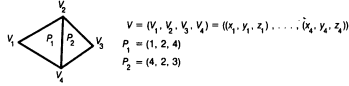


Figura 4.7: Rețea de poligoane definită prin indexi la o listă de vârfuri

vârfurilor pot fi ușor schimbate fără a afecta descrierea poligoanelor. Pe de altă parte, laturile comune sunt, și în acest caz, trasate de două ori.

- (c) Poligoanele sunt definite prin *pointeri la liste de laturi*. Structura de date asociată unei laturi din lista de laturi conține pointeri (sau indexi) spre două vârfuri din lista de vârfuri, precum și spre unul sau două poligoane la care aparține (figura 4.8). Astfel, un poligon este definit prin $P =$

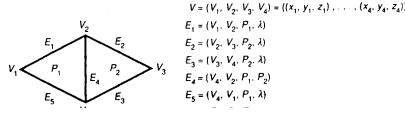


Figura 4.8: Rețea de poligoane definită prin listă de laturi

(E_1, \dots, E_n) , iar laturile prin $M = (V_1, V_2, P_1, P_2)$ (dacă latura aparține numai unui poligon, P_2 este nul).

În mod curent se utilizează rețele de fațete patrulatere plane sau triunghiulare. Cele mai bune aproximări ale unor suprafețe strâmbe prin număr dat de vârfuri se obțin folosind fațete triunghiulare.

Când se dispune de o memorie redusă și se modelează corpuri de complexitate relativ mare printr-un număr mare de puncte este recomandată utilizarea unui liste de vârfuri și un procedeu de parcurgere a acestora pentru a determina

rând pe rând indicii corespunzători vârfurilor fiecărei fațete. Se consideră cazul generării unui corp prin fațete triunghiulare. Pentru a genera rețeaua de fațete sunt necesare:

1. o *listă de vârfuri* în care un punct este menționat printr-un indice și coordonatele sale;
2. o *listă de distribuție a punctelor pe secțiuni* în care pentru fiecare secțiune transversală se menționează numărul și indicii punctelor care o descriu;
3. o *listă de ramificație* în care pentru fiecare secțiune a unui corp, cu excepția ultimei secțiuni, se precizează pentru fiecare punct, în sensul creșterii indicilor, numărul de triunghiuri distincte care nu au mai fost considerate și au un vârf în acesta. Pentru primul punct dintr-o secțiune, se numără numai triunghiurile formate cu puncte de pe secțiunea următoare, în sensul creșterii indicilor, pornind de la primul punct al secțiunii următoare.

Pentru cazurile în care este necesar a deosebi la un poligon o față exterioară și una interioară se stochează vârfurile sale într-o ordine convenită în baza de date. Ordinea normală este aceea pentru care vârfurile se stochează astfel încât laturile poligonului privite din exterior să fie așezate în sens trigonometric. În acest fel, direcția normalei exterioare la poligonul dat se poate obține ca produs vectorial a două laturi consecutive neconfundate și nedegenerate pentru orice poligon convex. Această tehnică permite evitarea trasării unei laturi date de două ori, după regula: o latură nu se trasează decât atunci când este parcursă de la un vârf de indice inferior celui final (figura 4.9).

În nici una dintre aceste reprezentări nu se poate determina cu ușurință care laturi sunt incidente unui vârf (toate laturile trebuie cercetate). Informații suplimentare pot fi adăugate la structurile de mai sus pentru a rezolva acest inconvenient. De exemplu, la descrierea laturilor se pot include pointeri la cele două laturi adiacente a fiecărui poligon, iar în descrierea vârfurilor se pot include pointeri la fiecare latură incidentă în vârf.

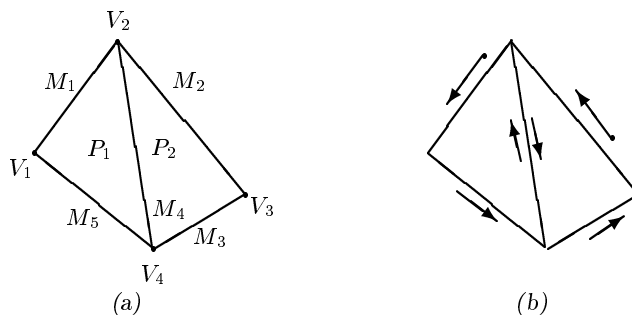


Figura 4.9: Parcurgerea în sens trigonometric a laturilor

Consistența reprezentării prin rețea de poligoane

Dacă rețeaua este generată interactiv se pot produce numeroase erori. O verificare de *consistență* presupune:

1. fiecare latură aparține cel puțin unui poligon și maximum la un număr fixat de poligoane;
2. fiecare latură este descrisă o singură dată într-un poligon;
3. fiecare vârf aparține cel puțin unui poligon;
4. fiecare vârf aparține la cel puțin două laturi;
5. vârfurile unei laturi sunt distincte;
6. poligoanele sunt închise;
7. fiecare poligon care pointează spre o latură este referit prin pointer în structura asociată laturii;
8. laturile unui poligon se află în același plan;
9. rețeaua are o singură componentă conexă (relația de împărțire a unei laturi între poligoane este o relație binară de echivalență și se poate efectua o partiționare a rețelei în clase de echivalență numite componente conexe), etc.

4.4.4 Reprezentarea poliedrală

Un *poliedru* este un solid care este mărginit de un set de poligoane a căror laturi sunt membrii a unui număr par de poligoane și satisfac anumite condiții adiționale. Un poliedru simplu este un poliedru care poate fi deformat într-o sferă (nu are găuri). O condiție adițională pentru poliedre simple este formula lui **Euler**: $V - E + F = 2$, unde V este numărul de vârfuri, E este numărul de laturi, iar F este numărul de fețe. Pentru poliedre cu găuri, o generalizare a formulei lui **Euler** este $V_E + F - H = 2(C - G)$, unde H este numărul de găuri în fețe, G este numărul de găuri care trec prin obiect, iar C este numărul de părți componente, ale obiectului, separate (figura 4.10). Condiții suplimentare trebuie impuse pentru a garanta că obiectele reprezentate sunt solide.

Pentru a reprezenta direcția în care poligoanele constituie fețe ale poliedrului, vârfurile poligoanelor sunt stocate în sensul acelor de ceasornic, așa cum sunt văzute din exteriorul solidului. Pentru evitarea duplicării în reprezentare a coordonatelor vârfurilor comune fețelor, fiecare vârf a unei fețe va fi reprezentat printr-un index (sau pointer) în lista de coordonate. Muchiile sunt reprezentate implicit prin perechi de vârfuri adiacente în lista de vârfuri a poligoanelor.

4.4.5 Reprezentarea prin laturi mobile (laturi înaripate)

Reprezentările simple fac ca anumite calcule să fie extrem de costisitoare. De exemplu, descoperirea a două fețe care împart o muchie (test cerut de exemplu în validarea solidului) necesită o căutare în lista de laturi. Reprezentarea prin laturi mobile este o soluție la această problemă (figura 4.11). Fiecare muchie într-o asemenea structură este reprezentată prin pointeri la cele două vârfuri, la cele două fețe care împart latura, și la patru muchii adiționale care pornesc din vârfurile ei. Fiecare vârf are un pointer spre una din muchiile care pornesc din el, iar fiecare față spre una din laturile sale. Vârfurile unei muchii sunt parcurse în ordine inversă când se urmăresc vârfurile fiecărei din cele două fețe cărora le aparține muchia. Dacă vârfurile unei muchii sunt N și P , fața din dreapta este referită ca față P , dacă se traversează muchia de la N la P și ca față N când se traversează muchia de la P la N . De exemplu, în figura 4.11,

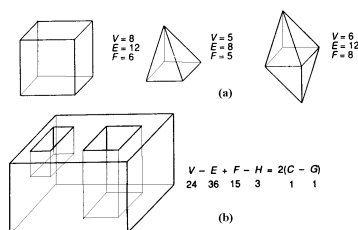


Figura 4.10: (a) Poliedre simple și valorile lor V , E și F (b) Poliedru cu două găuri în fața de sus și o gaură în fața de jos

dacă $N = V_1$, $P = V_2$, atunci fața F_1 este fața V_2 a muchiei E_1 , iar F_2 este fața V_1 a muchiei E_1 . Cele patru laturi spre care fiecare punct al muchiei pointează sunt:

N : două laturi care împart vârful N al muchiei pe fața N și muchiile anterioare (în sensul acelor de ceasornic) din fața P , E_3 și E_2 în exemplu;

P : două laturi care împart vârful P al muchiei pe fața P și muchiile anterioare (în sensul acelor de ceasornic) din fața N , E_4 și E_5 în exemplu.

Aceste patru muchii sunt „aripile” de unde structura de acest tip a preluat numele.

Această reprezentare este posibilă numai pentru fețe fără găuri. Structurarea permite determinarea în timp constant a vârfurilor sau muchiilor asociate cu o muchie.

4.5 Instanțarea primitivelor

În acest caz sistemul de modelare definește un set de primitive de solide tridimensionale care sunt relevante în domeniul aplicației. Aceste primitive sunt parametrizate (de exemplu, una dintre primitive poate fi o piramidă regulată cu un număr de fețe dependent de utilizator). O astfel de primitivă (figura 4.12) poate fi privită ca o familie cu membrii care variază într-un număr mic de parametrii (*tehnologie de grup* este termenul utilizat în sistemele CAD pentru această tehnică). Instanțierea primitivelor este utilizată pentru crearea unor obiecte complexe, reprezentate prin ierarhii. Singura modalitate de a crea un nou tip de obiect este aceea de a scrie un cod care îl definește (incluzând și procedurile de trasare a obiectului, sau de determinare a proprietăților fizice).

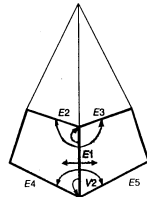


Figura 4.11: Structură de date pentru E_1 : V_1 , V_2 , F_1 și F_2 au pointeri la una din laturile lor

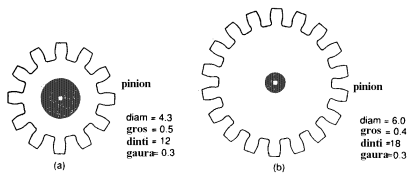


Figura 4.12: Două pinioane definite prin instanțierea primitivelor

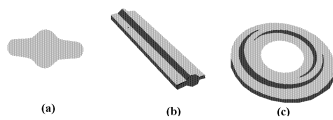


Figura 4.13: (a) Obiect 2D care se mișcă (b) Obiect 3D obținut prin translație (c) Obiect 3D obținut prin rotație

4.6 Reprezentarea prin mișcare (măturare)

Mișcând un obiect de-a lungul unei traiectorii, urma lăsată de acesta definește un nou obiect. Cel mai simplu obiect construit astfel este definit de o suprafață bidimensională care se mișcă de-a lungul unui drum liniar normal la planul ariei, creându-se un *volum translațional*. *Volumele rotaționale* sunt definite prin rotirea unei arii în jurul unei axe (figura 4.13). Cazul general corespunde volumelor generate prin arii sau volume care se schimbă în formă, aspect și orientare, urmând o traiectorie curbă oarecare (modelarea acestora este extrem de dificilă și nu întotdeauna conduce la un solid – de exemplu mișcând o arie bidimensională în propriul plan se generează tot o arie bidimensională –, în plus obiectul în sine se poate auto-intersecta astfel încât calculul de volum este complicat). În aplicațiile grafice se întâlnește noțiunea de *cilindru generalizat* ca referință la un volum de măturare a unei secțiuni bidimensionale.

Aplicarea operațiilor booleene regularizate este dificilă fără convertirea obiectelor într-o altă reprezentare. În plus volumele simple de măturare nu respectă proprietatea de închidere față de operațiile booleene regularizate. De aceea numeroare sisteme de modelare a solidelor permit utilizatorilor construirea unor obiecte ca volume de măturare, dar stocarea informațiilor despre aceste obiecte se realizează în alte reprezentări.

4.7 Reprezentarea prin partiționare spațială

În această reprezentare un solid este descompus într-o colecție de solide (reprezentate prin primitive) adjuncte, care nu se intersectează și sunt mult mai simple decât solidul reprezentat. Primitivele pot varia în tip, mărime, poziție, parametrizare și orientare.

4.7.1 Descompunerea celulară

Fiecare sistem de reprezentare prin celule definește un set de celule-primitive care sunt parametrizate. Descompunerea celulară diferă de instanțarea primitivelor prin aceea că putem compune obiecte complexe într-o manieră asemănătoare lipirii. Deși reprezentarea obiectului este neambiguă, ea poate să nu fie unică (figura 4.14). Validarea descompunerii presupune testarea la intersecție a perechilor componente, test dificil de realizat.

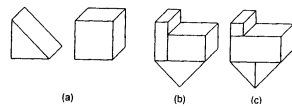


Figura 4.14: Celule prezentate la (a) pot fi transformate pentru a construi același obiect în diferite moduri, cel puțin două fiind prezentate la (b) și (c)

4.7.2 Enumerarea ocupării spațiale

Este un caz special de descompunere celulară în celule identice aranjate într-o grilă fixă și regulată. Aceste celule sunt adesea numite **voxels** (**v**olume **e**lements) în analogie cu termenul de **pixel**. Tipul cel mai comun de celulă este cubul. Reprezentarea unui obiectului obiect presupune controlarea prezenței sau absenței unui celule la fiecare poziție a grilei (se decide numai care celule sunt ocupate și care nu). Astfel obiectul poate fi descris printr-o listă unică și neambiguă de celule ocupate. Testul de apartenență a unei celule la un obiect se realizează foarte simplu. Acest tip de reprezentare este des utilizat în aplicațiile biomedicale, în analiza datelor volumetrice obținute din surse precum scanarea tomografică axială computerizată (CAT). Unul dintre dezavantajele acestei reprezentări este faptul că numai obiectele a căror fețe sunt paralele cu fețele cuburilor elementare și a căror vârfuri se potrivesc exact pe grilă vor fi reprezentate cu exactitate. În celelalte cazuri, obiectele vor fi approximate (figura 4.15). Acuratețea reprezentării poate fi îmbunătățită prin reducerea dimensiunii celulelor, însă apar probleme relative la stocarea informației relative la obiecte într-un spațiu de memorie rezonabil.

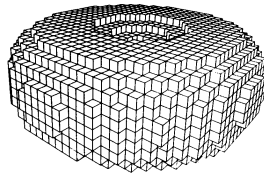


Figura 4.15: Tor reprezentat prin enumerarea ocupării spațiale

4.7.3 Arbori octali

Prin utilizarea arborilor ca variantă ierarhică de enumerare a ocupării spațiale se pot evita problemele de stocare a informației. În cazul unei figuri bidimensionale, aria de reprezentare este divizată în patru părți egale care pot aparține obiectului, să conțină parțial obiectul sau să nu conțină părți ale obiectului. În cazul al treilea este necesară subdivizarea în alte patru părți egale despre care se poate afirma același lucru ca și în cazul anterior (figura 4.16). Informația referitoare la obiect este stocată sub forma unui arbore (figura 4.17). Generalizarea la cazul 3D presupune înlocuirea pătratelor cu cuburi; în fiecare nod al arborelui reprezentării vor exista nu 4 ci 8 legături la noduri fii (figura 4.18). Operațiile booleene pot fi realizate cu ușurință, iar transformările simple precum rotația cu 90° sau scalarea cu un factor 2 pot fi efectuate rapid. Una

4.7.4 Arbori binari pentru partiționare spațială (arbori BSP)

Spațiul este divizat în perechi de subspații, fiecare separat printr-un plan de orientare și poziție arbitrare. Fiecare nod intern a unui arbore BSP este asociat cu un plan și are doi pointeri spre doi fii, unul de fiecare parte a planului. Presupunând că se cunosc normalele la suprafețe, ce pointează spre exteriorul obiectului, fiul stâng va fi în interiorul obiectului, iar fiul drept în exterior. Dacă semispațiul de o parte a planului este divizat în continuare, atunci fiul va fi rădăcina unui subarbore (figura 4.19). Dacă semispațiul este omogen, atunci fiul este reprezentat printr-un nod terminal (regiune complet în interiorul poliedrului – celulă „in”, sau complet în afara poliedrului – celulă „out”). Teste, precum clasificarea punctuală (determinarea poziției unui punct față de un solid), pot fi cu ușurință realizate utilizând această reprezentare.

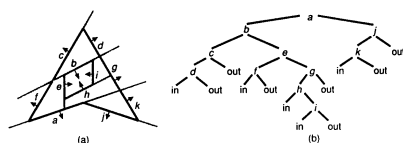


Figura 4.19: Reprezentare BSP în 2D (a) Poligon concav (b) Arborele BSP

4.8 Geometria constructivă a solidelor (CSG)

În CSG, primitivele simple sunt combinate utilizând operatorii booleani regularizați care sunt direct incluși în reprezentare. Un obiect este stocat ca un arbore cu operatori ca noduri interne și primitive ca noduri terminale (figura 4.20). În anumite implementări primitivele sunt solide simple precum cuburi sau sfere, asigurându-se astfel cerința ca obiectele obținute prin combinare regularizată să fie solide valide. Descompunerea celulară și enumerarea ocupării spațiale sunt cazuri speciale de CSG în care unicul operator este operatorul de lipire – reuniunea unor obiecte ce trebuie să aibă intersecția booleană regularizată nulă.

CSG nu oferă o reprezentare unică. Aplicând aceeași operație la două obiecte care inițial erau la fel se poate ajunge la rezultate diferite, precum este arătat în figura 4.21 (a), (b), (c). La (d) și (e) fața obiectului (b) respectiv (c) este ridicată rezultând două obiecte diferite. Cu toate acestea, datorită abilității în editarea modelelor, la ștergere, adăugare, înlocuire, cuplată cu forma relativ compactă în care modelele sunt stocate, CSG este reprezentarea dominantă în modelarea solidelor.

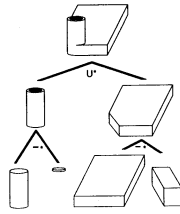


Figura 4.20: Un obiect definit prin CSG și arborele său

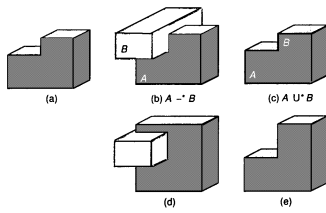


Figura 4.21: Obiectul din figura (a) poate fi definit prin operații CSG diferite, precum se arată în (b) și (c); ridicând fața superioară a lui (b) și (c) se obțin obiecte diferite după cum se observă în (d) și (e)

4.9 Compararea reprezentărilor

Au fost discutate cinci tipuri de reprezentare: instanțierea primitivelor, modelarea prin mișcare, reprezentarea prin frontiere, partiționarea spațială (incluzând și descompunerea în celule), și geometria constructivă. Pe baza criteriilor expuse în prima secțiune a capitolului curent, aceste reprezentări pot fi comparate.

În majoritatea sistemelor de modelare a solidelor se utilizează reprezentări multiple deoarece anumite operații sunt mai eficiente într-o reprezentare decât în alta. Convertirea dintr-o reprezentare în alta se face cu aproximație, astfel încât procesul este neinvertibil (se pierde din informație).

Acuratețe. Reprezentarea spațială și **b-rep** prin poligoane produc doar aproximări în cazul a numeroare obiecte. În anumite aplicații, precum găsirea unui drum pentru un robot, aceasta nu este o problemă dacă aproximarea este realizată la o rezoluție adecvată. Pe de altă parte, pentru a crea imagini realiste sau pentru calcularea intersecției obiectelor rezoluția trebuie să fie destul de înaltă, fapt irealizabil în practică. De aceea sistemele ce produc imagini de calitate înaltă utilizează adesea **CSG** cu primitive nepoliedrale și **b-rep** cu suprafețe curbe. Instanțierea primitivelor poate produce imagini de calitate însă nu permite ca două obiecte simple să fie combinate prin operatori booleani.

Domeniu. Domeniul obiectelor care pot fi reprezentate prin instanțierea primitivelor sau mișcare este limitat. În tehnica enumerării ocupării spațiale poate fi reprezentat orice solid, deși adesea este necesară o aproximare. Permițând unei reprezentări **b-rep** folosirea și altor tipuri de fețe și muchii decât poligoane mărginite de linii drepte, aceasta poate fi utilizată cu succes pentru reprezentarea unei clase foarte variate de obiecte.

Unicitate. Numai reprezentarea prin arbori octali și enumerarea ocupării spațiale garantează unicitatea reprezentării. Instanțierea primitivelor nu garantează, în general, unicitatea: de exemplu, o sferă poate fi reprezentată printr-o primitivă sferă sau ca un elipsoid (dacă setul de primitive este ales cu atenție, unicitatea poate fi asigurată).

Validitate. Dintre toate reprezentările, **b-rep** este cea mai dificilă a fi validată (nu numai vârfurile, muchiile și structura de date a unei fețe pot fi inconsistente, dar se poate ca fețele și muchiile să se intersecteze). Pe de altă parte un arbore **BSP** definește în mod implicit o reprezentare validă, dar nu în mod necesar un solid mărginit. În ceea ce privește un arbore **CSG** (întotdeauna mărginit dacă primitivele sale sunt mărginite) sau un arbore octal verificarea de validitate este simplă; în cazul enumerării ocupării spațiale un asemenea test nu este necesar.

Inchidere. Prin instanțierea primitivelor obiectele nu pot fi combinate, iar reprezentarea prin mișcare nu satisface condiția de închidere la operațiile booleane. În **b-rep** apar adesea probleme cu închiderea la operațiile booleane, însă aceste cazuri pot fi depistate și evitate.

Compacitate. Din acest punct de vedere **CSG** este recomandat datorită abilității de înregistrare rapidă a operațiilor booleane și a transformărilor.

5. Realism vizual

5.1 Prelucrarea reprezentărilor simple ale imaginii

Prelucrarea reprezentărilor simple este o etapă de procesare grafică de complexitate superioară transformărilor simple ale imaginii. *Scopul este mărirea cantității de informație disponibilă pe ecran pentru a permite utilizatorului să înțeleagă relațiile 3D existente între mai multe corpuri sau între componentele unui corp.* Crearea unor imagini realiste este un scop important în domenii precum simularea, design-ul, jocuri și divertisment, cercetare și educație, control și comandă. Dificultatea fundamentală în atingerea realismului vizual este complexitatea lumii reale.

Termenul de *image realistă* este utilizat pentru a referi o imagine care capturează o cantitate apreciabilă de efecte de interacțiune a luminii cu obiectele fizice reale. Crearea unor imagini realiste implică un număr de etape. În primul rând sunt generate modele ale obiectelor. Apoi se specifică condițiile de vizualizare și condițiile de luminare. Sunt determinate suprafețele vizibile de către observator. Culoarea fiecărui punct în proiecția unei suprafețe vizibile este o funcție de lumina reflectată și transmisă de obiecte. Procesul de creare a imaginii din modele se numește *interpretare (rendering)*.

Pentru ca utilizatorul să înțeleagă relațiile spațiale tridimensionale între mai multe obiecte, o simplă reprezentare poate fi adesea suficientă (în figura 5.1 informația este suficientă pentru ca utilizatorul să declare obiectele ca fiind

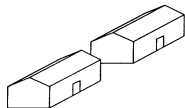


Figura 5.1: Reprezentare prin poligoane a două case

două case, una în spatele celeilalte); în anumite contexte, adăugarea unor detalii pot distra atenția privitorului de la informații mult mai importante care se furnizează.

Prin proiectare se pierde informații importante creându-se adesea ambiguități în imagine. Un exemplu concludent este reprezentarea prin cadru de sârmă a unui cub. Astfel, nu putem spune dacă cubul (a) din figura 5.2 reprezintă cubul solid (b) sau (c). În figura 5.3 se prezintă efectul numit iluzia scărilor: în imagine sunt reprezentate scări care sunt văzute de sus, de jos, sau este descris un alt obiect decât o scară? Orice informație suplimentară precum un obiect așezat pe scară poate rezolva ambiguitatea.

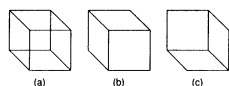


Figura 5.2: Iluzia cubului

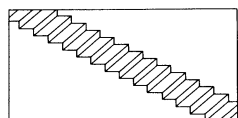


Figura 5.3: Iluzia scărilor

Proiecțiile cele mai ușor de realizat sunt proiecțiile ortografice. Obiectul reprezentat în figura 5.4 este ușor de înțeles, însă dacă obiectul reprezentat



Figura 5.4: Proiecții ortografice ale literei L tridimensionale

este compus din numeroase părți înțelegerea lui poate necesita ore de studiu. În proiecțiile axonometrice și oblice, coordonata z influențează coordonatele x și y din proiecție, însă obiectele de aceeași mărime aflate la distanțe diferite de planul de proiecție apar în imagine la aceeași mărime. Proiecția perspectivă poate produce adesea imagini ambigue: în figura 5.5.a poate fi o proiecție paralelă a unui trunchi de piramidă sau o proiecție perspectivă a unui paralelipiped dreptunghic. Interpretarea proiecției perspective este adesea bazată pe presupunerea că obiectele mici sunt obiecte îndepărtate. Astfel, urmărind figura 5.5.b privitorul poate presupune că cea mai mare casă este cea mai apropiată de observator; în realitate, acea casă poate fi mai departe de observator decât casa mică în proiecție, iar dimensiunile reale ale ei pot fi mari comparativ cu dimensiunile casei mici (informațiile de detaliu precum trasarea ferestrelor pot rezolva această ambiguitate; dacă utilizatorul este informat că în imagine sunt prezentate linii paralele, punctul de fugă poate oferi informația lipsă în stabilirea poziției relative a celor două case).

În efectul numit *iluzia adâncimii* părți ale obiectului care sunt mai îndepărtate de observator sunt afișate cu o intensitate mai scăzută decât cele mai apropiate. Această tehnică este eficientă în prezentarea unor scene cu

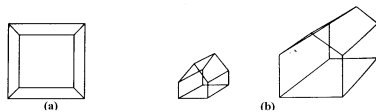


Figura 5.5: (a) Proiecția perspectivă a unui cub (b) Proiecția perspectivă a două case

distanțe mari în adâncime între obiecte.

În *decuparea în adâncime* se utilizează un plan de secționare ce se deplasează (dinamic) odată cu creșterea adâncimii – la un moment dat trebuie determinate punctele obiectelor care intersectează planul de secționare (aceste puncte vor constitui noua informație care trebuie adăugată la imaginea precedentă).

Texturile pot conduce adesea la rezolvarea ambiguităților produse prin proiecție. În mod ideal texturile trebuie să respecte forma și orientarea suprafețelor pe care sunt aplicate. Pe ecranele monocrome, metoda texturii poate fi folosită pentru simularea umbrelor prin densitate de puncte.

Culoarea poate fi de asemenea utilizată cu succes în relația dintre obiecte.

Deoarece *înlăturarea liniilor și suprafețelor invizibile* din punctul observatorului distruge structura internă a obiectelor opace, aceasta nu trebuie să fie unica soluție într-o imagine pentru stabilirea relațiilor de adâncime dintre obiectele scenei.

În majoritatea tehnicilor utilizate în mediile grafice aceeași imagine este prezentată ambilor ochi ai utilizatorului. Creierul uman însă combină cele două imagini diferite preluate prin ochi (pereche stereo) într-una singură și o interpretează ca fiind tridimensională. Există o serie de tehnici pentru a oferi diferite imagini pentru fiecare ochi, incluzând holografia și ochelarii cu filtre polarizate.

În concluzie, reprezentările realiste ale corpurilor 3D se pot obține astfel prin combinarea cel puțin a următoarelor patru metode:

1. eliminarea tuturor elementelor și părților corpului care sunt *mascate* în anumite condiții de privire;
2. simularea *iluminării* corpului cu un sistem de surse de lumină bine precizat (punctiforme, surse distribuite, lumină paralelă, lumină ambientă);
3. reconstituirea *detaliilor* existente pe suprafață (a texturii materialului).
4. reconstituirea *culorilor* și nuanțelor în care obiectul (corpul) original ar apărea, luminat în condițiile precizate.

Metodele de asistare a procesului cognitiv prin mijloace grafice utilizate în sistemele CAD-CAM propun următoarele tehnici:

- (a) utilizarea imaginii *perspective*, care încorporează informații de profunzime;
- (b) efectul cinetic de profunzime (*proiecții dinamice*): această tehnică se bazează pe mișcarea obiectului relativ la poziția observatorului. O mișcare edificatoare este rotația în jurul unei axe verticale: liniile apropi-

ate se mișcă mai rapid decât cele îndepărtate, liniile din părți opuse ale axei de rotație se mișcă în sensuri contrare.

- (c) indicii de *intensitate*: această metodă implică variația intensității liniilor. Liniile îndepărtate vor apărea mai șterse decât cele mai apropiate de utilizatorul sistemului;
- (d) *secționarea în adâncime*: informații referitoare la a 3-a dimensiune pot fi oferite prin deplasarea unui plan perpendicular pe axa Oz de-a lungul acesteia. Planul numit limitator posterior dezvăluie observatorului, pe măsura deplasării sale, obiectul, oferind astfel informații relative la profunzime;
- (e) *secționarea frontală*: planul de secționare este frontal, iar partea eliminată de acesta este cea mai apropiată de observator. Metoda este mai utilă decât cea anterioară, deoarece poate furniza, printr-o poziționare adecvată a obiectului, orice secțiune plană prin corpul respectiv;
- (f) *umbrirea*: cunoscând direcția luminii (pentru iluminarea paralelă) sau poziția sursei (pentru iluminarea cu o sursă punctiformă), umbrele pot furniza informații utile pentru sugerarea poziției în spațiu.
- (g) *variația de culoare*: de-a lungul axei Oz se poate introduce o variație spectrală de culoare, de exemplu, de la roșu (punctele apropiate) la violet (punctele îndepărtate), care să furnizeze informații cu privire la relațiile de profunzime între elementele corpului.

5.2 Determinarea liniilor și suprafețelor vizibile

Date fiind un set de obiecte 3D și o specificare a vizualizării, se cere determinarea liniilor și suprafețelor obiectelor care sunt vizibile, fie din centrul de proiecție pentru proiecțiile în perspectivă, fie de-a lungul direcției de proiecție în cazul proiecțiilor paralele (figura 5.6).

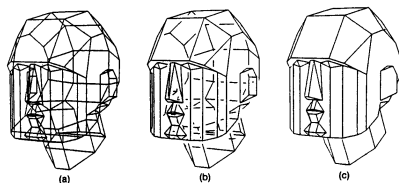


Figura 5.6: Reprezentarea unui cap (a) fără ascunderea liniilor invizibile (b) cu linii ascunse trasate ca linii întrerupte (c) cu ascunderea liniilor invizibile

Se pot imagina următoarele două tipuri de coduri pentru rezolvarea problemei:

```

for fiecare obiect din mediu do
    begin
        determină acele părți ale obiectului care nu sunt
        obstrucționate de alte părți ale oricărui alt obiect
        trasează aceste părți în culoarea corespunzătoare
    end
sau
for fiecare pixel din imagine do
    begin
        determină obiectul cel mai apropiat de observator
        care are o parte proiectată pe pixel
        trasează pixelul în culoarea corespunzătoare
    end

```

Există, corespunzător acestor modalități de abordare a problemei, două tipuri de algoritmi:

1. *algoritmi spațiu-obiect* (precizie obiect): depind de precizia cu care obiectele sunt definite și determină vizibilitatea fiecărui obiect;
2. *algoritmi spațiu-imagine* (precizie imagine): depind de rezoluția mediului de afișare și determină vizibilitatea pe pixel.

Pentru n obiecte și p pixeli efortul de calcul este proporțional, în primul caz, cu n^2 și, în al doilea caz, cu np . Deși în majoritatea situațiilor $n^2 \ll np$, algoritmi spațiu-imagine sunt mai rapizi deoarece subrutinele de comparare individuală sunt mult mai simple decât în cazul algoritmilor spațiu-obiect și deci consumă mai puțin timp.

Algoritmi spațiu-obiect oferă o acuratețe deosebită a imaginii. Algoritmi spațiu-imagine oferă rapiditate în construcția imaginii. Calculul în spațiu-obiect se realizează cu precizie arbitrară. Imaginea finală va fi corectă chiar și mărită de mai multe ori. Soluțiile în spațiu-imagine sunt calculate cu o rezoluție mai mică, de obicei cea a dispozitivului de afișare.

5.2.1 Simplificarea calculelor

Coerență

Algoritmi de vizibilitate țin seama adesea de avantajele *coerenței* – *gradul în care fiecare parte a unui mediu sau proiecția acestuia prezintă similarități locale*. Există numeroase tipuri de coerență. Printre acestea se remarcă:

1. *coerența obiectelor*: dacă un obiect este complet separat de altul, comparațiile trebuie efectuate numai între cele două obiecte nu și între fețele sau muchiile componente;
2. *coerența fețelor*: proprietățile suprafețelor variază de obicei puțin de-a lungul unei fețe, permițând astfel ca rezultatele calculelor corespunzătoare unei părți ale feței să fie modificate incremental pentru a fi utilizate la părțile adiacente;
3. *coerența muchiilor*: o muchie își schimbă vizibilitatea numai dacă trece prin spatele unei laturi vizibile sau străpunge o față vizibilă;

4. *coerența liniilor scanate*: setul de obiecte vizibile care se intersectează cu linia de scanare diferă puțin de setul corespunzător liniei precedente;
5. *coerența ariilor*: un grup de pixeli adiacenți este adesea acoperit de aceeași față vizibilă;
6. *coerența adâncimii*: părți adiacente ale unei aceleiași suprafețe sunt apropiate în adâncime, pe când suprafețe diferite la aceeași locație de ecran sunt de obicei mult separate în adâncime; astfel dacă este calculată adâncimea unui punct al suprafeței, adâncimile punctelor din restul suprafeței pot fi determinate prin ecuații simple cu diferențe;
7. *coerența cadrelor*: imaginile aceluiași mediu la două puncte succesive în timp sunt aproape similare, excluzând mici schimbări în obiecte și puncte de vedere; astfel, calculele realizate pentru o imagine pot fi reutilizate pentru următoarea imagine din secvența de cadre.

Poziția observatorului

Se consideră că planul de proiecție este xOy al sistemului de vizualizare, iar

- (a) în cazul proiecției perspective, observatorul se află pe axa z la o cotă pozitivă,
- (b) în cazul proiecției paralele, direcția de proiecție este paralelă cu axa z și în sens invers acesteia.

Dacă condițiile de vizualizare nu respectă aceste reguli, se impune o fază de preprocesare în care obiectul este rotit și translatat pentru a se încadra în condițiile standard.

Teste de adâncime

Se pune problema dacă două puncte se acoperă unul pe celălalt în proiecțiile pe planul xOy .

În cazul proiecției paralele, două puncte $A(x_1, y_1, z_1)$, $B(x_2, y_2, z_2)$ sunt pe aceeași linie de proiecție dacă și numai dacă $x_1 = x_2$, $y_1 = y_2$.

În cazul proiecției perspective, pentru simplificarea calculelor, comparațiile individuale privind relațiile de profunzime se fac după aplicarea transformării care duce centrul de proiecție în origine. Relațiile de verificat pentru ca A și B să fie pe aceeași linie de proiecție sunt: $x_1/z_1 = x_2/z_2$, $y_1/z_1 = y_2/z_2$ (figura 5.7). Pentru fiecare comparare a două puncte trebuie efectuate patru împărțiri. O soluție pentru evitarea acestor împărțiri este aplicarea unei transformări 3D obiectului real astfel încât obiectul transformat obținut să aibă o proiecție paralelă identică cu proiecția perspectivă a obiectului real (figura 5.8). Această transformare mută centrul de proiecție la $-\infty$ pe axa z și transpune liniile de proiecție în linii paralele cu axa z , deci paralele între ele (vezi capitolul 2).

Teste de interioritate

Se pune problema interiorității unui punct față de un contur poligonal. Fie $F = (P_1, P_2, \dots, P_n)$ un poligon în planul de proiecție cu vârfurile $P_i(x_i, y_i)$, $i = 1, \dots, n$ și $P_n = P_1$. Fie $P(x, y)$ punctul pentru care trebuie să se efectueze testul de interioritate. În geometria elementară există două proceduri bine

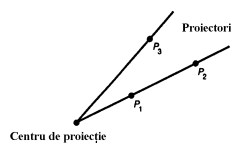


Figura 5.7: Punctele P_1 și P_2 sunt pe același proiector

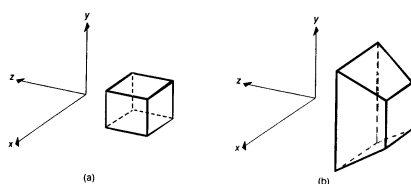


Figura 5.8: Un cub (a) înainte și (b) după transformarea perspectivă

cunoscute pentru realizarea testului de interioritate a unui punct față de un contur poligonal în planul de proiecție:

1. *calcularea sumei unghiurilor*. Se notează cu α_i măsura unghiului făcut de segmentele PP_i și PP_{i+1} , ($i = 1, \dots, n-1$). Atunci, P este în exteriorul conturului poligonal dacă $\sum_{i=1}^{n-1} \alpha_i = 0$ și este în interiorul conturului dacă $\sum_{i=1}^{n-1} \alpha_i = 2\pi$ (figura 5.9.a);
2. *calcularea numărului de intersecții (testul par-impair)*. Se consideră o semidreaptă, care pornește din punctul P și nu trece prin niciunul din vârfurile poligonului. Punctul este exterior poligonului dacă numărul de intersecții ale semidreptei cu laturile lui F este par și este interior lui F dacă acest număr este impar (figura 5.9.b).

Teste minimax

Testele minimax sunt utile în diverse momente ale algoritmilor: la calculul suprapunerii a două poligoane în planul de proiecție, la calculul interiorității proiecției unui punct față de proiecția unui poligon, la calculul intersecției a două segmente, la calculul de adâncime a unui punct față de un poligon sau chiar a două poligoane între ele în spațiul obiect.

Aceste teste presupun doar *comparații*. Ele pot duce la respingerea a numeroase cazuri nefavorabile, dacă sunt utilizate înaintea calculelor propriu-zise.

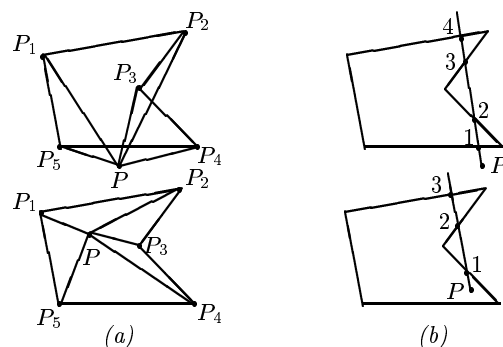


Figura 5.9: Teste de interioritate prin (a) suma unghiurilor (b) număr de intersecții

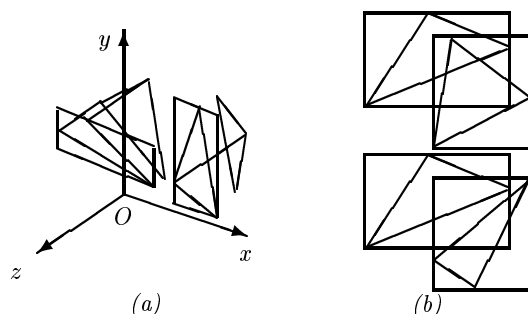


Figura 5.10: (a) Extinderile plane ale poligoanelor (b) Suprapunerea extinderilor plane

De exemplu, două poligoane din planul de proiecție nu au nici un punct de intersecție dacă valoarea minimă a proiecției pe axa x a celui de al doilea este mai mare decât valoarea maximă a proiecției pe aceeași axă a primului.

Se numește *extindere plană* (extindere ecran) a unui poligon dat din 3D, dreptunghiul de arie minimă circumscris proiecției poligonului și care are o latură orizontală (figura 5.10.a). Pentru determinarea extinderii ecran se calculează maximul și minimul coordonatelor proiecțiilor pe ecran ale vârfurilor poligonului (patru valori ce definesc colțurile dreptunghiului).

Două poligoane ale căror extinderi ecran sunt disjuncte (nu se suprapun) nu se pot acoperi unul pe altul. Dacă extinderile se suprapun, cu privire la suprapunerea poligoanelor nu se poate afirma nimic. În acest caz există două situații (figura 5.10.b):

- (a) atât extinderile, cât și proiecțiile poligoanelor, se suprapun;
- (b) extinderile se suprapun, dar proiecțiile poligoanelor sunt disjuncte.

Analog se pot defini extinderile unidimensionale și spațiale.

O *extindere unidimensională* se definește, relativ la un plan de coordonate, ca fiind zona bandă de lățime minimă în care se înscrie proiecția poligonului în acel plan, situată între două drepte paralele și paralele cu una din axele de coordonate ale planului. Cazuri particulare sunt extinderile după x , y , z ale poligoanelor (figura 5.11.a).

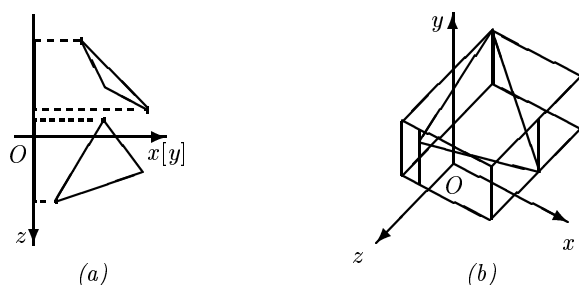


Figura 5.11: (a) Extinderea unidimensională după z (b) Extinderea spațială

Când extinderile după z a două poligoane nu se suprapun, atunci poligonul cu extinderea după z mai apropiată de observator va acoperi celălalt poligon (cel puțin parțial) dacă extinderile ecran se intersectează. Determinarea extinderii după z se face căutând maximum și minimum valorilor lui z pentru vârfurile poligonului considerat.

Extinderile spațiale ale poligoanelor sunt paralelipipele de volum minim în care se înscriu poligoanele respective și care au fețele paralele cu planele triedrului de referință (figura 5.11.b).

Înainte de a compara două poligoane, se compară extinderile acestora. Se elimină astfel o bună parte din calculele de intersecții, simplificând și accelerând tratarea imaginii.

Alunecare spate-față

Dacă un obiect este aproximat printr-un poliedru solid, fețele lui poligonale închid volumul. Dacă toate fețele sunt definite astfel încât normalele la suprafețe sunt orientate în exterior, atunci poligoanele a căror normală este orientată în direcția opusă observatorului, nu vor fi vizibile de către observator. O asemenea față poate fi identificată prin $D \cdot N < 0$, unde D este raza de la observator la suprafață, iar N este normala la suprafață. Fețele astfel determinate pot fi eliminate din calculele de vizibilitate, dacă obiectul nu are găuri (figura 5.12).

Partiționarea spațială

Permite împărțirea unei probleme mari într-un număr de probleme mai mici. Ca pas de preprocesare, se asignează obiecte sau proiecțiile lor la grupuri coerente spațial. De exemplu, planul de proiecție se poate împărți cu o grilă rectangulară și se determină în fiecare spațiu al grilei care proiecții ale obiectelor se află în ele. Astfel proiecția unui obiect trebuie comparată, pentru testul de suprapunere, numai cu acele proiecții care apar în spațiile grilei pe care le ocupă. *Partiționarea spațială* presupune utilizarea unei grile tridimensionale. Procesul de determinare a obiectelor intersectate de un proiector poate fi accelerat prin determinarea în primul rând a partițiilor pe care proiectorul le intersectează, și numai apoi testarea intersecției cu obiectele asociate cu aceste partiții. Dacă obiectele sunt distribuite inegal în spațiu, este mult mai eficientă o *partiționare adaptivă*, în care mărimea partiției variază. O posibilitate pen-

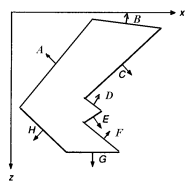


Figura 5.12: Secțiune printr-un poliedru: poligoanele A , B , D , F sunt poligoane de spate, iar poligoanele C , E , G , H sunt poligoane de față

tru a realiza acest deziderat este subdivizarea recursivă a spațiului până când un anumit criteriu de terminare este împlinit (de exemplu, subdivizarea poate fi oprită când în fiecare partiție există un număr de obiecte mai mic decât un număr prestabilit).

5.2.2 Algoritmi spațiu-obiect pentru determinarea liniilor vizibile

Algoritmul Robertson

Este primul algoritm care a fost propus pentru determinarea liniilor vizibile ale unui poliedru. Se presupune că fiecare segment de linie este muchie pentru un poligon convex. Inițial se utilizează alunecarea față-spate pentru a înlătura muchiile comune unei perechi de poligoane de spate. Apoi fiecare muchie rămasă este comparată cu fiecare poliedru. Se aplică testele minimax pentru eliminarea poliedrelor a căror extinderi nu se intersectează cu cele ale segmentului. Un poliedru poate ascunde segmentul de linie sau poate determina ca întregul segment, o parte sau două a segmentului să rămână vizibile. Segmentele rămase sunt comparate cu următorul poliedru. Testul de vizibilitate se bazează pe o versiune parametrică a proiectorului pornit de la observator la un punct al muchiei testate. Se determină acele valori ale ecuației liniei care fac ca proiectorul să treacă printr-un poliedru, rezultând astfel invizibilitatea punctului de capăt. Proiectorul trece printr-un poliedru dacă conține anumite puncte care sunt în interiorul tuturor fețelor frontale ale poliedrului.

Algoritmul reprezentării incomplete

Se consideră o reprezentare poliedrală a unui corp convex și o mulțime de puncte care definesc această reprezentare (mulțimea include cel puțin vârfurile fațetelor poligonale). Imaginea se reconstituie pe principiul: *un segment este vizibil atunci când capetele sale sunt vizibile*. Se alege ca obiectiv un anumit punct de pe suprafața corpului și se depistează eventualele obstacole ce se interpun între punct și observator.

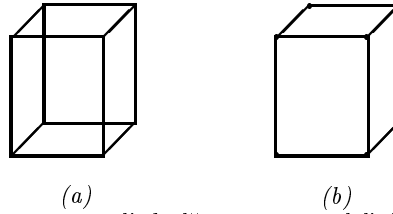


Figura 5.13: (a) Reprezentarea poliedrală a unui paralelipiped (b) Imagine prin algoritmul reprezentării incomplete

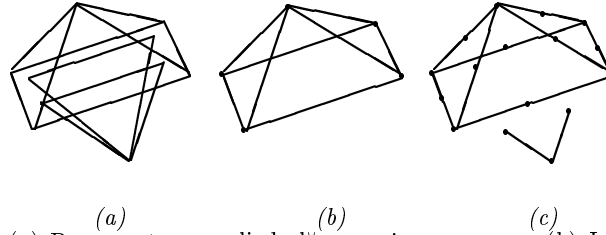


Figura 5.14: (a) Reprezentarea poliedrală a unui corp concav (b) Imagine prin algoritmul reprezentării incomplete (c) Imagine îmbunătățită prin creșterea numărului de puncte ce descriu suprafața

Pentru determinarea vizibilității punctelor reprezentării poliedrale se parcurg următoarele etape:

- (a) se inițializează cu valoarea zero un vector de dimensiune egală cu numărul de puncte prin care este reprezentat corpul. Acest vector este numit *zona atributelor de vizibilitate*. Simbolul 0 marchează punctele vizibile. Valoarea 1 indică un punct invizibil.
- (b) pentru fiecare față poligonală se parcurg toate punctele reprezentării căutând acelea a căror proiecție pe ecran se află în interiorul sau pe frontiera proiecției fațetei, numite *puncte obiectiv*. Pentru fiecare punct obiectiv,
 1. se calculează intersecția dintre dreapta de la punctul obiectiv la observator și suprafața poligonală curentă, rezultând un punct numit *punct mască potențial*;
 2. se compară distanța de la observator la punctul obiectiv cu cea de la observator la punctul mască potențial. Dacă prima este mai mare atunci se modifică atributul corespunzător punctului din 0 în 1 (punctul este invizibil).

În final zona atributelor de vizibilitate stochează informații complete cu privire la vizibilitatea punctelor prin care corpul este aproximat.

În figura 5.13.(b) se prezintă rezultatul aplicării algoritmului la paralelipipedul (a).

Algoritmul spațiu-obiect incomplet, ce reprezintă numai curbele sau segmentele cu ambele capete vizibile, se poate aplica cu succes dacă corpul descris este convex, are un număr mic de fațete sau dacă imaginea ocupă o zonă mare pe ecran. Pentru corpurile concave, problema se complică (figura 5.14).

Algoritmul invizibilității cantitative (algoritmul Appel)

Algoritmul invizibilității cantitative (algoritmul Appel) operează asupra solidelor formate din fețe plane mărginite de poligoane. Metoda folosită este aceea de a testa vizibilitatea segmentelor din care sunt alcătuite fețele solidului.

Invizibilitatea cantitativă a unui punct al unei linii este numărul de poligoane care maschează respectivul punct. Când o linie trece în spatele unui poligon, invizibilitatea cantitativă a punctelor sale este incrementată cu 1; când iese, este decrementată cu 1. O linie este vizibilă numai dacă invizibilitatea punctelor sale este 0 (figura 5.15).

Se presupune că poligoanele din reprezentare nu se întrepătrund. Atunci o linie își schimbă invizibilitatea cantitativă dacă trece prin spatele unei linii de contur.

O *linie de contur* este o muchie comună unei fețe de spate și a uneia frontale. Se presupune că toate poligoanele au normala la suprafață orientată spre exteriorul corpului. Un *poligon de spate* este identificat printr-un produs scalar pozitiv între normala la suprafață și vectorul ce pornește din centrul proiecției la un punct oarecare al poligonului. În figura 5.15.a AB , CD , DF , KL sunt linii de contur, iar CE , EF , JK nu sunt linii de contur.

O linie de contur trece prin fața unei muchii dacă străpunge triunghiul format de capetele muchiei și ochiul observatorului (figura 5.15.b). Se aplică testul punct interior unui triunghi. schimbarea invizibilității cantitative este determinat de semnul produsului vectorial dintre muchie și linia de contur.

Într-un prim pas al algoritmului, se elimină muchiile care aparțin unor fețe total invizibile (poligoane de spate). În pasul al doilea se determină liniile de contur. Apoi se determină invizibilitatea cantitativă a vârfurilor.

Pentru determinarea vizibilității vârfurilor se consideră un vârf inițial care se proiectează pe toate fețele poligonale ale reprezentării. Se rețin doar proiecțiile interioare fețelor. Numărul proiecțiilor mai apropiate de observator decât vârful studiat indică invizibilitatea cantitativă a acestuia. Această valoare se propagă de-a lungul unei muchii, fiind modificată la trecerea prin spatele unei linii de contur. Când se atinge capătul final al unei muchii, invizibilitatea cantitativă asociată (emanată prin muchie) devine invizibilitatea cantitativă a tuturor liniilor care pornesc din respectivul punct.

În propagarea invizibilității cantitative apar probleme la vârfurile liniilor de contur care sunt comune mai multor fețe frontale (de exemplu JK are invizibilitatea cantitativă 0, iar KL , 1). Această schimbare poate rezulta dintr-un test suplimentar al muchiei față de laturile care împart vârful.

Algoritmul Appel presupune că toate laturile poligoanelor sunt trasate într-o direcție consistentă relativ la poligon, astfel încât semnul schimbării în invizibilitatea cantitativă este determinat de semnul dintre produsul vectorial a laturii cu linia de contur.

Algoritmul poate beneficia de avantajele partiționării spațiale. Fiecare muchie trebuie astfel comparată numai cu muchiile sau obiectele din spațiile grilei care conțin proiecția sa.

Aplicație. Se consideră o reprezentare poliedrală prin triunghiuri. Mulțimea liniilor de contur (conturul aparent) este mulțimea segmentelor care au ambele capete vizibile și sunt laturi ale unor fațete triunghiulare cu două vârfuri vizibile și unul invizibil. Segmentele din conturul aparent se pot depista ușor după

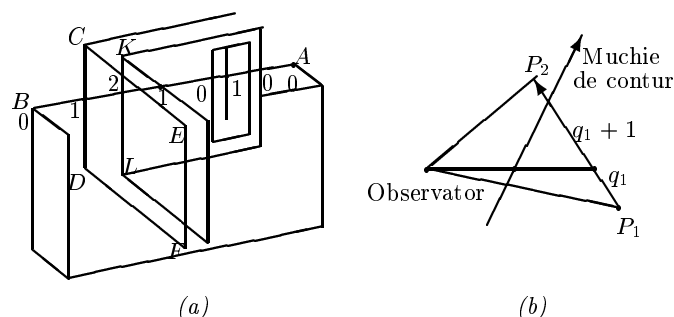


Figura 5.15: (a) Definirea liniilor de contur în algoritmul Appel (b) Schimbarea invizibilității cantitative

parcurea algoritmului spațiu-obiect incomplet pe baza consultării zonei atributelor de vizibilitate. Se observă că, în cazul când ambele capete ale unui segment oarecare au același atribut de vizibilitate, numărul intersecțiilor cu conturul aparent este par, iar atunci când atributele sunt diferite, impar. Fiecare față este descrisă prin coordonatele celor trei vârfuri și proiecțiile lor. Pentru fiecare față se parcurg laturile acesteia și pentru fiecare latură, numită *latură curentă* se parcurge din nou corpul, față cu față. Pentru fiecare față parcursă, dacă are două vârfuri vizibile și unul invizibil, atunci latura fațetei cu două capete vizibile face parte din conturul aparent și este numită *segment curent*. Se proiectează latura curentă și segmentul curent pe planul de proiecție. Se calculează intersecția dintre dreapta suport a laturii curente proiectate și dreapta suport a segmentului curent proiectat. Dacă intersecția se află atât între extremitățile laturii curente proiectate cât și ale segmentului curent proiectat, atunci se stochează coordonatele intersecției. Se ordonează intersecțiile obținute, pornind de la un capăt (ales arbitrar ca origine a laturii curente) către celălalt. Se obțin astfel anumite intervale pe latura curentă. Se consideră intervalul dintre prima extremitate a laturii curente și prima intersecție. Pe acest interval latura se consideră vizibilă dacă extremitatea laturii este vizibilă și invizibilă în caz contrar. Această informație se reprezintă printr-o variabilă numită *atribut de vizibilitate al intervalului* (care are două valori, 0 și 1, la fel ca atributul punctului). Până la epuizarea intervalelor, se trasează sau nu intervalul după cum precizează atributul de vizibilitate al intervalului, apoi se completează atributul de vizibilitate față de 1.

5.2.3 Algoritmi spațiu-imagie

Vizualizarea suprafețelor descrise explicit

Se consideră cazul special al unui suprafețe descrise explicit printr-o ecuație de tipul

$$y = f(x, z).$$

Prin discretizarea funcției f pe o grilă regulată în x și z se obține o matrice de valori y reprezentând înălțimi față de grila în x și z aflată în planul $y = 0$. Presupunem că fiecare coloană a matricei corespunde unei singure valori x , iar

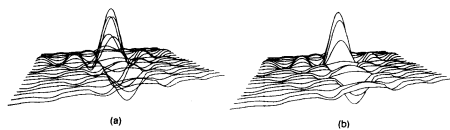


Figura 5.16: Reprezentarea unei suprafețe explicite (a) fără sau (b) cu ascunderea liniilor

fiecare linie, unei singure valori z . Indicii și valoarea elementului matriceal specifică în mod unic un punct din spațiu.

O trasare tip cadru de sârmă poate fi construită prin aproximarea liniară (figura 5.16). Se trasează un set de linii poligonale ce trec prin punctele definite de fiecare linie a matricii (linii poligonale de z constant) și un set de linii poligonale ortogonale care trec prin punctele definite de fiecare coloană (linii poligonale cu x constant).

Se consideră în primul rând problema trasării liniilor poligonale de z constant. Presupunem că cea mai apropiată linie poligonală este o latură a suprafeței. Liniile poligonale ce urmează a fi trasate se află în plane paralele de z constant. Se trasează liniile în ordinea crescătoare a distanței de la observator.

Dacă se trasează o nouă linie poligonală, ea este vizibilă numai acolo unde proiecția sa se ridică deasupra celei mai înalte sau se află sub cea mai joasă siluetă. Deoarece noua linie poligonală se află într-un plan mai îndepărtat decât precedentele, nu poate acoperi liniile poligonale anterioare. Se consideră „frontiera siluetă” a liniilor poligonale care au fost trasate până la un moment dat (figura 5.17). Când o linie poligonală nouă este trasată, ea este vizibilă numai acolo unde proiecția sa se ridică deasupra acestei siluete sau coboară sub siluetă. De aceea pentru a determina care părți vor fi trasate, este necesară compararea valorilor y ale proiecției cu cele corespunzătoare ale siluetei calculate până în acel moment.

Dacă se utilizează numai informația referitoare la valorile y minime și maxime ale siluetei este vorba de *algoritmul liniei orizontului* (algoritmul Wright). Din punct de vedere al clasificării algoritmilor de determinare a liniilor vizibile, acesta este un exemplu de algoritm spațiu-imagie.

Pentru reprezentarea siluetelor se utilizează două tablouri unidimensionale, Y_{min} și Y_{max} , care conțin valorile minime și maxime curente ale valorilor proiectate y pentru o mulțime finită de valori x (valorile sunt actualizate după calcularea valorilor y ale fiecărei noi linii). Tablourile Y_{min} și Y_{max} sunt inițializate cu valori y care sunt sub, respectiv deasupra, tuturor valorilor y proiectate ale suprafeței. Când se trasează o nouă linie, valorile y proiectate ale fiecărei perechi de vârfuri adiacente sunt comparate cu valorile locațiilor corespunzătoare în tablourile unidimensionale (figura 5.18). Dacă ambele capete ale segmentului de linie sunt invizibile, tablourile siluetelor rămân neschimbate (segmentul CD). Dacă ambele capete ale segmentului sunt vizibile rela-

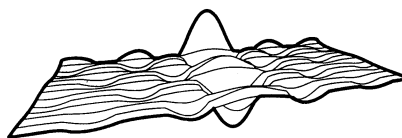


Figura 5.17: Siluete

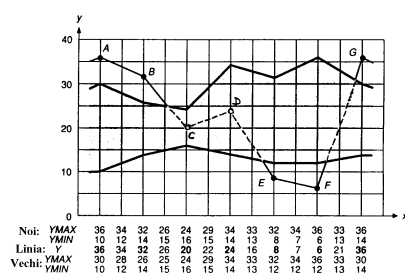


Figura 5.18: Valorile y pentru pozițiile de pe linie între punctele de capăt trebuie interpolate și comparate cu cele din matricele siluete

tiv la una dintre siluete, atunci segmentul de linie este vizibil în întregime și tablourile siluetei trebuie actualizate (cazul AB sau EF). Coordonatele x a două vârfuri adiacente într-o linie poligonală de z constant de obicei corespund cu locații neadiacente în tablourile siluetei. În această situație, valorile y care sunt inserate în locații intermediare ale siluetei pot fi obținute prin interpolare liniară între valorile y proiectate a două elemente adiacente a lui Y . În cazurile în care fie doar un vârf este vizibil și celălalt este invizibil (cazul BC sau DE), fie ambele vârfuri sunt vizibile, dar față de siluete diferite (cazul FG), valorile y interpolate trebuie comparate cu cele ale locațiilor intermediare din tablourile siluetei pentru a determina punctele de intersecție.

Calitatea imaginii produse de algoritm depinde de relația dintre numărul de puncte considerate pentru o siluetă și rezoluția dispozitivului de afișare. În figura 5.19 a treia linie nu va fi trasată deși trece peste intersecția celorlalte două. (este necesară utilizarea unor tablouri-siluete cu rezoluție mai înaltă).

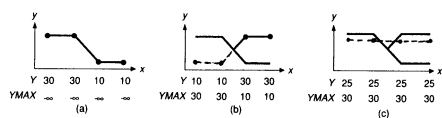


Figura 5.19: Problemă ce intervine datorită utilizării preciziei imagine pentru siluetă

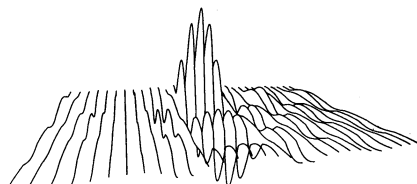


Figura 5.20: Suprafață trasată utilizând polilinii de x constant

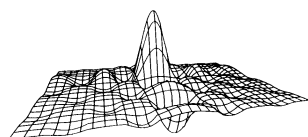


Figura 5.21: Suprafață trasată prin linii poligonale cu x și z constant

Dacă se trasează liniile poligonale cu x constant, linia poligonală cu x constant cea mai apropiată de observator (dreaptă în figura 5.20) nu formează o latură a suprafeței. Pentru a trasa suprafața corect, se trasează liniile poligonale de la dreapta celei mai apropiate în ordinea de la stânga la dreapta, iar cele la stânga celei mai apropiate, de la dreapta la stânga. În ambele cazuri, trasarea liniei poligonale se face în ordinea crescătoare a distanței de la observator.

Suprapunerea liniilor poligonale cu x constant și z constant (figura 5.21) nu permite întotdeauna o reprezentare corectă a suprafeței. Un exemplu concludent este prezentat în figura 5.22. Soluția corectă presupune trasarea concomi-

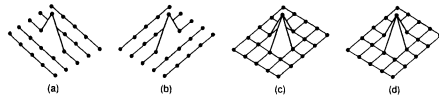


Figura 5.22: (a) Linii cu z constant; (b) Linii cu x constant; (c) Suprapunerea figurilor (a) și (b); (d) Soluția corectă

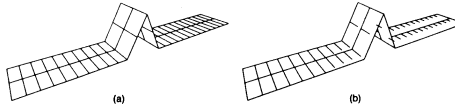


Figura 5.23: Liniile poligonale cu x constant trebuie să fie procesate în ordinea corectă: (a) linii procesate corect (b) linii procesate incorect

tentă a liniilor poligonale. Setul de linii poligonale care sunt aproape paralele cu planul de vizualizare (în figura dată se consideră cele de z constant) sunt procesate în ordinea descrisă mai sus. După ce o linie poligonală de z constant este trasată, se construiesc segmentele de linie poligonală cu x constant dintre linia poligonală nou trasată și următoarea linie poligonală. Segmentele de linie cu x constant se trasează utilizând aceeași structură de date-siluetă care a fost utilizată pentru trasarea liniei poligonale de z constant. Procesarea are loc în ordinea crescătoare a distanței față de observator. În figura 5.23.b liniile cu x constant au fost procesate în ordine incorectă, de la dreapta la stânga (linii succesive sunt umbrite în matricea Y_{max} de liniile trasate anterior).

Algoritmul tamponului de adâncime

Algoritmul **z-buffer** sau al tamponului de adâncime (algoritmul **Catmull**) este destinat eliminării suprafețelor ascunse și este unul dintre cei mai simplii algoritmi de vizibilitate.

Este necesar nu numai **frame-buffer**-ul F în care sunt stocate culorile pixelilor, ci și un **z-buffer** Z cu același număr de intrări în care o valoare z este stocată pentru fiecare pixel. **z-buffer**ul este inițializat la valoarea z a planului de decupare din spate, iar **frame buffer**ul este inițializat cu culoarea fondului. Cea mai mare valoare care va fi reprezentată în **z-buffer** corespunde planului de decupare frontal, cel mai apropiat de observator. Primitivele sunt convertite prin baleiere în **frame-buffer** într-o ordine aleatoare. Dacă un punct al primitivei este proiectat și este mai apropiat de observator decât punctul curent înregistrat în **buffer**, atunci culoarea și adâncimea acestuia vor înlocui valori vechi.

Etapele *algoritmului z-buffer-ecran* pentru o reprezentare poliedrală sunt următoarele:

- (a) se creează o matrice, fiecărui pixel corespunzându-i un element din matrice, numită *z-buffer-ecran*; se inițializează *z-buffer-ul* la o valoare foarte mică pe care suntem siguri că *z-tul* punctelor corpului nu o pot atinge și se inițializează ecranul la valoarea de intensitate corespunzătoare fondului.
- (b) pentru fiecare față poligonală se transpune poligonul astfel: pentru fiecare punct-pixel de coordonate (q, w) din interiorul sau de pe frontiera proiecției poligonului:
 1. se reține cota z a punctului care are pe ecran proiecția în pixelul (q, w) ;
 2. se compară z cu $z(q, w)$, valoarea existentă în *z-buffer* la linia w , coloana q . Dacă este mai mare (punctul este mai apropiat de observator) scrie z în *z-buffer* la linia w și coloana q și aprinde pixelul (q, w) conform informației de culoare sau umplere a poligonului curent.

Algoritmul oferă avantajul de a putea trata suprafețe strâmbe (cuadrice, suprafețe parametrice bicubice). Dezavantajul constă în necesarul de memorie pentru funcționarea eficientă. Pentru o rezoluție de 512×512 și o reprezentare a valorilor z pe 4 octeți, necesarul de memorie depășește 1Mo.

Procedurile *WritePixel* și *ReadPixel* dintr-o procedură de trasare a unei primitive trebuie suplimentate cu procedurile *WriteZ* și *ReadZ* care citesc și scriu în *z buffer*.

```

Procedure zBuffer()
var
  pz : integer;
begin
  for y := 0 to Ymax do
    for x := 0 to Xmax do
      begin
        WritePixel(x, y, Background_value);
        WriteZ(x, y, 0)
      end
    for each polygon do
      for fiecare pixel din proiecția poligonului do
        begin
          pz := valoarea z a poligonului proiectat pe pixelul (x, y);
          if pz >= ReadZ(x, y) then
            begin
              WriteZ(x, y, pz);
              WritePixel(x, y, cul.poligon proiectat pe pixel (x, y))
            end
          end
        end
      end
    end;
end;

```

Figura 5.24 arată ce este posibil a se întâmpla la adunarea a două poligoane (*z-ul* este indicat prin număr, culoarea prin nuanțe de gri).

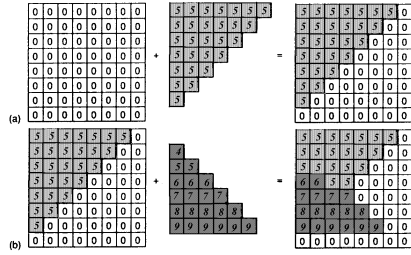


Figura 5.24: *z-buffer*: culoarea unui pixel este indicată prin nuanță de gri, iar valoarea z este prezentată ca număr (a) adăugarea unui poligon cu z constant în *z-buffer*ul gol (b) adăugarea unui alt poligon care-l intersectează pe primul

În mod normal z poate fi recuperat din ecuația planului poligonului. Fie $ax + by + cz + d = 0$ ecuația acestui plan. Atunci $z = -(ax + by + d)/c$. Dacă valoarea z_1 este determinată la (x, y) , putem determina valoarea z la $(x + \Delta x, y)$ printr-o simplă incrementare a valorii z_1 cu $-a\Delta x/c$ (coerență în adâncime). În convertirea prin scanare $\Delta x = 1$ iar incrementul rămâne constant. Un calcul similar se poate efectua pentru a determina prima valoare z de pe următoarea linie de scanare (incrementul fiind $-b/c$).

Algoritmul liniei de baleiaj

Algoritmul *scan-line* operează în spațiul-imagine creând imaginea linie cu linie. Diferența față de algoritmul de conversie *scan* constă în faptul că se tratează o mulțime de primitive, nu numai una singură.

Se consideră o reprezentare poliedrală. Se presupune că nu există poligoane care se străpung. Astfel calculul de adâncime necesare la compararea a două poligoane se face o singură dată. Se ține o gestiune a intersecțiilor și a proiecțiilor muchiilor și poligoanelor pe xOy prin:

1. o listă a muchiilor ET (*edge table*). Intrările în tabel sunt sortate în grupuri pe baza coordonatei y cea mai mică a laturii și, intrările unui grup, pe baza coordonatelor x ale punctului de capăt cu y minim, iar intrările cu același punct de minim, în ordinea crescătoare a x -ilor corespunzător celui alt capăt (cu y maxim). Fiecare intrare conține:
 - (a) coordonata x a extremității cu cel mai mic y ,
 - (b) coordonata y a celui alt capăt (maximă),
 - (c) incrementul în x , inversul pantei muchiei, utilizat în saltul de la o linie de baleiaj la alta,

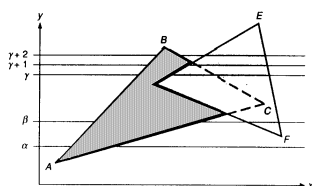


Figura 5.25: Două poligoane procesate cu algoritmul **scan-line**

- (d) codul de identificare al poligonului care conține muchia (o muchie apare de mai multe ori în listă, corespunzător fiecărui poligon);
2. o listă a poligoanelor **PT (polygon table)**. Intrarea corespunzătoare unui poligon conține informațiile:
 - (a) codul de identificare,
 - (b) coeficientii ecuației planului suport,
 - (c) informații privind culoarea sau umplerea poligonului,
 - (d) o variabilă de stare, inițializată de-a lungul procesului de baleiaj, care indică poziția poligonului relativă la linia de baleiaj (aceasta se află în interior sau exterior poligon);
3. o listă a muchiilor active **AET (active edge table)** ține evidența muchiilor intersectate de linia de baleiaj în ordinea crescătoare a x -ilor corespunzători intersecțiilor.

Primul pas al algoritmului constă în crearea primelor două liste. Laturile sunt procesate de la stânga la dreapta. Apoi se baleiază ecranul linie cu linie. Pentru fiecare linie, se crează lista muchiilor active și se ordonează intersecțiile în aceasta. Se parcurge pixel cu pixel linia curentă. Pentru fiecare pixel se compară abscisa curentă cu intersecțiile din al treilea tabel. Dacă abscisa corespunde unei intersecții, atunci:

1. se identifică poligonul, se modifică variabila de stare prin complementare (presupunem 1=în intersecție, 0=afară);
2. se testează variabilele de stare:
 - (a) dacă o singură variabilă are valoarea 1, linia de baleiaj taie în acel punct proiecția unui singur poligon și valorile corespunzătoare umplerii poligonului se trec în frame-buffer;
 - (b) altfel, se calculează pentru fiecare poligon cota z din ecuația planului (din PT). Se aprinde pixelul conform informațiilor corespunzătoare poligonului celui mai apropiat (z -ul cel mai mare în ipoteza observatorului la z pozitiv).

Se consideră cazul celor două poligoane din figura 5.25, pentru care

$$ET = (AB, AC, FD, FE, DE, CB),$$

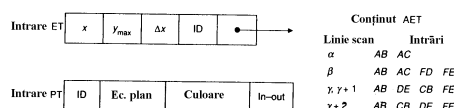


Figura 5.26: ET, PT și AET pentru algoritmului liniei de baleiaj

$$PT = (ABC, DEF).$$

Variația listei muchiilor active este prezentată în figura 5.26. Când linia de baleiaj cu $y = \alpha$ intersectează AB , variabila de stare a poligonului ABC se schimbă. Fiind o unică intersecție, intersecția dintre poligon și linia de baleiaj este vizibilă. La intersecția cu AC , variabila de stare este complementată. Înainte de trecerea la noua linie de baleiaj se actualizează AET. La $y = \beta$ există două poligoane care se intersectează cu linia de baleiaj, dar la un moment dat doar un poligon este vizibil. La $y = \gamma$ și intersecția cu DE , două poligoane au variabila de stare setată. Se evaluează z din ecuația planelor pentru $y = \gamma$ și x corespunzător intersecției. În cazul dat, z -ul poligonului DEF este mai mare, deci punctul este vizibil și determină caracteristicile pixelului. Dacă poligoanele se întrepătrund, algoritmul este modificat pentru a determina punctele de penetrație în linia de baleiaj (liste noi ET, PT și AET).

Algoritmul poate fi utilizat și pentru suprafețe curbe – ET și AET sunt înlocuite cu o tabelă de suprafețe, respectiv o tabelă de suprafețe active.

Algoritmi de subdivizare a ariilor în arii elementare

Algoritmii de subdivizare a ariilor exploatează coerența ariilor.

Se consideră o reprezentare poliedrală. Se presupune că poligoanele nu se întrepătrund. O *arie elementară* este o zonă a imaginii în care se poate determina ușor care poligon dintr-o mulțime dată este vizibil.

Algoritmii bazați pe subdivizarea ariilor utilizează o strategie **divide-et-impera**. Prin împărțirea imaginii în zone de arie din ce în ce mai mică se caută obținerea de zone în care să se situeze cel mult o parte a unui poligon din rețea. Divizarea se oprește cel târziu în stadiul în care elementul de arie devine un pixel.

Algoritmul Warnock. Fiecare arie este divizată în patru arii de mărimi egale. În fiecare etapă a procesului recursiv, *proiecția* fiecărui poligon se află, relativ la aria de interes, în una din următoarele situații (figura 5.27):

- conține aria de interes;
- intersectează aria;
- este inclus în arie;
- este disjunct ariei.

În procesul recursiv, aria de interes este tratată astfel:

- dacă aria nu conține nici un poligon, atunci este afișată culoarea de fond;

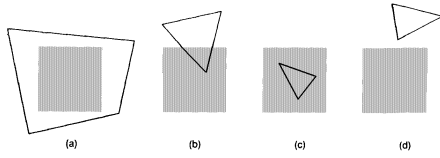


Figura 5.27: Relații ale proiecției unui poligon cu elementul de arie: (a) înconjurător (b) intersectează (c) conținut sau (d) disjunct

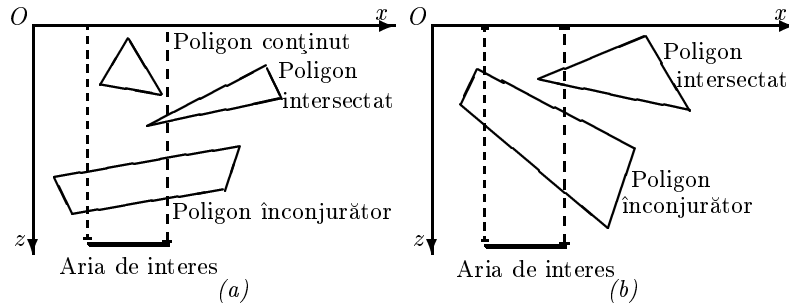


Figura 5.28: Două situații de înconjurare a ariei de interes în algoritmul Warnock

2. dacă există un singur poligon cu care se intersectează sau care este conținut în arie, atunci aria este colorată inițial cu culoarea fondului și apoi partea poligonului conținută în arie este convertită prin baleiere;
3. dacă există un singur poligon înconjurător, dar nu și poligoane intersectate sau poligoane conținute, atunci aria este umplută cu culoarea poligonului;
4. cazul contrar este cel al mai multor poligoane intersectate, conținute sau înconjurătoare. Algoritmul impune divizarea ariei până când există un poligon înconjurător care se află în fața celorlalte poligoane, întreaga arie fiind umplută cu culoarea acestuia.

Testul de poligon frontal (cazul 4) se realizează prin calcularea coordonatelor z ale planelor tuturor poligoanelor înconjurătoare, care intersectează sau sunt conținute la cele colțuri ale ariei; dacă există un poligon înconjurător a cărui valori z ale colțurilor sunt mai mari decât ale celorlalte poligoane, atunci întreaga arie este umplută cu culoarea poligonului înconjurător. În figura 5.28.a, cele patru intersecții ale poligonului înconjurător sunt toate mai apropiate de punctul de vedere (în cazul acestei figuri, punctul de vedere se află la infinit pe axa z) decât sunt intersecțiile celorlalte poligoane (se va umple aria cu culoarea acestui poligon). În situația din figura 5.28.b, deși poligonul intersectat se află de partea opusă planului poligonului înconjurător, algoritmul cere divizarea ariei până când poligonul înconjurător are valorile z cele mai

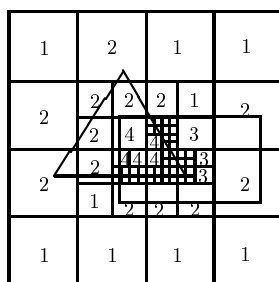


Figura 5.29: Exemplu pentru algoritmul Warnock

mari sau se întâlnesc cazurile 1, 2 sau 3.

În figura 5.29 se consideră un exemplu de subdivizare (triunghiul se află în fața dreptunghiului). Numerele înscrise în pătrate se referă la cazurile mai sus menționate.

Algoritmul operează în spațiul obiect, cu excepția conversiei *scan*. Cea mai mică arie este pixelul. La o rezoluție de 1024×1024 sunt necesare cel mult zece nivele de subdivizare.

Algoritmul Weiler-Atherton. Subdivizarea ecranului este realizată de-a lungul frontierei poligoanelor (în locul dreptunghiurilor din algoritmul Warnock). Algoritmul este asociat cu o metodă de clipping. Fiind un algoritm de subdivizare a ariilor, a fost inclus în această secțiune, deși este un algoritm hibrid.

Primul pas constă în sortarea poligoanelor funcție de valoarea z cea mai mare. Poligonul cel mai apropiat de observator este utilizat în procesul de decupare al celorlalte poligoane, rezultând două liste conținând părți ale acestora situate în interiorul, respectiv exteriorul proiecției primului poligon. Poligoanele din lista de interior se află, teoretic, în spatele poligonului și, deci, trebuie șterse, fiind invizibile. Dacă un poligon din lista de interior este mai apropiat decât poligonul de decupare, sortarea inițială nu oferă o ordine corectă a priorităților. Un asemenea poligon frontal este procesat recursiv pentru decupare față de părțile aflate în lista de interior. Când divizarea recursivă este terminată, algoritmul continuă procesarea poligoanelor din lista de exterior. Decuparea este realizată cu o copie a poligonului inițial și nu cu fragmentele acestuia, procesul de decupare fiind mai puțin costisitor.

Algoritmul utilizează o stivă pentru a trata cazurile de suprapunere, ca cel din figura 5.30.c. Stiva conține o listă a poligoanelor care sunt poligoane curente de decupare, dar a căror utilizare a fost întreruptă datorită subdivizării recursive. Dacă un poligon din lista de interior se află în fața poligonului de decupare, el este căutat în stivă. Dacă este găsit în stivă, nu mai sunt necesare alte recursii, deoarece toate bucățile de poligon din interiorul poligonului aflate în spate au fost deja eliminate.

Algoritmul este descris în următoarea procedură:

```

Procedura WA_visibleSurface()
begin

```

```

    polyList := lista unor copii a tuturor poligoanelor;
    sortează polyList în ordine descrescătoare după valoarea z
    clear stiva;
    while polyList <> nil do
        WA_subdivide(primul poligon din polyList, polyList)
    end;
    procedure WA_subdivide(
        clipPolygon : polygon; var polyList : ListOfPolygons)
    var
        inList, outList : ListOfPolygons;
    begin
        inList := nil; outList := nil;
        for fiecare poligon în polyList do
            begin
                decupează poligonul relativ la clipPolygon,
                piesele interioare se plasează în inList,
                piesele exterioare se plasează în outList
                înlătură poligoanele din spatele clipPolygon din inList
            end;
        for fiecare poligon din inList care nu este în stiva
            și nu este parte a lui clipPolygon do
            begin
                push clipPolygon în stiva;
                WA_subdivide(polygon, inList);
                pop stiva
            end;
        for fiecare poligon din inList do
            afișează poligon;
        polyList := outList
    end;
end;

```

Algoritmul Encarnacao al rețelei de explorare. Se aplică la suprafețele curbe care sunt definite ca rețele de linii. Fragmentele (careurile) suprafețelor curbe sunt specificate numai prin cele 4 vârfuri ale lor, iar liniile drepte sunt folosite pentru a defini muchiile lor. Numele algoritmului derivă din faptul că o rețea rectangulară bidimensională de linii, numită *rețea de explorare*, este suprapusă pe planul-imagine al suprafețelor. Se constituie o *listă de fragmente de suprafață* pentru fiecare arie a rețelei de explorare. Dacă în careu se află prea multe elemente de suprafață se descompune careul de rastru în patru subcareuri. Testele minimax sunt folosite pentru a stabili care arii de explorare vor fi suprapuse de un fragment specific de suprafață. Imediat ce s-a terminat preselectarea (constituirea listei), se execută algoritmul principal de vizibilitate. Un segment de linie este rupt într-un șir de puncte de test, spațiate în mod egal între vârfuri. Fiecare punct este testat pentru vizibilitate față de fragmentele de suprafață care se află în interiorul aceleiași arii de explorare cu punctul de testare. Ori nici un fragment din suprafață nu acoperă punctul de testare, în care caz punctul de test este vizibil, ori cel puțin un fragment acoperă punctul de testare, în care caz este invizibil (se compară coordonata z a punctului de

test cu coordonatele z ale planurilor asociate fiecărui fragment de suprafață din lista asociată ariei curente de explorare). Dacă toate punctele care se află de-a lungul muchiei fragmentului sunt vizibile, întreaga muchie se trasează. Dacă se constată că unele puncte sunt invizibile, sunt trasate numai acele secțiuni ale muchiei fragmentului care se află între punctele vizibile de test.

5.2.4 Algoritmi hibrizi: algoritmi cu listă de prioritate

Algoritmii cu listă de prioritate determină ordinea vizibilității obiectelor. De exemplu, dacă nici un obiect nu se suprapune cu altul în extensiile după z , atunci este necesară doar o sortare a obiectului în ordinea crescătoare a lui z și trasarea lor în ordine. Poligoanele mai apropiate acoperă ulterior poligoanele mai îndepărtate deja trasate. Dacă obiectele se suprapun în extensiile lor după axa z este necesară împărțirea lor în mai multe obiecte astfel încât ordonarea menționată să fie posibilă.

Un algoritm de acest tip este *hibrid*, deoarece combină operații în spațiul obiect cu operații în spațiul imagine. Comparările și împărțirea obiectelor se realizează cu precizie obiect. Conversia scan care permite rescrierea pixelilor este realizată cu precizie imagine. Deoarece lista obiectelor sortate este creată cu precizie obiect, se poate realiza o retrasare corectă la orice rezoluție.

Algoritmii cu listă de prioritate diferă în modalitatea în care se determină ordinea obiectelor.

Algoritmul de sortare în adâncime

Algoritmul de sortare în adâncime (*depth-sort*), cunoscut și sub numele de *algoritmul pictural* sau algoritmul *Newell-Newell-Sancha*, convertește poligoanele unei reprezentări poliedrale în *frame-buffer* în ordinea descrescătoare a distanței de la observator. Se parcurg trei etape:

- se sortează poligoanele conform ordinii crescătoare a valorii z celei mai mici a vârfurilor (sortare în spațiu-obiect);
- rezolvă orice ambiguitate cauzată de suprapunerea extensiilor z (comparare în spațiu- imagine) prin descompunerea poligoanelor la nevoie;
- se transpun prin baleiaj, pe rând, poligoanele pe ecran, în ordinea crescătoare a celei mai mici coordonate z . Poligoanele îndepărtate sunt primele transpuse pe ecran. Cele mai apropiate le maschează prin suprascriere.

Compararea dintre două poligoane presupune cinci nivele de testare (eliminatorii). Dacă extinderile z a două poligoane consecutive P_1 și P_2 din lista sortată se suprapun, atunci:

- (1) Se compară extinderile după x . Dacă sunt disjuncte, poligoanele nu se suprapun;
- (2) Se compară extinderile după y . Dacă sunt disjuncte, poligoanele nu se suprapun;
- (3) Se testează dacă P_1 este în partea opusă observatorului față de planul lui P_2 . Se determină ecuația planului lui P_2 . Planul împarte spațiul în 2 zone. Dacă P_1 este în întregime în zona mai îndepărtată, atunci este transpus primul pe ecran;

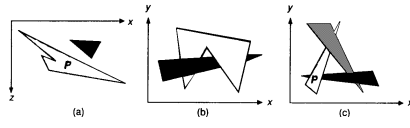


Figura 5.30: Cazuri în care extinderile după z a poligoanelor se suprapun

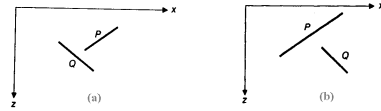


Figura 5.31: (a) Testul 3 este fals, dar testul 4 este adevărat (b) Testul 3 este adevărat

- (4) Se testează dacă P_2 este de aceeași parte cu observatorul față de planul lui P_1 . Se determină ecuația planului lui P_1 . Dacă P_2 se află în întregime în zona mai apropiată de observator, P_1 este transpus pe ecran;
- (5) Se testează dacă proiecțiile poligoanelor în planul (x, y) nu se suprapun. Dacă nu se suprapun, P_1 poate fi trasat înaintea lui P_2 (figurile 5.30 și 5.31).

Dacă cele 5 teste relativ la faptul că P_1 nu acoperă pe P_2 se termină cu succes, trebuie testat următorul poligon care se suprapune în extinderea z cu P_1 . Dacă unul din teste eșuează, se presupune pe moment că P ascunde pe Q și de aceea trebuie testat dacă Q poate fi trasat înaintea lui P . Testele 1, 2 și 5 nu trebuie repetate, se repetă numai testele 3 și 4 în variantă modificată. În cazul figurii 5.30.a, testul 3 modificat va avea succes. În cazul figurii 5.30.b, testele sunt neconcludente; unul dintre poligoane trebuie divizate de planul celuilalt, astfel încât poligonul ce se divizează se șterge din listă, fiind înlocuit cu părțile sale. În cazul figurii 5.30.c se va crea o buclă în algoritm deoarece între fiecare două poligoane se poate stabili o ordine. Pentru a evita ciclarea poligonul introdus ultimul în listă va fi marcat. Dacă primele cinci teste au eșuat și poligonul curent P_2 este marcat, atunci nu se aplică testele 3 și 4 modificate, ci se divide P_1 sau P_2 . Dacă cele toate testele eșuează, se compară proiecțiile celor două poligoane. Se calculează intersecțiile latură cu latură ale celor 2 proiecții. Dacă cel puțin una din intersecții este simultan inclusă în laturile ambelor poligoane, atunci poligoanele se suprapun, se determină intersecția celor două poligoane și fiecare poligon este înlocuit în listă prin poligoanele componente. În caz contrar, poligoanele nu se maschează unul pe altul și se transpun pe ecran în oricare ordine.

Algoritmul arborelui binar de partiționare spațială (BSP)

Este o metodă extrem de eficientă pentru determinarea relațiilor de vizibilitate între grupuri statice de poligoane tridimensionale. Este indicată utilizarea în special în cazul în care poziția observatorului se schimbă, nu însă și poziția obiectelor. Se bazează pe următoarea observație. Dacă un plan separă o grup de poligoane de alte grup, iar grupul este de aceeași parte a planului cu observatorul, atunci grupul poate ascunde, dar nu poate fi ascuns de celelalte grupuri. Fiecare grup poate fi subdivizat dacă se aleg plane corespunzătoare de separare. Partiționarea mediului poate fi reprezentată printr-un arbore binar cu rădăcina în primul plan de partiționare ales. Nodurile interne sunt de asemenea plane de partiționare; nodurile terminale sunt regiuni în spațiu.

Algoritmul permite determinarea ordinii corecte pentru convertirea poligoanelor prin construirea unui arbore binar de poligoane, numit arborele BSP. Rădăcina acestui arbore este un poligon care este utilizat pentru a împărți mediul în două semispații. Un semispațiu va conține toate poligoanele rămase în fața poligonului rădăcină, relativ la normala la suprafață; celălalt subspațiu conține poligoanele din spatele poligonului rădăcină. Orice poligon care are părți în ambele subspații va fi divizat relativ la planul poligonului rădăcină. Câte unul dintre poligoanele frontale și de spate vor deveni fii nodului rădăcină și fiecare fiu este utilizat recursiv pentru a determina subgrupuri de poligoane relative la planele fiilor. Construcția arborelui se termină când fiecare nod conține numai un singur poligon (figura 5.32).

Odată construit arborele, acesta poate fi traversat într-o manieră asemănătoare inordinii pentru a stabili prioritatea de afișare a poligoanelor dintr-un punct arbitrar de vedere. Dacă observatorul este în semispațiul frontal al poligonului rădăcină, atunci algoritmul trebuie să afișeze prima dată poligoanele din spatele poligonului rădăcină (care pot fi acoperite de acesta), apoi poligonul rădăcină și în final poligoanele din semiplanul frontal (care pot acoperi poligonul rădăcină). În mod similar se procedează în cazul când observatorul este în semispațiul din spatele rădăcinii (ordinea de afișare a subarborilor acesteia este inversată).

Dacă poligonul este văzut numai ca o muchie în proiecție ordinea de afișare a subarborilor stânga-dreapta nu contează (figura 5.33).

```
type
  BSP_tree=record
    root : polygon
    backChild, frontChild : ^ BSP_tree
  end;
function BSP_makeTree(poly : listOfPolygons) : ^ BSP_tree;
var
  root : polygon;
  backList, frontList : listOfPolygons;
  p, backPart, frontPart : polygon; {poligoane convexe}
begin
  if polyList este vidă then
    BSP_makeTree:=nil
  else
```

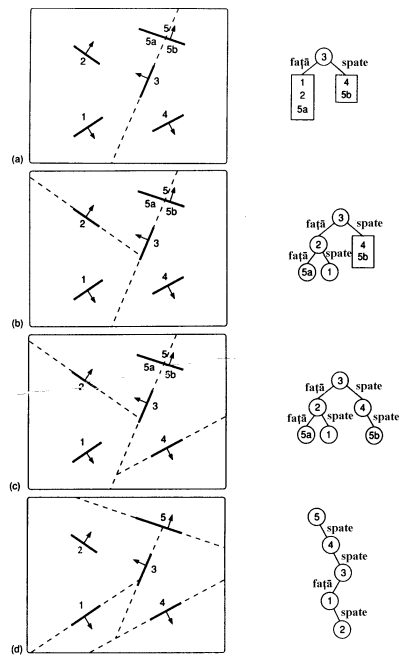



Figura 5.32: Arbore BSP (a) înainte recursiei cu poligon 3 ca rădăcină (b) construire subarbore stâng (c) complet (d) arbore cu polig.5 ca rădăcină

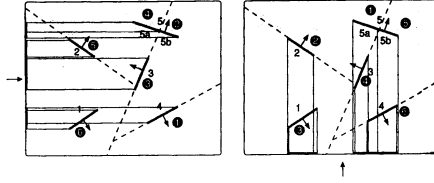


Figura 5.33: Două traversări ale arborelui BSP corespunzătoare la două proiecții diferite

```

begin
  root :=BSP_selectAndRemovePoly(polyList);
  backList :=nil; frontList :=nil;
  for fiecare poligon rămas în polyList
    begin
      if poligon p în fața rădăcinii then
        BSP_addToList(p, frontList)
      else if poligon p în spatele rădăcinii then
        BSP_addToList(p, backList)
      else { Poligonul p trebuie divizat}
        begin
          BSP_splitPoly(p, root, frontPart, backPart);
          BSP_addToList(frontPart, frontList);
          BSP_addToList(backPart, backList)
        end
      end;
    BSP_makeTree:=BSP_combineTree(BSP_makeTree(
      frontList), root, BSP_makeTree(backList))
    end
  end;
procedure BSP_displayTree(tree : ^BSP_tree);
begin
  if arbore nu este vid then
    if observator în fața rădăcină then
      begin
        BSP_displayTree(tree^.backChild);
        displayPolygon(tree^.root);
        BSP_displayTree(tree^.frontChild)
      end
    else
      begin
        BSP_displayTree(tree^.frontChild);

```

```

        displayPolygon(tree^.root);
        BSP_displayTree(tree^.backChild)
    end
end;

```

5.2.5 Algoritmul drumului optic (ray-tracing)

Algoritmul **ray-tracing** determină vizibilitatea suprafețelor trasând o rază imaginară de lumină de la ochiul observatorului la obiectele din scenă. Sunt date un centru al proiecției (ochiul observatorului) și o fereastră într-un plan arbitrar.

Fereastra este divizată într-o grilă dreptunghiulară ale cărei elemente corespund pixelilor din imaginea finală. Pentru fiecare element al grilei din fereastră, raza vizuală este trasată de la centrul proiecției prin centrul elementului spre scenă (figura 5.34). Pixelul corespunzător elementului se aprinde conform informațiilor obiectului care este intersectat primul (prototipul algoritmilor spațiu-imagine). Raza este definită parametric. Pentru fiecare obiect este necesară o reprezentare care permite determinarea cu ușurință a intersecției cu raza.

Algoritmul **ray-tracing** poate fi sintetizat astfel:

```

selectează centrul proiecției și fereastra din planul de proiecție
for fiecare linie de baleiaj în imagine do
  for fiecare pixel din linia de baleiaj do
    begin
      determină raza de la centrul de proiecție până la pixel;
      for fiecare obiect din scenă do
        if obiectul este intersectat și este cel mai apropiat
           până în acest moment then
          reține intersecția și numele obiectului
        setează culoarea pixelului la cea a obiectului cel mai apropiat
      end;
    end;
  end;
end;

```

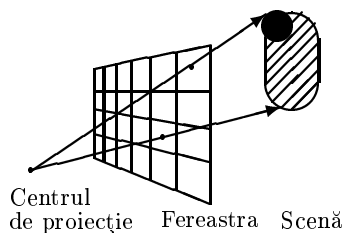


Figura 5.34: Algoritmul drumului optic

Problema principală asociată cu acest algoritm este timpul de calcul al intersecțiilor. Pentru o imagine 1024×1024 a 100 de obiecte este necesară calcularea a 100M de intersecții. În consecință, îmbunătățirea eficienței algoritmului presupune fie accelerarea, fie evitarea calculului de intersecții.

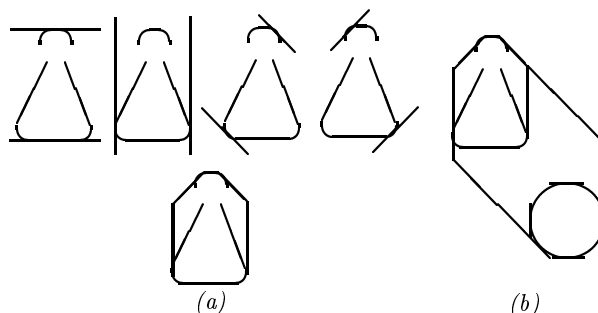


Figura 5.35: (a) Plăcile infinite ce încadrează un obiect bidimensional (b) Ierarhia volumelor

Dacă algoritmul **z-buffer** calculează informația numai pentru acele obiecte care se proiectează pe pixel, algoritmul **ray-tracing** intersectează (teoretic) fiecare rază cu fiecare obiect al scenei. Algoritmul **z-buffer** aproximează obiectele ca mulțimi de valori z în lungul liniilor de proiecție ce intersectează obiectul, pe când algoritmul **ray-tracing** aproximează obiectele ca mulțimi de intersecții în lungul fiecărei linii de proiecție ce intersectează scena.

Optimizarea calculelor de intersecții

Volumele mărginite oferă o modalitate atractivă de descreștere a timpul necesar calculelor de intersecții. Un obiect care este relativ greu de testat la intersecție cu o rază poate fi inclus într-un volum a cărui intersecții se pot calcula cu mai multă ușurință (precum o sferă, un elipsoid, un solid rectangular). Obiectul nu trebuie testate pentru intersecție dacă raza nu intersectează volumul său de mărginire. Un volum de mărginire poate fi, de exemplu, și un poliedru convex definit prin perechi de plane paralele ce mărginesc obiectul (figura 5.35.a).

Evitarea calculelor de intersecții

Se aplică o tehnică de preprocesare pentru partiționarea razelor și obiectelor în clase pentru a limita numărul de intersecții cerute, pe bază de: *ierarhie*, *partiționare* sau *modelarea obiectelor prin CSG*.

Ierarhie. Volumele mărginite pot fi organizate într-o *ierarhie* cu obiectele scenei la nivelul inferior și volume mărginite ca noduri interne (figura 5.35.b). Un volum-fiu nu va intersecta o rază dacă volumul-tată nu o intersectează. Astfel testul de intersecție începe cu rădăcina și multe ramuri ale ierarhiei sunt respinse ușor. Procedura poate fi îmbunătățită printr-o evidență a intersecțiilor corespunzătoare unei raze. Schematizat, parcurgerea ierarhiei se face astfel:

```

procedure HIER_traverse( $r$  : ray;  $n$  : node)
begin
    if  $r$  intersectează volumul mărginit a lui  $n$  then
        if  $n$  este nod terminal then
            intersectează  $r$  cu obiectul  $n$ 

```

```

    else
        for fiecare fiu c a lui n do
            HIER_traverse(r, c)
        end;
    end;

```

Această procedură poate fi modificată ținând seama că scopul traversării este găsirea celei mai apropiate intersecții a razei cu obiectele scenei

```

Procedura KayKajiva;
var
    p: ^obiect;
    t: float;
    c: ^nod;
begin
    t := ∞; p := nil;
    if raza intersectează volumul mărginit a rădăcinii then
        inserează rădăcina în coadă;
    while coada este nevidă și distanța la nodul top < t do
        begin
            c := nod_top eliminat din coadă;
            if c este nod terminal then
                begin
                    intersectează raza cu obiectul c;
                    if raza se intersectează cu obiectul
                        iar distanța până la intersecție < t then
                            begin
                                t := distanța;
                                p := obiect
                            end
                        end
                    end
                else
                    for fiecare fiu c do
                        begin
                            intersectează raza cu volumul de mărginire;
                            if raza intersectează volumul then
                                inserează fiul în coadă
                            end
                        end
                    end
                end
            end;

```

Partiționare. Ierarhia volumelor mărginite organizează obiectele de jos în sus, iar *partiționarea* divide spațiul de sus în jos. Se determină prima dată volumul care mărginește scena. Acest volum este divizat în subvolum egale, fiecărei partiții fiindu-i asociată o listă de obiecte pe care le conține parțial sau în întregime. Se vor căuta intersecțiile numai cu acele obiecte care se află în volumele prin care trece raza. În cazul intersecției unui corp cu raza este necesar testul de apartenență a punctului de intersecție la partiție. De exemplu, în figura 5.36, obiectul *B* este intersectat este intersectat în partiția 3 deși este întâlnit în partiția 2. Pentru a nu efectua intersecțiile unui corp cu raza de mai

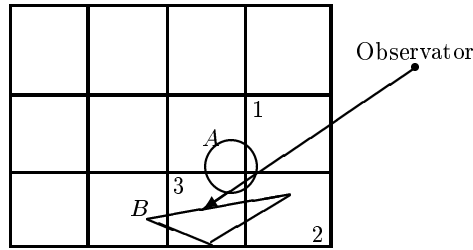


Figura 5.36: Divizarea volumului care mărginește scena

multe ori este necesară întreținerea unei liste a intersecțiilor funcție de obiect. Dacă obiectele nu sunt uniform distribuite în spațiu este de preferat utilizarea unei subdiviziuni adaptive a scenei care produce partiții inegale (de exemplu, utilizând arbori octali). Partiționarea spațială și ierarhia pot fi folosite împreună pentru a combina avantajele (de exemplu, ierarhii cu noduri interne tip listă sau grile tridimensionale).

Modelare prin CSG. Dacă obiectele sunt modelate prin CSG, intersecția fiecărei raze cu obiectele primitive conduce la o mulțime de valori t , fiecare specificând un punct în care raza intră sau iese din obiect. Astfel fiecare t definește începutul unui interval în care raza este fie în interiorul, fie în exteriorul obiectului. Dacă obiectul este obținut prin operații booleene din mai multe primitive, intervalele de intersecție ale razei cu obiectul compus se pot obține aplicând aceleași operații booleene asupra intervalelor de intersecție cu primitivele din care este compus obiectul (figura 5.37). Fiecare obiect compus este descris printr-un arbore în care nodurile terminale sunt primitivele, iar nodurile intermediare, operațiile booleene. Dacă nu există o intersecție a subarborului stâng cu raza, atunci obiectul nu se va intersecta cu raza în condițiile în care operația din nodul rădăcină este o diferență sau o intersecție.

Funcția `CSG_combine`, descrisă mai jos în pseudocod, preia două liste de puncte de intersecții și le combină într-o unică listă care este ordonată în funcție de t crescător.

```
function CSG_intersect
  (var raza : ^Ray; var nod : ^CSG_node): intervList
var
  leftIntersect, rightIntersect : intervList;
begin
  if nod este compus then
    begin
      leftIntersect := CSG_intersect(raza, nod^.leftChild);
      if (leftIntersect = nil) and (nod^.op <> union) then
        CSG_intersect := nil
      else
        begin
          rightIntersect := CSG_intersect(raza, nod^.rightChild);
          CSG_intersect := CSG_combine(nod^.op,
            leftIntersect, rightIntersect)
```

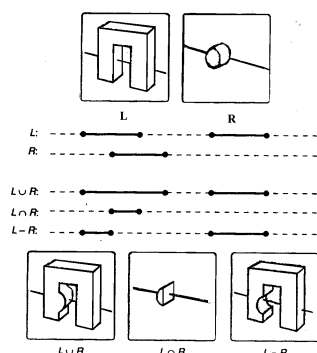


Figura 5.37: Combinarea intervalelor de intersecție rază-obiect

```

    end
  end
else
  CSG_intersect:=intersecțiile obiectului cu raza
end;

```

Supra-eșantionarea

Fenomenul de **aliasing** spațial poate apărea datorită rezoluției insuficiente a rețelei de eșantionare. Problema este rezolvabilă prin mărirea rezoluției rețelei doar în mod relativ: dacă se mărește dimensiunea unui ochi al rețelei, deci și a imaginii, efectul reappare.

Obiectele prea mici relative la dimensiunea unui ochi (al rețelei) pot adesea „scapa” rețelei de eșantionare (figura 5.38). Oricât de multe raze (oricât de dese) de eșantionare se folosesc, ar putea exista obiecte mai mici decât distanța dintre raze. Pe de altă parte, s-ar putea afirma că, dacă un obiect este atât de mic încât nu poate fi depistat de razele de eșantionare, atunci nu are importanță dacă apare în imagine sau nu.

O soluție posibilă, simplă din punct de vedere conceptual, pentru problema de mai sus, constă în utilizarea mai multor raze care trec prin același pixel, culoarea finală fiind o medie a culorilor acestor raze. Supra-eșantionarea este

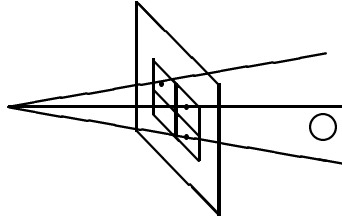


Figura 5.38: Obiect prea mic pentru a fi intersectat de razele de eșantionare

însă extrem de costisitoare: dacă factorul de multiplicare al razelor pentru un pixel este n , atunci timpul de trasare crește de cel puțin n ori. Pentru a evita „scăparea” unor obiecte printre razele ce trec prin poziții fixe, se poate utiliza o distribuție aleatoare a razelor (dar uniformă) peste regiunea corespunzătoare pixelului, prin *supra-eșantionare stohastică*.

Algoritmul de supra-eșantionare adaptivă pornește de la o reprezentare prin cinci raze (figura 5.39). Dacă fiecare din razele de start au culori apropiate, se va utiliza media lor. Dacă razele de start diferă în culoare, atunci se subdivide pixelul în regiuni mai mici și se repetă pasul pentru fiecare nouă regiune. Astfel, multiplicarea razelor nu se face pe regiuni de culoare constantă, ci *adaptiv*, acolo unde apar variații. Se consideră că, în figura 5.39 (a), razele care trec prin A , D și E au culori similare, ceea ce nu poate fi afirmat și despre B , C și F . Regiunea mărginită de B și E este studiată mai în amănunțime. Se trasează noi raze prin F , G , H (figura 5.39.b). Se compară cele cinci culori. Presupunem că razele ce trec prin F , B , H și G au culori similare, mai puțin E cu G . Regiunea mărginită de G și E este studiată mai amănunțit. Se trasează trei noi raze, prin J , K și L din figura 5.39.c. Presupunem că toate razele noii regiuni au culori similare. Se revine la regiunea inițială, pentru a studia în amănunțime perechea de raze ce trec prin C și E . Se trasează două noi raze, prin M și N din figura 5.39.d. Presupunem că razele specifice noii regiuni au culori similare, mai puțin cele care trec prin C și M . Regiunea mărginită de aceste două puncte este analizată în amănunțime (figura 5.39.e). Presupunem că în noua subregiune nu există variații semnificative de culoare. Culoarea finală este determinată printr-o medie ponderată:

$$\begin{aligned} & \frac{1}{4} \left(\frac{A+E}{2} + \frac{D+E}{2} + \frac{1}{4} \left[\frac{F+G}{2} + \frac{B+G}{2} + \frac{H+G}{2} + \right. \right. \\ & \left. \left. + \frac{1}{4} \left\{ \frac{J+K}{2} + \frac{G+K}{2} + \frac{L+K}{2} + \frac{E+K}{2} \right\} \right] + \frac{1}{4} \left[\frac{E+M}{2} + \right. \right. \\ & \left. \left. + \frac{H+M}{2} + \frac{N+M}{2} + \frac{1}{4} \left\{ \frac{M+Q}{2} + \frac{P+Q}{2} + \frac{C+Q}{2} + \frac{R+Q}{2} \right\} \right] \right) \end{aligned}$$

Calcul de intersecții

Partea principală a oricărui pachet de programe pentru **ray-tracing** („inima”) o constituie un set de rutine de intersecție rază–obiect.

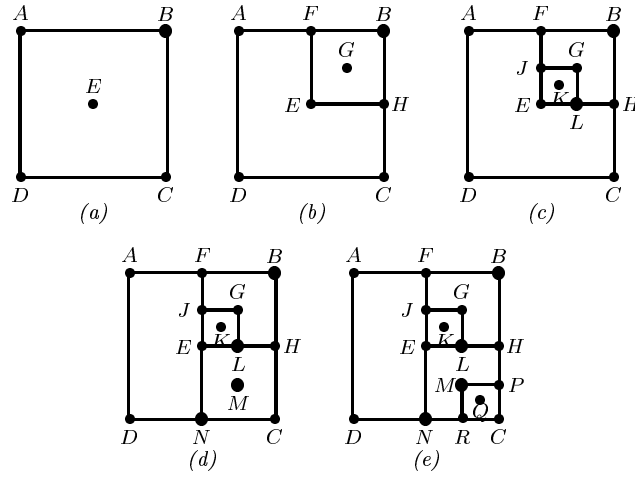


Figura 5.39: Pași într-un algoritm de super-eșantionare adaptivă

Intersecția razei cu o sferă – soluția algebrică. Fie raza definită prin $R_0(x_0, y_0, z_0)$ și direcție $D(x_d, y_d, z_d)$, vector normalizat, astfel încât ecuația parametrică (explicită) a razei este $R(t) = R_0 + t \cdot D$, $t > 0$. Sfera se definește prin centru $C(x_c, y_c, z_c)$ și rază r . Atunci ecuația intersecției corepund unui t ce verifică ecuația:

$$(x_0 + tx_d - x_c)^2 + (y_0 + ty_d - y_c)^2 + (z_0 + tz_d - z_c)^2 = r^2.$$

Soluțiile ecuației de grad doi sunt:

$$t_0 = \frac{-b - \sqrt{b^2 - 4c}}{2a}, \quad t_1 = \frac{-b + \sqrt{b^2 - 4c}}{2a},$$

unde $a = x_d^2 + y_d^2 + z_d^2 = 1$, $b = 2[x_d(x_0 - x_c) + y_d(y_0 - y_c) + z_d(z_0 - z_c)]$, $c = (x_0 - x_c)^2 + (y_0 - y_c)^2 + (z_0 - z_c)^2 - r^2$. Algoritmul de intersecție decurge astfel:

Pas 1: se calculează a , b , c (8 adunări/scăderi și 7 înmulțiri);

Pas 2: se calculează discriminantul ecuației în t (1 scădere, 2 înmulțiri și 1 comparație);

Pas 3: se calculează t_0 și se decide dacă soluția căutată, adică $t_0 > 0$ (1 scădere, 1 înmulțire, 1 radical și 1 comparație);

Pas 4: dacă $t_0 < 0$, atunci se calculează t_1 și se decide dacă e soluția căutată, adică $t_1 > 0$ (1 scădere, 1 înmulțire și 1 comparație);

Pas 5: se calculează componentele punctului de intersecție (3 adunări, 3 înmulțiri);

Pas 6: se calculează normala la suprafață în punctul de intersecție (3 scăderi, 3 înmulțiri).

Pentru cazul cel mai defavorabil se efectuează 17 adunări/scăderi, 17 înmulțiri, 1 radical, 3 comparații. Numărul de operații se poate reduce prin abordarea soluției geometrice.

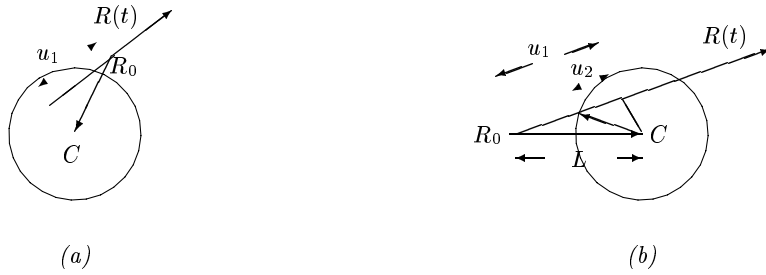


Figura 5.40: (a) O singură intersecție (b) Calculul valorilor u_i

Intersecția razei cu o sferă – soluția geometrică. Fie $L = |C - R_0|$. Dacă $L^2 < r^2$, originea razei este în interiorul sferei, iar dacă $L^2 \geq r^2$, originea este pe sferă sau exterioră sferei, astfel încât raza poate să nu intersecteze sfera. Problema determinării distanței minime de la rază la centrul sferei este echivalentă cu a găsi intersecția razei cu planul perpendicular pe rază și care trece prin C . Se notează cu u_1 produsul scalar $t_1 = (C - R_0) \cdot D$. Dacă $u_1 < 0$, atunci centrul sferei este "în spatele" lui R_0 (figura 5.40.a). Distanța minimă este $L^2 - u_1^2$. Se determină cantitatea $u_2 = r^2 - L^2 + u_1^2$. Dacă $u_2 < 0$, raza nu intersectează sfera (figura 5.40.b). Altfel, valoarea parametrului t corespunzător intersecției este

$$t = \begin{cases} u_1 - \sqrt{u_2}, & \text{rază cu origine exterioră sferei,} \\ u_1 + \sqrt{u_2}, & \text{rază cu origine interioară sferei.} \end{cases}$$

Algoritmul de intersecție bazat pe aceste calcule constă în următorii pași:

- Pas 1: determină L^2 (5 adunări/scăderi, 3 înmulțiri);
 - Pas 2: calculează u_1 (2 adunări, 3 înmulțiri);
 - Pas 3: test de exterioritate și îndepărtare: $u_1 < 0$ și $|L| \geq r$ (2 comparații);
 - Pas 4: determină u_2 (2 adunări/scăderi, 1 înmulțire);
 - Pas 5: test dacă $u_2 < 0$ (1 comparație);
 - Pas 6: calculează t corespunzător intersecției (1 adunare/scădere, 1 radical);
 - Pas 7: calculează coordonatele punctului de intersecție (3 adunări, 3 înmulțiri);
 - Pas 8: calculează normala în punctul de intersecție (3 adunări, 3 înmulțiri).
- În cel mai defavorabil caz se efectuează 16 adunări/scăderi, 13 înmulțiri, 1 radical, 3 comparații. Se observă reducerea numărului de operații față de soluția algebrică, fapt ce permite o procesare mai rapidă.

Intersecția razei cu un plan. Fie vectorul unitar normal la plan $P_n(a, b, c)$, iar d , distanța de la originea sistemului de coordonate la plan. Din ecuația planului $P_n \cdot (R_0 + tD) + d = 0$ rezultă t -ul intersecției

$$t = -\frac{P_n \cdot R_0 + d}{P_n \cdot D}.$$

Numitorul expresiei, $v_d = P_n \cdot D$, este o valoare decisivă pentru intersecție. Dacă $v_d = 0$, atunci raza este paralelă cu planul (deci nu intersectează planul).

Dacă $v_d > 0$, normala la plan se "îndepărtează" de rază și, dacă planele sunt considerate cu o singură față (exterior), atunci algoritmul se termină. Altfel, se calculează numărătorul expresiei lui t , $v_0 = -(P_n \cdot R_0 + d)$ și apoi $t = v_0/v_d$. Dacă $t < 0$, atunci linia definită de rază intersectează planul în spatele originii razei și, deci, nu există intersecția căutată. În mod obișnuit, normala la plan de care este nevoie în algoritm este cea aflată de aceeași parte a planului ca și raza. De aceea este necesară ajustarea semnului normalei P_n în funcție de relația sa cu vectorul de direcție D al razei. Astfel, P_n este înlocuit în ecuații cu $-P_n$ dacă $v_d < 0$. Algoritmul de intersecție constă în următorii pași:

Pas 1: se calculează v_d și se compară cu 0 (2 adunări, 3 înmulțiri, 1 comparare);

Pas 2: se calculează v_0 și t și se compară t cu 0 (3 adunări, 3 înmulțiri, 1 comparare);

Pas 3: se calculează coordonatele punctului de intersecție (3 adunări, 3 înmulțiri);

În total, în cel mai defavorabil caz, se efectuează 8 adunări/scăderi, 9 înmulțiri, 2 comparații.

Intersecția cu un paralelipiped. Acest tip de intersecție este util atât în cazul obiectelor paralelipipedice, cât și în cazul când obiecte complicate (complexe) sunt încadrate într-un paralelipiped (volume de marginire) cu care se testează intersecția și, în caz afirmativ, se încearcă determinarea intersecției cu obiectul în cauză. Ideea de bază constă în a considera un paralelipiped ca volumul obținut prin intersecția a trei perechi de plane paralele. Raza intersectează fiecare pereche de plane paralele într-un punct mai apropiat și într-un punct mai îndepărtat. Dacă cea mai mare dintre valorile apropiate este mai mare decât cea mai mică dintre valorile îndepărtate, atunci raza nu intersectează paralelipipedul (altfel, îl intersectează).

Fie un paralelipiped cu laturi paralele cu axele de coordonate, definit prin: punctul cel mai apropiat de origine, $B_1(x_1, y_1, z_1)$ și punctul cel mai îndepărtat de origine, $B_h(x_h, y_h, z_h)$.

Algoritmul de test al intersecției este următorul:

1. fie $t_{min} = -\infty$, $t_{max} = \infty$ (arbitrar de mari);
2. pentru fiecare pereche de plane paralele delimitatoare ale paralelipipedului (paralele cu axele x , y , z) se efectuează următoarele (exemplificare pentru cazul planelor paralele cu axa x):
 - (a) dacă $X_d = 0$, raza este paralelă cu planele și dacă X_0 nu se află între planele paralele ($X_0 < X_1$ sau $X_0 > X_h$), atunci nu există intersecție;
 - (b) altfel, raza nu este paralelă cu planele și
 - calculează distanțele până la intersecțiile cu planele: $t_1 = (X_1 - X_0)/X_d$, $t_2 = (X_h - X_0)/X_d$;
 - dacă $t_1 > t_2$, interschimbă t_1 cu t_2 ;
 - dacă $t_1 > t_{min}$, atunci $t_1 = t_{min}$;
 - dacă $t_2 < t_{max}$, atunci $t_2 = t_{max}$;
 - dacă $t_{min} > t_{max}$, atunci paralelipipedul nu este intersectat;
 - dacă $t_{max} < 0$, atunci paralelipipedul este în spatele razei;
 - (c) continuă cu alte perechi de plane

3. dacă testele de respingere de mai sus nu au succes, raza intersectează paralelipipedul în două puncte corespunzătoare lui t_{min} și t_{max} .

5.2.6 Comparații între algoritmi de vizibilitate

Algoritmi de vizibilitate pot fi clasificați după ordinea în care sortează informația. Algoritmul de sortare în adâncime efectuează o sortare după z , apoi după x și y (testele 1 și 2); astfel este numit un algoritm zxy . Algoritmul liniei de baleiaj sortează după y (o sortare în grup), apoi după x și în final se face o căutare în z a poligoanelor celor mai apropiate de observator; este un algoritm yxz . Algoritmul Warnock realizează consecutiv sortarea în x și y , apoi se face o căutare după z ; este un algoritm $(xy)z$. Algoritmul z -buffer nu realizează o sortare explicită după o anumită direcție; este un algoritm de tip (xyz) . Deoarece obiectele sunt, în general, egale în complexitatea în cele trei dimensiuni, algoritmi nu se pot ierarhiza, ca eficiență, pe baza sortării.

Algoritmi diferă de asemenea în modalitatea de utilizare a coerentelor (de exemplu, algoritmul liniei de baleiaj utilizează coerența liniilor de baleiaj).

Algoritmul de sortare în adâncime este eficient în cazul unui număr mic de poligoane (cu creșterea numărului de poligoane, testele de suprapunere sunt mai frecvente și subdivizarea poligoanelor este mai des cerută). Pe de altă parte, algoritmul z -buffer are o performanță constantă relativ la creșterea numărului de poligoane din scenă, deoarece numărul de pixeli acoperiți de un singur poligon descrește. Testele și calculele din metoda Warnock sunt relativ complexe, astfel încât în general implementările acestui algoritm sunt mai lente decât cele corespunzătoare metodelor de mai sus.

Alegerea unui algoritm de vizibilitate este de asemenea influențată de condițiile de vizualizare. Dacă se va aplica o procedură complicată de umbrire este de preferat un algoritm care trasează doar părți ale obiectelor (precum algoritmul liniei de baleiaj); în acest caz alegerea algoritmului de sortare în adâncime nu este prea fericită, deoarece obiectele se trasează în întregime. Dacă sistemul de vizualizare presupune interactivitate, atunci se preferă algoritmul z -buffer. Algoritmul arborelui BSP, pe de altă parte, poate genera foarte rapid imagini ale mediului static, dar necesită procesări adiționale dacă mediul se schimbă. Acomodarea la noi primitive este un avantaj al algoritmului liniei de baleiaj.

5.3 Iluminare și umbre

Pentru ca imaginea să fie cât mai realistă este utilă simularea iluminării obiectului precizând:

1. *sistemul de surse luminoase* cu care se face iluminarea (tipul surselor, poziția acestora în sistemul de referință adoptat),
2. *caracteristicile optice ale suprafețelor* – există astfel:
 - (a) zone mate, care dispersează lumina reflectând-o în mod egal în toate direcțiile (de exemplu, o bucată de cretă);
 - (b) zone lucitoare, care reflectă lumina numai după anumite direcții relative la observator și sursa de lumină (de exemplu, o oglindă);

- (c) zone transparente sau translucide cu fenomene de refracție și atenuare;

3. *poziția relativă a suprafețelor corpului și a sistemului de surse luminoase.*

Procese de eliminare a suprafețelor ascunse și simulare a iluminării se pot desfășura simultan.

5.3.1 Surse de lumină

Sursele de lumină pot fi *punctiforme* (punctuale) sau *distribuite*. Exemple de surse punctiforme sunt becurile cu incandescență, flăcările de dimensiuni mici. Ca exemplu de sursă distribuită se poate menționa tubul fluorescent. Sursele punctiforme produc un efect realist deoarece iluminarea unei suprafețe depinde de orientarea ei, mai precis de cosinusul unghiului dintre normala la suprafață în fiecare punct considerat pe aceasta și dreapta care unește punctul respectiv cu sursa. Iluminarea este mai puternică pentru suprafețe orientate perpendicular față de razele de lumină provenite de la sursă și scade odată cu înclinarea suprafețelor față de direcția luminii.

Pe lângă aceste tipuri de surse se pot întâlni situații în care obiectele sunt scăldate într-o lumină de intensitate în general moderată și care pare să vină din toate părțile - aceasta poartă numele de *lumină ambientă* (produs al reflexiilor multiple de la suprafețele aflate în scenă). Este cea mai ușor de modelat deoarece iluminarea suprafețelor este constantă și independentă de orientarea lor. Imaginea formată depinde astfel numai de intensitatea luminii ambiante și de proprietățile suprafeței corpului modelat. Acest tip de iluminare nu produce o imagine realistă (muchii de joncțiune ale poligoanelor cu aceleași proprietăți superficiale nu se pot distinge). În realitate este puțin probabil să se întâlnească situații în care un anumit corp să se afle numai în lumina ambientă.

Dacă sursa se află la o distanță suficient de mare de obiectul iluminat pentru ca razele incidente să fie considerate paralele între ele, iluminarea este *paralelă* sau *directională*. Prin acest procedeu poate fi modelată mai bine lumina solară. Pentru precizarea unei surse de lumină paralelă sunt suficiente intensitatea inițială, direcția și sensul de iluminare. Dacă în cazul iluminării cu surse punctiforme, distanța la sursă este o informație importantă, în cazul iluminării paralele influența ei devine nesemnificativă, intensitatea fiind practic invariantă cu distanța de la sursă.

Variațiile intensității luminoase pe suprafața unui obiect oferă informații importante cu privire la forma suprafeței respective. Informații suplimentare pot fi obținute prin analiza umbrelor pe care elemente ale corpului modelat le aruncă asupra unui fundal al imaginii sau asupra altor elemente ale aceluiași corp.

5.3.2 Modele de iluminare

Ecuția iluminării variază în funcție de tipul sursei luminoase.

Lumina ambientă. *Lumina mediului înconjurător (lumina ambientă)* se răsfrânge egal pe toate suprafețele și în toate direcțiile, astfel încât ecuația

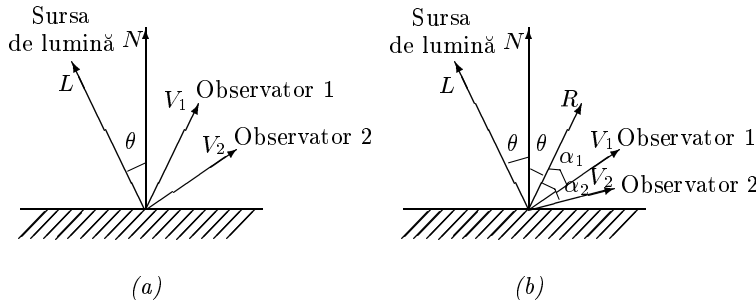


Figura 5.41: Iluminare (a) reflexie difuză (b) reflexie speculară

iluminării este

$$I = I_a k_a$$

unde I este intensitatea rezultată, I_a este intensitatea luminii ambiante, constantă pentru fiecare obiect, iar k_a este *coeficientul de reflexie ambiantă*, procentul în care suprafața reflectă lumina ambiantă (între 0 și 1), caracteristică a materialului.

Reflexie difuză (Lambertiană). Se consideră obiectul luminat de o sursă punctuală de lumină a cărei raze emană uniform în toate direcțiile ce pornesc de la un singur punct. Suprafețele mate au proprietatea de a împrăști lumina incidentă, prin reflexie difuză, în mod aproximativ egal după toate direcțiile posibile. Oriunde s-ar afla observatorul, o aceeași placă va avea o imagine de strălucire constantă. Intensitatea luminii reflectate de o anumită fațetă din reprezentarea poliedrală a unui corp este independentă în acest caz de poziția observatorului. Ea depinde numai de unghiul θ dintre direcția L de la sursa de lumină și normala la suprafață N (figura 5.41.a). Fațetele luminate după o direcție mai apropiată de normală vor reflecta lumina cu intensitate mai mare.

Intensitatea luminii reflectate se exprimă după *legea reflexiei cosinus*:

$$I = I_p k_d \cos \theta,$$

unde I este intensitatea luminii reflectate, I_p este intensitatea sursei de lumină punctuală, iar k_d este un coeficient care depinde de natura și proprietățile optice ale materialului ce produce reflexia difuză, numit *coeficient de reflexie difuză* (între 0 și 1). Dacă L și N sunt versorul direcției de propagare a luminii (raza incidentă) și, respectiv, versorul normalei la fațetă, atunci are loc egalitatea $I = I_p k_d (L \cdot N)$. Această relație nu ține seama de variația intensității luminoase în raport cu distanța la sursă. Astfel, proiecțiile a două suprafețe paralele de material identic se pot suprapune într-o imagine uniformă. Pentru o sursă punctiformă ideală, intensitatea luminoasă este invers proporțională cu pătratul distanței R dintre sursă și punctul în care se măsoară această intensitate. În majoritatea situațiilor reale, obiectele observate sunt scăldate și în lumină ambiantă, astfel încât ecuația iluminării este:

$$I = I_a k_a + (1/R^2) I_p k_d \cos \theta.$$

Sunt situații în care observatorul se află față de sursă la o distanță mult mai mică decât sursa luminoasă, ceea ce face ca influența lui R^2 să fie exagerată și imaginea nerealistă. Astfel, reprezentările cele mai realiste se obțin folosind formula

$$I = I_a k_a + I_p k_d \cos \theta / (d + D),$$

unde d este o cotă care dă depărtarea relativă a fațetei considerate de sursă (pentru cea mai apropiată față de sursă d se poate lua 0). D este termenul de atenuare și este un număr suficient de mare, astfel ales încât variația lui d pe domeniul său să provoace variația lui I în limitele dorite. Mai general,

$$I = I_a k_a + f_{at} I_p k_d \cos \theta,$$

unde f_{at} este *factorul de atenuare*. Lumina colorată este tratată scriind ecuațiile separat pentru fiecare componentă a modelului de culoare. Cele trei componente primare ale luminii I_{pR} , I_{pG} , I_{pB} sunt reflectate în proporțiile $k_d O_{dR}$, $k_d O_{dG}$, $k_d O_{dB}$. Tripletul (O_{dR}, O_{dG}, O_{dB}) definește componentele culorii obiectului în sistemul RGB. O_d este culoarea difuză a obiectului. De exemplu, pentru componenta roșie ecuația iluminării este

$$I_R = I_{aR} k_a O_{dR} + f_{at} I_{pR} k_d O_{dR} \cos \theta.$$

Reflexia speculară (selectivă). Este asociată cu suprafețele lucioase. Se consideră, de exemplu, un glob roșu metalizat din pomul de iarnă, sau un măr lustruit, iluminat cu o sursă punctiformă. Pe suprafața acestora se pot distinge zone de roșu închis, care reflectă lumina mai puțin intens, zone care reflectă lumina cu un roșu intens, precum și o mică zonă care apare albă și pare o sursă de lumină de aceeași natură cu lumina incidentă aflată pe suprafața obiectului. La schimbarea poziției observatorului pata de lumină își schimbă și ea poziția pe suprafața corpului. Această pată este produsul reflexiei selective sau speculare, în timp ce intensitățile provenind de la celelalte puncte de pe suprafața corpului sunt rezultatul reflexiei difuze.

Reflexia selectivă se produce deoarece suprafețele netede și lustruite reflectă lumina în mod inegal. O suprafață perfect lucioasă (o oglindă perfectă) reflectă lumina numai după direcția din planul de incidență pentru care unghiul de reflexie este egal cu cel de incidență (în direcția R , simetrică lui L față de N din figura 5.41.b). Se consideră α unghiul dintre direcția de observare V și direcția de reflexie speculară R .

Suprafețele pot fi și oglinzi imperfecte (de exemplu, obiectele din vinilin). Pentru astfel de suprafețe intensitatea reflexiei speculare scade brusc odată cu creșterea diferenței dintre unghiul de reflexie real și unghiul de incidență. Modelul empiric de simulare a reflexiei speculare presupune descreșterea intensității luminoase proporțional cu $\cos^m |\alpha|$ unde m este un număr natural nenul, care depinde de natura suprafeței iluminate, exponentul de reflexie speculară al materialului (de la 1 la ordinul sutelor). Pentru o oglindă perfectă, $m \rightarrow \infty$, astfel încât intensitatea reflectată este maximă pentru $\alpha = 0$. Se introduce noțiunea de factor de reflexie speculară, care este o funcție de unghiul de incidență θ , $S : [0, 90^\circ] \rightarrow [0, 1]$ și care arată ce fracție din intensitatea luminoasă incidentă este reflectată specular în cazul unei incidente θ . Ecuația iluminării este

$$I_\lambda = I_{a\lambda} k_a O_{d\lambda} + f_{at} I_{p\lambda} [k_d O_{d\lambda} \cos \theta + S(\theta) \cos^m |\alpha|],$$

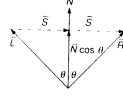


Figura 5.42: Calcularea vectorului de reflexie

unde $\lambda = R, G, B$. In modelul de iluminare Phong, $S(\theta)$ este setat pe $k_s O_{s\lambda}$, unde k_s este coeficientul de reflexie speculară cu valori între 0 și 1, iar $O_{s\lambda}$ este culoarea speculară a obiectului. Ecuația iluminării este, în acest caz,

$$I_\lambda = I_{a\lambda} k_a O_{d\lambda} + f_{at} I_{p\lambda} [k_d O_{d\lambda} (N \cdot L) + k_s O_{s\lambda} (R \cdot V)^n].$$

Vectorul R se calculează pe baza lui L și N (figura 5.42): $R = N \cos \theta + S$, iar $S = N \cos \theta - L$, deci $R = 2N(N \cdot L) - L$, iar $R \cdot V = (2N(N \cdot L) - L) \cdot V$. Dacă sursa de lumină este la infinit, $N \cdot L$ este constant pentru un poligon dat, pe când $R \cdot V$ variază de-a lungul poligonului. Pentru suprafețe curbe sau pentru o sursă de lumină la o poziție finită, ambele produse $N \cdot L$ și $R \cdot L$ variază de-a lungul suprafeței.

Dacă există m surse de lumină, atunci

$$I_\lambda = I_{a\lambda} k_a O_{d\lambda} + \sum_{i=1}^m f_{at_i} I_{p\lambda_i} [k_d O_{d\lambda} (N \cdot L_i) + k_s O_{s\lambda} (R_i \cdot V)^n].$$

Transparență. Modelele simple de transparență nu includ refracția (amestecarea) luminii printr-un solid transparent. Pentru simularea *transparenței nerefRACTATE* se utilizează două metode:

1. *transparență interpolată*: dacă poligonul transparent 1 se intercalează între observator și poligonul opac 2, ecuația iluminării este

$$I_\lambda = (1 - k_{t1}) I_{\lambda 1} + k_{t1} I_{\lambda 2},$$

unde k_{t1} este coeficientul de transparență al poligonului 1 (între 0 și 1). Dacă $k_{t1} = 0$, poligonul este opac și nu transmite lumină. Dacă $k_{t1} = 1$, poligonul este perfect transparent. Valoarea $1 - k_{t1}$ desemnează opacitatea poligonului;

2. *transparență filtrată*: poligonul 1 este un filtru transparent, astfel încât

$$I_\lambda = I_{\lambda 1} + k_{t1} O_{t\lambda} I_{\lambda 2},$$

unde $O_{t\lambda}$ este transparența culorii λ a poligonului 1.

Modele complexe includ refracția, transluciditatea difuză, atenuarea luminii cu distanța. Transparența cu refracție este un fenomen des întâlnit, dar greu de modelat (figura 5.43). Relația dintre unghiul de incidență θ_i și unghiul de refracție θ_t este dată de

$$\frac{\sin \theta_i}{\sin \theta_t} = \frac{\eta_{t\lambda}}{\eta_{i\lambda}}$$

unde $\eta_{i\lambda}$ și $\eta_{t\lambda}$ sunt indicii de refracție a materialelor prin care trece lumina.

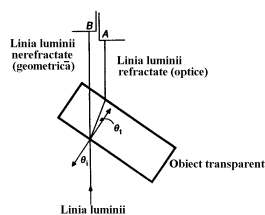


Figura 5.43: Refracție

5.3.3 Iluminarea reprezentărilor poliedrale

Metodele de modelare a iluminării reprezentărilor poliedrale cele mai des utilizate sunt următoarele:

1. metoda iluminării constante;
2. metoda interpolării intensității luminoase;
3. metoda interpolării normalei la suprafață.

Metoda iluminării constante. Această metodă presupune calcularea intensității o singură dată pentru fiecare poligon, deci unui poligon îi este caracteristică în condițiile precizate de iluminare și observare o anumită intensitate, constantă pe toată suprafața sa. Există situații pentru care calculele de iluminare se pot face cu viteză foarte mare și anume cele în care direcțiile normalelor la fațetele corpului sunt în număr mic, fațetele fiind în număr relativ mare, dar grupate în *clase de fațete paralele* (situație des întâlnită în scene arhitecturale). Pentru fiecare direcție din scenă se calculează intensitatea corespunzătoare. Fațetele se sortează în clase după direcțiile normalelor. Dacă nu se ține cont de variația iluminării cu distanța la sursă, atunci fiecare clasă se transpune pe ecran cu intensitatea calculată pentru direcția reprezentativă clasei respective. Dacă se ține seama de variația iluminării cu distanța, atunci fațetele din fiecare clasă se sortează în subclase după distanța la sursă, intensitatea corespunzătoare fiecărei subclase calculându-se prin incrementare.

Pentru ca o situație de observare reală să dea o imagine de tip iluminare constantă, e nevoie să fie îndeplinite trei condiții:

- (a) suprafața poliedrală este chiar suprafața corpului reprezentat și nu o aproximare a acestuia;
- (b) observatorul este la infinit astfel încât α să fie constant pentru fiecare suprafață poligonală;
- (c) sursa de lumină se află la infinit, (θ constant pentru fiecare suprafață poligonală).

Datorită acestor condiții, mai ales a doua, situația este rar întâlnită în practică.

Totuși, datorită simplității de calcul, metoda este cea mai folosită. Calculule pentru fiecare poligon se fac într-un singur punct interior privilegiat al acestuia, de obicei centrul de greutate.

Principalul dezavantaj al iluminării constante este acela că muchiile fațetelor poligonale sunt accentuate artificial datorită efectului de bandă Mach. Astfel, dacă fațeta A este luminată, iar fațeta B umbrită, zona de muchie a fațetei A va apărea puternic luminată măbind contrastul cu fațeta B (deci scoțând muchia în evidență), iar zona de frontieră a fațetei B apare mai umbrită. În cazul imaginilor monocrome, când umbra și lumina sunt simulate prin densitatea de puncte, efectul este mai puțin sesizabil.

Metoda interpolării intensității luminoase (algoritmul Gouraud) . Dă rezultate calitativ superioare, eliminând discontinuitățile de intensitate. Interpolarea vectorului de intensitate se face astfel:

- (a) se calculează normalele la fiecare poligon;
- (b) se calculează vectorii normali medii în fiecare vârf al poliedrului, adică se calculează în fiecare vârf media vectorilor direcțiilor normale la toate fațetele alăturate vârfului (figura 5.44);

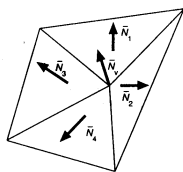


Figura 5.44: Media normalele la suprafețe constituie normala în vârf

- (c) se calculează în fiecare vârf intensitățile locale, folosind normalele medii anterior calculate;
- (d) pentru fiecare linie de baleiaj și pentru fiecare poligon se parcurg etapele următoare:
 - se calculează intensitățile locale în intersecțiile liniei de baleiaj cu laturile poligonului (extremitățile segmentului de linie situat în poligon) prin interpolare liniară între valorile corespunzătoare vârfurilor ce mărginesc laturile respective;
 - pentru fiecare pixel de pe segmentul de linie de baleiaj inclus în poligon se calculează intensitatea corespunzătoare prin interpolare liniară între valorile calculate la extremitățile segmentului, valorile obținute transpunându-se pe ecran.

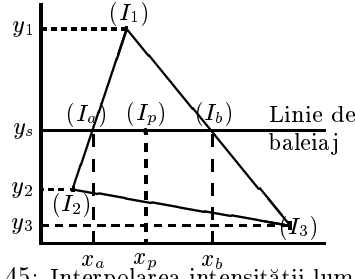


Figura 5.45: Interpolarea intensității luminoase

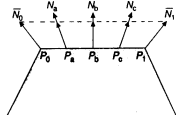


Figura 5.46: Interpolarea normalelor

De exemplu, pentru triunghiul din figura 5.45 intensitățile punctelor de pe linia de baleiaj sunt:

$$I_a = I_1 - (I_1 - I_2) \frac{y_1 - y_p}{y_1 - y_2}, \quad I_b = I_1 - (I_1 - I_3) \frac{y_1 - y_p}{y_1 - y_3}, \quad I_p = I_b - (I_b - I_a) \frac{x_b - x_p}{x_b - x_a}.$$

Se poate utiliza pentru creșterea eficienței algoritmului ecuații cu diferențe pentru diferite intensități de pe linii de scanare succesive.

Metoda interpolării normalei la suprafață (algoritmul Phong). Cele mai bune rezultate se obțin prin această metodă. După ce se calculează normalele medii locale în toate punctele care modelează corpul, se calculează, pentru fiecare segment de linie de baleiaj conținut într-o fațetă, normalele în extremități prin interpolare între normalele medii locale calculate în capetele laturii pe care se află fiecare extremitate (figura 5.46). Apoi se interpolează normala într-un pixel de pe linia de baleiaj, între normalele calculate în extremități (relațiile sunt analoage celor din metoda descrisă anterior, intensitățile fiind înlocuite cu vectori). Calculele sunt complicate căci normalele calculate sunt mărimi vectoriale și deci interpolarea se face după cele 3 componente ale vectorului considerat în sistemul de referință xyz . Intensitatea este calculată numai după determinarea în fiecare pixel a normalei locale. Metoda nu este indicată atunci când `display`-ul este monocrom (când este necesară simularea intensității prin densitate de puncte).

Interpolarea în algoritmi de iluminare se face după aplicarea transformării perspective, în coordonate 3D ale ecranului și nu în sistemul de coordonate a lumii înconjurătoare.

5.3.4 Umbre

Dacă iluminarea nu este frontală, atunci devin importante pozițiile surselor punctiforme și direcțiile după care se face iluminarea paralelă. Există posibilitatea ca părți vizibile ale corpului să nu fie iluminate, fiind umbrite de alte părți. Pentru reprezentarea corectă a umbrelor în cazul iluminării cu surse punctiforme, calculele de vizibilitate pentru corpul considerat se fac de două ori: din poziția observatorului și din poziția sursei. Pentru fiecare punct al unei suprafețe se urmărește:

- (a) dacă este văzut atât de sursă cât și de observator, atunci pixelul este vizibil și luminat de sursă;
- (b) dacă nu se vede din poziția observatorului, atunci pixelul este invizibil;
- (c) dacă se vede din poziția observatorului, dar nu se vede din poziția sursei, atunci este vizibil, dar umbrit.

Dacă un punct al unei suprafețe nu poate fi văzut de sursa de lumină, calculele de iluminare trebuie să fie ajustate pentru ca să țină seama de acest fapt. Astfel ecuația iluminării devine:

$$I_{\lambda} = I_{a\lambda} k_a O_{d\lambda} + \sum_{i=1}^m s_i f_{at_i} I_{p\lambda_i} [k_d O_{d\lambda} (N \cdot L_i) + k_s O_{s\lambda} (R_i \cdot V)^n].$$

unde

$$s = \begin{cases} 0 & \text{dacă lumina } i \text{ este blocată în acest punct} \\ 1 & \text{dacă lumina } i \text{ nu este blocată în acest punct} \end{cases}$$

Algoritmii pentru determinarea umbrelor, respectiv a vizibilității, sunt de fapt aceiași.

Cele mai des utilizate metode sunt următoarele:

1. generarea la conversia scan a umbrelor;
2. utilizarea algoritmilor de vizibilitate cu două parcurgeri.

Generarea scan a umbrelor. Pentru o reprezentare poliedrală, utilizând sursa de lumină drept centru al proiecției, laturile poligoanelor care potențial produc umbre sunt proiectate pe poligoanele care intersectează linia curentă de baleiaj. Când linia de baleiaj intersectează una din laturile acestor poligoane de umbră, culoarea imaginii este modificată (figura 5.47). O implementare brută a acestui algoritm presupune calculul proiecțiilor fiecărui poligon pe oricare alt poligon. Se poate introduce o fază de preprocesare în care toate poligoanele reprezentării sunt proiectate pe o sferă centrată în sursa de lumină. Perechile de proiecții ale căror extensii nu se suprapun pot fi eliminate.

Utilizarea algoritmilor spațiu-obiect cu două parcurgeri. Se determină în primul rând suprafețele vizibile din punctul de vedere al sursei de lumină, ieșirea fiind o listă de poligoane luminate, fiecare asociat cu numărul de identificare a poligonului din care provine. Se aplică apoi algoritmul din punctul de vedere al observatorului, utilizând o copie a bazei de date anterior create, rezultând în final o nouă listă de poligoane. Algoritmul **Weiler-Atherton** poate fi utilizat cu succes.

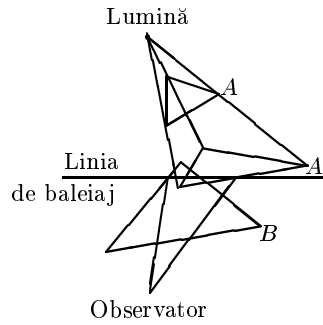


Figura 5.47: Poligonul A produce umbra A' în planul poligonului B

Utilizarea algoritmilor spațiu-imagine cu două parcurgeri. Se consideră, de exemplu, algoritmul *z-buffer*. Algoritmul pornește cu calcularea și stocarea *z-buffer*-ului pentru imaginea văzută din punctul de vedere al sursei de lumină. Apoi *z-buffer*-ul și imaginea sunt calculate din punctul de vedere al observatorului utilizând un algoritm *z-buffer* cu următoarele modificări: dacă un pixel este clasificat ca fiind vizibil, coordonatele sale în sistemul observatorului (x_0, y_0, z_0) sunt transformate în coordonate în sistemul sursei de lumină (x'_0, y'_0, z'_0) . Coordonatele x'_0 și y'_0 sunt utilizate pentru a selecta valoarea z_L din *z-buffer*-ul sursei de lumină cu scopul de a fi comparată cu valoarea transformată z'_0 . Dacă z_L este mai apropiat de lumină decât z'_0 , atunci există ceva care blochează lumina de la punct, iar pixelul este umbrat; altfel punctul este vizibil de către sursa de lumină. *z-buffer*-ul sursei de lumină poate fi privit ca un *buffer* de umbră. Algoritmul poate fi ușor adaptat la cazul surselor de lumină multiple.

5.3.5 Implementarea transparenței

Adăugarea efectelor de transparență în momentul în care se utilizează un algoritm de tip *z-buffer* este destul de dificilă, deoarece poligoanele sunt transpuse în ordinea în care sunt întâlnite. *z-buffer*-ul nu conține informația care poligoane transparente se află în fața unor poligoanelor opace, și informația relativă la ordinea poligoanelor. Pentru a rezolva această problemă se propune următorul algoritm (a lui Mannen). În primul rând sunt procesate poligoanele opace cu un *z-buffer* convențional. Apoi obiectele transparente sunt procesate într-o mulțime separată de *buffer* care conțin, pentru fiecare pixel, o valoare a transparenței și un bit special, în completare la culoarea pixelului și valoarea z . Bitul este inițializat pe "off" și fiecare valoare z este setată pe o valoare corespunzătoare poziției celei mai apropiate posibilă. Dacă valoarea z a obiectului transparent este mai apropiată decât valoarea *z-buffer*-ului opac, dar este mai departe decât valoarea din *z-buffer*-ul de transparență, atunci culoarea, valoarea z , și transparența sunt salvate în *buffer*ele de transparență, iar bitul este setat pe "on". După ce toate obiectele au fost procesate, *buffer*ele obiectelor transparente conțin informația celui mai depărtat obiect transparent pentru fiecare pixel a cărui bit este setat. Informația pentru pixelii cu bitul setat este amestecată cu cea a *frame-buffer*-ului și *z-buffer*-ul original. Valoarea z de

transparență a pixelului cu bitul setat va înlocui valoarea z din z -buffer-ul opac și bitul este resetat. Acest proces se repetă pentru a transpune succesiv obiecte mai apropiate pe fiecare pixel.

5.3.6 Metoda recursivă a drumului optic

Pentru a determina culoarea unui pixel, trebuie constituită o listă a tuturor razelor de lumină care pleacă din punctul de pe primul obiect intersectat de dreapta de la ochi la pixel, culoarea pixelului fiind o combinație a culorilor acestor raze. De exemplu, o rază de lumină roșie și o rază verde care cad amândouă într-un punct al unui obiect, pot constitui împreună o singură rază galbenă ce pleacă din respectivul punct înspre ochi.

Razele de lumină pot fi clasificate astfel:

- (a) raze directe, care duc lumina prin pixel la ochi;
- (b) raze de iluminare sau umbre, care duc lumina de la sursă la un obiect;
- (c) raze reflectate de obiecte;
- (d) raze de transparență, care trec printr-un obiect transparent.

Culoarea luminii radiate de un punct de pe suprafața unui obiect (într-o anumită direcție) este, în esență, funcție de combinația luminii ce provine de la:

1. surse de lumină,
2. alte obiecte ce reflectă lumina,
3. lumina transmisă prin obiecte.

Pentru a afla culoarea luminii reflectate și a celei transmise trebuie determinate obiectele de la care provine această lumină. Pe de altă parte, culoarea luminii care pleacă de la oricare dintre aceste obiecte se determină în același mod, de unde rezultă caracterul *recursiv* al calculelor.

Algoritmul **ray-tracing** de bază poate fi extins pentru a trata umbrele, reflexie și refracție. Algoritmul de bază determină culoarea pixelului la cea mai apropiată intersecție a razei vizuale. Pentru a calcula umbrele se trasează raze adiționale de la punctul de intersecție la fiecare din sursele de lumină. Dacă una dintre aceste raze intersectează un obiect în calea sa, atunci obiectul inițial este umbrat în acel punct de intersecție cu raza vizuală, iar algoritmul de iluminare ignoră contribuția sursei de lumină spre care raza a fost blocată. Fiecare rază de relecție și refracție pot produce recursiv alte raze reflectate și refractate (figura 5.48). Astfel razele formează un arbore, precum cel din figura 5.49. O ramură a acestui arbore este terminală dacă razele reflectate sau refractate nu intersectează un alt obiect, sau o anumită adâncime prestabilită a fost atinsă.

Modelul de iluminare poate fi extins pentru a include și reflexia speculară și transparența refractată:

$$I_{\lambda} = I_{a\lambda} k_a O_{d\lambda} + \sum_{i=1}^m s_i f_{at_i} I_{p\lambda_i} [k_d O_{d\lambda} (N \cdot L_i) + k_s (N \cdot H_i)^n] + k_s I_{r\lambda} + k_t I_{t\lambda}$$

unde $I_{r\lambda}$ este intensitatea razei reflectate, k_t este coeficientul de transmisie, cu valori între 0 și 1, iar $I_{t\lambda}$ este intensitatea razei transmise prin refracție.

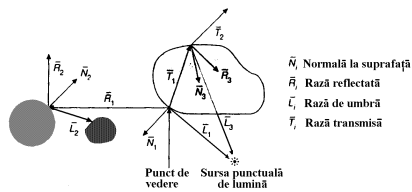


Figura 5.48: Recursivitatea razei

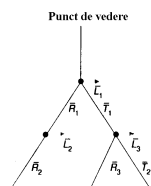


Figura 5.49: Arborele razei

Valorile $I_{r\lambda}$ și $I_{t\lambda}$ sunt determinate prin evaluarea recursivă a ecuației de mai sus la cea mai apropiată suprafață care este intersectată de razele reflectate și transmise.

În cele ce urmează sunt prezentate, în pseudocod, elementele principale ale unui algoritm **ray-tracing** recursiv. **RT_trace** determină cea mai apropiată intersecție pe care raza vizuală o realizează cu un obiect și apelează **RT_shade** pentru a determina culoarea punctului. În primul rând **RT_shade** determină culoarea ambientală a intersecției. Apoi o rază este schițată până la fiecare sursă de lumină pentru a determina contribuția sa la culoare. Un obiect opac blochează total lumina, pe când un obiect transparent scalează contribuția sursei de lumină. Apelurile recursive la **RT_shade** tratează razele de reflexie pentru obiecte reflective și razele de refracție pentru obiectele transparente. **RT_trace** reține arborele razei numai atâta timp cât este necesar pentru determinarea culorii pixelului curent.

```

selectează centrul de proiecție și fereastra în planul de proiecție
for fiecare linie de scanare do

```

```

    for fiecare pixel din linia de scanare do
        begin
            determină raza de la centrul de proiecție la pixel;
            pixel := RT_trace(raza, 1)
        end;
Procedure RT_trace(raza: RT_ray; adâncimea: integer): RT_color;
begin
    determină cea mai apropiată intersecție a razei cu un obiect;
    if obiect atins then
        begin
            calculează normala la intersecție
            RT_trace := RT_shade(cel mai apropiat obiectul atins, raza,
                                intersecția, normala, adâncimea)
        end
    else
        RT_trace := Background_value;
    end;
procedure RT_shade(
    obiect : RT_object;    {obiectul intersectat}
    raza : RT_ray;         {raza incidentă}
    punct : RT_point;      {punctul intersecției}
    normala : RT_normal;   {normala în punct}
    adâncime: integer;     {adâncimea în arborele razei}
): RT_color;
var
    culoare : RT_color; {culoarea razei}
    rRaza, tRaza, sRaza : RT_ray; {raze reflect., refract., lumină}
    rCuloare, tCuloare : RT_color; {cul. raze reflect., refract.}
begin
    culoare := termenul luminii ambiente;
    for fiecare sursă de lumină do
        begin
            sRaza := raza de la lumină la punct;
            if produsul scalar dintre normală și direcția luminii este pozitiv
            then begin
                calculează câtă lumină este blocată de suprafață;
                scalează corespunzător termenii luminii speculare și difuze;
                adună termenii la culoare;
            end
        end
    end
    if adâncimea < maxDepth then
        begin
            if obiectul este reflectiv then
                begin
                    rRaza := raza în direcția reflexiei de la punct;
                    rCuloare := RT_trace(rRay, depth + 1);
                    scalează rCuloare cu coeficientul specular;
                    adună rCuloare la culoare
                end;
            end;
        end;
    end;
end;

```



```

    if obiectul este transparent then
    begin
        tRaza := raza în direcția de refracție de la punct;
        if nu apare reflexie internă then
        begin
            tCuloare := RT_trace(tRaza, adâncime+1);
            scalează tCuloare cu coeficientul de transmitere;
            adună tCuloare la culoare
        end
    end
end
RT_trace := culoare
end;

```

Numărul de raze care trebuie procesate crește exponențial cu adâncimea până la care sunt trasate razele. În cel mai rău caz, arborele unei raze (în condițiile unei singure surse de lumină) va conține $2^n - 1$ raze, unde n este adâncimea arborelui. Dacă există m surse de lumină numărul maxim de raze devine $m(2^n - 1)$. În plus, deoarece razele pot veni din orice direcție, nu se pot utiliza tehnici de decupare față de volumul de vedere și nici alunecarea spate-față relativ la observator.

Numeroase tehnici de reducere a efortului de calcul au fost elaborate pentru algoritmul recursiv (de exemplu, prin *control adaptiv* a adâncimii arborelui – razele nu mai sunt urmărite dacă contribuția pixelului la culoare este estimată a fi sub un anumit nivel –, prin *buffere* de lumină – un cub centrat în sursa de lumină și aliniat cu axele sistemului lumii înconjurătoare, cu fiecare față împărțită într-o grilă rectangulară, fiecărui pătrat fiindu-i asociată o listă de suprafețe sortate în adâncime în ordinea în care sunt văzute de la lumină, iar o rază de lumină este procesată prin determinarea pătratului prin care trece, astfel încât raza este testată la intersecție numai cu lista de suprafețe asociată pătratului –, sau prin *clasificarea razelor*).

Performate deosebite se obțin prin combinarea metodei drumului cu metoda radiosității. Opus modalității de abordare a algoritmilor clasici, *metoda radiosității* determină în primul rând interacțiunile legate de luminarea scenei, independent de sistemul de vizualizare, și doar apoi se aplică determinarea suprafețelor vizibile și interpolarea iluminării conform unui sistem oarecare de vizualizare. Presupunerea de bază este conservarea energiei luminii într-un mediu închis. Radianța este rata în care energia părăsește suprafața.

5.4 Atributele primitivelor

Imaginea unui primitive poate fi controlată prin atributele sale. Fiecărei primitive îi sunt specifice anumite atribute.

Atributul *punctului* este culoarea.

Atributele unei *linii* (drepte sau poligonale) sunt:

- (a) stilul liniei (continuă sau solidă, întreruptă, punctată sau corespunzătoare unui șablon)
- (b) grosimea liniei;

- (c) culoarea;
- (d) stilul peniței (pentru liniile groase, umplerea cu texturi a zonelor dreptunghiulare asociate)

Un *șablon* (model, **pattern**) este desemnat printr-o matrice. Inhibarea aprinderii sau aprinderea, conform unei anumite culori, a unui pixel (x, y) de pe o primitivă se realizează în urma testării valorii înscrise în matricea șablon $m \times n$ la poziția $(x \bmod m, y \bmod n)$. De exemplu considerăm că șablonul poate fi reprezentat printr-un șir *string* 16 biți (dacă șablonul se repetă după fiecare 16 biți). Funcția **WritePixel** din algoritmiile incrementale este înlocuită cu

```
if string[i mod 16] then WritePixel(x, y, value);
```

unde i este variabila ciclului incremental. În această situație lungimea liniuțelor întrerupte în cazul primitivei linii variază cu unghiul liniei (mai lungă în cazul liniilor înclinate decât la liniile orizontale sau verticale). O soluție este convertirea directă a liniuțelor ca segmente de linii individuale, de lungime invariantă cu unghiul de înclinare (vârfuri sunt calculate exact, ca funcție de stilul liniei selectate). Liniile groase sunt create ca secvențe de dreptunghiuri solide și transparente a căror vârfuri sunt calculate exact ca funcției de stilul liniei.

Grosimea unei primitive este distanța dintre marginile primitivei calculată pe perpendiculara pe tangenta sa. Primitivele ce se trasează cu o anumită grosime se bazează pe convertirea prin scanare a unei primitive cu grosimea de un pixel. Îngroșarea unei linii se poate efectua prin următoarele procedee:

1. *duplicarea pixelilor pe coloane* pentru pante subunitare și pe linii, în caz contrar (figura 5.50). Această tehnică are mai multe dezavantaje:
 - (a) liniile se termină întotdeauna vertical sau orizontal;
 - (b) grosimea liniilor depinde de înclinare: dacă pentru o linie orizontală grosimea este t , la același număr de pixeli, o linie cu panta 1 are grosimea $t/\sqrt{2}$, obținându-se un efect negativ asupra strălucirii (contrast între liniile orizontale sau verticale și cele înclinate);
 - (c) problema centrării primitivei duplicată în cazul unei grosimi număr par (în mod obișnuit se va trece la următorul număr impar);
 - (d) grosime redusă la schimbarea octanților unei elipse (figura 5.51)

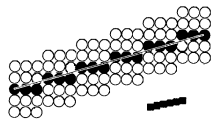


Figura 5.50: Segment trasat prin metoda duplicarea pixelilor pe verticală

2. alegerea unei *penițe dreptunghiulare* al cărui centru străbate primitiva trasată la un pixel (figura 5.52). Grosimea variază cu înclinația: segmentele orizontale par mai subțiri decât cele înclinate. În cazul unui arc de cerc în dreptul bisectoarei cadranelui 1, primitiva are un număr

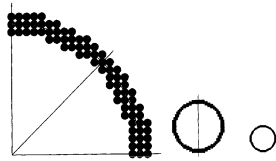


Figura 5.51: Semicerc gros trasat prin duplicarea pixelilor pe coloană

de pixeli de aproximativ $\sqrt{2}$ mai mare decât în dreptul axei x (figura 5.53). Acest fenomen poate fi eliminat dacă se utilizează o peniță circu-



Figura 5.52: Segment de linie trasat cu o peniță dreptunghiulară

lară. În ceea ce privește implementarea trebuie evitată rescrierea pixelilor (utilizând o tehnică incrementală).

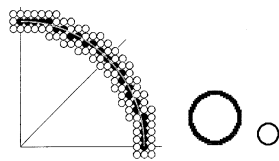


Figura 5.53: Semicerc gros trasat cu o peniță dreptunghiulară

3. *umplerea ariei dintre margini*: se construiesc două primitive aflate la distanța de $t/2$ de traiectoria primitivei ideale (cu un singur pixel). Pentru primitivele cu aria definită, frontiera originală poate fi considerată ca fiind marginea exterioară, iar cea interioară va fi construită în interiorul primitivei. Avantajul acestei metode constă în faptul că pot fi tratate atât primitive cu grosimi impare cât și primitive cu grosimi pare. Grosimea efectivă a unei linii este independentă de unghiul de înclinare față de axe. În cazul cercurilor se convertește cercul exterior de rază $R + t/2$ și cercul

interior de rază $R - t/2$, apoi spațiul dintre aceste primitive este umplut (se poate observa cum primitiva ideală, de un pixel, apare deplasată). În cazul elipselor se trasează elipsa cu semidiametrele $a - t/2$ și $b - t/2$ și cea cu semidiametrele $a + t/2$ și $b + t/2$, apoi se umple spațiul dintre ele (figura 5.54).

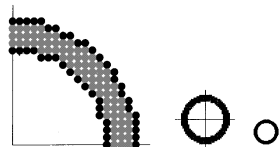


Figura 5.54: Semicerc gros trasat prin umplerea spațiului dintre două cercuri concentrice

Atributele *poligoanelor*, *cercurilor* și *elipselor* sunt cele ale liniei de frontieră plus stilul de umplere (textura interiorului).

Atributele *textului* sunt multiple:

- (a) stil sau font (Roman, Helvica etc);
- (b) mod de tipărire (drept, îngroșat, înclinat);
- (c) dimensiune (măsurată în puncte tipografice - un punct aproximativ 1/72 inch);
- (d) lățime;
- (e) spațiu între caractere;
- (f) spațiu între linii consecutive;
- (g) direcția de scriere (orizontal, vertical sau sub un anumit unghi).

5.5 Atenuarea efectelor datorate discretizării imaginii

Se consideră disponibil un `display` care are cel puțin două nivele de intensitate. Liniile apar în rastru ca niște scărițe. Primitivele curbe precum cercul și elipsele sunt de asemenea approximate (eșantionate), ajungându-se la un același efect vizual, numit *alias* (pornind de la teoria procesării de semnale, unde *alias* este un semnalul discret transmis prin legături de telecomunicație ca înlocuitor al semnalului continuu).

Fenomenul *aliasing* (în acest context, *asperitate*) este rezultatul conversiei `scan` de tipul tot sau nimic (un pixel este aprins sau stins). Aplicarea tehnicilor

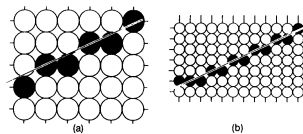


Figura 5.55: Segment de linie discret (a) pe un *display* monocrom (b) aceeași linie pe un *display* cu rezoluție dublă

care reduc sau elimină fenomenul sunt referite ca **antialiasing** (*netezire*, *compensare*).

O primă metodă este *creșterea rezoluției*, respectiv utilizarea unui *display* cu o rezoluție superioară (figura 5.55). O altă tehnică este cea a *pixelilor în diferite stadii*. Salturile în liniile de pe ecran sunt ajustate prin mutarea cu o micropoziție a unor pixeli. Sistemele care permit o asemenea tehnică sunt construite astfel încât poziții individuale de pixeli pot fi deplasate cu o fracțiune din latura pixelului, de obicei $1/4$, $1/2$ sau $3/4$. Aceste două metode diminuează efectul de scăriță, dar nu îl elimină.

O metodă des utilizată pe *display*-urile care permit mai multe nivele de intensitate este *metoda ariilor*. Ideea de bază este aceea că punctele și liniile de pe un ecran au dimensiuni finite. Se consideră că un pixel este aproximativ un pătrat, iar o linie are grosimea cel puțin egală cu latura pătratului-pixel (figura 5.56a). În loc de a trasa linia cu un singur pixel corespunzător fiecărei poziții pe axa Ox , toți pixelii peste care se suprapune o parte din "aria" liniei, sunt aprinși cu o intensitate proporțională cu aria de suprapunere (*metoda ariilor fără greutate*). Această tehnică are trei proprietăți:

1. intensitatea unui pixel care intersectează o latură descrește proporțional cu creșterea distanței dintre centrul pixelului și segmentul de linie;
2. primitiva de trasare a segmentului nu influențează intensitatea unui pixel dacă nu intersectează aria acestuia;
3. arii egale contribuie egal la intensitate (figura 5.57).

Metoda ariilor cu greutate păstrează primele două proprietăți, dar nu și a treia: arii egale pot contribui inegal la intensitate, deoarece o arie mică apropiată de centrul pixelului are o mai mare influență decât o arie egală aflată la o distanță mai mare. Aria de influență a unui pixel corespunde cercului determinat de centrele celor patru pixeli vecini mai apropiați.

Pentru a face distincția între cele două metode a ariilor se consideră cele două cazuri din figurile 5.58 și 5.59. În primul caz, se consideră o funcție de greutate, $W(x, y)$, reprezentând subvolume ale unui cub a cărui bază este pixelul curent. Considerăm că intensitatea pixelului va fi proporțională cu aria acoperită multiplicată cu greutatea, $I_{max} \cdot W_S$. Pentru metoda ariilor fără greutate, înălțimea cubului este 1, iar $W_S \in [0, 1]$. Astfel, dacă linia acoperă întreg pixelul, intensitatea acestuia va fi maximă $I_{max} \cdot 1 = I_{max}$. În metoda

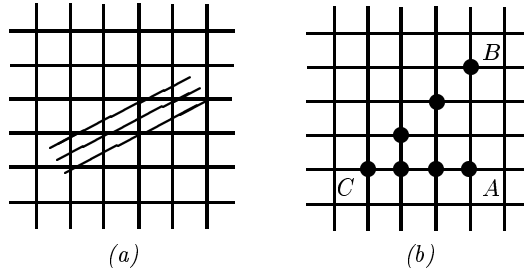


Figura 5.56: (a) Primitivele transpuse pe ecran au dimensiuni finite (b) Variația intensității funcție de pantă

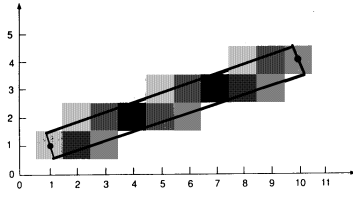


Figura 5.57: Intensitate proporțională cu aria acoperită

ariilor cu greutate, $W(x, y)$ reprezintă subvolume ale unui con a cărui bază este un cerc definit de centrele celor patru pixeli învecinați cu cel curent. Această funcție are un maxim în centrul pixelului și descrește liniar cu distanța de la centrul pixelului. Prin utilizarea acestei metode se elimină efectul nedorit de contrast între pixeli adiacenți.

Algoritmul **Gupta-Sproull** de trasare a segmentelor de linii presupune precalcularea subvolumelor funcției de greutate definite de linii aflate la diferite distanțe de centrul pixelului și stocarea valorilor într-un tabel. Pixelii sunt reprezentați prin cercuri care se suprapun (figura 5.60). Fie $\text{Filter}(D, t)$ funcția discretă stocată, unde D este distanța (dependentă de unghiul de înclinare) între pixel și centrul liniei, t este o constantă pentru linii de o anumită grosime, iar Filter este o funcție dependentă de funcția de greutate. De exemplu, pentru $t = 1$, valori ale funcției trebuie furnizate pentru D între 0 și 1.5. Numărul de valori din acest interval depinde de numărul de niveluri de intensitate. Reluăm algoritmul incremental pentru cazul segmentului de linie cu panta între 0 și 1 (figura 5.61). Din figură se observă că

$$D = v \cos \phi = \frac{v dx}{\sqrt{dx^2 + dy^2}}.$$

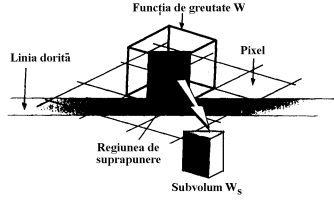


Figura 5.58: Filtru cubic pentru un pixel

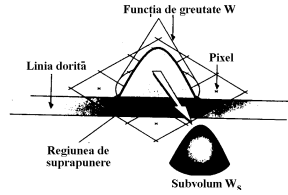


Figura 5.59: Filtru conic pentru un pixel circular cu diametrul a două unități

Distanța v pe verticală între punctul de pe linia ideală și centrul pixelului ales este doar o diferență între coordonatele pe axa y . Dacă linia trece sub pixelul ales, v este negativ; dacă trece pe deasupra, v este pozitiv. Doar valoarea absolută a lui v este utilizată de funcția `Filter`. Pixelul selectat este în mijlocul a 3 pixeli a căror intensitate este influențată la trasarea liniei. Pixelul de deasupra celui selectat se află la o distanță de $1 - v$ pe verticală de la linia ideală, iar pixelul de sub cel selectat se află la $1 + v$. v poate fi calculat direct sau incremental. De preferat este varianta a doua. Considerăm variabila decizională $d = 2F(x_P + 1, y_P + \frac{1}{2})$ unde $F(x, y) = ax + by + c$ cu $b = -dx$. Dacă se selectează E

$$\begin{aligned} 2vdx &= -2(y - y_P)b = 2[a(x_P + 1) + by_P + c] = 2F(x_P + 1, y_P) = \\ &= 2a(x_P + 1) + 2b\left(y_P + \frac{1}{2}\right) - b + 2c = d + dx, \end{aligned}$$

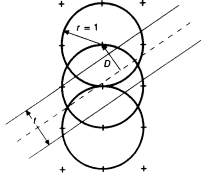


Figura 5.60: O linie de grosime 1 intersectează aria a 3 pixeli

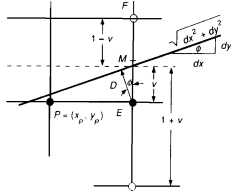


Figura 5.61: Calcularea distanțelor până la linie în algoritmul punctului de mijloc

astfel încât

$$D = \frac{d + dx}{2\sqrt{dx^2 + dy^2}}.$$

cu numitorul constant. Numărătorii fracțiilor D corespunzătoare pixelii de pe aceeași abscisă, dar la $y_P + 1$ respectiv $y_P - 1$ sunt obținuți din $2(1 - v)dx = 2dx - 2vdx$, respectiv $2(1 + v)dx = 2dx + 2vdx$. În mod similar, în cazul în care se selectează pixelul $(x_P + 1, y_P + 1)$,

$$2vdx = 2F(x_P + 1, y_P + 1) = 2a(x_P + 1) + 2b(y_P + \frac{1}{2}) + b + 2c = d - dx$$

iar numărătorii corespunzători pixelilor $y_P + 2$ și y_P sunt $2(1 - v)dx = 2dx - 2vdx$ și $2(1 + v)dx = 2dx + 2vdx$.

În algoritmul punctului de mijloc în varianta **Gupta-Sproull**, reprezentat prin procedura ce urmează, funcția **WritePixel** este înlocuită cu **IntesifyPixel** pentru pixelul aprins și vecinii săi pe verticală, care accesează

tabelul de de corespondență între valoarea absolută a distanței și numere ce reprezintă fracții din intensitatea maximă.

```

Procedure AntiAliasedLineMidpoint(x1, y1, x2, y2 :integer);
var
  dx, dy, incrE, incrF, d, x, y, v :integer;
  fr, dxfr :real;
  procedure IntensifyPixel(x, y :integer, distance :real);
  var
    intensity :real;
  begin
    {Tabel cu index întreg}
    intensity :=Filter(Round(Abs(distance)));
    WritePixel(x, y, intensity);
  end;
begin
  dx := x2 - x1; dy := y2 - y1;
  d := 2 * dy - dx;
  incrE := 2 * dy; incrF := 2 * (dy - dx);
  v := 0;
  fr := 1/(2*Sqrt(dx * dx + dy * dy));
  dxfr := 2 * dx * fr;
  x := x1; y := y1;
  IntensifyPixel(x, y, 0);
  IntensifyPixel(x, y + 1, dxfr);
  IntensifyPixel(x, y - 1, dxfr);
  while x < x2 do
    begin
      if d < 0 then
        begin {Alege E}
          fr := d + dx;
          d := d + incrE;
          x := x + 1
        end
      else
        begin
          fr := d - dx;
          d := d + incrF;
          x := x + 1;
          y := y + 1
        end
      end;
      IntensifyPixel(x, y, v * fr);
      IntensifyPixel(x, y + 1, dxfr - v * fr);
      IntensifyPixel(x, y - 1, dxfr + v * fr)
    end {while}
  end;
end;

```

Corectarea intensității pixelilor se utilizează de asemenea pentru anularea și altor efecte a trasării liniilor pe rastru. Astfel, o linie orizontală de aceeași lungime cu una înclinată va apărea mai luminată decât cea din urmă, chiar dacă

numărul de pixeli este identic. Explicația constă în faptul că intensitatea per unitate de lungime (geometrică) este mai redusă în cazul segmentului înclinat. În figura 5.56 (b) segmentul CB are panta 1 și este de $\sqrt{2}$ ori mai lung decât segmentul orizontal CA , deși au același număr de pixeli în reprezentarea discretă. Dacă intensitatea per pixel este I , intensitatea per unitatea de lungime a segmentului CA este I , iar a segmentului CB este $I/\sqrt{2}$. Pentru compensarea acestui efect nedorit, se ajustează intensitatea de trasare a fiecărei linii în funcție de panta acesteia. Liniile verticale și orizontale sunt trasate cu intensitate redusă, în timp ce liniile înclinate la 45° , cu intensitate maximă.

Tehnica **antialiasing** este utilizată pentru obținerea unor imagini de calitate. Datorită efortului de calcul implicat, tehnica este utilizată de obicei doar în ultimul pas al creării unei imagini.

5.6 Umplerea poligoanelor

Umplerea poligoanelor presupune, în primul rând, un algoritm pentru determinarea poziției unui punct relativ la un poligon (se testează dacă punct este sau nu în interiorul poligonului și în caz afirmativ, se aprinde, eventual cu o anumită culoare sau intensitate).

Fiecare algoritm de umplere poate fi logic descompus în următoarele:

1. metoda de *propagare* care determină următorul punct ce va fi tratat;
2. procedura de *start* care inițializează algoritmul;
3. procedura de determinare a *interiorului* poligonului;
4. procedura de *setare* care schimbă starea pixelului.

Algoritmii de umplere se diferențiază funcție de următoarele două situații:

- (a) umplerea se realizează odată cu trasarea poligonului;
- (b) umplerea se realizează după ce poligonul a fost trasat.

5.6.1 Primitiva poligon plin

În primul caz, una din problemele principale este aceea de a defini interiorul și exteriorul. Problema nu este simplă dacă poligonul nu este convex.

Regula par-impar, menționată la algoritmii de determinare a liniilor și suprafețelor ascunse, este des utilizată pentru determinarea interiorului unui poligon. Se alege un punct oarecare din interiorul regiunii ce urmează a fi testată și o linie dreaptă ce pleacă din acel punct spre o direcție arbitrară și nu trece prin nici un vârf. Fie pe această dreaptă un segment delimitat de punct și altul oarecare ce nu aparține interiorului dreptunghiului ce încadrează figura. Dacă segmentul intersectează laturile poligonului de un număr impar de ori, regiunea este considerată de interior. În figura 5.62 se prezintă regiunile interioare ale unui poligon concav.

Tehnica par-impar este utilizată și în procesul de selectare a unui obiect cu ajutorul cursorului grafic.

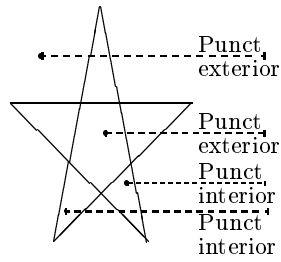


Figura 5.62: Determinarea regiunilor interioare prin regula par-impar

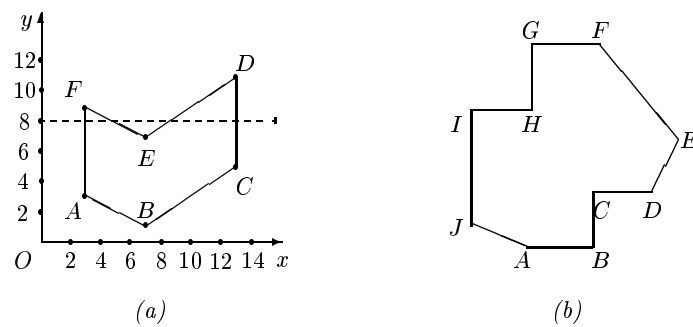


Figura 5.63: Conversia scan a poligoanelor (a) exemplu poligon concav (b) poligon cu laturi orizontale

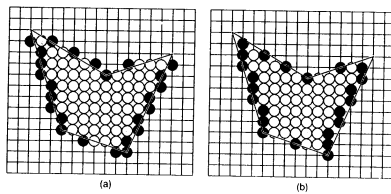


Figura 5.64: Intervale de umplere cu pixelii marginali marcați cu negru (a) aplicând algoritmul punctului mijlociu apar pixeli în exterior (b) pixeli corect aleși

Conversia scan a poligoanelor pline

Se consideră poligonul din figura 5.63.a. Trebuie să determinăm care pixeli de pe fiecare linie de scanare sunt în interiorul poligonului și să setăm pixelii corespunzători la valorile corespunzătoare. Acest proces trebuie repetat pentru fiecare linie de scanare care intersectează poligonul.

Cea mai simplă variantă de trasare constă în utilizarea algoritmilor de trasare a segmentelor de linii ce formează frontiera poligonului și ținerea evidenței pixelilor intersectați de fiecare linie de baleiaj. În această manieră se vor aprinde anumiți pixeli din afara poligonului (fiind mai apropiate de o latură), fără a ține seama dacă sunt în interiorul sau exteriorul poligonului. Acest fenomen poate avea consecințe negative în momentul când se trasează mai multe poligoane de culori diferite, pixelii menționați fiind susceptibili a ocupa regiuni ale poligoanelor învecinate (sau în momentul în care are loc ștergerea unui poligon din colecție). Este de preferat să se traseze numai pixelii care sunt strict în interiorul regiunii. Algoritmul de scanare trebuie ajustat în consecință (figura 5.64).

Construim un algoritm incremental pentru calcularea pixelilor care mărginesc zonele pline. Distincția dintre interior și exterior este realizată la trecerea liniei de baleiaj. Se presupune că inițial se pornește din afara oricărui poligon. Astfel după prima intersecție cu o latură, se trece de la exterior la interior. La a doua intersecție cu o latură a unui poligon se trece de la interior la exterior. Repetând acest procedeu, se observă că după un număr impar de intersecții, pixelii sunt în interior, iar după un număr par, în exterior (consecință a regulii par- impar). Prin convenție, laturile se consideră interioare poligonului.

Pentru fiecare linie de baleiaj, algoritmul de umplere presupune:

1. determinarea intersecțiilor liniei de baleiaj cu fiecare din laturile poligonului;
2. sortarea intersecțiilor în ordinea crescătoare a absciselor;
3. aprinderea pixelilor între perechi de intersecții care se află în interiorul poligonului pe baza parității în curs. Paritatea inițială este pară. Aprinderea pixelilor are loc numai dacă paritatea este impară. Paritatea se schimbă la intersecția laturilor poligonului.

În pasul 3 apar următoarele probleme:

- (a) Dacă fiind o intersecție cu un x , fracționar, arbitrar, cum determinăm care dintre pixelii aflați de o parte și de alta a intersecției sunt de interior: dacă ne apropiem de o intersecție fracționară din dreapta și din interiorul poligonului, atunci punctul de interior va avea abscisa egală cu partea întreagă a coordonatei x a intersecției; dacă ne aflăm în afara poligonului, se adaugă o unitate la partea întreagă.
- (b) Cum tratăm cazul special al intersecției cu x întreg: dacă ne apropiem de intersecție din exterior, pixelul va fi considerat de interior; dacă ne apropiem de intersecție din interior, pixelul va fi considerat de exterior.
- (c) Cum tratăm cazul special al vârfurilor poligonului: se trasează și ține seama în calcul de paritate numai de un vârf, al unei laturi, a cărui y este minim relativ la acea latură (în cazul în care un vârf are y maxim pentru o latură, el va fi trasat numai dacă are y minim relativ la o latură

adiacentă). În figura 5.63.a, la scanarea liniei $y = 3$ vârful A este numărat o singură dată la paritate și este trasat fiind vârful cu y minim pentru latura FA și maxim pentru latura AB . Linia de scanare $y = 1$ întâlnește doar pe B ; deoarece liniile AB și CD au ambele y minim în B , acesta va fi numărat de două ori la paritate (intrare în intervalul de pixeli, trasare pixel, ieșire din intervalul de pixeli). La intersecția liniei $y = 9$ cu vârful F nu se va trasa pixelul (F are y maxim pentru ambele laturi FA și EF , trecerea prin acest vârful neafectând paritatea).

- (d) Cum tratăm cazul în care avem linii orizontale: de exemplu, se consideră cazul poligonului din figura 5.63.b. Se pornește de la latura de jos. Cum la A , y este minim, iar AB coincide cu linia de baleiaj, paritatea este impară și segmentul AB este trasat. Cum BC are B ca minim, paritatea devine, după B , pară. La vârful J , latura IJ are J ca minim pe axa y , dar nu și latura JA , astfel încât paritatea devine impară și intervalul de umplere începe cu J . Intervalul de umplere care pornește de la latura IJ și atinge C continuă, deoarece C este maxim local pe axa y (pentru BC și CD). La D , minim local, paritatea se schimbă și intervalul de umplere este închis. La I , maxim local, paritatea rămâne și segmentul IH nu este umplut. La H , minim local, paritatea se schimbă și intervalul de umplere este deschis la H și închis la intersecția cu EF . În mod similar, GF nu este trasat.

La calcularea intersecțiilor trebuie evitată tehnica brută de testare a fiecărei laturi a poligonului relativ la intersecțiile cu fiecare linie nouă de scanare. De obicei, doar un număr redus de laturi intersectează linia de baleiaj. De asemenea, majoritatea laturilor care intersectează linia i vor intersecta și linia $i + 1$ (fenomen numit coerența laturilor). Când trecem de la o linie de scanare la alta, putem calcula noua valoare x a intersecției a laturii pe baza valorii x vechi a intersecției (precum în cazul trasării liniilor), utilizând $x_{i+1} = x_i + 1/m$, unde m este panta laturii. În algoritmiile incrementale anteriori aritmetica fracționară este evitată prin calcularea unei variabile de decizie întreagă și verificarea semnului ei în vederea alegerii pixelului celui mai apropiat de curbă.

Se consideră o latură cu panta mai mare decât $+1$ ca fiind latura stângă a unui poligon (cazurile contrare sunt tratate în mod similar). Presupunem că se pornește de la coordonatele întregi (x_{min}, y_{min}) . Când y este incrementat, coordonata x a punctului de pe linia ideală va crește cu $1/m$, unde $m = (y_{max} - y_{min}) / (x_{max} - x_{min})$ este panta liniei. x va avea o parte întreagă și una fracționară, care poate fi exprimată ca o fracție având numitorul $y_{max} - y_{min}$. De exemplu, dacă x_{min} este 3, iar panta este $\frac{5}{2}$, secvența de valori a lui x va fi 3, $3\frac{2}{5}$, $3\frac{4}{5}$, $3\frac{6}{5} = 4\frac{1}{5}$ etc. Dacă partea fracționară a lui x este nenulă, aceasta va trebui rotunjită pentru a determina pixelul de interior al poligonului. Când partea fracționară a lui x devine mai mare decât 1, x trebuie incrementat și din partea fracționară se scade 1. Utilizarea fracțiilor poate fi evitată urmărind doar numitorul fracției m : se consideră o variabilă increment care contorizează adunările ce se fac la numitor până când acesta depășește numitorul, moment în care numărătorul trebuie decrementat cu numitorul și x trebuie incrementat.

Construim un algoritm care preia avantajele coerenței laturilor. Evidența mulțimii de laturi ce intersectează o linie de baleiaj se realizează printr-o structură numită *tabelul laturilor active* (AET). Laturile din acest tabel sunt sortate

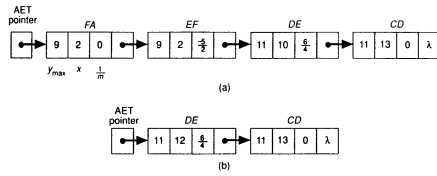


Figura 5.65: AET la (a) linia-scan 9 (b) linia-scan 10

după abscisele x ale intersecțiilor (figura 5.65). La trecerea la o nouă linie de baleiaj, se actualizează tabelul: se elimină laturile care nu mai intersectează linia de baleiaj, se adaugă noile laturi intersectate și se calculează valorile absciselor pentru laturile care au rămas tabel, printr-un algoritm incremental. Pentru simplificarea operației de adăugare de laturi se creează un tabel al laturilor (ET) care conține toate laturile sortate după coordonatele y cele mai mici. Tabelul de laturi este constituit din mai multe subtabele corespunzătoare în număr cu numărul liniilor de baleiaj. Fiecare subtabel conține descrierea laturilor în ordinea crescătoare a absciselor x a punctelor ce se află pe linia de baleiaj (figura 5.66). Fiecare intrare a subtabelelor conține coordonata y maximă a laturii, coordonata x a capătului laturii cu y minim și incrementul lui x utilizat la trecerea de la o linie de baleiaj la alta ($1/\text{pantă}$).

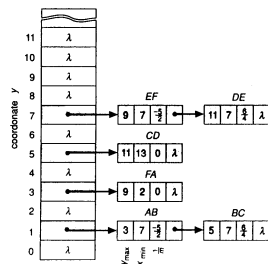


Figura 5.66: Tabelul ET

Algoritmul este următorul:

1. setează y pe cea mai mică valoare coordonată y din ET cu y -ul primei liste înlănțuite nevide;
2. inițializează AET pe lista vidă;
3. repetă până când AET și ET sunt vide:
 - (a) mută din lista corespunzătoare lui y din ET în AET acele laturi pentru care $y_{min} = y$ (laturi de intrare), apoi sortează AET pe baza lui x (sortare rapidă deoarece ET este presortat)
 - (b) aprinde pixelii de pe linia de scanare corespunzătoare lui y utilizând perechi de coordonate din AET;
 - (c) elimină din AET acele intrări pentru care $y = y_{max}$ (laturile nu vor fi utilizate la următoarea linie de scanare);
 - (d) incrementează y cu 1 (coordonatele următoarei linii de scanare);
 - (e) pentru fiecare latură care rămâne în AET, actualizează x pentru noul y .

Tringhiurile și patruleterele pot fi tratate precum cazuri speciale de poligoane deoarece au doar două laturi care se intersectează cu linia de scanare (excluzând laturile orizontale). Cum un poligon arbitrar poate fi descompus într-o rețea de triunghiuri, trasarea lui se poate efectua pe baza acestei descompuneri (trasarea triunghiurilor componente). Triangularizarea este o problemă clasică în geometrie și este ușor de realizat pentru poligoane convexe; este însă dificilă în cazul poligoanelor concave.

Strategia descrisă în algoritmul de mai sus poate fi utilizată și în cazul cercurilor și elipselor.

5.6.2 Umplerea regiunilor din rastru

În cazul umplerii unui poligon deja trasat, intervin o serie de probleme adiționale în implementarea algoritmilor. Aceste probleme sunt generate de structura discretă a **frame buffer**-ului. Una dintre acestea este determinarea laturilor unui poligon după ce acesta a fost deja figurat pe ecran. O altă problemă este determinarea interiorului.

O regiune din rastru este o colecție de pixeli. Există două tipuri de regiuni conexe. O regiune este 4-conexă dacă oricare doi pixeli ai regiunii pot fi uniți printr-o secvență de pixeli utilizând doar mutări în direcțiile sus, jos, stânga, dreapta. O regiune este 8-conexă dacă oricare doi pixeli ai regiunii pot fi uniți printr-o secvență de pixeli prin mișcările anterior menționate, plus cele pe diagonale. O regiune 4-conexă este 8-conexă, dar nu și reciproc (vezi colecția de pixeli aprinși din figura 5.67).

O regiune poate fi definită în două moduri:

1. o regiune definită prin interior relativ la un pixel P este cea mai mare regiune conexă de pixeli a căror valoare din **frame-buffer** este aceeași cu a lui P și care conține pe P ;
2. o regiune definită prin frontieră relativ la un pixel de interior P și unul de frontieră Q este cea mai mare regiune conexă de pixeli a căror valoare nu coincide cu valoarea frontierei (valoarea lui Q) și care conține pe P (interiorul poate conține pixeli de culori diferite).

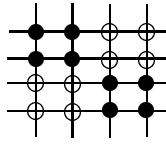


Figura 5.67: Regiune 8-conexă în rastru

Algoritmi recursivi

În cazul în care poligonul este deja trasat în rastru, se pot utiliza tehnicile recursive de umplere. Se presupune că se cunoaște un punct din interiorul poligonului. Dacă este aprins, atunci este pe o latură a poligonului. Se aplică tehnica par-impair pentru depistarea unui punct de interior care nu este pe nici o latură a poligonului. Dacă punctul interior considerat nu e aprins, se aprinde și se continuă algoritmul pentru cei patru (sau opt) pixeli vecini. Dacă pixelul curent este aprins, se renunță la apelul recursiv. Anumiți pixeli pot fi vizitați însă de mai multe ori.

Algoritmii care umplu regiunile definite prin interior sunt numiți algoritmi **flood-fill**, iar cei pentru regiunile definite prin frontieră, **boundary-fill**.

Procedurile recursive care implementează aceste tehnici sunt următoarele:

```

Procedure FloodFill4(
  x,y:integer; {punct de start}
  valVeche, {valoare ce definește interiorul}
  valNou : color); {valoare de înlocuire}
begin
  if ReadPixel(x,y) = valVeche then
    begin
      WritePixel(x,y, valNou);
      FloodFill4(x,y-1, valVeche, valNou);
      FloodFill4(x,y+1, valVeche, valNou);
      FloodFill4(x-1,y, valVeche, valNou);
      FloodFill4(x+1,y, valVeche, valNou)
    end
  end;

procedure BoundaryFill4( x,y:integer; {punct de start}
  valMargine, {valoare ce definește marginea}
  valNou : color); {valoare de înlocuire}
var
  c : color;
begin
  c:=readPixel(x,y);
  if c <> valMargine and {Nu s-a atins marginea}
    c <> valNou then {Nu s-a mai trecut pe aici}
    begin
      WritePixel(x,y, valNou);
      BoundaryFill4(x,y-1, valMargine, valNou);
      BoundaryFill4(x,y+1, valMargine, valNou);
    end
  end;

```

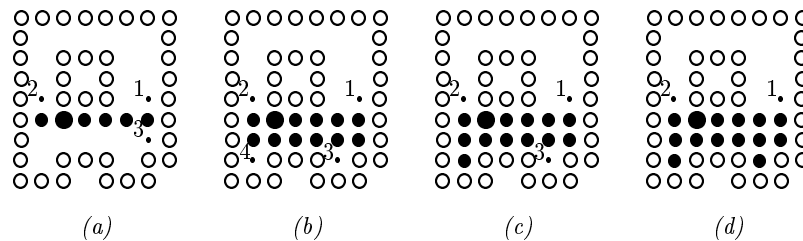



Figura 5.68: Pașii algoritmului de umplere pe bază de stivă

```

BoundaryFill4( $x + 1, y, valMagine, valNou$ );
BoundaryFill4( $x - 1, y, valMagine, valNou$ );
end
end;
```

Pentru suprafețe mari, pot interveni probleme de memorie – numărul mare de proceduri neterminate poate necesita o stivă sistem de dimensiune mare.

Algoritmi pe bază de stivă

Un algoritm care evită problemele algoritmilor recursivi este cel care lucrează cu *intervale de umplere*. Aceste intervale sunt mărginite la ambele capete de pixeli de valoarea frontierei. Un interval este identificat prin pixelul său cel mai din dreapta. Se consideră un punct de interior cunoscut. Se umple intervalul continuu de pixeli ce conține punctul de start. Apoi linia de deasupra este examinată de la dreapta la stânga pentru a determina cel mai din dreapta pixel al intervalului. Adresa acestui pixel este memorată în stivă. La fel se procedează cu linia de sub cea umplută. În figura 5.68 se dă un exemplu: intervalul de umplere ce conține punctul de start este figurat în (a) (punctul de start este îngroșat). Adresele pixelilor numerotați sunt introduși în stivă. Numerele indică ordinea din stivă, 1 fiind procesat ultimul. Algoritmul se oprește când stiva este goală.

5.7 Texturi

Textura se definește ca o structură compusă din elemente primitive (tipare) care se repetă mai mult sau mai puțin regulat.

5.7.1 Clasificare

Texturile sau detaliile ce apar pe suprafețele obiectelor de modelat pot fi:

1. constante ca mărime și orientare pe suprafața obiectului;
2. de mărime și orientare variabilă, corespunzător poziției fațetelor a căror textură o reprezintă;
3. neregulate.

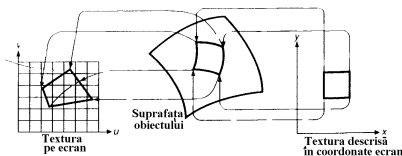


Figura 5.69: Textură transpusă pe suprafață

Texturile de primul tip sunt folosite pentru aplicațiile 2D, iar în 3D se preferă texturile de al doilea tip.

Texturile de primul tip se codifică în baza de date prin matrice. Elementele matricei caracteristice texturi se numesc **texeli**. Se alege un element repetabil prin translație pe orizontală și verticală. Funcție de precizia dorită și rezoluția disponibilă se digitizează acest element printr-o partiție $m \times n$ a ariei pe care este reprezentat. Fiecărui pixel astfel obținut i se asociază un element al unei matrice E cu m linii și n coloane, ocupând poziția corespunzătoare și având valoarea 1 dacă simbolul conține pixelul și 0 dacă pixelul este neutilizat. Dacă se folosește un monitor care admite mai multe niveluri de intensitate pe pixel, atunci valoarea elementului E_{ij} poate fi chiar intensitatea corespunzătoare pixelului din poziția i, j .

Detaliile superficiale, cum sunt textele sau simbolurile marcate pe suprafața obiectelor, pot fi tratate ca texturi de categoria a doua.

Transpunerea pe ecran a texturii se poate face și la o anumită scară. Dacă textura apare mărită, nu se pun probleme deosebite, pur și simplu se construiește o altă matrice pe baza lui E dar având $s \cdot m$ linii și $s \cdot n$ coloane, unde s este factorul de scară. Dacă $s \cdot m$ și $s \cdot n$ nu sunt numere întregi, ele se aproximează prin adaus, iar intensitățile în pixeli se aleg din gama disponibilă ca fiind cele mai apropiate de intensitățile medii calculate.

Texturile tridimensionale, deși mai puțin utilizat, pot conduce la imagini mult mai realiste decât dacă se utilizează texturi bidimensionale proiectate pe suprefețele obiectelor.

5.7.2 Aplicarea texturilor pe suprafețe

O metodă de a reda texturile de tipul doi constă în a le introduce în baza de date prin puncte caracteristice, pentru ca apoi să li se aplice aceleași transformări precum tuturor punctelor corpului. Se marchează însă apartenența texturii la fațetele pe care apare efectiv, iar transpunerea pe ecran se face numai pentru punctele vizibile ale poligoanelor respective (figura 5.69).

Se consideră exemplul unei texturi ce trebuie aplicată pe o suprafață plană. Se caută o funcție de mapare a unui punct $P(x, y, z)$ de pe suprafața plană la un punct $T(u, v)$ din spațiul uv în care se definește textura. Datele de intrare necesare mapării sunt: N , vectorul unitate normal la suprafața plană, S , vector

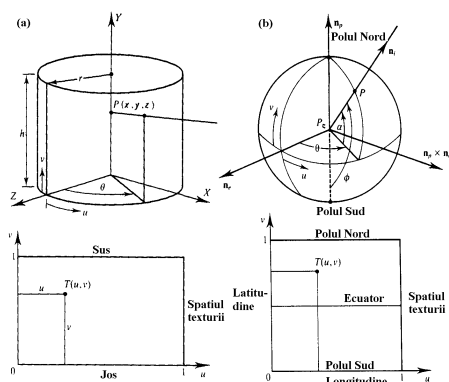


Figura 5.70: Maparea texturii (a) pe un cilindru (b) pe o sferă

unitate ortogonal pe N , din suprafața plană, care aliniază axa absciselor u , un punct $P_0(x_0, y_0, z_0)$ care va corespunde cu $T(0, 0)$ al texturii, k , factor de scalare pentru textură. În aceste condiții, maparea este definită prin

$$u = V \cdot S/k, \quad v = V \cdot T/k,$$

unde $V = (x - x_0, y - y_0, z - z_0)^T$, iar $T = N \times S$.

În cazul mapării pe un cilindru de rază r și înălțime h (figura 5.70.a), se deduce transformarea

$$v = y/h, \quad u = \begin{cases} \arccos(z/r)/(2\pi), & x \geq 0 \\ 1 - \arccos(z/r)/(2\pi), & \text{altfel} \end{cases}.$$

În cazul mapării pe o sferă (figura 5.70.b) sunt necesare următoarele informații: n_e , vectorul unitate normal la sferă într-un punct de la ecuator, n_p , vectorul unitate ortogonal pe n_e și normal la polul nord, $P_c(x_c, y_c, z_c)$, centrul sferei, r , raza sferei, $P(x, y, z)$ punctul care va fi mapat la $T(u, v)$. Atunci

$$v = \varphi/\pi, \quad v = \begin{cases} \theta/(2\pi), & \text{dacă } (n_p \times n_e) \cdot n > 0 \\ 1 - \theta/(2\pi) & \text{altfel} \end{cases},$$

unde

$$n = ((x - x_c)/r, (x - x_c)/r, (x - x_c)/r)^T, \quad \varphi = \arccos(-n_p \cdot n),$$

$$\theta = \begin{cases} \arccos((n_e \cdot n) / \sin(\varphi)) & \varphi \neq 0 \\ 0, & \text{altfel} \end{cases}$$

5.7.3 Generarea texturilor tip fractal

Termenul de fractal din matematică a fost generalizat de comunitatea graficii pe calculator. În grafică, un *fractal* se referă la orice obiect care are o măsură substanțială a similarității în sine, statistică sau exactă. Astfel, numai fractalii generați prin procese recursive infinite sunt obiecte fractale adevărate. Pe de altă parte, obiectele generate prin procese finite pot conduce la schimbări nevizibile în detaliu după o anumită etapă, astfel încât sunt aproximări adecvate ale modelului ideal.

Ceea ce se înțelege prin *similaritate în sine* este sugerat de exemplul curbei lui Koch. Pornind de la o linie cu un salt (figura 5.71), se înlocuiește fiecare segment al liniei cu o figură identică cu cea originală, redusă cu factorul trei. Acest proces este repetat: fiecare segment al figurii (b) este înlocuit cu figura asemănătoare întregii figuri (b). Dacă procesul este repetat la infinit, rezultatul este similar în sine, adică întregul obiect este similar (prin translație, rotire, scalare) cu o porțiune a sa.

Un obiect care arată la fel dacă este scalat se spune că este substanțial similar în sine.

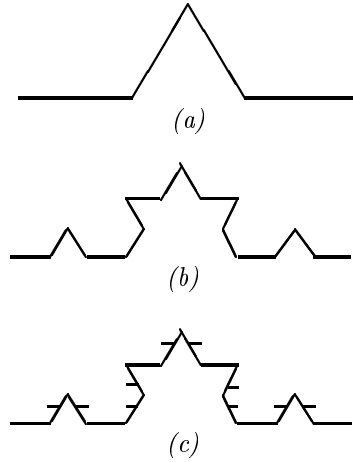


Figura 5.71: Construirea curbei lui Koch

Asociată cu noțiunea de similaritate în sine este cea de *dimensiune fractală*. Pentru a defini această noțiune se consideră următoarele obiecte:

1. Un segment de linie, care este unidimensional, divizat în n părți egale. Fiecare parte a sa arată precum originalul scalat cu factorul $n = n^{1/1}$.

2. Un pătrat (figură bidimensională) divizat în n subpătrate egale. Fiecare arată la fel precum originalul redus cu factorul $\sqrt[n]{n} = n^{1/2}$ (de exemplu, considerînd nouă subpătrate, factorul de reducere este 3).

Dacă divizăm imaginea rezultată prin aplicarea procedeului din figura 5.71, repetat la infinit, în patru părți (analog bucăților asociate cu cele patru segmente originale din figura 5.71.a), fiecare bucată rezultată arată ca și originalul redus cu factorul trei. Spunem că fractalul construit are dimensiunea d , dacă d verifică ecuația $4^{1/d} = 3$, adică $d = \log_2 4 / \log_2 3 \approx 1.26$.

Cele mai cunoscute obiecte fractale sunt

- (a) mulțimea **Julia-Fatou**,
- (b) mulțimea **Mandelbrot**.

Aceste obiecte sunt generate urmărind regula $x \rightarrow x^2 + c$, unde x este un număr complex.

Se reamintește faptul că dacă un număr complex are modulul subunitar, șirul recursiv al pătratelor converge la zero, iar dacă modulul este supraunitar, pătratele devin din ce în ce mai mari. Dacă modulul este unitar, șirul pătratelor are tot modulul unu. Numerele de modul unitar formează o frontieră între cele atrase spre zero și cele atrase spre infinit.

Dacă se aplică repetat regula $x \rightarrow x^2 + c$ fiecărui număr complex, pentru o anumită valoare nenulă a lui c , anumite numere complexe vor fi atrase la infinit, altele spre numere finite. Trasând frontiera dintre cele două submulțimi se obține mulțimea **Julia-Fatou**, care depinde de valoarea numărului complex c . Două exemple sunt prezentate în figura 5.72.

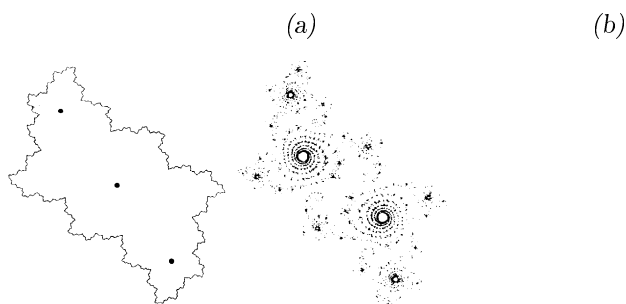


Figura 5.72: Mulțimea **Julia-Fatou** pentru (a) $c = -0,12375 + 0,056805i$ (b) $c = -0,012 + 0,74i$

Dacă se calculează mulțimile **Julia-Fatou** pentru toate valorile c com-

plexe și se colorează cu negru punctele c pentru care mulțimea **Julia-Fatou** este conexă și cu alb punctele pentru care mulțimea nu este conexă, se obține mulțimea **Mandelbrot** din figura 5.73.

Din fericire, există o cale mai ușoară de a genera aproximații ale mulțimii **Mandelbrot**. Pentru fiecare valoare c se aplică regula $x \rightarrow x^2 + c$ cu $x = 0 + 0i$ de un număr finit de ori (de exemplu, de 1000 de ori). Dacă după aceste iterații numărul complex obținut este în afara discului centrat în zero și de rază dată (de exemplu, 100), atunci c va fi colorat alb, altfel negru. Cu cât numărul de iterații și raza discului cresc, imaginea rezultată este o aproximare mai bună a mulțimii **Mandelbrot**.

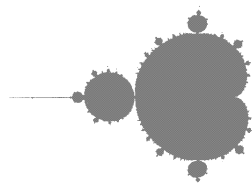


Figura 5.73: Mulțimea **Mandelbrot**

Imaginea pe ecran poate fi generată recursiv prin mai mulți pași astfel încât schimbările sub dimensiunile pixelului nu mai trebuie efectuate.

Formele autoasemenea (curba Koch de exemplu) corespund unui mod liniar de adăugare a detaliilor (sunt replici exacte ale formei inițiale, la o scară mai mică). Detaliile pot fi adăugate și într-un mod neliniar, obținându-se astfel fractali autopătratici (mulțimile fractale invariante la o transformare pătratică – de exemplu mulțimea **Mandelbrot**), autoinverși (mulțimi fractale invariante la o transformare de inversiune) etc.

Metodele de generare a fractalilor descrise mai sus se bazează pe recursivitate (care la nivelul limbajului de programare implementează proprietatea de autoasemănare) sau pe calcul iterativ. În modelarea sistemelor naturale, transformările deterministe aplicate în generarea unei figuri pot fi combinate în mod aleator. Rezultatele privind fractalii sunt extrem de sugestive pentru modelarea formelor naturale ca munții, arborii sau coasta mării. De exemplu, se consideră următorul algoritm de generare a unui munte fractal, algoritm bazat pe subdivizarea recursivă.

Fie cazul unidimensional. Presupunem că pornim de la un segment de linie de pe axa x . Împărțim segmentul în două bucăți și mutăm mijlocul la o distanță arbitrară în direcția y , obținând figura 5.74.b. Se continuă subdivizarea fiecărui segment și se calculează poziția nouă a punctului de mijloc al

segmentului de la (x_i, y_i) la (x_{i+1}, y_{i+1}) :

$$x_{nou} = \frac{x_i + x_{i+1}}{2}, \quad y_{nou} = \frac{y_i + y_{i+1}}{2} + P(x_{i+1} - x_i)R(x_{nou}),$$

unde $P(\cdot)$ este o funcție ce determină extinderea perturbației în termenii dimensiunii segmentului care se perturbă și $R(\cdot)$ este un număr aleator între 0 și 1 selectat pe baza lui x_{nou} . Dacă $P(s) = s$, atunci primul punct nu poate fi afișat mai sus de 1, fiecare din următoarele două puncte, nu mai sus de $1/2$ ș.a.m.d., încât toate punctele rezultate se încadrează în pătratul unitate. Dacă $P(s) = s^a$ forma liniei frânte depinde de parametrul a . Pot fi utilizate și alte funcții, ca de exemplu $P(s) = 2^{-s}$.

Algoritmul poate fi ușor generalizat la două dimensiuni. Se pornește de la un triunghi precum cel din figura 5.75. Se marchează mijloacele laturilor. Coordonatele y ale fiecărui punct de mijloc sunt modificate în maniera descrisă în cazul unidimensional, astfel încât rezultatul să fie un set de mai multe triunghiuri. Cele patru triunghiuri înclinate se procesează în mod analog. Repetarea recursivă a acestei divizări conduce la o imagine realistă a unui munte.

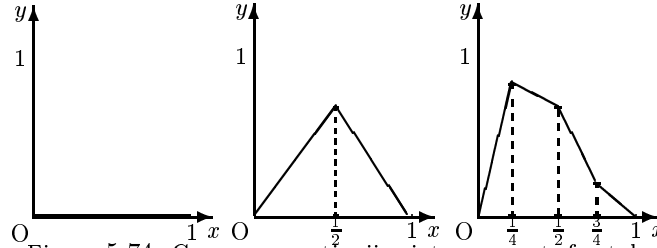


Figura 5.74: Generarea secțiunii printr-un munte fractal

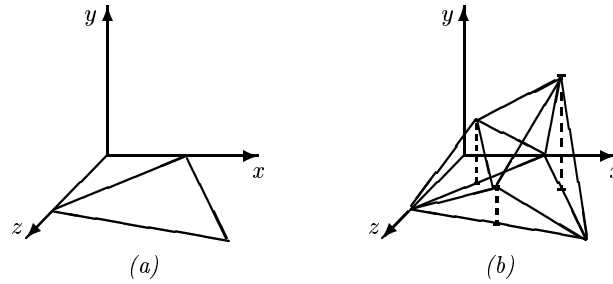


Figura 5.75: Generarea unui munte fractal

5.8 Culoare

Culoarea unui obiect nu depinde numai de obiectul în sine ci și de sursa de lumină care-l luminează, de culoarea suprefetei înconjurătoare și de sistemul de vizualizare uman. În plus anumite obiecte reflectă lumina (obiecte compacte), altele transmit lumina (obiecte transparente).

5.8.1 Lumina acromatică

Lumina acromatică este ceea ce se distinge pe ecranul unui televizor alb-negru. Cantitatea luminii este singurul atribut al luminii acromatice. Această cantitate poate fi discutată în sensul fizic al energiei, în care termenii de *intensitate* și *luminozitate* sunt utilizați, sau în sensul de percepție a intensității, în care termenul de *strălucire* este utilizat. Diferitelor niveluri de intensitate li se asociază anumite valori scalare (0, negru, 1, alb, între 0 și 1, diferite scale de gri).

Considerăm un dispozitiv cu $n + 1$ nivele de intensitate (tipic $n = 255$). Se pune o primă problemă a corespondenței intensităților din domeniul $[0,1]$ cu nivele de intensitate a dispozitivului. Impărțirea intervalului $[0,1]$ în subintervale egale este soluția cea mai simplă, dar nu cea mai bună, datorită proprietății ochiului de percepere diferită a intensităților în raporturi de nivele de intensitate și nu în valori absolute a intensității (valori absolute doar pe scara de strălucire – definită ca intensitatea percepției). De exemplu, diferența dintre intensitățile 0.10 și 0.11 este percepută la fel ca diferența dintre 0.50 și 0.55. Astfel nivelele de intensitate din $[0,1]$ trebuie spațiate logaritmice și nu liniar. Dacă se consideră I_0 intensitatea minimă care poate fi atinsă, atunci

$$I_0 = I_0, \quad I_1 = rI_0, \quad I_2 = rI_1 = r^2I_0, \quad \dots, \quad I_n = r^n I_0 = 1,$$

deci $r = (1/I_0)^{1/n}$, $I_j = I_0^{(n-j)/n}$, $0 \leq j \leq n$. De exemplu, pentru 4 nivele, adică $n = 3$, și $I_0 = 1/8$, se obține $r = 2$ și intensitățile $\frac{1}{8}$, $\frac{1}{4}$, $\frac{1}{2}$, 1. I_0 în cazul unui display este între $1/200$ și $1/40$. Minimumul nu este 0 deoarece fosforul reflectă lumina incidentă pe display.

O altă problemă este numărul de nivele de intensitate necesare pentru a reproduce o imagine cu trecere continuă de la negru la alb astfel încât reproducerea să pară continuă. O asemenea situație apare când $r \leq 1.01$ (sub rata de 1.01 ochiul uman nu distinge diferența dintre două intensități succesive). Astfel,

$$n = \log_r(1/I_0) \geq \log_{1.01}(1/I_0),$$

cu menținerea că $1/I_0$ este o caracteristică dependentă de dispozitiv. În cazul display-urilor n minim variază în intervalul $[400, 530]$, pe când în cazul dispozitivelor de tipărire a ziarelor, pentru care $I_0 = 0.1$, n minim este 234. Acestea sunt valorile teoretice; în practică însă datorită efectului de amestecare a cernelii sau apariția/dispariția aleatoare a unor pixeli suplimentari în reproducere, n crește considerabil pentru anumite medii de afișare. Astfel pentru tipărirea ziarelor sau cărților sunt suficiente 64 de nivele pentru a crea impresia unei imagini continue.

5.8.2 Simularea intensității pe monitoarele monocrome

Se consideră că alb și negru sunt cele două niveluri de intensitate de care se dispune la nivelul unui pixel pe `display`.

Tehnica folosită este cea a *texturilor constante*. În principiu, se asociază fiecărui nivel de intensitate o textură cu o densitate corespunzătoare de puncte deschise. Simularea nivelurilor de intensitate luminoasă prin texturi de tip constant se bazează pe proprietatea ochiului uman de a acționa ca integrator spațial (la distanțe mari față de obiectul privit sau atunci când zona observată are dimensiuni mici). Metoda reduce evident din rezoluție, căci un element de textură va fi reprezentat pe o arie din ecran de câțiva pixeli.

Tehnica aproximării nivelurilor de intensitate luminoasă prin densitate de puncte albe și negre pe o anumită suprafață elementară (**half-toning**) este folosită în tipărirea fotografiilor alb-negru. Fiecare element de imagine are o finețe precizată prin numărul de niveluri de intensitate care pot fi simulate.

Cel mai simplu element de imagine este o arie de 2×2 pixeli pe un ecran monocrom, pe care se pot produce 5 niveluri diferite de intensitate (figura 5.76.a). În general, o arie de $n \times n$ pixeli poate reproduce $n^2 + 1$ niveluri de intensitate. Pentru a folosi arii mai mari de 4×4 pixeli (peste 17 niveluri de intensitate) este necesar un monitor cu o rezoluție mai mare de 512×512 pentru a obține rezultate satisfăcătoare. Peste 32 de niveluri pe pixeli fac ca tranzițiile să fie abia perceptibile. Imaginile realizate prin discretizarea intensității luminoase în 64 de clase au practic același aspect cu originalul.

Pentru o matrice 3×3 de pixeli se recomandă setul din figura 5.76 (b). Funcție de ordinea în care se aprind pixelii se poate construi o matrice caracteristică. În cazul dat,

$$D = \begin{pmatrix} 6 & 8 & 4 \\ 1 & 0 & 3 \\ 5 & 2 & 7 \end{pmatrix}.$$

Pentru a aprinde o porțiune de pixeli cu intensitatea I între 0 și 9 se aprind pixelii a căror valoare corespunzătoare în matrice este mai mică decât I . Dacă imaginea are dimensiunea matricii-rastru, problema aprinderii unui pixel (x, y) depinde de intensitatea dorită $I(x, y)$ în acel punct și de matricea D . Fie n dimensiunea acesteia din urmă. Se calculează $i = x \bmod n$ și $j = y \bmod n$. Atunci, dacă $I(x, y) > D_{ij}$, pixelul (x, y) se aprinde.

În construirea setului de texturi (**pattern-uri**) trebuie să se țină seama de anumite reguli:

1. Texturile trebuie astfel proiectate încât să nu producă efecte vizuale artificiale în arii mari de intensitate identică. De exemplu, texturile din figura 5.77.a pot produce senzația de hașurare.
2. Texturile trebuie să constituie o secvență crescătoare, astfel încât orice pixel aprins pentru nivelul de intensitate j să rămână aprins și pentru nivelurile de intensitate $k > j$. Se minimizează astfel diferențele dintre texturi succesive și efectele de contur.
3. Texturile trebuie să crească de la centru înspre exterior pentru a crea efectul de creștere a mărimii punctului.
4. Pentru ușurarea trasării imaginilor pe imprimante, pixelii aprinși trebuie să fie asociați cu pixeli vecini aprinși. De exemplu, texturile din figura 5.77.b nu pot fi acceptate.

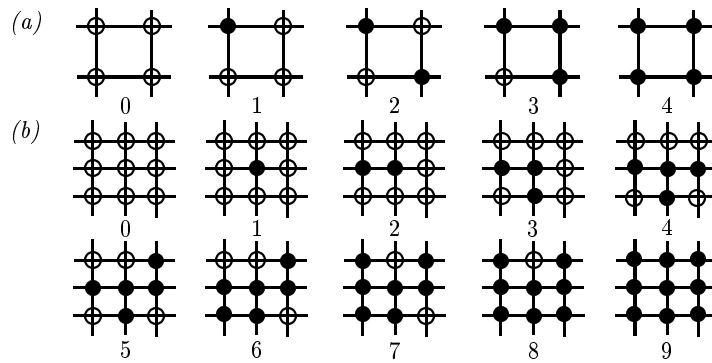


Figura 5.76: Simularea intensității – șabloane pentru tehnica half-toning cu (a) cinci niveluri de intensitate (b) nouă niveluri de intensitate

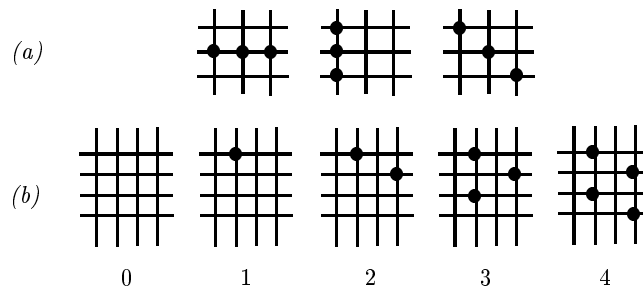


Figura 5.77: Texturi contraindicate

Tehnica **half-toning** este utilizată și la **display-uri** binivel. Considerând un **display** cu doi biți per pixel și deci patru niveluri de intensitate, prin înjumătățirea rezoluției se crește numărul nivelurilor de intensitate la 13 (se consideră texturi de dimensiune 2×2 : avem patru pixeli la dispoziție, fiecare având posibilitatea de a lua trei valori în afara negrului, adică se obțin $4 \times 3 + 1 = 13$ niveluri de intensitate).

Utilizând un **display color** cu trei biți per pixel, câte unul pentru fiecare culoare (roșu, verde, albastru) se pot utiliza texturi 2×2 pentru a obține 125 culori diferite: fiecare textură poate afișa cinci intensități pentru roșu, verde sau albastru, rezultând 5^3 combinații de culori.

5.8.3 Lumina cromatică

Pentru descrierea *luminii cromatice* se utilizează trei măsuri:

1. *nuanța*, care face distincție între culorile fundamentale;
2. *saturația*: se referă la cât de departe este culoarea față de un gri de intensitate egală. Culorile pastelate sunt relativ nesaturate. Culorile nesaturate conțin mai multă lumină albă decât culorile vii, saturate. De exemplu, roșu este saturat, roz este nesaturat relativ la roșu;

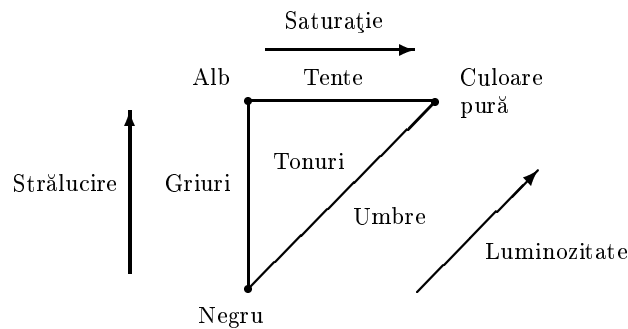


Figura 5.78: Relația dintre tente, umbre și tonuri

3. *luminozitatea* include noțiunea acromatică de percepere a intensității unui obiect reflectant.

Strălucirea este utilizată pentru a referi intensitatea percepută de obiectele care emit lumină.

Culoarea poate fi specificată prin *tente*, *tonuri* și *umbre*. O tentă rezultă prin adăugarea unui pigment alb la un pigment de culoare pură, descrescând saturația. O umbră se obține adăugând un pigment negru la culoarea pură, descrescând luminozitatea. Un ton este rezultatul adăugării atât a pigmentului negru cât și a unuia alb la pigmentul pur. În figura 5.78 se prezintă relația dintre tente, umbre și tonuri.

5.8.4 Modele de culoare

Un model de culoare constă într-o specificare a unui *sistem de coordonate tridimensionale* și a unui *domeniu vizibil* în sistem în care toate culorile particulare unei game pot fi descrise.

Modelele orientate hardware cele mai utilizate sunt modelul RGB pentru monitoare color, YIQ pentru sisteme TV color și CMY pentru anumite printere color. Din păcate aceste sisteme nu permit exprimarea directă a noțiunilor de nuață, saturație și strălucire. Pentru înlăturarea acestui inconvenient au fost construite o serie de alte modele precum HSV (sau HSB), HLS și HVC.

Modelul RGB (Red-Green-Blue)

Sistemul RGB utilizează sistemul de coordonate cartezian, iar ca domeniu, un cub. Vârfurile sistemului de coordonate carteziane au semnificațiile din figura 5.79.a. Diagonala principală reprezintă nivelurile de gri. Acest model este utilizat la CRT color. Este un sistem de tip aditiv (contribuții individuale sunt adunate pentru a obține rezultatul). Gama de culori reprezentată depinde de dispozitiv.

Modelul CMY (Cyan-Magenta-Yellow)

Este specificat printr-un cub asemănător și este utilizat la anumite imprimante color.

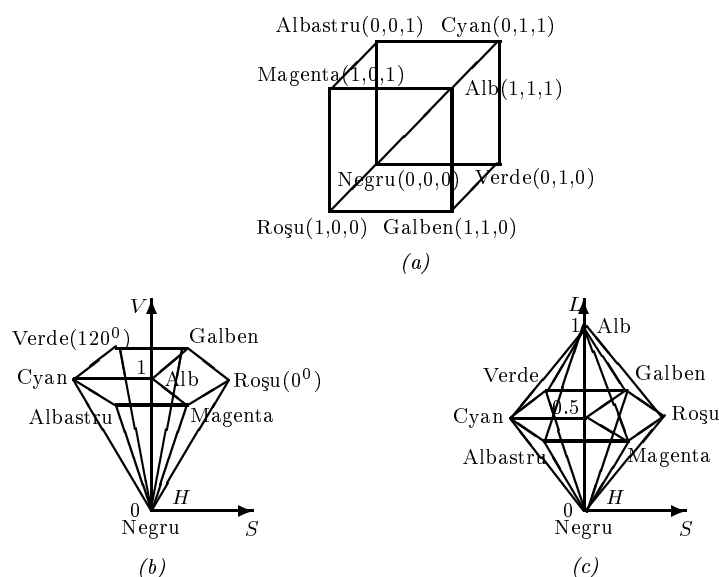


Figura 5.79: Modele de culoare (a) Modelul RGB (b) Modelul HSB (c) Modelul HLS

Sistemul CMY este un sistem substractiv (se folosesc filtre pentru a subtrage culoarea din lumina albă). Se utilizează același sistem de coordonate și domeniu ca în cazul modelului RGB, însă în acest caz alb-ul este în originea sistemului. Culorile sunt specificate prin ceea ce este înlăturat sau sustras din lumina albă (contrar adăugării la negru de la sistemul RGB). De exemplu, galbenul absoarbe albastru din lumina albă reflectată (care este sumă de roșu, verde și albastru). Relația dintre modelul CMY și RGB este exprimată prin schimbarea coordonatelor $(c, m, y) = (1, 1, 1) - (r, g, b)$. Un alt model, CMYK, utilizează negrul (notat K) ca a patra culoare; acest sistem este utilizat la anumite dispozitive de copiere.

Modelul YIQ

Sistemul YIQ este utilizat în transmiterea televiziunii color. Componenta Y se referă la luminozitate și este singura componentă recunoscută de televizoarele alb-negru; cromaticitatea este codată în componentele I și Q. Se utilizează tot sistemul cartezian de coordonate și domeniul este definit de un poliedru convex care poate fi transformat într-un cub. Matricea de transformare din RGB în YIQ are elemente nenule și distincte pentru a rezolva o problemă des întâlnită în televiziune: două culori diferite așezate alături pe un monitor color apar diferite, dar pe un monitor monocrom, pot părea uneori identice – dacă cele două culori au valori Y diferite în modelul YIQ problema este evitată.

Modelul HSB și modelul HLS

Modelul HSB (Hue-Saturation-Brightness, nuanță-saturație-strălucire) este bazat pe intuiția artistică pentru tente, umbre și tonuri (figura 5.78). Sistemul de coordonate este cilindric și subsetul din spațiu în care modelul este definit

este o piramidă cu șase fețe (figura 5.79.b). Nuanța H este unghiul din jurul axei verticale, pornind de la roșu considerat 0^0 . Culorile complementare formează un unghi de 180^0 . Saturația S se măsoară de la axa verticală la laturile hexagonului. Valorile intermediare ale strălucirii V de la 0 la 1, pentru $S = 0$, corespund nivelurilor de gri. Adăugarea pigmentului alb corespunde scăderii lui S fără schimbarea lui V . Umbrele sunt create păstrând $S = 1$ și scăzând V . Tonurile sunt create scăzând atât S cât și V .

Hexagonul de bază a modelului corespunde cu proiecția modelului RGB de-a lungul diagonalei principale privit de la alb la negru. Orice subcub a modelului RGB corespunde unui hexagon dintr-un plan cu V constant. Se poate realiza astfel o corespondență între modelele HSB și RGB, diagonala principală din modelul RGB definind axa V din modelul HSB.

Modelul HLS (Hue-Lightness-Saturation, nuanță-luminozitate-saturație) este definit prin corpul din figura 5.79.c. Poate fi privit ca o deformare a modelului HSB.

5.8.5 Metoda tabelului de culori

Intr-un sistem cu rastru ce permite afișarea mai multor culori, numărul de biți necesari pentru reprezentarea unui pixel în frame buffer depinde de:

- numărul de culori disponibile,
- metoda de stocare a valorilor-culoare.

Tabelele de culoare pot fi structurate pentru a permite utilizatorului folosirea unor combinații de culori fără a cere o dimensiune mare a zonei tampon. Un exemplu concludent este tabelul 5.1.

Cod culoare	Roșu	Verde	Albastru	Culoare afișată
0	0	0	0	Negru
1	0	0	1	Albastru
2	0	1	0	Verde
3	0	1	1	Cyan
4	1	0	0	Roșu
5	1	0	1	Magenta
6	1	1	0	Galben
7	1	1	1	Alb

Tabelul 5.1: Exemplu de tabel de culori

Când o culoare particulară este specificată într-un program aplicativ, valoarea binară corespunzătoare este stocată în `frame buffer` pentru fiecare pixel ce va fi afișat în acea culoare.

O altă metodă pentru stocarea codurilor de culoare a pixelilor (ce necesită o zonă tampon mai redusă ca dimensiune decât pentru metoda anterioară) este cea a *tabelului de celule-culori* (`color lookup table`, `lut`). Valorile din zona tampon cadru reprezintă indici în tabelul de celule-culori. Presupunem că se rezervă câte 4 biți pentru informațiile de intensitate (adică avem 16 niveluri de intensitate) pentru fiecare dintre cele trei tunuri de electroni (roșu, verde, albastru). Spre deosebire de cazul tabelului 5.1, fiecare intrare în tabel utilizează 12 biți pentru specificarea unei culori, deci un total de $16^3=4096$ culori diferite

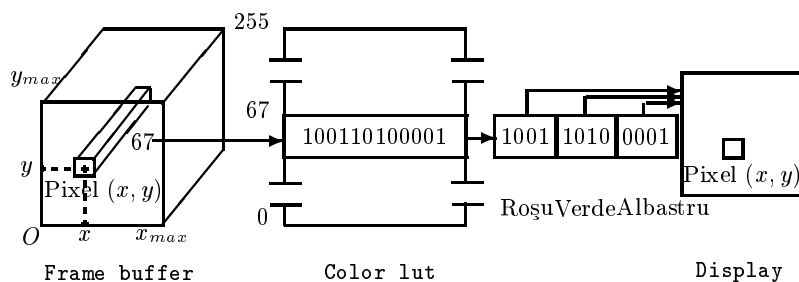


Figura 5.80: Tabelul de celule-culori pentru un sistem cu 8 biți per pixel

Intensitate	Valorile în frame buffer	Culoarea afișată
0.0	0 (00)	Negru
0.33	1 (01)	Gri închis
0.67	2 (10)	Gri deschis
1.0	3 (11)	Alb

Tabelul 5.2: Codificarea nivelurilor de gri

sunt disponibile. O referință de 6 biți din **frame-buffer** (limitare datorată dimensiunii memoriei video) permite accesarea a $2^6=64$ de poziții în tabelul de celule.

Sistemele ce utilizează această tehnică permit utilizatorului să selecteze orice combinație de 64 de culori dintr-o paletă de 4096 de culori. Intrările în tabelul de celule pot fi schimbate oricând pentru a permite noi combinații de culori (schimbarea paletii de culori).

În figura 5.80 este schițată organizarea tabelului de celule pentru o referință de 8 biți. Pixelul de coordonate (x, y) ce are valoarea 67 în **frame buffer** este afișat pe ecran cu o culoare ce corespunde tunului roșu de electroni la 9/15 din maxim, cel verde la 10/15, iar cel albastru la 1/15.

Utilizarea tabelului de celule poate crește puternic numărul opțiunilor de culori fără creșterea mărimii imaginii în memorie.

Sistemele cu culori de calitate înaltă utilizează 24 de biți pentru fiecare poziție în tabelul de celule și 9 biți per pixel în frame buffer. Astfel se permite selectarea de către utilizator a 512 culori dintr-o gamă de aproximativ 16 milioane de culori-intrări ale tabelului de celule.

Pentru monitoarele care nu au capabilități privind culoarea, comanda de selectare a culorii poate fi utilizată în programele aplicative pentru a seta nivelul de intensitate, sau scala de gri. Numeroase aplicații utilizează valori numerice între 0 și 1 pentru a seta nivelurile scalei de gri. Un exemplu este prezentat în tabelul 5.2.

Stocarea nivelurilor de intensitate este similară cu stocarea codurilor de culori. Dacă se alocă un bit pentru un pixel, sunt posibile doar două valori din scala de gri (negru și alb). Dacă se alocă trei biți per pixel, se permit 8 nivele diferite de intensitate. Sistemele cu calitate înaltă a imaginii permit 24 sau mai mulți biți pentru stabilirea nivelului de intensitate per pixel.

5.9 Animație

Animația, arta de a da viață unor imagini, presupune nu numai mișcare, ci și o serie de efecte vizuale. Tehnica animației constă în variația în timp a poziției, umbre, culori, transparență, texturi, schimbări de lumină și puncte de vedere, apropiere și îndepărtare (zoom).

Animația presupune o reprezentare a corpurilor din 4D.

Dacă anumite obiecte sau aspecte din imaginile animate se schimbă prea repede relativ la numărul de imagini afișate într-o secundă, apare fenomenul de clipire (**temporal aliasing**). Animația imaginilor video presupune o schimbare de cel puțin 30 de imagini per secundă (**fps = frame per second**).

Animație convențională

Se realizează pe baza standardului următor: se concepe povestea, se înregistrează sunetele, se desenează imaginile cheie (**key frames**), se construiesc imaginile intermediare (**inbetweening**). Rezultatul este filmul de test (**pencil test**) care ulterior este colorat. Acest model de construcție a imaginilor animate poartă denumirea de *animație pe bază de imagini cheie* (**key-frame animation**). Modelul se aplică și în animația pe calculator.

Anumite etape ale animației convenționale se pretează la asistență computerizată, în special fazele de construire a imaginilor intermediare și colorare. Înainte de aceste două faze, imaginile cheie sunt digitizate (prin scanare sau trasare cu ajutorul unor echipamente grafice specifice) și sunt postprocesate (filtrate pentru eliminarea zgomotelor și netezirea conturilor). În faza de compunere a imaginilor, în care figurile principale și imaginile de fond sunt combinate pentru a genera imagini distincte, se pot utiliza de asemenea tehnici automate.

Interpolare

În procesul de creare a imaginilor intermediare apar o serie de probleme. Calculatorul primește o poziție inițială și una finală. *Animația bazată pe imagini cheie* dezvoltă secvențe animate continue prin interpolarea atributelor scenei. Imaginile cheie trebuie să aibă un nivel înalt de coerență a imaginii, altfel imaginile intermediare nu vor sugera o mișcare reală.

Ochiul uman percepe circumstanțele în care are loc interpolarea: de exemplu, dacă este vorba de o aruncare la un anumit unghi a unei mingi (figura 5.81) sau o alunecare pe o suprafață. Interpolarea liniară (adecvată celei de a doua situații), care este ușor de realizat, are numeroase limitări. Date valorile v_i și v_f ale unor atribute (poziție, culoare, mărime) din imaginea inițială, respectiv cea finală, valoarea v_t a unei imagini intermediare este $v_t = (1 - t)v_i + tv_f$, cu variabila temporală $t \in [0, 1]$. Valoarea v_t variază neted de la v_i la v_f . Dându-se trei imagini-cheie în aruncarea unei mingi sub anumit unghi, respectiv poziția inițială, cea finală și cea corespunzătoare înălțimii maxime, prin interpolare liniară se creează o mișcare continuă, dar cu o schimbare bruscă a vitezei în punctul de maxim (interpolarea liniară generează discontinuități ale derivatelor). Astfel, pentru interpolarea imaginilor cheie consecutive se utilizează adesea funcțiile **spline** (vezi capitolul anterior, secțiunea curbe cubice).

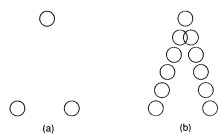


Figura 5.81: Interpolare liniară a mișcării unei mingi (a) Poziții cheie (b) Interpolare liniară

O figură reprezentată printr-o linie poligonală poate fi interpolată între imaginile cheie prin interpolarea fiecărui vârf al liniei poligonale, de la poziția sa inițială la cea finală. Această idee este fundamentală în *tehnica de animație pe bază de schelet*, în care obiectelor în mișcare le sunt asociate "scheletele" (acestea sunt interpolate, și nu obiectele în totalitate). Fie exemplul mișcării unui picior (figura 5.82): scheletul poate fi constituit dintr-o linie poligonală

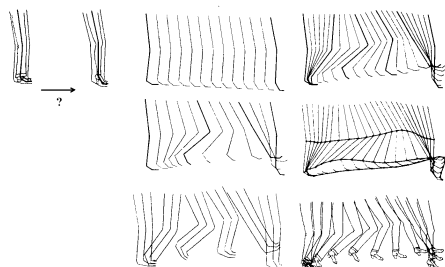


Figura 5.82: Utilizarea tehnicii scheletului

cu patru vârfuri, respectiv vârful tălpii, mijlocul acesteia, centrul genunchiului și un punct ce definește legătura cu corpul. Trasarea a 5-6 polilinii-schelet corespunzătoare, interpolarea cu funcții **spline** a pozițiilor consecutive ale vârfurilor și reconstituirea piciorului pe bază de schelet pot conduce la o imagine realistă a efectuării unui pas.

Animația bazată pe deformarea liberă a formelor utilizează seturi de puncte de control care definesc un volum în spațiu. Când aceste puncte sunt mutate, orice obiect conținut este deformat cu o cantitate dependentă de relația sa cu punctele setului (figura 5.83). În cazul bidimensional se utilizează o matrice de

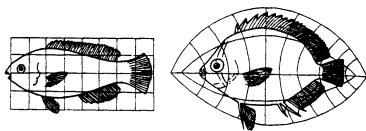


Figura 5.83: Deformarea liberă a formelor

puncte de control în aceeași modalitate în care se definesc suprafețele cubice. Pentru o interpolare quadratică se folosesc matrice 3×3 , iar pentru interpolare cubică, matrice 4×4 . În figura 5.84 se consideră cazul deformării unei grilei rectangulare definită de 9 puncte de control (interpolare quadratică). Pentru

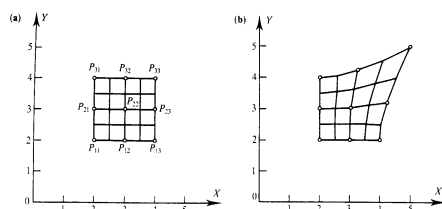


Figura 5.84: Deformarea liberă a formelor

controlul spațiului bidimensional se utilizează 2 parametrii, u și v , un punct oarecare fiind definit astfel:

$$P'(x', y') = ((1-u)^2, 2u(1-u), u^2) \begin{pmatrix} P_{11} & P_{12} & P_{13} \\ P_{21} & P_{22} & P_{23} \\ P_{31} & P_{32} & P_{33} \end{pmatrix} \begin{pmatrix} (1-v)^2 \\ 2v(1-v) \\ v^2 \end{pmatrix},$$

unde $u = (x - x_{min}) / (x_{max} - x_{min})$ și $v = (y - y_{min}) / (y_{max} - y_{min})$. Dacă nu există deformare $P'(x', y') = P(x, y)$. Generalizarea la 3D este imediată: sunt necesari 3 parametrii, u , v , w , iar în cazul interpolării cuadratice, 27 puncte de control.

Animația deplasamentelor consideră mai multe stări ale obiectelor din care se obțin obiectele intermediare care vor deveni parte a secvenței animate. Ideea de bază este asocierea unor vectori de deplasare (figura 5.85) unor puncte ce definesc suprafața unui obiect (fiecare vector presupune două sau mai multe deplasamente).

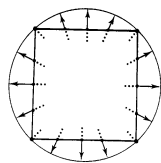


Figura 5.85: Transformarea unui pătrat într-un cerc prin deplasamente

În animația unor obiecte tridimensionale trebuie interpolate atât poziția cât și orientarea acestora. Poziția poate fi interpolată ca și în cazul 2D prin specificarea poziției centrului unui obiect în fiecare din imaginile cheie. Problema principală este interpolarea orientării corpurilor. De obicei, o rotație este specificată prin trei rotații după axele principale. Ordinea aplicării acestor rotații de bază nu poate fi aleatoare. Mulțimea tuturor rotațiilor posibile corespunde unei structuri algebrice: cuaternionii. Rotațiile sunt *cuaternionii unitari*, care sunt simboluri de forma $a + b\bar{v}_1 + c\bar{v}_2 + d\bar{v}_3$, unde a, b, c, d sunt numere reale ce satisfac relația $a^2 + b^2 + c^2 + d^2 = 1$; cuaternionii se multiplică pe baza legii de distributivitate și pe baza următoarelor reguli: $\bar{v}_1^2 = \bar{v}_2^2 = \bar{v}_3^2 = -1$, $\bar{v}_1\bar{v}_2 = \bar{v}_3 = -\bar{v}_2\bar{v}_1$, $\bar{v}_2\bar{v}_3 = \bar{v}_1 = -\bar{v}_3\bar{v}_2$, $\bar{v}_3\bar{v}_1 = \bar{v}_2 = -\bar{v}_1\bar{v}_3$. Rotația de unghi φ în jurul vectorului unitate $(b, c, d)^T$ corespunde cuaternionului $\cos(\varphi/2) + b \sin(\varphi/2)\bar{v}_1 + c \sin(\varphi/2)\bar{v}_2 + d \sin(\varphi/2)\bar{v}_3$. Efectuarea unor rotații succesive presupune multiplicarea cuaternionilor corespunzători. Deoarece $a^2 + b^2 + c^2 + d^2 = 1$, cuaternionii pot fi priviți ca puncte ale unei sfere în 4D. Pentru interpolarea dintre doi cuaternioni, se poate considera cel mai scurt drum de pe sferă dintre aceștia (arc). Denumirea acestui procedeu este acela de *interpolare sferică liniară*.

Efecte simple de animație

Dacă se construiesc imagini color cu 8 biți per pixel într-un **frame-buffer** de 640×512 , numai o singură imagine conține 320 Kb de informație. Transferarea unei noi imagini înspre **frame buffer** la fiecare 1/30 parte dintr-o secundă necesită o rată de transfer de 9Mb informație per secundă, astfel încât realizarea animației este practic imposibilă pentru majoritatea calculatoarelor mici. Pentru evitarea stocării unor asemenea cantități de informații se recurge la metoda tabelului de celule-culori (**look-up tables** sau **lut animation**) și compunerea imaginilor prin utilizarea tabelului de culori. De exemplu, scurgerea printr-o conductă poate fi simulată prin ciclarea unei secvențe de culori din **lut**. Schimbările bruște de culoare pot fi evitate prin schimbarea gradată a indicelui din **lut** în mai multe imagini intermediare, de la culoarea inițială, la cea finală.

În cazul animației unor obiecte de dimensiuni mici pe un fond fix se utilizează tehnica **sprite**-urilor. Un **sprite** este o regiune dreptunghiulară mică care este suprapusă peste **frame-buffer** la nivel video. Locația **sprite**-ului la fiecare moment în **frame buffer** este specificată în anumiți regiștrii, modificarea valorilor acestora cauzând deplasarea **sprite**-ului. **Sprite**-ul poate ascunde valori din **frame-buffer** sau poate fi ascuns de acestea. Se utilizează la implementarea cursorilor în **frame-buffer** și generarea animației prin mutarea **sprite**-ului deasupra unei imagini de fond. Mai multe **sprite**-uri presupun definirea unei liste de priorități (cine pe cine acoperă).

O aplicație a **sprite**-urilor, extrem de populară, este cea a jocurilor video, în care animația constă aproape în întregime din **sprite**-uri care se mișcă pe un fundal fix. Deoarece locația și mărimea fiecărui **sprite** este stocat în regiștrii, este ușor de verificat coliziunea dintre **sprite**-uri.

Traectoriile obiectelor pot fi generate prin urmărirea unui film real. O asemenea tehnică este **rotoscope**: se realizează un film în care oameni sau animale interpretează roluri din scenariul animației, apoi animatorii, pe fondul existent, înlocuiesc personajele reale cu echivalentul lor desenat. Mișcarea personajelor animate poate fi realizată urmărind mișcarea personajelor pe care le înlocuiesc. Această tehnică produce o animație cu mișcări realiste. O altă tehnică este cea care asociază o serie de indicatori punctelor cheie ale corpului unei persoane. De exemplu, mici luminițe pot fi atașate punctelor cheie din arhitectura umană și pozițiile acestor luminițe sunt înregistrate din direcții diferite pentru a furniza o poziție 3D pentru fiecare punct cheie în orice moment (tehnica *marionetei grafice*).

Atenuarea efectelor datorate discretizării temporale

Fenomenul de clipire a imaginii, ce pare în cazul unei mișcări foarte rapide **temporal aliasing**), poate fi parțial rezolvat prin creșterea rezoluției temporale. Dacă, de exemplu, se urmărește rotirea spiței unei roți (figura 5.86), la o viteză de rotație mare, adică la un anumit raport cu rata „expunerii”, spița pare să se învârtască în sens invers, sau chiar să stea pe loc. Fenomenul apare deoarece mișcarea este prea rapidă pentru a fi înregistrată corect.

Imaginile consecutive sunt similare, așa cum în 2D o linie de scan nu diferă prea mult de următoarea. Se poate ține seama, pentru simplificare, de o anumită coerență în construirea imaginilor. Fiecare obiect descrie o regiune din 4D. De exemplu, o sferă care nu se mișcă descrie în 4D un cilindru. În mod similar, un cerc din 2D ce se deplasează dintr-un colț al ecranului în cel opus descrie un cilindru în spațiul 2D+ timp. Aplicând divizarea hiperspațiului 4D și utilizarea unor tehnici de tip **ray-tracing** se poate economisi timp considerabil în construirea de imagini consecutive.

O altă tehnică pentru **antialiasing** temporal este animația pe câmpuri. O imagine video convențională este trasată în două etape: prima dată liniile scan pare, apoi cele impare. Fiecare linie scan este retrasată, aproximativ, la fiecare $1/30$ dintr-o secundă (presupunem că raza tubului de electroni parcurge ecranul de 60 de ori pe secundă). Dacă culorile pixelilor liniilor pare sunt calculate la timpul t , iar liniile impare la $t+60^{-1}(s)$, apoi imaginea este compusă într-o singură hartă de biți, iar acest proces se repetă pentru fiecare imagine,

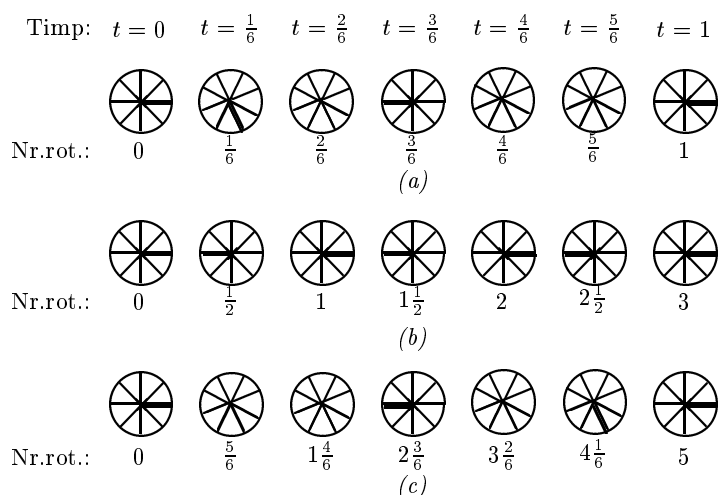


Figura 5.86: Animație: (a) Eșantionare corectă (b) Imposibilitate de precizare a direcției de înaintare (c) Eșantionare incorectă: impresia deplasării în sens invers

atunci animația este realizată cu un efect de 60fps, chiar dacă fiecare line scan este reactualizată la un interval de $1/30$ dintr-o secundă. Dezavantajul acestei tehnici constă în faptul că imaginile de pe ecran constau din linii ale unor imagini construite la timp diferiți și poate apărea un fenomen de clipire.

Metode de control a animației

Controlul explicit este forma cea mai simplă de control al animației. Animatorul descrie tot ceea ce se realizează în animație, specificând atât schimbări simple precum scalarea, translația, rotația, cât și informațiile despre imaginile cheie și metodele de interpolare. Această interpolare poate fi dată explicit (prin descriere matematică) sau, într-un sistem interactiv, prin directă manipulare a unui mouse, joystick sau alt dispozitiv de intrare.

Animația procedurală introduce proceduri algoritmice pentru a controla atributele unui obiect, sursă de lumină sau observator (de exemplu, pentru animarea unor mecanisme fizice). În cazul unui *control procedural*, elementele distincte ale unui model comunică în scopul determinării proprietăților lor. Acest tip de control se utilizează pentru generarea mișcărilor greu de specificat prin control explicit.

Anumite obiecte din lumea fizică se mișcă descriind linii drepte, dar mișcările majorității obiectelor sunt determinate de alte obiecte cu care vin în contact, astfel încât mișcările rezultate nu mai sunt liniare. Mișcările acestora pot fi descrise prin constrângeri. Animația se poate realiza doar ținând seama de aceste constrângeri, prin *control bazat pe constrângeri* (*animație comportamentală*). Se generează părțile unui ansamblu (linii, cercuri, etc), apoi se definesc constrângerile de tip punct ("linia are un capăt fix"), legătură ("linii unite la un capăt"), unghiuri ("linii paralele"). Mișcarea ansamblului se realizează respectând regulile de constrângere.

Utilizarea *actorilor* este o formă înaltă de control procedural. Un actor, în

animație, este un program mic, invocat odată pentru o imagine, pentru determinarea caracteristicilor unui obiect (actorul este un obiect în sensul programării orientate obiect). Un actor, poate trimite mesaje altor actori pentru a controla comportarea lor.

Limbaje de animație

Limbajele de animație pot fi clasificate astfel: (a) limbaje bazate pe notații tip listă liniară, (b) limbaje cu scop general care înglobează și directive de animație, (c) limbaje grafice.

Intr-un *limbaj bazate pe notații tip listă liniară*, fiecare eveniment din animație este descris printr-un număr de imagine inițială și unul de imagine finală, precum și o acțiune care are loc. Acțiunile presupun anumiți parametri (de exemplu, "rotește obiectul Casa între imaginile 20 și 34 în jurul axei 1 cu 45 de grade, determinând creșterea rotației la fiecare imagine din tabelul C").

Limbajele generale ce includ directive de animație se bazează pe generarea procedurală a obiectelor și a animației. Valorile variabilelor limbajului pot fi utilizate ca parametri pentru rutinele ce generează animație, astfel încât asemenea limbaje sunt indicate pentru simulări. Entitățile primitive ale unui asemenea limbaj includ vectori, culori, poligoane, colecții de poligoane (solide), colecții de obiecte (grupuri), puncte de vedere, lumini, volum de vedere. Obiectele pot fi transformate geometric (exemple: deplasare sus, jos, stânga, dreapta, înainte, înapoi, mărire, micșorare). O asemenea transformare primește ca argument un obiect și returnează o copie transformată a obiectului.

Problema principală a limbajelor textuale este dificultatea animatorului de a-și imagina rezultatul execuției unui șir de comenzi. În locul unor descrieri explicite ale acțiunii, în *limbajele grafice* de animație, animatorul construiește o imagine a acțiunii. Un prim pas a fost realizat prin introducerea curbelor P . O curbă P este o *reprezentare parametrică* a mișcării (sau a unui alt atribut) a unui obiect sau ansamblu de obiecte din interiorul unei scene. Animatorul descrie mișcarea unui obiect prin specificarea grafică a coordonatelor sale ca funcție de timp.

6. Interfețe utilizator

Deși nu există o definiție unanim acceptată și general valabilă pentru *interfața utilizator*, se poate spune că aceasta reprezintă *ansamblul dispozitivelor logice* (de interacțiune între utilizator și aplicație) și a sarcinilor (**task-uri**) elementare de interacțiune (implementate cu diverse tehnici de interacțiune) care asigură introducerea interactivă a datelor de intrare, controlul interactiv al execuției programului și obținerea rezultatelor intermediare sau finale.

6.1 Elemente de bază ale interfețelor utilizator

În contextul general al graficii interactive — și în particular, al interfețelor grafice — avantajele și dezavantajele dispozitivelor de interacțiune sunt abordate la unul dintre următoarele trei nivele:

- dispozitiv
- **task**
- dialog

La nivelul dispozitivelor implicate, se analizează caracteristicile hardware ale acestora fără a se trata aspectele utilizării prin intermediul software-ului. De exemplu, la acest nivel se analizează ergonomia formei unui mouse prin comparație cu a altuia, posibilitatea organizării eficiente a spațiului (pe birou!) în cazul utilizării unui dispozitiv în locul altuia, etc.

La nivelul **task** (sarcină) se compară tehnicile de interacțiune implicate în realizarea aceleiași sarcini utilizând diverse dispozitive. De exemplu, în urma unei astfel de analize se poate concluziona că un utilizator experimentat poate fi mai eficient utilizând tastatura decât selecția din meniuri cu un mouse sau, că utilizarea unui mouse este de preferat pentru selectarea unui obiect afișat pe ecran decât prin utilizarea tastelor de deplasare a cursorului, etc.

La nivelul dialogului se analizează modul de înlănțuire în secvențe a sarcinilor de interacțiune sub aspectul eficienței, ergonomiei și fiabilității. De exemplu, deși poziționarea cursorului este mai rapidă cu un mouse, dacă mâna utilizatorului este deja pe tastatură și sarcina care urmează poziționării presupune utilizarea tastaturii, atunci utilizarea tastelor de deplasare ar putea fi mai convenabilă și, deci, trebuie oferită ca alternativă.

6.2 Dispozitive de intrare

Dispozitivele de intrare pot fi analizate din două puncte de vedere: fizic și logic. *Dispozitivele fizice de intrare* se referă la acele dispozitive **hardware** prin care utilizatorul introduce informații într-un sistem de calcul. *Dispozitivele logice de intrare* reprezintă tipurile de interacțiune posibile într-o aplicație.

Dezvoltarea unor aplicații de avangardă a exercitat presiuni asupra proiectanților de dispozitive care au oferit noi tipuri de dispozitive. Pe de altă

parte (**feedback!**), noile dispozitive fizice disponibile reprezintă o provocare pentru proiectanții de aplicații pentru a dezvolta noi tehnici de interacțiune.

Dispozitive specializate de intrare mai puțin comune sunt:

- (a) dispozitive pentru recunoașterea vocii;
- (b) diverse tipuri de tablete grafice, sensibile la presiune sau orientare;
- (c) dispozitive de interacțiune tridimensională.

Astfel, unele dintre dispozitivele de interacțiune 2D au fost extinse pentru a permite interacțiuni 3D (de exemplu: **joystick**-ul, **trackball**-ul, **spaceball**-ul, **data glove**, etc. Astfel de dispozitive se utilizează frecvent în aplicații din domeniul *realității virtuale* (**Virtual Reality**).

În cele ce urmează ne vom limita la discutarea aspectelor legate de dispozitivele logice. Dispozitive logice de bază sunt:

- 1. locatorul,
- 2. tastatura,
- 3.valuatorul,
- 4. selectorul.

6.2.1 Locatorul

Locatorul este un dispozitiv utilizat pentru a indica o poziție și/sau o orientare în spațiul de lucru.

Dispozitivele fizice utilizabile ca locator pot fi clasificate funcție de trei caracteristici independente:

- 1. după sistemul de coordonate propriu:
 - (a) *dispozitivele absolute* (de exemplu, digitizoarele) au o origine și precizează pozițiile în raport cu acea origine;
 - (b) *dispozitivele relative* (de exemplu **mouse**, **trackball**, **joystick**) nu au o origine absolută, ele precizând doar modificări față de poziția anterioară;
- 2. după modul de interacțiune:
 - (a) *dispozitivele directe* (de exemplu, **lightpen** sau **touch screen**) la care poziția curentă este indicată prin poziționarea dispozitivului pe ecran;
 - (b) *dispozitivele indirecte* (de exemplu, **mouse** sau **joystick**) la care mutarea cursorului (poziției curente) pe ecran se face fără a atinge ecranul. Astfel de dispozitive presupun realizarea unei coordonări între ochiul și mâna utilizatorului.
- 3. după tipul poziționării:
 - (a) *dispozitivele continue* (de exemplu, **joystick** sau **mouse**) sunt dispozitive care transformă o deplasare lină și continuă a mâinii într-o deplasare similară a cursorului pe ecran.
 - (b) *dispozitivele discrete* (de exemplu, săgețile de pe tastatură) permit deplasarea cursorului doar pe direcții prestabilite, cu incrementi de deplasare prestabilită, eventual în poziții prestabilite.

Observație. Viteza de deplasare a cursorului la dispozitivele continue este afectată de rata C/D (**Control - to - Display**), adică de viteza de deplasare a mâinii raportată la deplasarea cursorului.

6.2.2 Tastatura

Reprezintă unul dintre dispozitivele de intrare cele mai comune. În principal, este utilizat pentru introducerea șirurilor de caractere. Poate fi utilizată însă și pentru a suplini locatorul (poziționare), valorul (precizarea unei valori) sau selectorul (alegerea unei variante din mai multe posibile).

Cel mai des întâlnit tip de tastatură este tastatura **Qwerty**. Există însă și alte tipuri de tastaturi, cum ar fi tastatura **Dvorak**, la care literele frecvent utilizate sunt plasate în poziții de bază ale degetelor, sau tastatura pentru stenodactilografie.

6.2.3 Valuatorul

Valuatorul este un dispozitiv logic care permite introducerea unui număr ce reprezintă o valoare numerică a unui parametru.

Din punct de vedere fizic, valutoarele pot fi de tipul potențioamelor radio, rotative sau liniare. Poziția potențioamelor față de origine precizează valoarea numerică.

Valuatorul poate fi cu plajă fixă de valori, valorile obținute de la un asemenea dispozitiv fiind absolute (de exemplu, butoane gen potențioamelor de volum), sau cu plajă nemărginită de valori, valorile obținute fiind relative (potențioamelor fără poziție maximă și minimă).

6.2.4 Selectorul

Selectorul sau întrerupătorul este un dispozitiv logic care permite selecția unei variante din mai multe alternative posibile (listă de stări sau acțiuni posibile).

Dispozitivele fizice pentru selectare sunt tastele funcționale dar și dispozitive specializate de tip întrerupător (de exemplu, butoanele **mouse**-ului sau a **trackball**-ului).

6.3 Sarcini de interacțiune

O *sarcină de interacțiune* (tip de interacțiune, unitate de interacțiune, **interaction task**) reprezintă unitatea de informație semnificativă în contextul aplicației (interactive) pe care utilizatorul o poate produce cu ajutorul unui dispozitiv de interacțiune.

Observație. O sarcină de interacțiune diferă de un dispozitiv logic de intrare prin aceea că definește *ce* realizează utilizatorul, în timp ce dispozitivele logice precizează *cum* se realizează o anumită interacțiune. Sarcinile de interacțiune sunt centrate utilizator, în timp ce dispozitivele logice de intrare reprezintă un concept orientat către programator și pachetele grafice.

Se pune întrebarea: cât de mică sau cât de mare este o astfel de unitate de informație? De exemplu, deplasarea unui dispozitiv de poziționare pe o anumită distanță, determină o unitate de informație dacă noua poziție semnifică repositionarea unui obiect sau specificarea unui capăt de segment. În schimb mutarea cursorului peste un element de meniu nu reprezintă o unitate de informație.

Sarcinile de interacțiune pot fi clasificate astfel:

1. *sarcini de interacțiune de bază* (**Basic Interaction Task**, prescurtate **BIT**), care sunt unități de informație indivizibile (pe baza acestei definiții și analogiei cu chimia, le putem numi *atomi de interacțiune*);
2. *sarcini de interacțiune compuse* (**Composite Interaction Task**, prescurtate **CIT**), care se obțin prin agregarea (compunerea) mai multor **BIT** (*molecule de interacțiune*).

O *tehnică de interacțiune* reprezintă modul în care se realizează o sarcină de interacțiune. De exemplu, o selecție poate fi realizată printr-un "clic" cu **mouse**-ul pe un element de meniu, prin introducerea numelui (identificatorului) elementului de selectat de la tastatură, prin apăsarea unei taste funcționale asociată cu varianta, sau utilizând un dispozitiv de recunoaștere a vocii. Un alt exemplu este cel al unui dispozitiv de intrare folosit în mai multe tipuri de interacțiune.

6.3.1 Sarcini de interacțiune de bază

Un set complet de **BIT**-uri pentru grafica interactivă este constituit din:

- (a) poziționare,
- (b) selecție,
- (c) introducere de text,
- (d) cuantificare (introducere de valori numerice).

Fiecare dintre aceste sarcini de interacțiune de bază poate fi realizat prin mai multe tehnici de interacțiune.

Poziționarea

Poziționarea necesită specificarea unui set de coordonate bidimensionale sau tridimensionale. Tehnica folosită de obicei pentru poziționare implică fie mutarea cursorului pe ecran în poziția dorită și apoi apăsarea unui buton, fie precizarea coordonatelor prin intermediul unei tastaturi reale sau virtuale.

Indiferent de tehnica utilizată, apar o serie de probleme generale pentru toate aceste tehnici:

1. sistemele de coordonate,
2. rezoluția,
3. grila,
4. **feedback**-ul,
5. timpul de acomodare.

Sisteme de coordonate. Sistemul de coordonate devine o problemă importantă atunci când, în cursul poziționării, se primește reacția de la sistemul asupra căruia se acționează.

De exemplu, dacă un dispozitiv de tip locator este mutat spre dreapta pentru a "trage" un obiect, apare problema direcției de mutare a obiectului. Există cel puțin trei posibilități: obiectul se mută

- (a) în sensul pozitiv al axei x din sistemul de coordonate al ecranului (**DCS**);

- (b) în sensul pozitiv al axei x din sistemul de coordonate ale lumii înconjurător (WCS);
 - (c) în sensul pozitiv al axei x din sistemul de coordonate propriu al obiectului.
- Prima soluție este cea mai viabilă întrucât respectă *principiul compatibilității stimul – reacție*, care afirmă că răspunsul sau reacția sistemului la acțiunea utilizatorului trebuie să fie în aceeași direcție și/sau cu aceeași orientare, iar magnitudinea răspunsului trebuie să fie proporțională cu acțiunea.

Rezoluția. Rezoluția necesară pentru poziționare poate varia de la aplicație la aplicație. Dacă poziția se introduce numeric (de la tastatură) rezoluția poate fi oricât de mare. Dacă poziționarea se face prin tehnici de mutare a cursorului (utilizând un locator) apar limitări de ordin fizic. În mod obișnuit, rezoluția dispozitivelor de tip *mouse*, tabletă grafică etc, este de la a 500-a până la a 2000-a parte din unitatea de rezoluție a dispozitivului de afișare.

Prin utilizarea transformărilor de tip *window – to – viewport*, de exemplu, pentru a mări o regiune din WCS, este posibil să se realizeze o corespondență între unitatea de rezoluție a ecranului și o unitate de rezoluție a sistemului de coordonate ale lumii înconjurătoare, arbitrar de mică, corespondență care, de fapt, corespund unei mărituri de rezoluție.

Grila. Un ajutor important în realizarea sarcinii de poziționare îl poate oferi o grilă (*grid*, rețea rectangulară) suprapusă peste aria de lucru pentru a ușura alinierea pozițiilor sau obiectelor.

De asemenea, grila poate fi utilă pentru a forța ca punctele de capăt ale primitivelor grafice să cadă pe grilă (prin rotunjirea coordonatelor locatorului la coordonatele celui mai apropiat nod al grilei).

Feedback. Există două tipuri de poziționare: spațială și lingvistică. În poziționarea spațială, utilizatorul cunoaște poziția dorită prin raport cu elementele spațiale din apropiere. În poziționarea lingvistică, utilizatorul cunoaște valoarea numerică a coordonatelor poziției dorite. **Feedback**-ul reprezintă marcarea poziției curente prin cursor sau prin coordonatele numerice.

Timpul de acomodare. Din punct de vedere al factorului uman se pune problema reducerii timpului în care se ajunge la o bună coordonare ochi – mână în procesul de poziționare. Un caz specific de poziționare, care presupune un timp de acomodare mai lung, îl reprezintă poziționarea continuă (o succesiune de poziții care definesc o curbă).

Selecția

Selecția, ca tip de interacțiune, are scopul de a alege un element dintr-un set de alternative. În mod tipic, seturile de alternative constau din

1. comenzi
2. seturi de valori ale unor atribute
3. clase de obiecte
4. instanțe de obiecte

De exemplu meniul `line style` (dintr-un program de desenat) constă dintr-un set de valori pentru atributul `line style`, iar meniul `object type` (linie, cerc, dreptunghi, text, etc.) este un set de clase de obiecte. Pe de altă parte, mulțimea tuturor obiectelor din suprafața de desen constituie un set de instanțe de obiecte.

Anumite *tehnici de interacțiune* pot fi folosite pentru a selecta din oricare din aceste seturi de alternative. Alte tehnici, însă, sunt utile numai pentru selecții din anumite clase. De exemplu, prin poziționarea pe reprezentarea vizuală a unui element dintr-un set de alternative se poate face o selecție indiferent de tipul setului, pe când selecția dintr-un set de instanțe de obiecte nu se poate face prin utilizarea tastelor funcționale.

Ceea ce diferențiază tehnicile de interacțiune care se pot utiliza pentru selecție este caracterul fix sau variabil al numărului de elemente ale setului de alternative.

Din acest punct de vedere, un *set de alternative* poate fi clasificat ca fiind

- cu dimensiunea (relativ) fixă
- cu dimensiunea variabilă

În prima clasă intră seturile de comenzi, attribute, clase de obiecte, care în mod obișnuit au un număr fix de elemente, fără a se exclude însă posibilitatea lărgirii sau reducerii acestuia (nu foarte des și nu foarte mult!). În a doua clasă, setul de alternative poate fi relativ mare și se poate schimba frecvent (la fiecare nouă actualizare).

Selecția din seturi de alternative cu dimensiune variabilă. Două tehnici sunt considerate ca fiind potrivite pentru acest tip de interacțiune: *numirea* (`naming`) și *indicarea* (`pointing`).

Selecția obiectelor prin numire. În cazul acestei tehnici, utilizatorul tastează numele obiectului pe care vrea să-l selecteze. Evident, există situații când această tehnică nu este eficientă (de exemplu, când utilizatorul nu cunoaște numele obiectelor din diverse motive: sunt prea multe, nu apar explicit pe suprafața grafică, etc.). Dacă însă utilizatorul cunoaște numele obiectelor din setul de alternative, selecția prin numire poate fi mai eficientă decât selecția prin indicare (de exemplu, această tehnică permite selecții multiple prin utilizarea de `wildcards`).

Dacă se apelează la selecția prin numire este indicat ca după fiecare tastă apăsată să se afișeze, ca **feedback**, lista obiectelor al căror nume se potrivește cu numele parțial introdus. În momentul în care această listă conține un singur element, numele parțial introdus poate fi completat de către program în mod automat (`auto completion`).

Selecția prin indicare. Această tehnică presupune poziționarea cursorului pe obiectul dorit și apoi selecția propriu zisă, fie cu ajutorul unei taste, fie cu un clic pe un buton de **mouse**. Și în cazul acestei tehnici pot apare probleme atunci când obiectele sunt dispuse pe mai multe nivele (se acoperă unele pe altele). Soluția constă de regulă în precizarea nivelului (**layer**) pe care se face selecția. Exemple: **AutoCAD**, Meniuri ierarhice, etc (figura 6.1).

Selecția din seturi de alternative cu dimensiune (relativ) fixă. În cazul acestui tip de interacțiune, tehnica cea mai frecvent utilizată o constituie

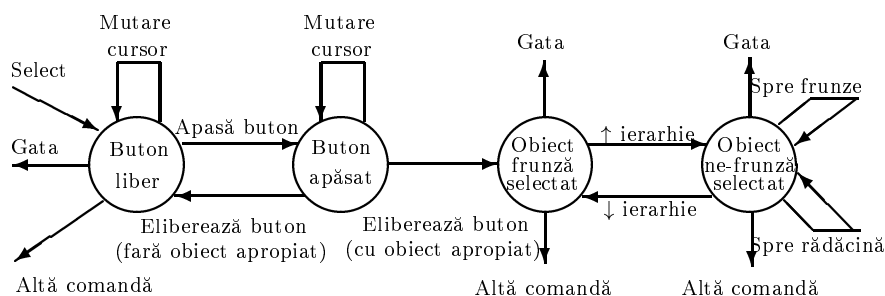


Figura 6.1: Diagrama de stare a tehnicii de selecție prin indicare a unui obiect dintr-o ierarhie de obiecte

selecția din meniuri. Problematika proiectării meniurilor include următoarele:

- ordinea elementelor dintr-un meniu;
- meniuri cu un singur nivel sau meniuri multinivel;
- plasarea meniurilor;
- reprezentare vizuală;
- dimensiunea și forma meniurilor;
- taste funcționale.

Ordinea elementelor dintr-un meniu. Elementele de meniu pot fi organizate după diverse criterii de ordonare:

1. alfabetică,
2. grupare logică după scopul funcțional,
3. după frecvența utilizării (cele mai frecvent utilizate la început),
4. în ordinea importanței (cele mai importante la început).

Modul în care se ordonează elementele meniurilor trebuie să fie consistent în toate meniurile aplicației.

Meniuri cu un singur nivel sau meniuri multinivel. În cazul în care numărul elementelor de meniu este prea mare pentru a fi afișate simultan, meniul respectiv poate fi divizat într-o ierarhie structurată logic sau într-o secvență liniară de elemente care se afișează succesiv (utilizând **scroll bars**).

În cazul meniurilor ierarhice utilizatorul face o selecție din setul de alternative de la nivelul cel mai de sus, ceea ce îi pune la dispoziție un alt set de alternative de pe nivelul imediat inferior. *Ierarhiile de meniuri* pot fi prezentate în diverse moduri:

1. cu reacoperire
2. în cascadă
3. panouri de ierarhie

Plasarea meniurilor. Meniurile pot fi statice și vizibile permanent, sau pot apărea dinamic, la cerere (**pop-up**, **pull-down**, etc.).

Pentru anumite aplicații, mai ales cele care presupun existența unui **display** specializat pentru "obiectul" propriu-zis, se poate plasa meniul pe un al doilea monitor.

Meniurile statice sunt indicate în cazul utilizării unui **display** (fereastră) doar pentru afișarea meniurilor și precizarea comenzilor.

Meniurile pop-up apar pe ecran pentru a oferi posibilitatea unei selecții fie:

- (a) ca urmare a unei acțiuni explicite a utilizatorului (apăsarea unei taste funcționale, selecția unei icoane, etc);
- (b) automat, când desfășurarea dialogului (utilizator-aplicație) presupune o selecție.

Observații:

1. Meniul **pop-up** apare de obicei în poziția curentă a cursorului (spre care e focalizată atenția utilizatorului).
2. La apariția meniului poate fi prezentată ca selecție curentă (care trebuie confirmată):
 - (a) alternativa implicită (cea mai frecvent folosită, cea mai "generală", etc);
 - (b) ultima alternativă utilizată.
3. Meniurile **pop-up** pot fi dependente de context (sensibile la context).

Meniurile pull-down (pulled-out) sunt ancorate într-o bază de meniu (care conține "titlul" meniurilor **pull-down**). Activarea acestor meniuri poate fi:

- explicită (selecție făcută cu cursorul pe titlu);
- implicită (meniul "apare" când cursorul ajunge deasupra titlului).

Reprezentarea vizuală. Problema principală este dacă meniul va conține nume ale elementelor din setul de alternative sau reprezentări grafice (icoane) ale acestora. Reprezentarea textuală (prin nume) a alternativelor are avantajul clarității dar conferă un aspect "încărcat" meniului, în timp ce reprezentarea grafică (prin icoane) poate mări randamentul utilizării meniului dacă icoanele sunt sugetive. Uneori se dublează alternativele textuale cu icoane care vor fi din ce în ce mai des folosite, pe măsură ce utilizatorul se acomodează cu ele (exemplu: meniul din MS Word).

Selecția curentă. În cele mai multe situații este de preferat ca elementul curent selectat din meniu să fie marcat pentru a se deosebi într-un fel sau altul de celelalte elemente. Selecția curentă poate fi marcată în diferite moduri:

1. afișare în video invers sau cu altă culoare,
2. marcare cu diverse semne grafice,
3. afișare sub titlul meniului.

Dimensiunea și forma meniurilor. La proiectarea meniurilor trebuie realizat un compromis între dimensiunea mai mare a elementelor de meniu — care permite o selecție mai ușoară — și dimensiunea mai mică — care are avantajul că ocupă mai puțin spațiu din suprafața utilă a ecranului.

Taste funcționale. În cazul în care numărul elementelor de meniu este relativ mic, se pot asocia unora sau tuturor elementelor câte o tastă funcțională ceea ce permite o selecție mult mai rapidă (în cazul unui utilizator versat).

Interacțiunea de tip text

Sarcina de interacțiune text permite introducerea de șiruri de caractere cărora aplicația nu le asociază o semnificație aparte. De exemplu introducerea numelui unei comenzi nu intră în această categorie de interacțiune, spre deosebire

de etichetarea obiectelor unui desen sau introducerea de text în cadrul unui editor de texte, care sunt interacțiuni de tip text. În mod obișnuit tehnica de interacțiune pentru introducerea de text presupune utilizarea tastaturii.

O alternativă la folosirea tastaturii pentru introducerea textului o reprezintă utilizarea unui scanner. În principiu, această tehnică presupune utilizarea ulterioară (după scanarea textului) a unei componente de recunoaștere optică a caracterelor (**Optical Character Recognition - OCR**) care are sarcina de a transforma **bitmap**-ul obținut după scanare în succesiunea de coduri **ASCII** corespunzătoare textului din imagine. Tehnica **OCR** apelează intens la algoritmi de recunoaștere a formelor pentru identificarea caracterelor din imaginea cu text. Problemele care apar la utilizarea acestei tehnici de introducerea textului includ:

1. îmbunătățirea imaginii scanate;
2. eliminarea fondului;
3. decuparea unităților de recunoscut (litere);
4. scalare;
5. orientare;
6. poziționare.

O altă alternativă, relativ recent apărută, o reprezintă utilizarea dispozitivelor de recunoașterea vocii, prin intermediul cărora textul vorbit este transformat în succesiune de coduri **ASCII**.

Cuantificarea

Acest tip de interacțiune presupune specificarea unei valori numerice, de regulă între o valoare minimă și una maximă.

Tehnicile de interacțiune utilizate includ:

1. tastarea valorii;
2. poziționarea unui "potențiometr";
3. modificarea unui contor pentru incrementare/decrementare.

6.3.2 Sarcini de interacțiune compuse

Tipurile de interacțiune compozite (**CIT**) sunt combinații de tipuri de interacțiune de bază. Există trei tipuri de bază de **CIT**:

1. celule de dialog (**dialog boxes**),
2. tehnici de construcție,
3. manipulare dinamică.

Celule de dialog

De multă ori este necesară o selecție multiplă dintr-un set de alternative. De exemplu, attribute de text, ca *italic*, **bold**, underline, etc. nu se exclud reciproc și utilizatorul ar dori să selecteze mai multe simultan. În plus pot să existe mai multe seturi de alternative care trebuie precizate simultan. De exemplu, tipul obiectului de desenat, grosimea liniei, aspectul liniei fac parte din seturi de alternative diferite care se pot preciza într-un pas de selecție, anterior acțiunii de desenare a obiectului respectiv.

Tipurile de meniuri din care se poate face o singură selecție la un moment dat (**pull-down**, **pop-up**) nu sunt satisfăcătoare pentru selecții multiple fiindcă dispar după o selecție făcută, fiind necesară activarea lor pentru o a doua selecție. Această problemă poate fi depășită prin utilizarea celulelor de dialog care reprezintă o formă de meniu ce rămâne vizibilă până când este părăsită în mod explicit (cu acceptarea selecțiilor făcute sau cu anularea lor). Selecțiile făcute într-o celulă de dialog pot fi corectate pe loc. De asemenea, atributele sau valorile specificate într-o celulă de dialog pot fi aplicate imediat, pentru ca utilizatorul să vadă efectul selecției făcute înainte de a părăsi celula de dialog.

Tehnici de construcție

Un mod de a desena o linie impune utilizatorului să precizeze punctul de start și punctul de sosire, după care linia este desenată. Cu această tehnică însă, utilizatorul nu are posibilitatea de a vedea rezultatul înainte ca acțiunea să rămână definitivă.

O tehnică superioară constă în utilizarea benzilor elastice (**rubberband**). După precizarea poziției de start, orice nouă poziție a cursorului este interpretată ca punct de sosire temporar și linia este desenată corespunzător. De abia în momentul selectării punctului de sosire definitiv linia devine permanentă. Starea de bandă elastică este activă atâta timp cât un buton al dispozitivului de poziționare și de selecție este apăsat. În această poziție deplasarea cursorului provoacă deplasarea liniei. Pornind de la această tehnică de desenare a liniilor se derivează tehnica desenării dreptunghiului elastic, cercului elastic, elipsei elastice.

O altă tehnică de construcție privește desenarea de linii frânte care presupune o succesiune de selecții (ale capetelor segmentelor care alcătuiesc linia poligonală) intercalate cu poziționări (care precizează poziția capetelor).

În oricare dintre aceste tehnici pot fi aplicate asupra poziției cursorului anumite constrângeri. De exemplu, cursorul poate fi obligat să se deplaseze pe anumite direcții sau la distanțe limitate de poziția de start.

Un alt tip de constrângere îl reprezintă utilizarea unui, așa numit, câmp de gravitate, pentru a ușura suprapunerea a doua poziții: în momentul în care cursorul intră în câmpul de gravitate al unui punct de capăt al unui obiect existent pe suprafața de desen, poziția care va fi selectată va coincide cu (va fi atrasă spre) acest punct.

Manipulare dinamică

În multe situații nu este suficientă desenarea de obiecte geometrice, ci este necesară și modificarea acestora. Modificările posibile includ schimbarea poziției, rotirea și scalarea.

Schimbarea poziției se realizează prin tehnica de **click-and-drag**, care implementează succesiunea buton apăsat-deplasare-buton eliberat, corespunzând selecției obiectului, deplasării în noua poziție și selecției noii poziții.

Tehnici similare se utilizează pentru rotirea sau scalarea unui obiect și care presupun selecția obiectului, precizarea noii orientări (prin definirea unghiului de rotație) sau a noii dimensiuni (prin definirea factorului de scală) și, apoi, selecția noii situații.

Deplasarea, rotirea sau scalarea afectează un obiect în întregime. Uneori, este de dorit însă mutarea unui punct individual dintr-un obiect. Această operație se poate realiza de asemenea prin tehnica `click-and-drag`.

6.4 Principii în proiectarea interfețelor utilizator

Pentru a asigura calitatea unei interfețe din punct de vedere utilizator trebuie avute în vedere o serie de principii de proiectare:

1. consistență,
2. asigurarea **feedback**-ului,
3. minimizarea posibilităților de eroare (la utilizare),
4. asigurarea posibilității de revenire din eroare,
5. posibilitatea utilizării pe nivele de îndemânare,
6. reducerea necesității de memorizare.

6.4.1 Consistența

Un *sistem este consistent* dacă modelul conceptual, funcționalitatea, secvențialitatea și legătura cu dispozitivele **hard** sunt uniforme și respectă câteva reguli simple și deci nu prezintă excepții și condiții speciale.

Principalul scop urmărit prin consistența unui sistem este de a permite utilizatorului să *generalizeze* cunoștințe despre un aspect al sistemului la alte aspecte.

De asemenea consistența permite evitarea frustrărilor care apar când un sistem nu se comportă într-un mod logic.

Metoda principală de a asigura consistența este *proiectarea top-down a sistemului*.

Exemple de consistență:

La ieșiri,

- (a) se vor utiliza întotdeauna aceleași codificări (de exemplu roșu → stop, verde → pornește);
- (b) mesajele despre starea sistemului apar întotdeauna într-o poziție logică fixată;
- (c) elementele de meniu își vor păstra întotdeauna aceeași poziție relativă în meniu.

La intrări,

- (a) tastele (CR, TAB, BS, etc) au întotdeauna aceleași funcțiuni;
- (b) comenzile globale (Help, Status, Cancel) pot fi inversate oricând;
- (c) comenzile generice (Move, Copy, Delete) sunt disponibile și pot fi aplicate, cu rezultate previzibile, asupra oricărui tip de obiect din sistem.

6.4.2 Asigurarea feedbackului

Are ca scop permanenta informare a utilizatorului asupra stării sistemului, asupra efectelor acțiunilor întreprinse și asupra acțiunilor posibile ce urmează a fi întreprinse.

Reacția sistemului se poate asigura pe trei nivele, corespunzătoare nivelelor de proiectare:

- *semantic*: funcțională,
- *sintactic*: a secvențializării,
- *lexical*: a legăturii cu dispozitivele (**hard**) fizice.

Nivelul cel mai de jos este cel **hardware**: fiecare acțiune a utilizatorului cu un dispozitiv de intrare ar trebui să provoace o reacție imediată și evidentă (de ex. caracterele tastate vor fi afișate pe ecran, mutarea **mouse**-ului este fidel urmată de mișcarea cursorului).

La nivel sintactic acceptarea/neacceptarea fiecărei unități (cuvânt) a limbajului de intrare (comandă, poziție, obiect, etc), trebuie semnalată de sistem. De exemplu, un obiect selectat sau un element de meniu selectat va fi "iluminat", astfel încât utilizatorul să știe că acțiunea sa a fost acceptată.

La nivel funcțional, o formă de **feedback** o constituie notificarea faptului că acțiunea comandată este în curs de efectuare (dacă durează mai mult de câteva secunde). Altă formă de **feedback** la nivel funcțional presupune anunțarea terminării operației fie printr-un mesaj, fie prin afișarea rezultatelor.

Trebuie făcută o distincție între **feedback**-ul din domeniul problemei și respectiv cel din domeniul controlului. **Feedback**-ul în domeniul problemei se referă la obiectele de manipulat: existența, poziția, apariția. **Feedback**-ul în domeniul controlului se referă la mecanisme de control ale sistemului interactiv: stare, valori curente și implicite, meniuri, etc.

6.4.3 Minimizarea posibilităților de eroare

Ideea este aceea de a respecta următoarea regulă: "Nu pregăti capcane pentru utilizator!"

Exemple:

1. Nu oferi posibilitatea alegerii unui element de meniu care va genera mesaje de genul: selecție ilegală, comandă invalidă, etc.!
2. Nu lăsa utilizatorul să selecteze **Move**, **Copy**, **Delete** când nimic nu este selectat!
3. Nu lăsa utilizatorul să selecteze **Paste** dacă **clipboard**-ul este gol!

În general, "oferta" care se face utilizatorului pentru a selecta din ea trebuie să fie senzitivă la context: sistemul ghidează utilizatorul în funcție de contextul respectiv, făcând imposibilă selectarea comenzilor nepermise.

6.4.4 Asigurarea posibilității de revenire din eroare

De regulă patru tipuri de corectare a erorilor sunt avute în vedere la proiectarea interfețelor utilizator: **Undo**, **Abort**, **Cancel**, **Correct**.

Dacă s-a lansat o operație din greșală, este recomandat **Undo**. Acesta se poate asigura pe un nivel sau pe mai multe nivele (caz în care se păstrează

comenzile și starea sau parametri într-o stivă). În acest context (**Undo** multi-nivel) este utilă o comandă **Redo**.

În cursul execuției operației în cauză, dacă utilizatorul își dă seama că a comis o eroare, trebuie să i se asigure posibilitatea întreruperii operației și revenirea la starea anterioară selecției respectivei operații printr-o comandă **Abort**.

Undo și **Abort** pot fi comasate într-o singură comandă.

Dacă utilizatorul decide, în cursul specificării parametrilor pentru o operație, că a greșit, el poate renunța prin comanda **Cancel** la terminarea specificării și lansării operației.

De asemenea, dacă nu operația, ci doar anumiți parametri sunt eronați, utilizatorul poate dispune de facilitatea de a corecta ceea ce a greșit.

6.4.5 Posibilitatea operării pe mai multe nivele

Diverse aplicații trebuie proiectate astfel încât să permită utilizarea lor pe diverse nivele de complexitate: de la nivelul unui utilizator fără experiență, care de abia învață comenzile de bază și are nevoie de sprijin din partea sistemului, până la nivelul unui utilizator cu experiență, care este dispus să renunțe la anumite informații ajutătoare în schimbul unei viteze sporite de lucru. Utilizatorul cu experiență trebuie să poată face uz de tehnici de interacțiune mai rapide.

Metodele utilizate pentru a permite utilizarea interfeței pe mai multe nivele de îndemânare sunt:

1. acceleratori (taste funcționale în loc de meniu),
2. prompteri (ghidarea acțiunii următoare),
3. **help**,
4. extensibilitate (posibilitatea combinării unor comenzi elementare într-una mai complexă),
5. ascunderea complexității (set minimal de comenzi).

6.4.6 Minimizarea memorizării

Reducerea necesității de memorizare a comenzilor disponibile în sistem se realizează de obicei prin apelul la capacitatea utilizatorului de a recunoaște (intui) semnificația comenzilor reprezentate fie prin numele lor fie printr-o icoană. Pe de altă parte, necesitatea memorizării comenzilor poate fi redusă prin asigurarea unor servicii de tip **Help** ca cele menționate mai sus.

6.5 Software pentru interfețe utilizator

Software pentru interfețe (grafice) utilizator există pe diverse nivele (figura 6.2).

Dispozitivele logice de intrare (locator, valuator, **pick**, **choice**, **string**, **stroke** - GKS, PHIGS) pot opera într-unul din modurile:

1. **request**;
2. **sample**;
3. **event**.

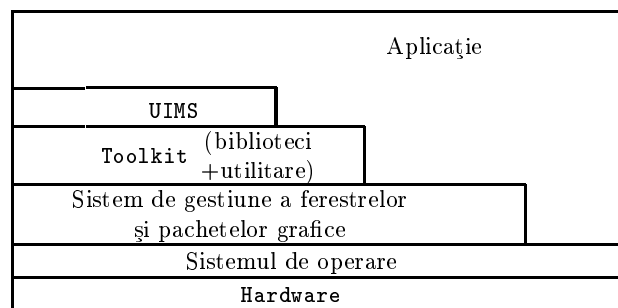


Figura 6.2: Software pentru interfețe utilizator

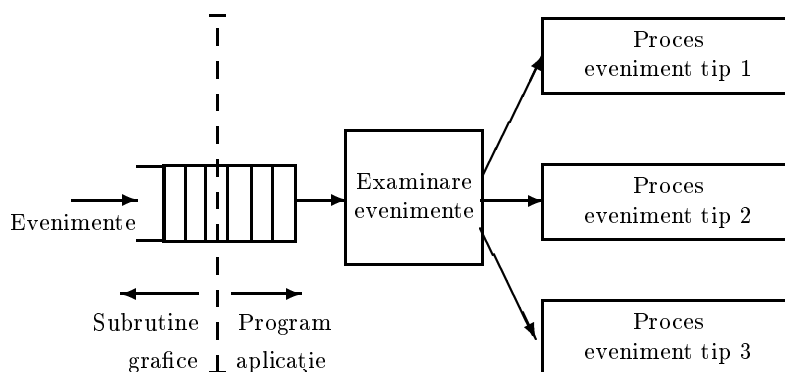


Figura 6.3: Tratarea evenimentele din coadă

Fiecărui dispozitiv îi este asociată o *măsură* (tipul informației returnate de dispozitiv).

Modurile de operare indică modalitatea prin care programul de aplicație recepționează o schimbare a măsurii dispozitivelor lor.

În modul **request** (la cerere) programul de aplicație solicită o intrare de la dispozitiv care întoarce odată cu controlul și măsura asociată acțiunii utilizatorului (de exemplu, deplasare) asupra dispozitivului. Acțiunea se numește **trigger**. Dezavantajele sunt următoarele:

- (a) intrarea se face în mod sincron;
- (b) nu există posibilitatea de **feedback** dinamic pentru că aplicația nu recapătă controlul decât după terminarea acțiunii.

În modul **sample** (**polling**) dispozitivele sunt cercetate (baleiate) unul după altul în speranța surprinderii unei modificări a măsurii. Dezavantajul constă în faptul că, în timp ce se procesează intrarea de la un dispozitiv, se pot pierde intrările de la alte dispozitive.

În modul **event** intrările (acționările asupra dispozitivelor) sunt asincrone în sensul că orice eveniment asociat cu un dispozitiv generează o intrare într-o coadă de evenimente (figura 6.3) de regulă **FIFO** (se poate avea însă în vedere și asocierea de priorități diferitelor clase de dispozitive).

6.5.1 Sisteme de gestiune a ferestrelor

Un sistem de gestiune a ferestrelor (**window-management system**) asigură majoritatea caracteristicilor importante ale interfețelor utilizator moderne: rularea aplicațiilor în ferestre distincte pe ecran, abilitatea de a redimensiona și muta ferestrele, meniuri **pop-up** și **pull-down**, ferestre de dialog (**dialog boxes**).

Un sistem de gestiune a ferestrelor este, în principal, un gestionar de resurse. El alocă spațiu pe ecran diverselor programe care încearcă să folosească ecranul și apoi gestionează utilizarea zonelor de ecran alocate, astfel încât programele să nu interfereze (pe ecran) unele cu altele. De asemenea, sistemul de gestiune a ferestrelor alocă programelor care solicită intrări resursele dispozitivelor de interacțiune și, apoi, direcționează informația de intrare de la dispozitiv către coada de evenimente a programului destinație.

Un sistem de gestiune a ferestrelor are două părți:

1. gestionarul de ferestre (**window manager**) cu care interacționează utilizatorul atunci când solicită crearea, redimensionarea, mutarea, deschiderea, închiderea, etc. unei ferestre;
2. sistemul de ferestre (**window system**), care reprezintă componenta funcțională responsabilă cu crearea, redimensionarea, mutarea, deschiderea, închiderea, etc. efectivă a unei ferestre.

Gestionarul de ferestre este construit deasupra sistemului de ferestre și utilizează serviciile pe care acesta i le pune la dispoziție, pentru a satisface cererile utilizatorului.

Programele construite deasupra sistemului de ferestre sunt denumite uneori *programe client*, iar sistemul de ferestre este denumit *program server*.

În anumite sisteme de gestiune a ferestrelor construite pe o arhitectură client-server, precum **X-Windows**, gestionarul de ferestre este el însuși un client al sistemului de ferestre (figura 6.4).

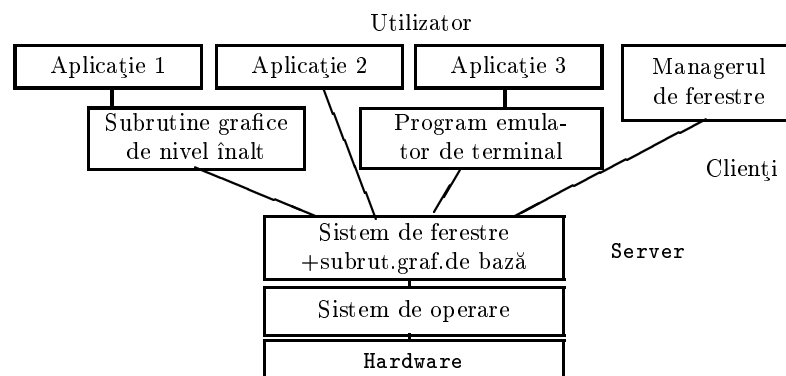


Figura 6.4: Relația dintre sistemul de ferestre, sistemul de operare și programul-aplicație

Anumite sisteme de ferestre sunt astfel proiectate încât să suporte mai mulți manageri de ferestre, fiecare cu aspect și reacție (**look and feel**) distincte (**X-Windows**).

Observație. Managerul de ferestre, și nu sistemul de ferestre, este cel care determină aspectul unei ferestre și modul în care utilizatorul interacționează cu aceasta.

De obicei se integrează un pachet de subrutine grafice în sistemul de ferestre care asigură o parte din funcționalitatea sistemului de ferestre, dar care pot fi apelate și direct.

6.5.2 Tratarea ieșirilor în sistemele de ferestre

Resursa de ieșire alocată de sistemul de ferestre unui program client este *spațiul ecran*, care trebuie astfel gestionat încât clienții să nu interfereze unii cu alții în utilizarea spațiului ecran.

Strategiile de alocare a spațiului ecran pot să varieze în mod considerabil de la un sistem de ferestre la altul, dar, în principiu, se încadrează în trei categorii mari. Principala diferență constă în modul de afișare a zonei din fereastră devenită vizibilă în urma măririi ferestrei, în urma descoperirii ferestrei sau în timpul defilării (figura 6.5).

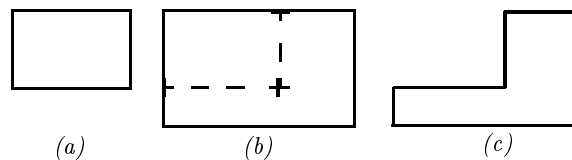


Figura 6.5: Lărgirea ferestrei (a) la dimensiunea ferestrei (b) necesită decuparea primitivelor față de regiunea (c)

Strategii:

- Un sistem de ferestre *minimal* nu-și asumă nici o responsabilitate în afișarea suprafeței nou expuse a ferestrei, ci transmite un eveniment de tipul *fereastră expusă* clientului asociat ferestrei. Un astfel de sistem de ferestre nu salvează partea acoperită a ferestrei. Când un client afișează o informație în fereastră, primitivele de ieșire sunt decupate relativ la partea vizibilă a ferestrei. La mărirea suprafeței vizibile a ferestrei, clientul asociat ferestrei recepționează un mesaj de tip *fereastră expusă* și este responsabil cu afișarea primitivelor corespunzătoare zonei proaspăt expuse a ferestrei.
- Sistemele de ferestre care dispun de mai multă memorie salvează partea acoperită a ferestrei, astfel încât clientul este degrevat de sarcina afișării porțiunii proaspăt expuse. Problema care se pune este cât din fereastră acoperită trebuie salvat. În mod tipic, se salvează dimensiunea maximă posibilă a ferestrei (egală cu dimensiunea ecranului). Anumite sisteme de ferestre salvează chiar porțiuni mai mari decât ecranul, soluție care, deși costisitoare, devine din ceea ce mai atractivă datorită tendinței de scădere a prețului memoriei calculatoarelor. Clientul este implicat în reafișare doar în cazul în care se face o defilare în fereastră, dincolo de porțiunea salvată, sau în cazul unei scalări.

O strategie puțin diferită constă în păstrarea de către managerul de ferestre a unei copii complete pentru fiecare fereastră. De câte ori o parte a unei ferestre este descoperită, porțiunea corespunzătoare din copia ferestrei este afișată pe ecran. Actualizarea ferestrei conform acestei strategii este lentă întrucât clientul asociat poate să scrie în porțiunea acoperită a ferestrei și este necesară refacerea copie. Actualizarea unei ferestre complet descoperite se face mai rapid întrucât copia ei trebuie actualizată doar în momentul dinaintea acoperirii ferestrei. O alternativă a acestei strategii constă în partiționarea fiecărei ferestre în regiuni rectangulare, doar acelea care nu sunt vizibile fiind salvate.

- O strategie diferită este utilizată de sistemele de ferestre care mențin o listă a primitivelor (vizibile sau nu) afișate în fiecare fereastră. La fiecare reafășare a ferestrei, lista asociată este parcursă și se fac decupările necesare. Această strategie presupune utilizarea unui hardware pentru conversie de scanare rapidă.

O altă problemă care apare frecvent este efectul operației de redimensionare a unei ferestre asupra informației vizibile în fereastră. Există două posibilități și programul client ar trebui să fie capabil să le trateze pe amândouă.

În primul caz, în momentul redimensionării ferestrei de către utilizator, fereastra WCS își modifică dimensiunea în mod corespunzător, utilizatorul ”văzând” mai mult sau mai puțin din ”lume”, în funcție de operația de redimensionare (mărire sau micșorare) efectuată (figura 6.6.c).

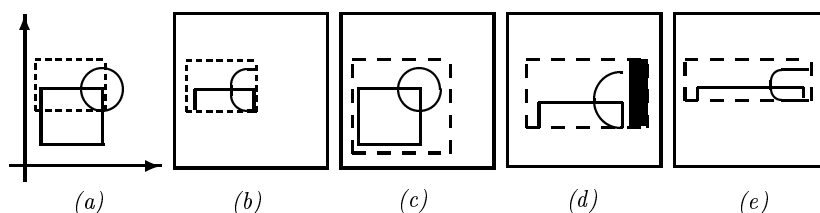


Figura 6.6: Relațiile dintre fereastra WCS și fereastra managerului (de ferestre) (a) Imagine în WCS (b) Imaginea printr-o fereastră (c) Lărgirea ferestrei în WCS (d) Lărgirea ferestrei managerului cu scalare uniformă (e) Lărgirea ferestrei managerului cu scalare neuniformă

În al doilea caz (figura 6.6.d), dimensiunea ferestrei WCS rămâne fixă astfel încât prin mărirea ferestrei se vede aceeași scenă, dar la o scară mai mare. În acest caz se mai pune și problema scalării neuniforme pe cele două axe (figura 6.6.e) .

Anumite sisteme de ferestre permit crearea de ferestre ierarhice, adică ferestre care conțin subferestre (figura 6.7). Acestea pot fi utilizate de exemplu la implementarea ferestrelor de dialog: întreaga fereastră de dialog este definită ca o fereastră și fiecare câmp, buton, `scroll-bar`, este definit ca o subfereastră și evenimente de tipul buton - mouse apăsate sunt disponibile pentru fiecare subfereastră. Aceasta înseamnă că fiecare eveniment este însoțit de numele subferestrei în care a apărut.

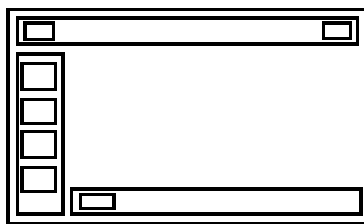


Figura 6.7: Divizarea unei ferestre în ferestre ierarhice

În mod tipic un sistem de ferestre ar trebui să dispună de următoarele funcțiuni:

1. creează o fereastră nouă (care devine fereastră curentă);
2. setează poziția ferestrei curente;
3. setează dimensiunea ferestrei curente;
4. selectează o fereastră (care devine fereastră curentă);
5. plasează o fereastră invizibilă deasupra tuturor celorlalte (aceasta este noua fereastră curentă);
6. ascunde fereastra curentă și expune toate ferestrele acoperite de aceasta;
7. setează titlul ferestrei curente;
8. citește poziția ferestrei curente;
9. citește dimensiunea ferestrei curente;
10. plasează fereastra curentă deasupra tuturor celorlalte;
11. plasează fereastra curentă sub toate celelalte;
12. șterge fereastra.

Pe lângă spațiul ecran, sistemul de ferestre este responsabil și de alocarea unei alte resurse: intrări ale tabelului de culori (**look-up table**). În principiu, două strategii de alocare a intrărilor în tabelul de culori sunt utilizate:

- se partajează intrările între toți clienții, alocându-se fiecăruia un număr fix. Dezavantajele metodei sunt:
 - (a) în cazul în care sunt puțini clienți, rămân intrări neutilizate în tabele;
 - (b) pot exista clienți cărora li se vor aloca mai puține intrări decât au nevoie, ceea ce implică degradarea calității modului de afișare al ferestrei (din punct de vedere al culorilor).
- se alocă toate intrările necesare clientului a cărui fereastră conține cursorul. Dezavantajul constă în faptul că aspectul coloristic al ferestrelor se poate modifica dramatic (chiar dacă pentru scurt timp!), în momentul trecerii cu cursorul dintr-o fereastră într-alta.

O altă soluție posibilă constă în alocarea de culori în loc de intrări în **look-up table**. Toți clienții care utilizează aceleași culori vor lucra cu aceeași intrare în tabelul de culori. În cazul în care un client solicită o culoare pentru care nu există intrare în tabelă, și aceasta nu este plină, se creează o nouă intrare. Dacă tabela este plină, atunci se va folosi indexul culorii celei mai apropiate de cea solicitată. Dezavantajul evident este acela că cea mai apropiată culoare ar putea fi inacceptabil de departe de cea solicitată.

6.5.3 Tratarea intrărilor în sistemele de ferestre

Resursa de intrare alocată și gestionată de către sistemul de ferestre pentru clienții săi reprezintă setul de dispozitive de intrare și evenimentele generate de acestea. Sistemul de ferestre trebuie să dispună de informațiile necesare pentru a dirija evenimentele spre clientul căruia îi sunt destinate.

Procesul de dirijare a evenimentelor către clientul adecvat poartă denumirea de *multiplexare*.

Pe lângă evenimentele generate de diverse dispozitive, un sistem de ferestre poate lua în considerare și generarea unor evenimente speciale, ca, de exemplu, *intrarea într-o nouă fereastră* (**window enter**), respectiv *ieșirea din fereastra curentă* (**window leave**), care permit evidențierea (**highlighting**) ferestrei care conține cursorul.

Un alt tip de eveniment special – **window damage** – ar putea fi utilizat pentru a preciza sistemului de ferestre că fereastra clientului căruia îi este destinat evenimentul trebuie reafisată.

În cazul în care există ferestre ierarhice, evenimentele pot fi dirijate și către subferestre.

Două modalități sunt utilizate, în principal, de către sistemele de ferestre pentru dirijarea evenimentelor către clienți:

1. evenimentul este dirijat către clientul a cărui fereastră conține cursorul (**real-estate-based event routing**);
2. evenimentul este dirijat către un client precizat de către un alt client, posibil, dar nu obligatoriu, același (**listener event routing**). De exemplu, managerul de ferestre poate avea o comandă prin care utilizatorul poate dirija intrările de la tastatură către clientul care posedă o anumită fereastră.

6.6 Utilitare pentru tehnici de interacțiune

Utilitarele pentru tehnici de interacțiune (**interaction-technique toolkits**) sunt subrutine care implementează legătura cu **hardware**-ul în cadrul unei interfețe utilizator. Acestea determină caracteristica interfețelor utilizator descrisă de termenul **look and feel** (aspect și reacție).

Tehnicile de interacțiune pot fi implementate direct în aplicație, dar această soluție are două dezavantaje majore:

1. este consumatoare de timp;
2. nu răspunde necesității utilizatorului de a întâlni interfețe similare la aplicații distincte.

Utilitarele pentru tehnici de interacțiune, de fapt, colecții de subrutine de bibliotecă accesibile programelor de aplicație, înlătură ambele dezavantaje menționate.

Utilizarea aceleiași colecții în toate aplicațiile și chiar în sistemul de ferestre reprezintă o metodă des folosită în scopul unificării aspectului interfețelor.

Modalitățile de implementare sunt următoarele: peste sistemul de gestiune a ferestrelor, sau, în lipsa lui, peste pachetul de subrutine grafice.

Exemple: colecția de subrutine care însoțește sistemul de gestiune a fere-

strelor **Andrew**, **OSF/Motil**, **InterViews**, implementare **OpenLook**.

În sistemul de gestiune a ferestrelor **X-Windows** tehnicile de interacțiune sunt denumite **widgets** (**W**indows **ga**DGETS) și o listă tipică de astfel de **widgets** include:

- fereastră de dialog,
- fereastră de selecție fișier,
- fereastră de avertizare,
- fereastră de ajutor (**help**),
- fereastră de mesaje,
- butoane radio,
- banc de butoane radio,
- butoane de selecție (marcare),
- bancuri de selecție,
- butoane basculante,
- bancuri de butoane basculante,
- meniu fix,
- meniu **pop-up**,
- bară de defilare,
- fereastră de introducere text,
- fereastră de aplicație.

Fiecare **widget** este implementat ca o fereastră care poate conține la rândul ei subferestre.

Utilitățile pentru tehnici de interacțiune dispun, în mod tipic, de notificatori (pentru intrare/ieșire în/din ferestre) pentru a permite apelul de proceduri de reîntoarcere atunci când anumite evenimente se produc în subferestrele lor.

În lista de **widgets** de mai sus apar atât elemente de bază cât și altele compuse. De obicei, colecțiile de subrutine dispun de mijloace de compunere a **widget**-urilor. De exemplu, fereastra de dialog conține atât butoane radio, cât și butoane de selecție binară.

Crearea de ierarhii de ferestre este o activitate migăloasă pentru orice programator (chiar dacă se dispune de o colecție de **widgets**-uri). De aceea s-au realizat editoare interactive pentru proiectarea (crearea și modificarea) aspectului ferestrelor de dialog (care, de regulă, conțin celelalte tipuri de **widgets**). Ieșirea din astfel de editoare este o reprezentare a ferestrei compuse, fie ca structură de date care poate fi translatată în cod sursă, fie sub formă de cod compilat. În toate situațiile sunt însă prevăzute mecanisme pentru editarea legăturilor cu aplicația.

O soluție alternativă pentru crearea de meniuri și ferestre de dialog o constituie utilizarea unui limbaj de nivel înalt pentru descrierea acestora.

În fine, proiectantul de interfețe poate crea un **widget** sau poate compune mai multe **widgets** în mod interactiv, prin exemple (sistemul **Peridot**).

6.6.1 Sisteme de gestiune a interfețelor utilizator

Sistemele de gestiune a interfețelor utilizator (**User-Interface Management System - UIMS**) asistă utilizatorul în proiectarea și implementarea aspectului interfeței dar și, în anumite cazuri, a semanticii acesteia. Orice **UIMS** oferă

mijloace pentru definirea secvențelor de acțiuni utilizator admisibile, pentru specificarea aspectului interfeței și a conținutului mesajelor de help și eroare. Un UIMS poate mări considerabil productivitatea programatorului, facilitând în același timp rafinarea iterativă a interfeței pe măsură ce se câștigă experiență.

Aplicațiile dezvoltate peste un UIMS constau, în mod tipic, dintr-un set de subrutine, denumite uneori *rutine de acțiune* sau *rutine de acțiune semantică*. UIMS-ul apelează rutina de acțiune adecvată ca răspuns la o intrare (**input**) produsă de utilizatorul aplicației. În schimb, rutina de acțiune influențează dialogul – de exemplu, modificând acțiunile utilizator posibile în continuare. Se poate spune că UIMS și rutinele de acțiune partajează controlul dialogului. Acest model este cunoscut sub denumirea de model cu *control partajat* (**shared-control model**). Prin opoziție cu acest model, există UIMS-uri în care rutinele de acțiune nu au nici o influență asupra dialogului. Aceste UIMS-uri se încadrează în modelul cu *control extern* (**external-control model**).

Serviciile specifice pe care diverse UIMS-uri le oferă proiectantului de interfețe utilizator pot varia dar componenta esențială, care nu lipsește din nici un UIMS, o reprezintă specificarea secvenței dialogului. Această componentă controlează ordinea în care tehnicile de interacțiune sunt puse la dispoziția utilizatorului aplicației.

Secvențializarea dialogului

Secvențele admisibile de acțiuni ale utilizatorului pot fi definite într-o varietate de moduri: via rețele de tranziție (numite și diagrame de stări), rețele de tranziție recursive, limbaje bazate pe evenimente sau prin exemple, (unde proiectantul demonstrează sistemului succesiunile de acțiuni permise și sistemul ”învată” care secvențe sunt posibile). Comun tuturor acestor metode este conceptul unei stări a interfeței utilizator și acțiuni ale utilizatorului asociate care pot fi executate din această stare. Fiecare din metodele de specificare codifică starea interfeței utilizator într-un mod specific, care generalizează folosirea uneia sau a mai multor variabile de stare. Dacă se crează o interfață utilizator senzitivă la context, răspunsul sistemului la acțiunile utilizatorului trebuie să depindă de starea curentă a interfeței.

Cea mai simplă și cea mai puțin puternică, dar totuși utilă, metodă de specificare a succesiunii dialogului o reprezintă *rețeaua de tranziție* sau *diagrama de stări*. Rețelele de tranziție au o singură variabilă de stare, un întreg ce indică starea curentă. Acțiunile utilizatorului cauzează tranziții de la o stare la alta; fiecare tranziție are asociată cu ea zero sau mai multe rutine de acțiune care sunt apelate când tranziția se întâmplă. Pe lângă aceasta, stările pot avea rutine de acțiune asociate care sunt executate oricând se intră în această stare. Rețelele de tranziție sunt utile, în special, pentru găsirea inconsistențelor în secvențializarea dialogului, și pot fi folosite fără probleme pentru a determina numărul necesar de pași pentru a completa o secvență de sarcini de interacțiune.

Rețelele de tranziție au totuși dezavantaje. În primul rând, starea interfeței utilizator este, în mod tipic, bazată pe un număr de variabile de stare, și necesitatea de a găsi toate combinațiile posibile de valori ale acestor variabile specifice unei stări este dificilă și non-intuitivă pentru proiectantul interfeței utilizator. Rețeaua de tranziție din figura 6.8 descrie o aplicație cu următoarele comenzi:

- selectează obiect (stabilește obiectul curent - CS0);

- deselectează obiect (nu mai există CS0!);
- crează obiect (stabilește un CS0);
- șterge CS0 (nu mai există CS0!);
- copiază CS0 în clipboard (trebuie să existe un CS0; umple clipboard-ul);
- preia (paste) din clipboard (trebuie să existe ceva în clipboard; crează un CS0);
- golește clipboard-ul (clipboard-ul trebuie să conțină ceva și va rămâne gol).

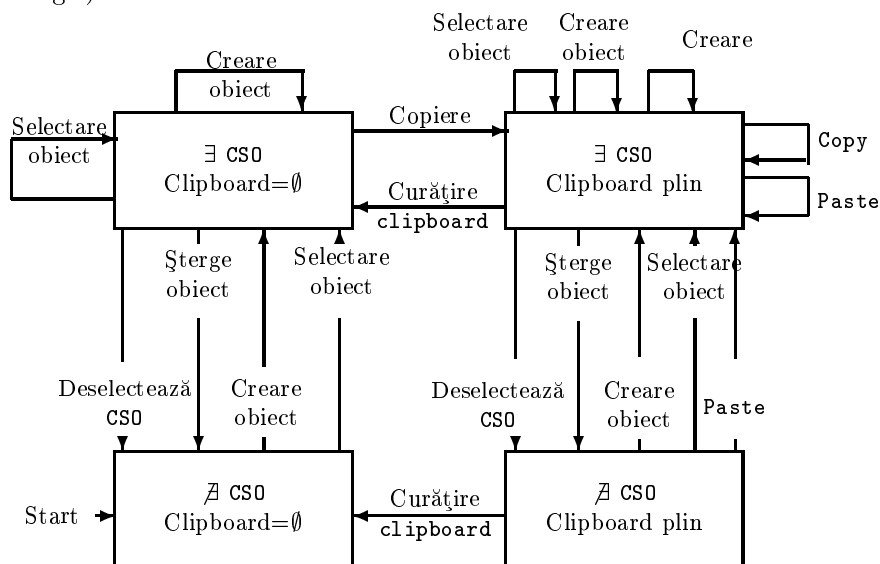


Figura 6.8: Rețea de tranziție cu patru stări

Diferite construcții specializate au fost dezvoltate pentru a simplifica rețelele de tranziție. De exemplu, putem alina problema de `help` prin folosirea subrețelilor într-un mod analog subrutinelor, pentru a ascunde un detaliu repetitiv localizat. Rețelele de tranziție care pot apela recursiv subrețele sunt numite *rețele de tranziție recursive*. Variabilele de stare în acest caz sunt întreaga stivă de stări salvate plus starea rețelei de tranziție curent active.

Notăția **Backus - Naur** (BNF) poate de asemenea fi folosită pentru a defini secvențializarea, și este echivalentă ca putere de reprezentare cu rețelele de tranziție recursive (ambele sunt echivalente cu automatele `push-down`). Mai multe UIMS mai vechi au fost bazate pe specificații BNF.

Când rețelele de tranziție devin mai complicate, cu expresii logice la tranziții și apeluri de subrutine, se ajunge la specificații asemănătoare unor programe (`program-like`). În definitiv, limbajele de programare reprezintă cel mai puternic mod de a specifica secvențializările și condițiile multiple asociate, de multe ori, cu tranzițiile.

Mai multe *limbaje bazate pe evenimente* au fost dezvoltate special pentru specificarea interfețelor utilizator. Este de remarcat că limbajele bazate pe evenimente, spre deosebire de limbajele de programare tradiționale, nu au un

flux explicit de control. În schimb, oricând o condiție **if** devine adevărată, acțiunile asociate sunt executate. Așadar, limbajul bazat pe evenimente este un sistem de reguli de producție. Limbajele bazate pe evenimente sunt mai puternice decât rețelele de tranziție, rețelele de tranziție recursive și gramaticile, dar prea complicate pentru cazurile simple.

Un mod diferit de a defini sintaxa (secvențializarea) dialogului este *prin exemplu*. În acest caz, UIMS-ul se plasează într-un mod "de învățare", și apoi se trece prin toate secvențele acceptabile de acțiuni. Proiectantul poate începe cu un meniu principal, selectează un câmp din acest meniu și merge printr-un director pentru a localiza submeniul, celula de dialog sau obiecte specifice aplicației, pentru a fi prezentate utilizatorului ca răspuns la selectarea meniului principal. Obiectul apare pe ecran și proiectantul poate să indice poziția, mărimea sau alte atribute pe care obiectul trebuie să le aibă atunci când aplicația este într-adevăr executată. Proiectantul continuă să execute câteva operații asupra obiectului vizualizat și apoi arată care obiect urmează, sau cum răspunde obiectul vizualizat la operație; proiectantul repetă acest proces până când toate acțiunile asupra tuturor obiectelor sunt definite. Această tehnică funcționează pentru secvențializări prin **item**-uri (elemente) care au fost deja definite de proiectant.